

# สำนักหอสมุดกลาง พระจอมเกล้าลาดกระบัง

## เครื่องตรวจข้อสอบด้วยแสงอินฟราเรดแบบทะลุผ่าน

### ANSWER SHEET CHECKER USING TRANSMITTED INFRARED



วิทยานิพนธ์นี้เป็นส่วนหนึ่งของการศึกษาตามหลักสูตรปริญญาวิศวกรรมศาสตรมหาบัณฑิต

สาขาวิชาวิศวกรรมไฟฟ้า

บัณฑิตวิทยาลัย

สถาบันเทคโนโลยีพระจอมเกล้าเจ้าคุณทหารลาดกระบัง

พ.ศ.2542

ISBN 974-622-456-5

|                               |
|-------------------------------|
| เลขหมู่.....                  |
| เลขทะเบียน..... 33361         |
| วัน, เดือน, ปี... 2 ส.ค. 2542 |

การใช้งานเพื่อการศึกษาเท่านั้น ไม่อนุญาตให้นำไปใช้ประโยชน์ด้านการค้า  
เปลี่ยนแปลงเนื้อหา และต้องอ้างอิงถึงเจ้าของเอกสารทุกครั้งที่มีการนำไปใช้

**ANSWER SHEET CHECKER USING TRANSMITTED INFRARED**



**A THESIS SUBMITTED IN PARTIAL FULFILLMENT  
OF THE REQUIREMENT FOR THE DEGREE OF  
MASTER OF ENGINEERING IN ELECTRICAL ENGINEERING  
SCHOOL OF GRADUATE STUDIES  
KING MONGMUT'S INSTITUTE OF TECHNOLOGY LADKRABANG**

**1999**

**ISBN 974-622-456-5**

เอกสารนี้เป็นเอกสารที่สงวนไว้สำหรับการใช้งานเพื่อการศึกษาเท่านั้น ไม่นิยมนำไปใช้ประโยชน์ด้านการค้า  
ไม่ว่ากรณีใดๆทั้งสิ้น อีกทั้งห้ามมิให้ดัดแปลงเนื้อหา และต้องอ้างอิงถึงเจ้าของเอกสารทุกครั้งที่มีการนำไปใช้



**COPYRIGHT 1999**

**SCHOOL OF GRADUATE STUDIES**

**KING MONGKUT'S INSTITUTE OF TECHNOLOGY LADKRABANG**

เอกสารนี้เป็นเอกสารที่สงวนไว้สำหรับการใช้งานเพื่อการศึกษาเท่านั้น ไม่อนุญาตให้นำไปใช้ประโยชน์ด้านการค้า

ไม่ว่ากรณีใดๆทั้งสิ้น อีกทั้งห้ามมิให้ดัดแปลงเนื้อหา และต้องอ้างอิงถึงเจ้าของเอกสารทุกครั้งที่มีการนำไปใช้

|                                   |  |
|-----------------------------------|--|
| หัวข้อวิทยานิพนธ์                 | เครื่องตรวจข้อสอบด้วยแสงอินฟราเรดแบบทะลุผ่าน |
| นักศึกษา                          | นายพรชัยยศ ศรีปัญญาพงศ์                      |
| รหัสประจำตัว                      | 35620041                                     |
| ปริญญา                            | วิศวกรรมศาสตรมหาบัณฑิต                       |
| สาขาวิชา                          | วิศวกรรมไฟฟ้า                                |
| พ.ศ.                              | 2542   |
| อาจารย์ผู้ควบคุมวิทยานิพนธ์       | รศ.สุเชียร เกียรติสุนทร                      |
| อาจารย์ผู้ควบคุมวิทยานิพนธ์(ร่วม) | รศ.ดร.โยธิน เปรมปราชญ์ไรซ์                   |

### บทคัดย่อ

จากคุณสมบัติของแสงอินฟราเรดซึ่งเป็นรังสีความร้อนที่สามารถทะลุผ่านวัสดุบางได้เช่นกระดาษ เป็นต้น และแสงอินฟราเรดจะถูกดูดกลืนด้วยถ่านคาร์บอนที่เป็นส่วนประกอบของไส้ดินสอดำได้ อีกทั้งปริมาณ ความเข้มของแสงอินฟราเรดที่ผ่านกระดาษที่มีการฝนดินสอดำจะแปรผกผันกับความเข้มของการฝนดินสอดำ จาก คุณสมบัติดังกล่าวจึงสามารถนำแสงอินฟราเรดใช้สำหรับตรวจจับตำแหน่งและความเข้มของการฝนดินสอดำได้ นอกจากนี้แสงอินฟราเรดบางส่วนจะถูกดูดกลืนไปกับเนื้อกระดาษคำตอบ ดังนั้นความหนาของกระดาษคำตอบจะมีผลต่อความเข้มของแสงอินฟราเรด ทำให้กระแสไฟฟ้าที่เกิดขึ้นที่ตัวรับแสงอินฟราเรดมีการเปลี่ยนแปลงในช่วงแคบๆ จึงต้องนำผลของความหนากระดาษในรูปของแรงดันไฟฟ้ามาใช้กำหนดแรงดันไฟฟ้าอ้างอิงให้กับอุปกรณ์แปลงสัญญาณแอนนาลอกเป็นดิจิตอลในส่วนของหัวอ่านเพื่อขยายช่วงการเปลี่ยนแปลงให้เต็มค่าสูงสุดที่อุปกรณ์แปลงสัญญาณแอนนาลอกเป็นดิจิตอลทำงานได้และด้วยหลักการให้แสงอินฟราเรดทะลุผ่านกระดาษทำให้หัวอ่านของเครื่องตรวจข้อสอบที่สร้างขึ้นสามารถอ่านกระดาษคำตอบทั้งสองหน้าโดยใช้หัวอ่านเพียงชุดเดียว โดยแบบกระดาษคำตอบที่ตรวจได้จะมีตำแหน่งของคำตอบในสองหน้ากระดาษไม่ตรงกัน

|                   |   |
|-------------------|---|
| Thesis Title      | Answer Sheet Checker Using Transmitted Infrared |
| Student           | Mr. Pornchaiyot Sripunyapong                    |
| Student ID.       | 35620041  |
| Degree            | Master of Engineering                           |
| Year              | 1999  |
| Thesis Adviser    | Assoc. Prof. Suthian Kiatsunthorn               |
| Thesis Co-adviser | Assoc. Prof. Dr. Yothin Prampraneerach          |

### **ABSTRACT**

By the characteristic of infrared, it can pass through the thin material such as paper and is absorbed by carbon. So we can use this characteristic for detecting the position of carbon from the pencil which apply on the paper for selecting the answer. Therefore, the carbon's mark by measuring the density of infrared can be carried out the paper thickness to compensate for the data from the detectors. By use the thickness of the paper to generate reference voltage for A/D converter device in the purpose to expand to change small signal in full scale of converter. In this case we can implement only one infrared detector for reading the answer paper on the both side of its. This master thesis presents the detecting method, which uses only one infrared detector for reading the both side of the answer paper. And used the thickness of the answer paper to generate the reference voltage for the A/D converter device of infrared detector.

# กิตติกรรมประกาศ

วิทยานิพนธ์ฉบับนี้สำเร็จลุล่วงไปได้ด้วยดี ด้วยคำแนะนำและคำปรึกษาเกี่ยวกับเครื่องตรวจข้อสอบจาก รศ.ดร.โยธิน เปรมปราวณีรัชต์ และ รศ.สุธีธร เกียรติสุนทร ซึ่งเป็นอาจารย์ผู้ควบคุมวิทยานิพนธ์ ผู้วิจัยมีความซาบซึ้งในความอนุเคราะห์จากท่านอาจารย์เป็นอย่างมาก และขอกราบขอบพระคุณท่านเป็นอย่างสูง และขอขอบพระคุณ ท่านคุณพ่อ คุณแม่ที่คอยให้กำลังใจอยู่เสมอ และศูนย์วิจัยและพัฒนาวิศวกรรมไฟฟ้าและห้องปฏิบัติการของภาควิชาวิศวกรรมเครื่องกลของคณะวิศวกรรมศาสตร์ สถาบันเทคโนโลยีพระจอมเกล้าเจ้าคุณทหารลาดกระบังได้ให้ความช่วยเหลือในเรื่องห้องทำวิจัยและเครื่องมือทำงานวิจัยนี้ เพราะฉะนั้นคุณค่าและคุณประโยชน์จากวิทยานิพนธ์เล่มนี้ จึงขอมอบให้แด่ ผู้มีพระคุณทุกท่าน



# สารบัญ

|  | หน้า |
|--|------|
| บทคัดย่อภาษาไทย .....  | I    |
| บทคัดย่อภาษาอังกฤษ .....   | II   |
| กิตติกรรมประกาศ .....  | III  |
| สารบัญ .....   | IV   |
| สารบัญตาราง .....  | VII  |
| สารบัญรูป.....   | VIII |
| <br>   |      |
| บทที่ 1 บทนำ.....  | 1    |
| 1.1 แนวความคิดของวิทยานิพนธ์.....                                  | 1    |
| 1.2 วัตถุประสงค์ .....   | 2    |
| 1.3 ประโยชน์ที่คาดว่าจะได้รับจากงานวิจัย .....                     | 2    |
| <br>   |      |
| บทที่ 2 ทฤษฎีพื้นฐานของตัวกำเนิดแสงและตัวตรวจจับแสง .....          | 3    |
| 2.1 ปริมาณการแผ่รังสี.....   | 4    |
| 2.2 ตัวตรวจจับแสง.....   | 5    |
| 2.2.1 Photoconductor-Photoresistors.....                           | 6    |
| 2.2.2 Photovoltaic .....   | 7    |
| 2.2.3 Photodiode .....   | 9    |
| 2.2.4 Phototransistors .....                                       | 11   |
| 2.3 ตัวกำเนิดแสง .....   | 12   |
| 2.3.1 Gallium Arsenide .....                                       | 13   |
| 2.3.2 Gallium Phosphide .....                                      | 13   |
| 2.3.3 Gallium Arsenide Phosphide .....                             | 14   |
| <br>   |      |
| บทที่ 3 หลักการพื้นฐานของอุปกรณ์ที่ใช้ในเครื่องตรวจจับข้อสอบ ..... | 15   |
| 3.1 พื้นฐานของการแปลงสัญญาณ .....                                  | 15   |
| 3.1.1 อุปกรณ์แปลงสัญญาณดิจิทัลเป็นสัญญาณแอนาล็อก .....             | 16   |
| 3.1.1.1 การแปลงสัญญาณดิจิทัลเป็นแอนาล็อกแบบ Binary Weight Ladder   | 17   |
| 3.1.1.2 วงจรแปลงสัญญาณดิจิทัลเป็นแอนาล็อกแบบ R-2R Ladder .....     | 19   |

เอกสารนี้เป็นเอกสารที่สงวนไว้สำหรับการใช้งานเพื่อการศึกษาเท่านั้น ไม่อนุญาตให้นำไปใช้ประโยชน์ด้านการค้า  
ไม่ว่ากรณีใดๆทั้งสิ้น อีกทั้งห้ามมิให้ดัดแปลงเนื้อหา และต้องอ้างอิงถึงเจ้าของเอกสารทุกครั้งที่มีการนำไปใช้

# สารบัญ (ต่อ)

หน้า

|         |  |    |
|---------|--|----|
| 3.1.1.3 | วงจรแปลงสัญญาณดิจิทัลเป็นแอนาลอกแบบ Inverted R-2R Ladder...          | 21 |
| 3.1.1.4 | ค่าผิดพลาดของการแปลงสัญญาณดิจิทัลเป็นแอนาลอก.....                    | 23 |
| 3.1.2   | การแปลงสัญญาณแอนาลอกเป็นดิจิทัล .....25                              | 25 |
| 3.1.2.1 | การแปลงสัญญาณแอนาลอกเป็นดิจิทัลแบบ Counter type .....                | 27 |
| 3.1.2.2 | การแปลงสัญญาณแอนาลอกเป็นดิจิทัลแบบ Successive Approximation .....    | 28 |
| 3.2     | อุปกรณ์ภายนอก .....  | 29 |
| 3.2.1   | อุปกรณ์เคลื่อนที่เป็นสเตปหรือสเตปปิงมอเตอร์แบบไฮบริดจ์ .....         | 29 |
| 3.2.1.1 | วงจรขับแบบขั้วเดียว .....  | 31 |
| 3.2.1.2 | วงจรขับแบบสองขั้ว .....  | 33 |
| 3.2.2   | การกระตุ้นขดลวดให้โรเตอร์เคลื่อนที่ในลักษณะต่าง ๆ .....              | 33 |
| 3.2.2.1 | การกระตุ้นให้ขดลวดทำงานสเตปละหนึ่งเฟส .....                          | 33 |
| 3.2.2.2 | ลำดับการทำงานในโหมดปกติกระตุ้นแบบสองเฟส .....                        | 33 |
| 3.2.2.3 | ลำดับการทำงานในโหมดการเคลื่อนที่ครึ่งสเตป .....                      | 35 |
| 3.2.3   | มอเตอร์กระแสตรง .....  | 35 |
| 3.2.3.1 | การขับมอเตอร์กระแสตรง .....  | 36 |
| บทที่ 4 | การออกแบบเครื่องตรวจสอบ .....  | 38 |
| 4.1     | การออกแบบวงจรควบคุมการทำงานของเครื่องตรวจสอบ .....                   | 38 |
| 4.1.1   | ไมโครคอนโทรลเลอร์ (Z84C11) .....                                     | 40 |
| 4.1.2   | วงจรตัวตรวจจับตำแหน่งของกระดาษคำตอบและตรวจจับตำแหน่งแถบอ้างอิง ..... | 42 |
| 4.1.3   | วงจรหัวอ่านและวงจรตรวจวัดความหนาของกระดาษคำตอบ .....                 | 44 |
| 4.1.4   | วงจรขับมอเตอร์กระแสตรงสำหรับดึงกระดาษผ่านหัวอ่าน .....               | 48 |
| 4.1.5   | วงจรขับสเตปปิงมอเตอร์สำหรับป้อนกระดาษเข้าครั้งละ 1 แผ่น .....        | 49 |
| 4.2     | โปรแกรมควบคุมเครื่องตรวจสอบ .....                                    | 50 |
| 4.3     | การออกแบบเชิงกลของเครื่องตรวจสอบ .....                               | 58 |
| บทที่ 5 | ผลการทดสอบเครื่องตรวจสอบ .....                                       | 59 |
| 5.1     | ผลการทดสอบการทำงานของหัวอ่าน.....                                    | 59 |
| 5.2     | ผลการทดสอบโปรแกรมควบคุม .....  | 68 |

เอกสารนี้เป็นเอกสารที่สงวนไว้สำหรับการใช้งานเพื่อการศึกษาเท่านั้น ไม่อนุญาตให้นำไปใช้ประโยชน์ด้านการค้า  
ไม่ว่ากรณีใดๆทั้งสิ้น อีกทั้งห้ามมิให้ดัดแปลงเนื้อหา และต้องอ้างอิงถึงเจ้าของเอกสารทุกครั้งที่มีการนำไปใช้

## สารบัญ (ต่อ)

|  | หน้า |
|--|------|
| บทที่ 6 สรุปผลงานวิจัยและแนวทางการพัฒนาต่อ .....           | 71   |
| 6.1 สรุปผลการทำงานของเครื่องตรวจข้อสอบ .....               | 71   |
| 6.2 แนวทางการพัฒนาต่อ .....                                | 71   |
| บรรณานุกรม .....   | 73   |
| ภาคผนวก ก. ส่วนประกอบต่าง ๆ ของชิ้นงานวิจัย .....          | 74   |
| ภาคผนวก ข. โปรแกรมควบคุมการทำงานของเครื่องตรวจข้อสอบ ..... | 78   |
| ภาคผนวก ค. บทความวิจัยในวิศวกรรมสารลาดกระบัง .....         | 95   |
| ภาคผนวก ง. วงจรใช้งานจริง .....                            | 102  |
| ประวัติผู้เขียน .....                                      | 111  |



# สารบัญตาราง

| ตารางที่   | หน้า |
|--|------|
| 2.1 การแบ่งความยาวคลื่นของแสง .....  | 3    |
| 2.2 ช่วงความยาวคลื่นการตอบสนองของ Photoresistors ที่สร้างจากสารชนิดต่างๆ ..... | 7    |
| 2.3 ตัวอย่าง Photodiode ที่มีจำหน่าย .....                                     | 10   |
| 2.4 การเลือกใช้ตัวจับแสงชนิดต่างๆ .....  | 12   |
| 2.5 สารกึ่งตัวนำสำหรับสร้าง LED ในย่านความยาวคลื่นต่างๆ .....                  | 12   |
| 3.1 ค่าความละเอียดของ DAC .....  | 23   |
| 3.2 แสดงลำดับการขับแบบปกติด้วยการกระตุ้นหนึ่งเฟส .....                         | 33   |
| 3.3 แสดงลำดับการทำงานในโหมดปกติด้วยการกระตุ้นแบบสองเฟส .....                   | 33   |
| 3.4 แสดงลำดับการกระตุ้นแบบครึ่งสเตป .....                                      | 34   |
| 5.1 ผลของการอ่านข้อมูลจากหัวอ่านทั้งหมดที่ระดับเกรย์ต่างๆ .....                | 65   |



เอกสารนี้เป็นเอกสารที่สงวนไว้สำหรับการใช้งานเพื่อภาVIIษาเท่านั้น ไม่อนุญาตให้นำไปใช้ประโยชน์ด้านการค้า  
ไม่ว่ากรณีใดๆทั้งสิ้น อีกทั้งห้ามมิให้ตัดแปลงเนื้อหา และต้องอ้างอิงถึงเจ้าของเอกสารทุกครั้งที่มีการนำไปใช้

# สารบัญรูป

| รูปที่  | หน้า |
|---|------|
| 2.1 แสดงความยาวคลื่นของคลื่นแม่เหล็กไฟฟ้าทั้งหมด .....  | 4    |
| 2.2 แบบจำลองแถบพลังงานของรอยต่อ P-N .....   | 5    |
| 2.3 ช่วงการตอบสนองของ Photoresistors ชนิด Cadmium Sulphide .....                                      | 6    |
| 2.4 แบบจำลองรอย P-N<br>(ก) ขณะเกิดสมดุลย์.....  | 8    |
| (ข) เมื่อมีแสงตกกระทบ .....   | 8    |
| 2.5 วงจรสมมูลของ Photovoltaic ที่มีการตอบความต้านทานภายนอก .....                                      | 8    |
| 2.6 ความสัมพันธ์ของแรงดันไฟฟ้ากับกระแสไฟฟ้าของอุปกรณ์ Photovoltaic .....                              | 9    |
| 2.7 ความสัมพันธ์ของแรงดันไฟฟ้ากับกระแสไฟฟ้าของอุปกรณ์ Photo Diode .....                               | 10   |
| 2.8 วงจรสมมูลของ Phototransistors .....   | 11   |
| 2.9 ความสัมพันธ์ของแรงดัน $V_{CE}$ กับ $I_C$ ของทรานซิสเตอร์ชนิดซิลิคอนที่ความเข้มต่างๆ .....         | 11   |
| 2.10 การตอบสนองต่อแสงสีต่างๆของตามนุษย์ .....   | 13   |
| 2.11 ความสัมพันธ์ระหว่างความยาวคลื่นของแสงที่ได้กับอัตราส่วนของการผสม .....                           | 14   |
| 3.1 ระบบของการแปลงสัญญาณ<br>(ก) ระบบการแปลงสัญญาณแอนะล็อกเป็นสัญญาณดิจิทัล .....                      | 15   |
| (ข) ระบบการแปลงสัญญาณดิจิทัลเป็นสัญญาณแอนะล็อก .....  | 15   |
| 3.2 การทำงานของวงจรแปลงสัญญาณดิจิทัลเป็นแอนะล็อกขนาด 3 บิต .....                                      | 16   |
| 3.3 ฟังก์ชันการทำงานพื้นฐานของอุปกรณ์แปลงสัญญาณดิจิทัลเป็นแอนะล็อก .....                              | 17   |
| 3.4 วงจรแปลงสัญญาณดิจิทัลเป็นแอนะล็อกแบบ Binary weight ladder .....                                   | 18   |
| 3.5 วงจรแปลงสัญญาณดิจิทัลเป็นแอนะล็อกแบบ R-2R Ladder .....  | 20   |
| 3.6 เมื่อ $D_n$ มีค่าเป็น "1" เท่านั้น .....  | 20   |
| 3.7 (ก) วงจรแปลงสัญญาณดิจิทัลเป็นแอนะล็อกแบบ Inverted R-2R Ladder .....                               | 22   |
| (ข) วงจรเสมือน .....  | 22   |
| 3.8 พื้นฐานการแปลงสัญญาณ<br>(ก) หลักการพื้นฐานอย่างง่าย .....   | 26   |
| (ข) ทรานเฟอร์ฟังก์ชันของวงจรเปรียบเทียบ .....   | 26   |
| 3.9 การแปลงสัญญาณแอนะล็อกเป็นดิจิทัล<br>(ก) โครงสร้างพื้นฐานของการแปลงสัญญาณแอนะล็อกเป็นดิจิทัล ..... | 26   |
| (ข) การแปลงสัญญาณแอนะล็อกเป็นดิจิทัลขนาด 3 บิตในทางอุดมคติ .....                                      | 26   |

## สารบัญรูป(ต่อ)

| รูปที่   | หน้า |
|--|------|
| 3.10 การแปลงสัญญาณแอนาลอกเป็นดิจิตอลแบบ Counter type                                   |      |
| (ก) ผังการทำงานของวงจรแปลงสัญญาณแอนาลอกเป็นดิจิตอล .....                               | 27   |
| (ข) ลำดับการทำงานของวงจรแปลงสัญญาณแอนาลอกเป็นดิจิตอล .....                             | 27   |
| 3.11 การแปลงสัญญาณแอนาลอกเป็นดิจิตอล แบบ Successive Approximation                      |      |
| (ก) ผังการทำงาน .....  | 28   |
| (ข) Timing ของวิธีการแบบ Successive Approximation .....                                | 28   |
| 3.12 แสดงโครงสร้างของไฮบริดจ์สเต็ปปีงมอเตอร์ .....                                     | 30   |
| 3.13 วงจรแม่เหล็กของสเต็ปปีงมอเตอร์แบบไฮบริดจ์ .....                                   | 31   |
| 3.14 วงจรขับแบบขั้วเดียว .....   | 32   |
| 3.15 วงจรขับสำหรับสเต็ปปีงมอเตอร์ที่พันขดลวดแบบไบโพลาร์และใช้การขับแบบโมโนโพลาร์ ..... | 32   |
| 3.16 วงจรขับแบบสองขั้ว .....   | 33   |
| 3.17 วงจรขับแบบเชิงเส้นอย่างง่าย .....   | 37   |
| 3.18 วงจรขับพัลส์วิดท์มอดอย่างง่าย .....   | 37   |
| 4.1 กระดาษคำตอบที่ใช้กับเครื่องตรวจสอบ .....   | 38   |
| 4.2 ผังของวงจรควบคุมการทำงานของเครื่องตรวจสอบ .....                                    | 39   |
| 4.3 โครงสร้างของพอร์ตภายใน Z84C11 .....  | 41   |
| 4.4 โครงสร้างภายในของ CTC ใน Z84C11 .....  | 42   |
| 4.5 วงจรตรวจจับตำแหน่งของกระดาษคำตอบ .....   | 43   |
| 4.6 วงจรตรวจจับแถบอ้างอิงของกระดาษคำตอบ .....  | 43   |
| 4.7 วงจรตรวจจับความหนาของกระดาษคำตอบ .....   | 44   |
| 4.8 วงจรแปลงสัญญาณดิจิตอลเป็นสัญญาณแอนาลอกแบบ R-Ladder .....                           | 45   |
| 4.9 วงจรส่วนแปลงกระแสไฟฟ้าที่ได้จากตัวรับแสงอินฟราเรดเป็นแรงดันไฟฟ้า .....             | 46   |
| 4.10 วงจรเลือกอ่านอุปกรณ์แปลงสัญญาณแอนาลอกเป็นดิจิตอล .....                            | 47   |
| 4.11 วงจรแปลงสัญญาณแอนาลอกเป็นดิจิตอล .....  | 48   |
| 4.12 วงจรขั้วมอเตอร์กระแสตรงสำหรับขับกระดาษให้เคลื่อนที่ผ่านหัวอ่าน .....              | 49   |
| 4.13 วงจรขั้วสเต็ปปีงมอเตอร์สำหรับดึงกระดาษให้ตรวจครั้งละ 1 แผ่น .....                 | 49   |
| 4.14 การทำงานทั้งหมดของโปรแกรมควบคุม .....   | 51   |
| 4.15 การทำงานเมื่อมีการกดคีย์ SELECT .....   | 52   |
| 4.16 การทำงานของโปรแกรมเมื่อมีการกดคีย์ DONE .....                                     | 53   |
| 4.17 การทำงานของโปรแกรมอ่านกระดาษคำตอบเฉลี่ย .....                                     | 54   |

## สารบัญรูป(ต่อ)

| รูปที่  | หน้า |
|---|------|
| 4.18 การทำงานของโปรแกรมย่อยตอบรับการอินเตอร์รัพท์ .....   | 56   |
| 4.19 การทำงานของโปรแกรมตรวจสอบ .....  | 57   |
| 5.1 ระดับเกเรย์ที่ใช้ในการทดสอบหัวอ่าน .....  | 59   |
| 5.2 กราฟเปรียบเทียบระหว่างการใช้แรงดันอ้างอิงที่ $V_{cc}/2$ กับการใช้ความหนากระดาษเป็นแรงดันอ้างอิงที่กระดาษเปล่า.....      | 60   |
| 5.3 กราฟเปรียบเทียบระหว่างการใช้แรงดันอ้างอิงที่ $V_{cc}/2$ กับการใช้ความหนากระดาษเป็นแรงดันอ้างอิงที่ระดับเกเรย์ 10%.....  | 60   |
| 5.4 กราฟเปรียบเทียบระหว่างการใช้แรงดันอ้างอิงที่ $V_{cc}/2$ กับการใช้ความหนากระดาษเป็นแรงดันอ้างอิงที่ระดับเกเรย์ 30% ..... | 61   |
| 5.5 กราฟเปรียบเทียบระหว่างการใช้แรงดันอ้างอิงที่ $V_{cc}/2$ กับการใช้ความหนากระดาษเป็นแรงดันอ้างอิงที่ระดับเกเรย์ 50% ..... | 62   |
| 5.6 กราฟเปรียบเทียบระหว่างการใช้แรงดันอ้างอิงที่ $V_{cc}/2$ กับการใช้ความหนากระดาษเป็นแรงดันอ้างอิงที่ระดับเกเรย์ 70% ..... | 62   |
| 5.7 กราฟเปรียบเทียบระหว่างการใช้แรงดันอ้างอิงที่ $V_{cc}/2$ กับการใช้ความหนากระดาษเป็นแรงดันอ้างอิงที่ระดับเกเรย์ 90% ..... | 63   |
| 5.8 ความสัมพันธ์ระหว่างความเข้มของระดับเกเรย์กับข้อมูลเป็นค่าเฉลี่ยจากหัวอ่าน 1 จุด .....                                   | 63   |
| 5.9 ความสัมพันธ์ของหัวอ่านในแต่ละจุดกับค่า A to D ที่อ่านได้เมื่อใช้กระดาษคำตอบเปล่า .....                                  | 64   |
| 5.10 ความสัมพันธ์ของหัวอ่านในแต่ละจุดกับค่า A to D ที่อ่านได้ที่ระดับเกเรย์ 10% .....                                       | 66   |
| 5.11 ความสัมพันธ์ของหัวอ่านในแต่ละจุดกับค่า A to D ที่อ่านได้ที่ระดับเกเรย์ 30% .....                                       | 66   |
| 5.12 ความสัมพันธ์ของหัวอ่านในแต่ละจุดกับค่า A to D ที่อ่านได้ที่ระดับเกเรย์ 50% .....                                       | 67   |
| 5.13 ความสัมพันธ์ของหัวอ่านในแต่ละจุดกับค่า A to D ที่อ่านได้ที่ระดับเกเรย์ 70% .....                                       | 67   |
| 5.14 ความสัมพันธ์ของหัวอ่านในแต่ละจุดกับค่า A to D ที่อ่านได้ที่ระดับเกเรย์ 90% .....                                       | 68   |
| 5.15 การแสดงผลของเมนูเลือกแบบกระดาษทำงาน .....  | 68   |
| 5.16 เมื่อเข้าสู่เมนูย่อยของการเลือกแบบกระดาษ .....   | 69   |
| 5.17 เมนูหลักของการอ่านกระดาษคำตอบเฉลย .....  | 69   |
| 5.18 การแสดงผลขณะอ่านคำตอบเฉลย .....  | 69   |
| 5.19 การแสดงผลของเมนูหลักการตรวจข้อสอบ .....  | 69   |
| 5.20 การแสดงผลขณะตรวจข้อสอบ .....   | 70   |
| 5.21 การแสดงผลของคะแนนที่ตรวจได้ .....  | 70   |

# บทที่ 1

## บทนำ

ปัจจุบันคอมพิวเตอร์ถูกนำมาประยุกต์ใช้งานในลักษณะต่างๆ อย่างแพร่หลาย ทั้งทางด้านเอกสารและการประมวลผล ในงานด้านการศึกษานั้นมีการนำคอมพิวเตอร์มาใช้ในการเรียนการสอนและการประเมินผลการศึกษามากขึ้น โดยเฉพาะการประเมินผลการศึกษานั้นได้มีการนำเครื่องตรวจข้อสอบแบบอัตโนมัติที่ตรวจคำตอบในแบบกระดาษคำตอบชนิดเลือกคำตอบด้วยการฝนดินสอมาใช้งาน เครื่องตรวจข้อสอบดังกล่าวจะเป็นเครื่องตรวจข้อสอบที่นำเข้าจากต่างประเทศที่มีราคาแพง ทำให้มีใช้เฉพาะสถานศึกษาขนาดใหญ่เท่านั้น หากสามารถที่จะสร้างเครื่องตรวจข้อสอบขึ้นเองภายในประเทศได้จะทำให้ราคาของเครื่องตรวจข้อสอบถูกลงและทำให้สถานศึกษาขนาดเล็กสามารถมีเครื่องตรวจข้อสอบไว้ใช้งานได้ จากการศึกษาการทำงานของเครื่องตรวจข้อสอบที่มีจำหน่ายภายในประเทศสามารถแบ่งออกได้เป็นสองลักษณะขึ้นกับหลักการการทำงานของหัวอ่าน ได้แก่หัวอ่านชนิดใช้หลักการสะท้อนของแสงอินฟราเรดและหัวอ่านชนิดทะลุผ่านของแสงอินฟราเรด โดยที่มีข้อแตกต่างกันตรงที่หัวอ่านชนิดใช้หลักการสะท้อนของแสงอินฟราเรดจะต้องมีหัวอ่านสองชุดในการอ่านกระดาษคำตอบทั้งสองหน้า ส่วนชนิดที่ใช้หลักการทะลุผ่านของแสงอินฟราเรดจะใช้หัวอ่านเพียงชุดเดียวในการอ่านกระดาษคำตอบทั้งสองหน้าแต่มีข้อจำกัดที่ตำแหน่งของข้อในกระดาษคำตอบทั้งสองหน้าจะต้องไม่ตรงกัน

### 1.1 แนวความคิดของวิทยานิพนธ์

จากการทำงานของเครื่องตรวจข้อสอบที่กล่าวมาข้างต้นจะเห็นว่าในการพัฒนาเครื่องตรวจข้อสอบขึ้นใช้เองนั้นจะต้องคำนึงถึงราคาของเครื่องตรวจข้อสอบที่จะพัฒนาขึ้น โดยเมื่อเปรียบเทียบการทำงานของหัวอ่านทั้งสองแบบจะเห็นว่าในการสร้างหัวอ่านแบบสะท้อนของแสงอินฟราเรดนั้นจะต้องสร้างที่ยึดสำหรับตัวส่งและตัวรับแสงอินฟราเรดให้ทำมุมที่เหมาะสมซึ่งจะทำได้ยากกว่าการสร้างหัวอ่านแบบทะลุผ่านของแสงอินฟราเรด

การใช้หลักการแสงอินฟราเรดทะลุผ่านกระดาษคำตอบนั้นจะต้องวางตัวส่งและตัวรับแสงอินฟราเรดให้อยู่ในลักษณะตรงข้ามกันโดยที่กระดาษคำตอบจะเลื่อนผ่านระหว่างตัวส่งและตัวรับแสงอินฟราเรดนั้น แสงอินฟราเรดบางส่วนจะถูกดูดกลืนไปกับกระดาษคำตอบซึ่งจะทำให้ช่วงการเปลี่ยนแปลงของกระแสไฟฟ้าที่ตัวรับแสงอินฟราเรดอยู่ในช่วงแคบๆ ดังนั้นความหนาของกระดาษคำตอบจะมีผลต่อการทำงานของหัวอ่านมากจึงต้องนำค่าความหนากระดาษในรูปของแรงดันไฟฟ้าสำหรับกำเนิดแรงดันไฟฟ้าอ้างอิงให้แก่อุปกรณ์แปลงสัญญาณแอนนาลอกเป็นดิจิตอลเพื่อขยายช่วงของสัญญาณที่ได้จากตัวรับแสงอินฟราเรดให้เต็มตามความสามารถของอุปกรณ์แปลงสัญญาณแอนนาลอกเป็นดิจิตอลเพราะขณะที่แสงอินฟราเรดผ่านกระดาษคำตอบเหล่านั้นตัวรับแสงอินฟราเรดจะให้สัญญาณที่มีขนาดสูงที่สุด หากกำหนดให้อุปกรณ์แปลงสัญญาณแอนนาลอกเป็นดิจิตอลเต็มสเกลตามสัญญาณดังกล่าวจะทำให้ค่าของอุปกรณ์แปลงสัญญาณแอนนาลอกเป็นดิจิตอลที่อ่านได้สามารถแยกความแตกต่างของความเข้มการฝนดินสอได้ง่ายขึ้น สำหรับเครื่องตรวจข้อสอบที่สร้างขึ้น

เอกสารนี้เป็นเอกสารที่สงวนไว้สำหรับการใช้งานเพื่อการศึกษาเท่านั้น มิอนุญาตให้นำไปใช้ประโยชน์ในการค้า  
ไม่ว่ากรณีใดๆทั้งสิ้น อีกทั้งห้ามมิให้ตัดแปลงเนื้อหา และต้องอ้างอิงถึงเจ้าของเอกสารทุกครั้งที่มีการนำไปใช้

ในวิทยานิพนธ์ฉบับนี้จะมุ่งเน้นเครื่องตรวจข้อสอบด้วยแสงอินฟราเรดแบบทะลุผ่านโดยที่สามารถทำงานได้ด้วยตัวเครื่องตรวจข้อสอบเองไม่จำเป็นต้องต่อพ่วงกับคอมพิวเตอร์

## 1.2 วัตถุประสงค์

สำหรับงานวิจัยเครื่องตรวจข้อสอบด้วยแสงอินฟราเรดแบบทะลุผ่านนั้น เพื่อสร้างต้นแบบเครื่องตรวจข้อสอบที่ใช้สำหรับกระดาษคำตอบที่ฝนด้วยดินสอแบบที่มีตำแหน่งของข้อในสองหน้าของกระดาษคำตอบไม่ตรงกันเท่านั้น โดยจะสามารถทำงานได้ด้วยตัวเครื่องเองไม่จำเป็นต้องต่อพ่วงกับคอมพิวเตอร์ให้มีราคาถูกและมีประสิทธิภาพเทียบเท่ากับเครื่องตรวจข้อสอบจากต่างประเทศ

## 1.3 ประโยชน์ที่คาดว่าจะได้รับจากงานวิจัย

1. สามารถพัฒนาเครื่องตรวจข้อสอบขึ้นใช้เองภายในประเทศ
2. สามารถประยุกต์ใช้งานในลักษณะอื่นนอกเหนือจากการตรวจข้อสอบได้ เช่น การลงทะเบียน, การทำแบบสอบถาม เป็นต้น
3. ลดการนำเข้าเครื่องตรวจข้อสอบจากต่างประเทศได้ ลดการสูญเสียเงินตราไปต่างประเทศ
4. ทำให้สถาบันการศึกษาขนาดเล็ก สามารถซื้อเครื่องตรวจข้อสอบในราคาถูกเพื่อการศึกษาได้

สำหรับเนื้อหาภายในวิทยานิพนธ์นี้จะประกอบด้วย

บทที่ 2 กล่าวถึงทฤษฎีเบื้องต้นของตัวรับและตัวส่งแสงอินฟราเรด

บทที่ 3 กล่าวถึงทฤษฎีเบื้องต้นส่วนอื่นที่ใช้ในวิทยานิพนธ์นี้

บทที่ 4 กล่าวถึงการออกแบบเครื่องตรวจข้อสอบ

บทที่ 5 ผลการทดสอบเครื่องตรวจข้อสอบ

บทที่ 6 สรุปและแนวทางการพัฒนาต่อ

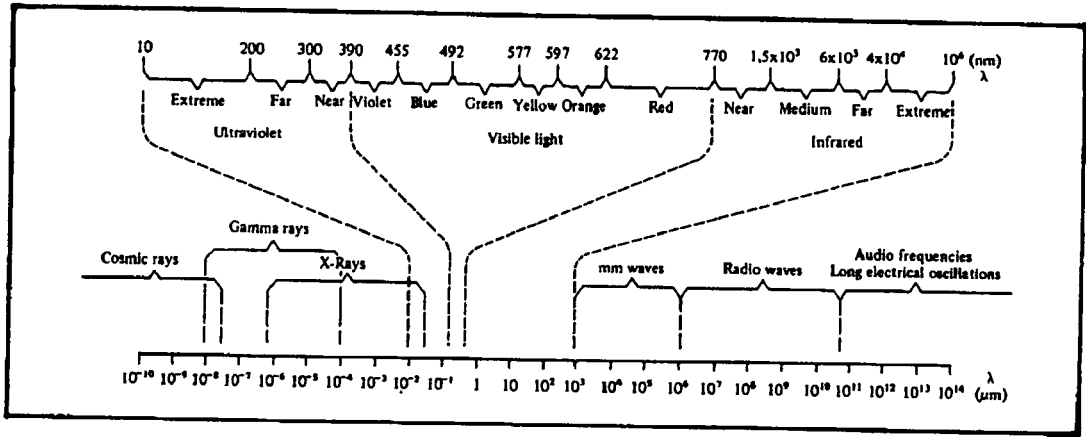
## บทที่ 2

# ทฤษฎีพื้นฐานของตัวกำเนิดแสงและตัวตรวจจับแสง

แสงเป็นคลื่นแม่เหล็กไฟฟ้าที่มีความยาวคลื่นระหว่าง 10 นาโนเมตรถึง 1 มิลลิเมตรดังแสดงในรูปที่ 2.1 ซึ่งแสดงความยาวคลื่นของคลื่นแม่เหล็กไฟฟ้าทั้งหมด แสงสามารถย่านความยาวคลื่นได้ 3 ย่านได้แก่ ย่านอัลตราไวโอเล็ต, ย่านที่มองเห็นและย่านอินฟราเรด โดยที่ย่านอัลตราไวโอเล็ตจะเริ่มที่ความยาวคลื่น 100 นาโนเมตร ทั้งย่านอัลตราไวโอเล็ตและย่านอินฟราเรดจะแบ่งเป็นกลุ่มย่อยเป็น 3 กลุ่มได้แก่ A, B, และ C ตามลำดับ ส่วนแสงที่มองเห็นได้นั้นจะแบ่งเป็นสีตามความสามารถการมองเห็นของตามมนุษย์ดังแสดงในตารางที่ 2.1

ตารางที่ 2.1 การแบ่งย่านความยาวคลื่นของแสง

| Wavelength range                      | Designation of Radiation |
|---------------------------------------|--------------------------|
| 100 nm – 280 nm                       | UV – C                   |
| 280 nm – 315 nm                       | UV – B                   |
| 315 nm – 380 nm                       | UV – A                   |
| 380 nm – 440 nm                       | Light – violet           |
| 440 nm – 495 nm                       | Light – blue             |
| 495 nm – 558 nm                       | Light – green            |
| 580 nm – 640 nm                       | Light – yellow           |
| 640 nm – 750 nm                       | Light – red              |
| 750 nm – 1 400 nm                     | IR – A                   |
| 1.4 $\mu\text{m}$ – 3 $\mu\text{m}$   | IR – B                   |
| 3 $\mu\text{m}$ – 1 000 $\mu\text{m}$ | IR – C                   |



รูปที่ 2.1 แสดงความยาวคลื่นของคลื่นแม่เหล็กไฟฟ้าทั้งหมด

## 2.1 ปริมาณการแผ่รังสี (Quantum Nature of Radiation)

การแผ่รังสีของคลื่นแม่เหล็กไฟฟ้ารวมทั้งแสงจะพิจารณาในลักษณะของคลื่นแบบต่อเนื่อง โดยเฉพาะการแผ่รังสีของแสงจะอยู่ในรูปของพลังงานแสงหรือเรียกอีกอย่างหนึ่งว่าโฟตอน (Photon) ซึ่งจะมีพลังงานที่แน่นอนขึ้นกับความถี่ของแสงนั้น ๆ ความสัมพันธ์ระหว่างพลังงานและความถี่ของแสงสามารถเขียนในรูปของสมการได้ดังนี้

$$W_{\text{Ph}} = h \cdot \nu \quad (1)$$

เมื่อ  $h$  คือค่าคงที่ของพลังค์ซึ่งมีค่าเท่ากับ  $6.62 \times 10^{-34}$  watt . sec<sup>2</sup>

$\nu$  คือความถี่ของแสงมีหน่วยเป็น Hz.

และความสัมพันธ์ระหว่างความเร็วของแสงและความยาวคลื่นและความถี่มีดังนี้

$$c_0 = \lambda \cdot \nu \quad (2)$$

เมื่อ  $c_0$  คือ ความเร็วของแสงในสุญญากาศมีค่าเท่ากับ  $3.0 \times 10^8$  เมตร/วินาที

$\lambda$  คือความยาวคลื่นของแสง

$\nu$  คือความถี่ของแสง

เมื่อแทนค่าในสมการที่ (1) ด้วยสมการที่ (2) จะได้ความยาวคลื่นของแสงในรูปของพลังงานของแสงได้ดังนี้

$$\lambda = c_0 \cdot h / W_{\text{Ph}} \quad (3)$$

โดยปกติหน่วยพลังงานของแสงจะมีหน่วยเป็นอิเล็กตรอนโวลต์ (eV) ซึ่งมีค่าเท่ากับค่าของพลังงานจลของอิเล็กตรอนที่ได้รับให้สามารถเคลื่อนที่ผ่านความต่างศักย์ของสนามไฟฟ้าขนาดหนึ่งโวลต์ได้และมีค่าเท่ากับ  $1.602 \times 10^{-19}$  Watt . Sec (W.s) ในหน่วย SI เมื่อแทนค่าคงที่ในสมการที่ (3) เพื่อให้ได้เป็นหน่วยของอิเล็กตรอนโวลต์จะได้ดังนี้

$$\lambda = (3.0 \times 10^8 \times 6.62 \times 10^{-34}) / W_{\text{Ph}} \times 1.602 \times 10^{-19}$$

จะได้เป็น

$$\lambda = 1.24/W_{ph} \quad (4)$$

เมื่อ  $\lambda$  มีหน่วยวัดเป็นไมโครเมตร

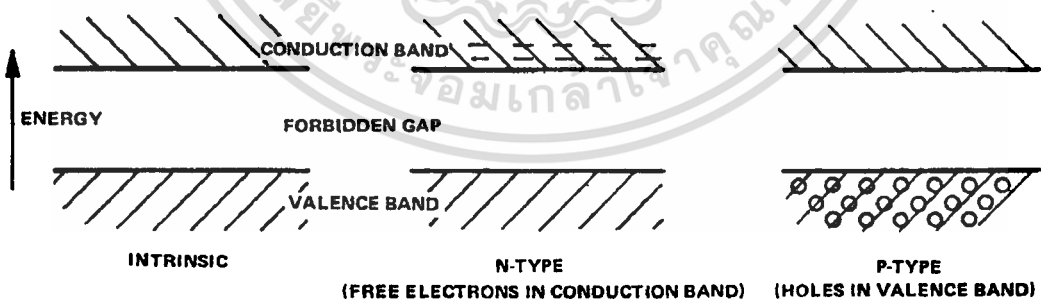
$C_0$  มีหน่วยวัดเป็นเมตร/วินาที

$W_{ph}$  มีหน่วยวัดเป็นอิเล็กตรอนโวลต์

จากสมการที่ (4) จะเห็นว่าพลังงานของแสงมากแสงนั้นจะมีความยาวคลื่นสั้นในทางตรงข้ามความยาวคลื่นของแสงยาวจะมีพลังงานต่ำ

## 2.2 ตัวตรวจจับแสง (Sensors)

หน้าที่ของตัวตรวจจับแสงจะเปลี่ยนพลังงานของแสงที่ตกกระทบให้เป็นพลังงานไฟฟ้า สำหรับตัวตรวจจับแสงชนิดสารกึ่งตัวนำจะทำงานในลักษณะดูดกลืนพลังงานแสงภายในโครงสร้างของสารกึ่งตัวนำ ถ้าแสงนั้นมีความยาวคลื่นยาวกว่าความยาวคลื่นที่ตัวตรวจจับแสงทำงานแสงจะผ่านตัวตรวจจับแสงโดยที่ไม่เกิดการเปลี่ยนแปลงใด ๆ ขึ้นที่ตัวตรวจจับแสงนั้นและถ้าแสงมีความยาวคลื่นสั้นกว่าความยาวคลื่นที่ตัวตรวจจับแสงทำงานแสงนั้นจะถูกกลืนที่ผิวของตัวตรวจจับแสงซึ่งจะไม่เกิดการเปลี่ยนแปลงเช่นกัน ดังนั้นแสงที่จะทำให้ตัวตรวจจับแสงทำงานได้จะต้องมีความยาวคลื่นที่เหมาะสมกับตัวตรวจจับแสงนั้น ๆ โดยสามารถอธิบายได้จากทฤษฎีว่าด้วยแถบพลังงาน (Energy band gap theory) ที่รอยต่อ P-N จะมีแถบพลังงานขึ้น 3 แถบ (ซึ่งเกิดจากสารเจือที่เติมลงไปในสารกึ่งตัวนำนั้น) ได้แก่ แถบความนำ (Conduction Band), แถบช่องว่างพลังงาน (Energy Gap) และแถบวาเลนซ์ (Valence Band) ดังแสดงในรูปที่ 2.2 เมื่อรอยต่อ P-N อยู่ในสภาวะสมดุลจะไม่มียุอิเล็กตรอนในแถบวาเลนซ์ซึ่งมีพลังงานสูงสามารถเคลื่อนที่ผ่านแถบช่องว่างพลังงานไปได้ทำให้ไม่มีประจุหรือกระแสไฟฟ้าไหลขึ้น



รูปที่ 2.2 แบบจำลองแถบพลังงานของรอยต่อ P-N

เมื่อมีแสงที่มีพลังงานหรือมีความยาวคลื่นที่เหมาะสมตกกระทบรอยต่อ P-N ของตัวตรวจจับแสงจะทำให้อิเล็กตรอนในแถบวาเลนซ์มีพลังงานเพิ่มขึ้นจนสามารถเคลื่อนที่ผ่านแถบช่องว่างพลังงานได้ทำให้เกิดกระแส

ไฟฟ้าไหลขึ้นภายในตัวตรวจจับแสงโดยจะขึ้นกับความเข้มของแสงที่ตกกระทบ สำหรับตัวตรวจจับแสงชนิดสารกึ่งตัวนำมีหลายชนิดได้แก่

- ชนิด Photoconductor-Photoresistors
- ชนิด Photovoltaic
- ชนิด Photodiode
- ชนิด Phototransistors

โดยมีรายละเอียดของแต่ละชนิดดังนี้

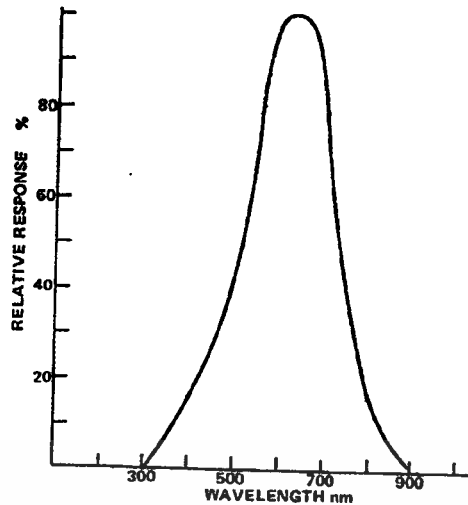
### 2.2.1 Photoconductor-Photoresistors

ตัวตรวจจับแสงชนิดนี้จะเปลี่ยนความสามารถนำไฟฟ้าตามความเข้มของแสงที่ตกกระทบโดยที่แสงที่ตกกระทบนั้นจะต้องมีความยาวคลื่นที่เหมาะสมกับตัวตรวจจับแสงนั้นซึ่งพลังงานของแสงจะทำให้เกิดการจับคู่ของโฮลและอิเล็กตรอนขึ้นเป็นผลให้สภาพการนำไฟฟ้าของตัวตรวจจับแสงเพิ่มขึ้น สภาพการนำไฟฟ้าของตัวตรวจจับแสงจะมีการเปลี่ยนแปลงได้ก็ต่อเมื่อมีเงื่อนไขดังนี้

1. แสงที่มีผลต่อตัวตรวจจับแสงเมื่อแสงนั้นตกกระทบบริเวณที่ตัวตรวจจับแสงทำงานเท่านั้น แสงที่สะท้อนจะไม่มีผลใด ๆ ต่อตัวตรวจจับแสงนั้น
2. แสงที่ตกกระทบจะต้องมีพลังงานเพียงพอที่จะทำให้เกิดการจับคู่อิเล็กตรอนในการเคลื่อนที่และช่วงเวลาชีวิต (Lifetime) เพียงพอที่จะนำกระแสไฟฟ้าได้
3. มีขั้วต่อที่สามารถนำกระแสไฟฟ้าให้ไหลภายในตัวตรวจจับแสงได้

อย่างไรก็ตามการใช้งานของ Photoconductor-Photoresistors จะต้องคำนึงการทำงานช่วงของความยาวคลื่นของแสงที่จะตรวจจับ รูปที่ 2.3 แสดงช่วงการตอบสนองของ Photoresistor ชนิด Cadmium Sulphide สำหรับตารางที่ 2.2 สรุปช่วงความยาวคลื่นการตอบสนองของ Photoconductor-Photoresistors ที่สร้างจากสารชนิดต่าง ๆ สิ่งสำคัญในการเลือกใช้ Photoconductor-Photoresistors มีดังนี้

1. ความไวของการทำงาน (Sensitivity) คือความสามารถความต้านทานต่อความเข้มของแสง โดยทั่วไปจะมีค่าความต้านทาน 500 กิโลโอห์มที่ไม่มีแสงแสงจะลดลงเป็น 50 โอห์มที่ปริมาณแสงในห้อง
2. ช่วงของการตอบสนอง เนื่องจากอุณหภูมิจะมีผลต่อการทำงานโดยที่ความยาวคลื่นของแสงจะเพิ่มขึ้นเมื่ออุณหภูมิต่ำลง
3. ค่าคงที่ของเวลาทำงาน



รูปที่ 2.3 ช่วงการตอบสนองของ Photoresistor ชนิด Cadmium Sulphide

ตารางที่ 2.2 ช่วงความยาวคลื่นการตอบสนองของ Photoresistors ที่สร้างจากสารชนิดต่าง ๆ

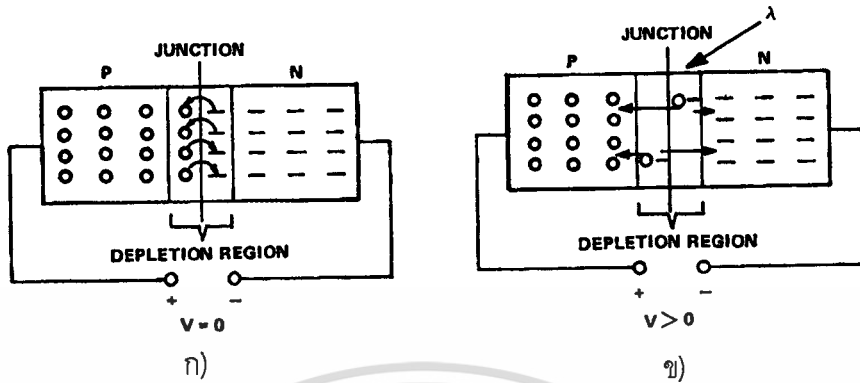
| Material                | Energy Gap eV | Useful Response range nm. |           |
|-------------------------|---------------|---------------------------|-----------|
| Cadmium Sulphide, Cds   | 2.45          | 400 - 800                 | 515 - 550 |
| Cadmium Selenide, CdSe  | 1.74          | 680 - 750                 | 675 - 735 |
| Lead Sulphide, PbS      | 0.40          | 500 - 3000                | 2000      |
| Lead Telluride, PbTe    | 0.31          | 600 - 4500                | 2200      |
| Lead Selenide, PbSe     | 0.25          | 700 - 5800                | 4000      |
| Silicon, Si             | 1.12          | 450 - 1100                | 850       |
| Germanium, Ge           | 0.66          | 550 - 1800                | 1540      |
| Indium Antimonide, InSb | 0.16          | 600 - 7000                | 5500      |
| Indium Arsenide, InAs   | 0.33          | 1000 - 4000               | 3500      |

### 2.2.2 Photovoltaic

ตัวตรวจจับแสงชนิด Photovoltaic จะมีโครงสร้างภายในเป็นแบบรอยต่อ P-N ที่จะเปลี่ยนพลังงานแสงที่ได้รับเป็นแรงดันไฟฟ้าซึ่งจะต่างจากชนิด Photoconductor ที่จะเปลี่ยนการนำไฟฟ้าตามความเข้มของแสง เมื่อสารกึ่งตัวนำสองชนิดได้แก่ P และ N นำมาต่อกันทำให้เกิดรอยต่อ P-N ซึ่งที่รอยต่อนี้จะเกิดสนามไฟฟ้าอันเนื่องมาจากอิเล็กตรอนในส่วนของสารกึ่งตัวนำชนิด P และ โฮลในส่วนของสารกึ่งตัวนำชนิด N ดังแสดงในรูปที่ 2.4 เมื่อรอยต่อ P-N อยู่ในสภาวะสมดุลย์สามารถแสดงได้ในรูปที่ 2.4 ก) เมื่อมีพลังงานแสงตกกระทบที่รอยต่อ P-N จะทำให้การจับคู่อิเล็กตรอนกับโฮลเกิดการแยกตัวออกโดยที่อิเล็กตรอนจะเคลื่อนที่ไปในทิศทางสารกึ่งตัวนำชนิด N และโฮลจะไปทางสารกึ่งตัวนำชนิด P ทำให้เกิดแรงดัน emf ที่หน้าสัมผัสของ

เอกสารนี้เป็นเอกสารที่สงวนไว้สำหรับการใช้งานเพื่อการศึกษาเท่านั้น ไม่อนุญาตให้นำไปใช้ประโยชน์ด้านการค้า ไม่ว่าจะกรณีใดๆทั้งสิ้น อีกทั้งห้ามมิให้ตัดแปลงเนื้อหา และต้องอ้างอิงถึงเจ้าของเอกสารทุกครั้งที่มีการนำไปใช้

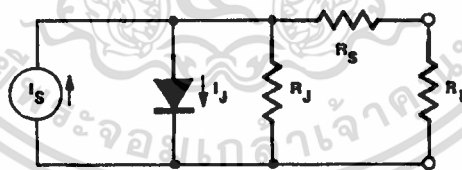
อุปกรณ์ดังแสดงในรูปที่ 2.4 ข) นอกจากพลังงานของแสงจะกระทำที่รอยต่อแล้วยังเกิดขึ้นในเนื้อสารทั้งชนิด P และ N ด้วย อิเล็กตรอนและโฮลที่เกิดขึ้นจะเคลื่อนไปที่รอยต่อเช่นกัน ซึ่งแรงดัน emf ที่เกิดขึ้นเปรียบ



### รูปที่ 2.4 แบบจำลองรอยต่อ P-N

- ก) ขณะเกิดสมดุล  
ข) เมื่อมีแสงตกกระทบ

เสมือนรอยต่อ P-N ถูกไบอัสตรงขณะที่ยังไม่มี การต่อกับอุปกรณ์ภายนอกซึ่งแรงดันไฟฟ้าที่เกิดขึ้นเรียกว่าแรงดันไฟฟ้าขณะวงจรเปิด (Open Circuit Voltage) อย่างไรก็ตามถ้ามีการต่อความต้านทานภายนอกจะทำให้เกิดกระแสไฟฟ้าไหล กระแสไฟฟ้านี้จะแบ่งไหลอันเนื่องมาจากความต้านทานภายนอกกับความต้านทานภายใน ดังแสดงในรูปที่ 2.5 ซึ่งแสดงวงจรสมมูลของอุปกรณ์ Photovoltaic โดยมีความต้านทาน  $R_L$  เป็นโหลด



$I_s$  = A CURRENT GENERATOR  
 $I_j$  = JUNCTION CURRENT  
 $R_j$  = JUNCTION RESISTANCE  
 $R_s$  = SERIES RESISTANCE  
 $R_L$  = EXTERNAL LOAD RESISTANCE

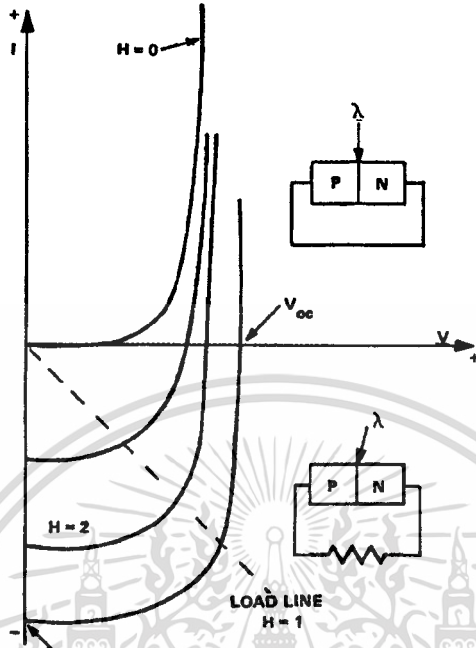
### รูปที่ 2.5 วงจรสมมูลของ Photovoltaic ที่มีการต่อความต้านทานภายนอก

ในรูปที่ 2.6 แสดงความสัมพันธ์ระหว่างแรงดันกับกระแสไฟฟ้าของอุปกรณ์ Photovoltaic สำหรับอุปกรณ์ Photovoltaic ชนิดที่ทำด้วย Si จะมีแรงดันไฟฟ้าขณะวงจรเปิดที่ 0.4-0.5 โวลต์ และกระแสประมาณ 30 มิลลิแอมป์ต่อพื้นที่หนึ่งตารางเซนติเมตรที่แสงแดดปกติ สิ่งสำคัญในการเลือกใช้งานได้แก่

1. ความไวเมื่อเทียบกับความเข้มของแสง

เอกสารนี้เป็นเอกสารที่สงวนไว้สำหรับการใช้งานเพื่อการศึกษาเท่านั้น ไม่อนุญาตให้นำไปใช้ประโยชน์ด้านการค้า ไม่ว่าจะกรณีใดๆทั้งสิ้น อีกทั้งห้ามมิให้ตัดแปลงเนื้อหา และต้องอ้างอิงถึงเจ้าของเอกสารทุกครั้งที่มีการนำไปใช้

2. ช่วงของการตอบสนองปกติจะเป็นชิลิกอน
3. ค่าคงที่ของเวลา



รูปที่ 2.6 ความสัมพันธ์ของแรงดันไฟฟ้ากับกระแสไฟฟ้าของอุปกรณ์ Photovoltaic

### 2.2.3 Photodiode

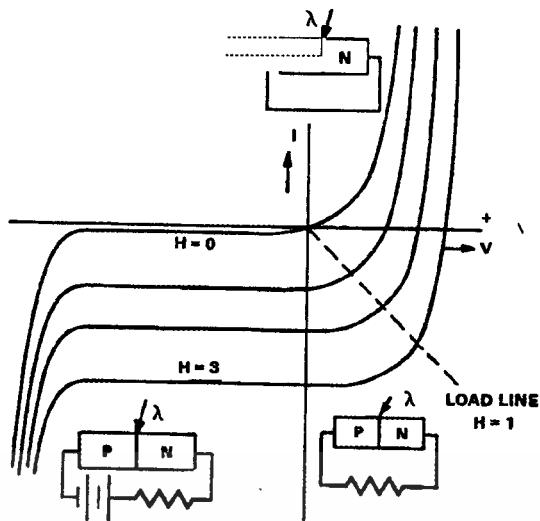
ตัวตรวจจับแสงชนิด Photodiode จะเป็นแบบรอยต่อ P-N เช่นเดียวกับ Photovoltaic จะต่างกันที่ตัวตรวจจับ Photodiode จะออกแบบให้ทำงานในลักษณะการไบอัสกลับ การไบอัสกลับจะทำให้แรงดันที่รอยต่อ P-N มากขึ้นเป็นผลให้การจับคู่ของอิเล็กตรอนกับโฮลมากขึ้นบริเวณรอยต่อ ดังนั้นจะทำให้เกิดกระแสไฟฟ้ามากขึ้นเมื่อมีแสงตกกระทบจาก ลักษณะดังกล่าว Photodiode จะทำหน้าที่เสมือนแหล่งกำเนิดกระแสไฟฟ้าโดยกระแสไฟฟ้าที่เกิดขึ้นทั้งหมดจะเป็นดังนี้

$$I_{\text{tot}} = I_L + I_D$$

เมื่อ  $I_L$  คือกระแสไฟฟ้าของโหลดที่เกิดขึ้นขณะรับแสง

$I_D$  คือกระแสไฟฟ้าที่เกิดขึ้นขณะไม่มีแสง

ปกติอุปกรณ์ชนิดนี้จะทำด้วยซิลิกอนซึ่งจะให้กระแสไฟฟ้า  $I_D$  ที่ 1 นาโนแอมป์ขณะที่เมื่อมีแสงจะให้กระแสไฟฟ้า 10 ไมโครแอมป์สำหรับพื้นที่ 5 ตารางมิลลิเมตร รูปที่ 2.7 แสดงความสัมพันธ์ระหว่างแรงดันไฟฟ้ากับ

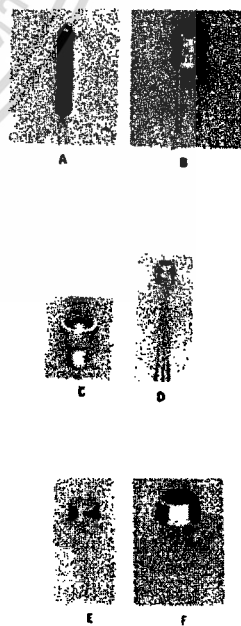


รูปที่ 2.7 ความสัมพันธ์ของแรงดันไฟฟ้ากับกระแสไฟฟ้าของอุปกรณ์ Photodiode

กระแสไฟฟ้าของ Photodiode ชนิดซิลิกอนที่ทำงานทั้งในกรณีไบอัสตรงและไบอัสกลับซึ่งจะเห็นว่าขณะที่ไม่มีแสง (H = 0) เส้นกราฟจะผ่านจุดศูนย์ซึ่งแสดงว่ารอยต่อ P-N นี้สามารถทำงานได้ทั้งเป็นตัวกำเนิดกระแสไฟฟ้าและตัวกำเนิดแรงดันไฟฟ้าขึ้นกับวงจรที่มาต่อรวม เนื่องจากการไบอัสกลับให้ Photodiode ทำให้แถบที่รอยต่อ P-N กว้างขึ้นทำให้ค่าประจุของ Photodiode ที่รอยต่อมีค่าน้อยเป็นผลให้ Photodiode สามารถทำงานด้วยความเร็วสูงได้ ตารางที่ 2.3 แสดงตัวอย่างของ Photodiode

ตารางที่ 2.3 ตัวอย่าง Photodiode ที่มีจำหน่าย

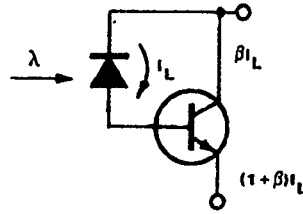
| Type   | Pkg | Light Current<br>@ ±V   |           | Dark Current<br>Max @ ±V<br>μA | Power<br>Diss<br>mW | Features                  |   |  |
|--------|-----|-------------------------|-----------|--------------------------------|---------------------|---------------------------|---|--|
|        |     | Min<br>μA               | Max<br>μA |                                |                     |                           |   |  |
| 1N2175 | A   | 100                     | —         | ±10                            | 0.5 ±50             | 50                        | Hermetically sealed glass package. Can be used with ac bias |  |
| H11    | A   | 40                      | —         | ±10                            | 0.5 ±50             | 50                        |   |  |
| H35    | A   | 60                      | —         | ±10                            | 0.5 ±50             | 50                        |   |  |
| H38    | A   | 100                     | —         | ±10                            | 10.0 ±50            | 50                        |   |  |
| H60    | A   | 100                     | 200       | ±10                            | 0.5 ±50             | 50                        |   |  |
| H61    | A   | 200                     | 300       | ±10                            | 0.5 ±50             | 50                        |   |  |
| H62    | A   | 300                     | 400       | ±10                            | 0.5 ±50             | 50                        |   |  |
| T1L77  | B   | 1.5                     | —         | + 3                            | .005 3              | 100                       | spectrally matches human eye                                |  |
|        |     | BV <sub>R</sub> @ 10μA  |           | Avalanche Gain                 |                     | Typ. C <sub>T</sub><br>pF | Typ η   |  |
|        |     | Min                     | Max       | Min                            | Type                |                           |   |  |
| T1XL55 | C   | 140                     | 200       | 100                            | 200                 | 1.2                       | 20% @ 0.63μ   | Si APD, Active area 0.01 in diam, microwave package<br>Si APD, Active area 0.01 in diam, TO-18 window can<br>Ge APD, Active area 0.01 in diam, TO-18 window can<br>Si APD, Active area 0.030 in diam, TO-5 window can<br>Ge APD, Active area 0.01 in diam, TO-18 window can<br>Si APD, Active area 0.06 in diam, TO-5 window can |
| T1XL56 | D   | 140                     | 200       | 100                            | 200                 | 1.2                       | 20% @ 0.63μ   |  |
| T1XL57 | D   | 30                      | 60        | 20                             | 50                  | 4.5                       | 60% @ 1.06μ   |  |
| T1XL59 | E   | 140                     | 200       | 50                             | 100                 | 12.0                      | 30% @ 0.9μ  |  |
| T1XL88 | D   | 85                      | 150       | 15                             | 40                  | 3                         | 25% @ 1.54μ   |  |
| T1XL89 | E   | 140                     | 200       | 50                             | 100                 | 30                        | 40% @ 0.9μ  |  |
|        |     | BV <sub>R</sub> @ 100μA |           | Responsivity                   |                     | Risetime<br>ns            |   |  |
| T1XL80 | F   | 250                     |           |                                | 0.5 A/W @ 0.9μ      | 5                         | 25  | active area diameter 0.1 in. TO-5 can  |



เอกสารนี้เป็นเอกสารที่สงวนไว้สำหรับการใช้งานเพื่อการศึกษาเท่านั้น ไม่นอนุญาตให้นำไปใช้ประโยชน์ด้านการค้า  
ไม่ว่ากรณีใดๆทั้งสิ้น อีกทั้งห้ามมิให้ตัดแปลงเนื้อหา และต้องอ้างอิงถึงเจ้าของเอกสารทุกครั้งที่มีการนำไปใช้

### 2.2.4 Phototransistors

ตัวตรวจจับแสงชนิด Phototransistors จะทำงานเช่นเดียวกับทรานซิสเตอร์ทั่วไปแต่จะใช้ Photodiode ระหว่างขาเบสกับคอลเล็กเตอร์ดังแสดงในรูปที่ 2.8 ซึ่งเป็นวงจรสมมูลของ Phototransistors

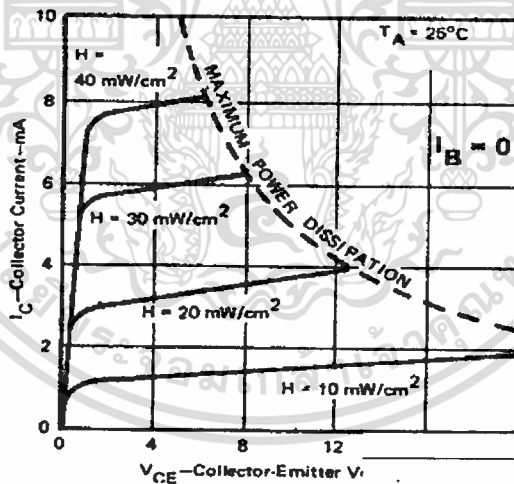


รูปที่ 2.8 วงจรสมมูลของ Phototransistors

ชนิด NPN เมื่อมีแสงตกกระทบ Photodiode จะทำให้เกิดกระแสไฟฟ้าไหลเข้าที่ขาเบสของทรานซิสเตอร์และถูกขยายด้วยค่าอัตราขยายของทรานซิสเตอร์ ( $h_{FE}$ ) จะได้ดังนี้

$$I_C = IE = (1 + h_{FE}) I_L$$

เนื่องจากทรานซิสเตอร์มีอัตราขยายดังนั้นกระแสไฟฟ้าขณะที่ไม่มีแสงจะถูกขยายเช่นกัน รูปที่ 2.9 แสดงความสัมพันธ์ระหว่างแรงดัน  $V_{CE}$  กับ กระแส  $I_C$  ของทรานซิสเตอร์ชนิดซิลิคอนที่ความเข้มแสงต่าง ๆ



รูปที่ 2.9 ความสัมพันธ์ระหว่างแรงดัน  $V_{CE}$  กับ  $I_C$  ของทรานซิสเตอร์ชนิดซิลิคอนที่ความเข้มต่าง ๆ

ในการเลือกใช้งานตัวตรวจจับแสงแต่ละชนิดนั้นขึ้นกับลักษณะการใช้งาน ตารางที่ 2.4 แสดงแนวทางสำหรับเลือกใช้ตัวตรวจจับแสงแต่ละชนิด

## ตารางที่ 2.4 การเลือกใช้ตัวตรวจจับแสงชนิดต่าง ๆ

| Device Type       | Advantages/Uses  | Limitations   |
|-------------------|--|---|
| Photo-resistors   | Response in visible spectrum.<br>Large light to dark ratio.<br>Large sensitive areas available.<br>Zero offset voltage.  | Memory or hysteresis effect.<br>Limited temperature range.<br>Slow response – milliseconds.                             |
| Photo-voltaic     | Voltage generator – no external bias required.<br>Large areas available.<br>Efficient conversion of solar energy.<br>Very linear with respect to radiation in short circuit mode.  | Slow speed of response.<br>Low level outputs.   |
| Photo-diodes      | High speed operation – $10^{-6}$ to $10^{-9}$ seconds.<br>Good linearity with light levels and temperature.<br>Low noise.<br>Wide range of spectral responses visible to infrared. | Low level outputs.  |
| Photo-transistors | Integral current gain, can drive TTL.<br>Small sizes available for close spacing, wide variety of packages.  | Limited frequency response, 500kHz.<br>Non-linear with respect to light levels.   |
| Photo-thyristors  | Highest output current.<br>Light used only to trigger – will remain 'on' after light removed.<br>Can be used to switch high voltage with isolation.                                | Highly temperature sensitive.<br>Poor dV/dT performance.  |
| Photo-Darlington  | High current output at very low light levels.  | Long response time.<br>Higher leakage current due to gain multiplication.<br>Non linear with intensity and temperature. |
| Photo-FET         | Sensitivity adjustable by $R_G$ selection.<br>High gain – bandwidth product<br>Good low temperature operation.   | Non linear.<br>Poor high temperature characteristics.   |

## 2.3 ตัวกำเนิดแสง ( Light Emitters)

ตัวกำเนิดแสงชนิดสารกึ่งตัวนำจะมีโครงสร้างแบบรอยต่อ P-N ซึ่งเรียกว่า LED (Light Emitting Diode) โดยจะทำงานเมื่อป้อนแรงดันไฟฟ้าแบบไบอัสตรงให้กับ LED แสงที่ได้จาก LED เกิดจากการทำงานแบบ Injection-Recombination โดยที่อิเล็กตรอนและโฮลจะเคลื่อนเข้าสารกึ่งตัวนำชนิด P และ N ตามลำดับแล้วจึงจับคู่อิเล็กตรอนและโฮลอีกจากนั้นจะคายพลังงานส่วนที่เหลือออกมาในรูปของแสงซึ่งจะมีความยาวคลื่นตามสมการที่ (3) แสงที่ได้จาก LED จะขึ้นกับสารกึ่งตัวนำที่นำมาสร้างซึ่งจะให้ความยาวคลื่นที่แตกต่างกันออกไป ตารางที่ 2.5 แสดงการใช้สารกึ่งตัวนำชนิดต่าง ๆ และช่วงความยาวคลื่นที่ได้ออกมา

## ตารางที่ 2.5 สารกึ่งตัวนำสำหรับสร้าง LED ในย่านความยาวคลื่นต่าง ๆ

| Material       | Approximate Bandgap eV | Typical Emission Wavelength nm | $\lambda_p$ |
|----------------|------------------------|--------------------------------|-------------|
| GaP, N doped   | 2.18                   | 530 – 595                      | 565         |
| GaP, Zn doped  | 2.24                   | 530 – 575                      | 553         |
| SiC            | 1.97                   | 430 – 700                      | 590         |
| GaAs, P doped  | 1.92                   | 630 – 660                      | 645         |
| GaP, ZnO doped | 1.76                   | 615 – 730                      | 700         |
| GaAlAs, red    | 1.78                   | 660 – 720                      | 690         |
| GaAs, Zn doped | 1.37                   | 890 – 920                      | 905         |
| GaAs: Si       | 1.33                   | 890 – 990                      | 930         |

สำหรับสารกึ่งตัวนำที่นิยมใช้ได้แก่ Gallium Arsenide, Gallium Phosphide และ Gallium Arsenide Phosphide มีรายละเอียดดังต่อไปนี้

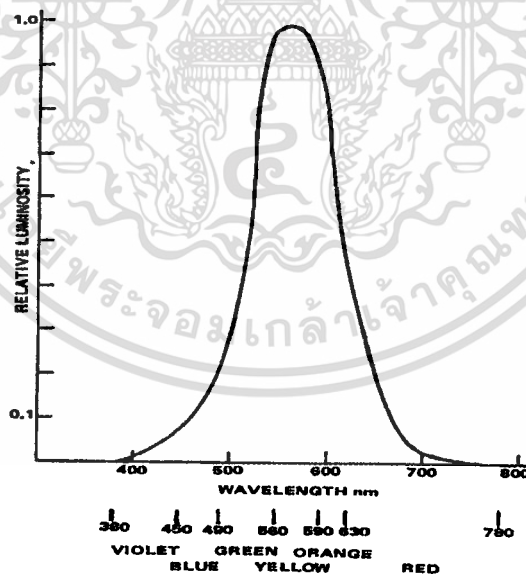
เอกสารนี้เป็นเอกสารที่สงวนไว้สำหรับการใช้งานเพื่อการศึกษาเท่านั้น ไม่อนุญาตให้นำไปใช้ประโยชน์ด้านการค้า ไม่ว่าจะกรณีใดๆทั้งสิ้น อีกทั้งห้ามมิให้ดัดแปลงเนื้อหา และต้องอ้างอิงถึงเจ้าของเอกสารทุกครั้งที่มีการนำไปใช้

### 2.3.1 Gallium Arsenide

Gallium Arsenide จะเป็นสารกึ่งตัวนำแบบ Direct Gap ที่มีแรงดันประมาณ 1.37 eV และจะให้แสงที่มีความยาวคลื่นในย่านอินฟราเรดขนาด 0.9 ไมโครเมตร ในการกำเนิดแสงจะกำเนิดใกล้ส่วนของแถบสารกึ่งตัวนำชนิด P แต่ที่แถบสารกึ่งตัวนำนี้จะมีความสามารถในการดูดซับพลังงานแสงมาก ขณะที่แถบสารกึ่งตัวนำชนิด N จะให้พลังงานแสงประมาณ 2 เฟอร์เซ็นต์และจะดูดซับพลังงานแสงมากบริเวณใกล้รอยต่อ ถ้าพลังงานแสงมีค่าน้อยกว่าพลังงานแถบช่องว่าง (Band Gap Energy) แล้วการดูดซับจะมีน้อยจึงทำให้แสงสามารถออกมาได้

### 2.3.2 Gallium Phosphide

Gallium Phosphide จะเป็นสารกึ่งตัวนำแบบ Indirect Gap โดยมีพลังงานที่แถบช่องว่าง (Band Gap Energy) ประมาณ 2.24 eV และจะให้แสงสีเขียวที่มีความยาวคลื่น 0.55 ไมโครเมตรมีประสิทธิภาพดีกว่าแบบ Gallium Arsenide โดยการเพิ่มไนโตรเจนที่มีพลังงานของแถบช่องว่างน้อยกว่า 2.18 eV นอกจากนี้ยังสามารถที่จะให้ Gallium Phosphide กำเนิดแสงสีแดงได้โดยการเจือสาร Zinc Oxide ทำงานพลังงานของแถบช่องว่างอยู่ที่ 1.8 eV ซึ่งจะให้แสงที่มีความยาวคลื่นเท่ากับ 0.69 ไมโครเมตร และมีประสิทธิภาพสูงกว่าในกรณีที่ให้แสงสีเขียว การที่แสงสีเขียวมีประสิทธิภาพต่ำกว่าเนื่องจากการตอบสนองของตามมนุษย์ต่อแสงสีเขียวต่ำกว่าแสงสีแดงดังแสดงในรูปที่ 2.10 ซึ่งเป็นกราฟแสดงการตอบสนองต่อแสงสีต่าง ๆ ของตามมนุษย์



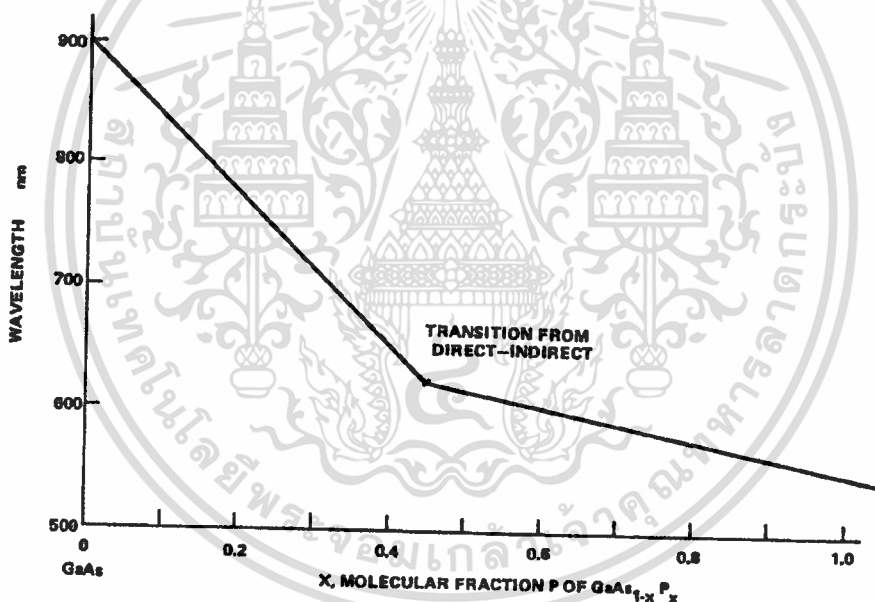
รูปที่ 2.10 การตอบสนองต่อแสงสีต่าง ๆ ของตามมนุษย์

เอกสารนี้เป็นเอกสารที่สงวนไว้สำหรับการใช้งานเพื่อการศึกษาเท่านั้น ไม่อนุญาตให้นำไปใช้ประโยชน์ด้านการค้า ไม่ว่าจะกรณีใดๆทั้งสิ้น อีกทั้งห้ามมิให้ดัดแปลงเนื้อหา และต้องอ้างอิงถึงเจ้าของเอกสารทุกครั้งที่มีการนำไปใช้

ข้อแตกต่างของตัวกำเนิดแสงแบบ Gallium Phosphide ที่มีต่อตัวกำเนิดแสงแบบ Gallium Arsenide คือเนื้อสารของ Gallium Phosphide แสงสีแสงสามารถทะลุผ่านได้มากกว่าแสงสีเขียวทำให้แสงสามารถออกจากตัวกำเนิดแสงได้มากโดยไม่ถูกดูดซับที่เนื้อสารกึ่งตัวนำ

### 2.3.3 Gallium Arsenide Phosphide

ตัวกำเนิดแสงแบบ Gallium Arsenide Phosphide เป็นตัวอย่างของการรวมชนิดของสารกึ่งตัวนำให้เป็นเนื้อเดียวกันซึ่งเป็นการรวมกันของสารกึ่งตัวนำแบบ Gallium Phosphide กับแบบ Gallium Arsenide เข้าด้วยกันทำให้ตัวกำเนิดแสงที่ได้สามารถกำเนิดแสงที่มีความยาวคลื่นอยู่ระหว่าง 0.55 ไมโครเมตรกับ 0.9 ไมโครเมตร ในรูปที่ 2.11 แสดงความสัมพันธ์ระหว่างความยาวคลื่นของแสงที่ได้กับอัตราส่วนของการผสมโดยที่พลังงานของแถบช่องว่างจะเป็นแบบ Direct Gap เมื่อค่า  $x$  มีค่าน้อยกว่า 0.45 และค่าที่มากกว่านี้จะ เป็นแบบ Indirect Gap และประสิทธิภาพจะลดลงอย่างรวดเร็ว แต่อย่างไรก็ตามจะไม่สามารถลดจนความยาวคลื่นต่ำกว่า 0.6 ไมโครเมตร



รูปที่ 2.11 ความสัมพันธ์ระหว่างความยาวคลื่นของแสงที่ได้กับอัตราส่วนของการผสม

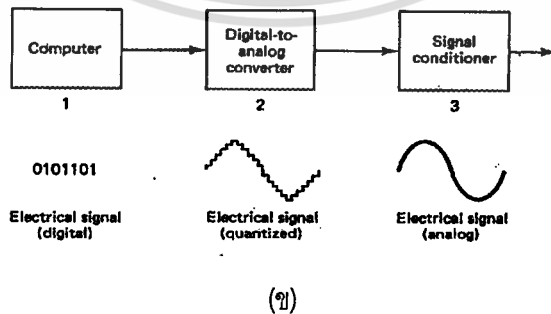
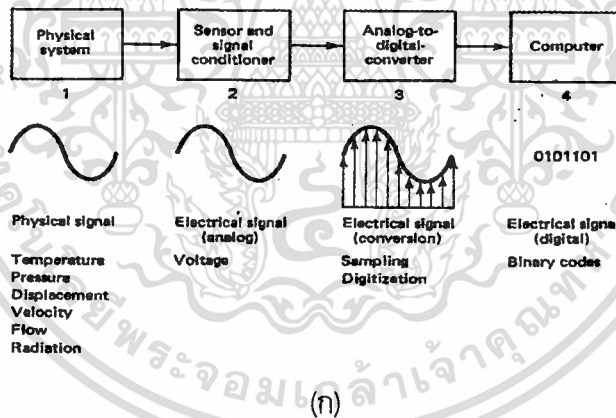
### บทที่ 3

## หลักการพื้นฐานของอุปกรณ์ที่ใช้ในเครื่องตรวจสอบ

การทำงานของเครื่องตรวจสอบประกอบขึ้นจากอุปกรณ์ต่าง ๆ ทั้งอุปกรณ์ดิจิทัลเช่นไมโครคอนโทรลเลอร์ (Microcontroller) และอุปกรณ์แอนะล็อกได้แก่ส่วนวงจรตัวตรวจจับ, วงจรขับมอเตอร์ เป็นต้น ซึ่งแต่ละส่วนจะมีหลักการทำงานต่างกันไปซึ่งจะกล่าวถึงหลักการพื้นฐานดังต่อไปนี้

### 3.1 พื้นฐานของการแปลงสัญญาณ

รูปแบบสัญญาณไฟฟ้าที่พบเห็นและคุ้นเคยในชีวิตประจำวันจะอยู่ในรูปของสัญญาณต่อเนื่อง หรือเรียกว่าสัญญาณแอนะล็อก จากเทคนิคการประมวลผลสัญญาณด้วยดิจิทัลได้รับการพัฒนาจนมีประสิทธิภาพมากขึ้นทำให้การแปลงสัญญาณแอนะล็อกเป็นดิจิทัลได้รวดเร็วและมีความละเอียดเพียงพอที่จะนำสัญญาณแอนะล็อกมาประมวลผลในรูปแบบดิจิทัลได้ โดยสามารถแบ่งการทำงานได้สองลักษณะดังแสดงในรูปที่ 3.1 โดยที่ในรูปที่ 3.1 ก) จะเป็นขบวนการแปลงสัญญาณแอนะล็อกเป็นดิจิทัลส่วนในรูปที่ 3.1 ข) จะเป็นขบวนการแปลงสัญญาณดิจิทัลเป็นสัญญาณแอนะล็อก ซึ่งมีหลักการพื้นฐานของการแปลงสัญญาณดังต่อไปนี้



รูปที่ 3.1 ระบบของการแปลงสัญญาณ

- (ก) ระบบการแปลงสัญญาณแอนะล็อกเป็นสัญญาณดิจิทัล
- (ข) ระบบการแปลงสัญญาณดิจิทัลเป็นสัญญาณแอนะล็อก

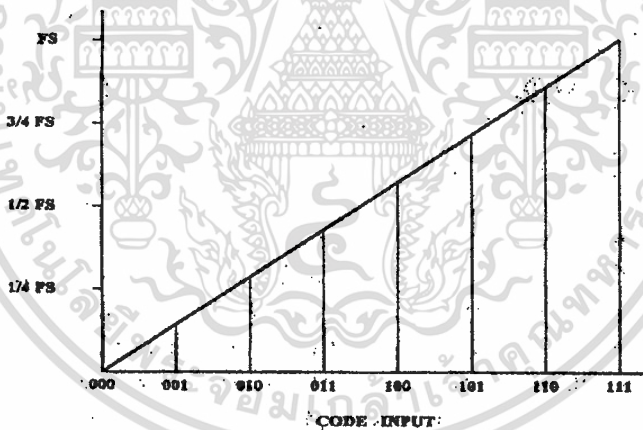
เอกสารนี้เป็นเอกสารที่สงวนไว้สำหรับการใช้งานเพื่อการศึกษาเท่านั้น ไม่อนุญาตให้นำไปใช้ประโยชน์ด้านการค้า ไม่ว่าจะกรณีใดๆทั้งสิ้น อีกทั้งห้ามมิให้ตัดแปลงเนื้อหา และต้องอ้างอิงถึงเจ้าของเอกสารทุกครั้งที่มีการนำไปใช้

### 3.1.1 อุปกรณ์แปลงสัญญาณดิจิทัลเป็นสัญญาณแอนะล็อก (Digital-to-Analog)

อุปกรณ์ที่ทำหน้าที่ในการแปลงสัญญาณดิจิทัลเป็นสัญญาณแอนะล็อก นับว่าเป็นอุปกรณ์ที่สำคัญที่ทำให้ระบบคอมพิวเตอร์สามารถเชื่อมโยงกับอุปกรณ์ทางแอนะล็อกอื่น ๆ ได้ ตัวอย่างการใช้งาน เช่น การตรวจจับความเข้มของตัววัดปริมาณแสงของหัวอ่านของเครื่องตรวจสอบ, ระบบวิเคราะห์สัญญาณ เป็นต้น

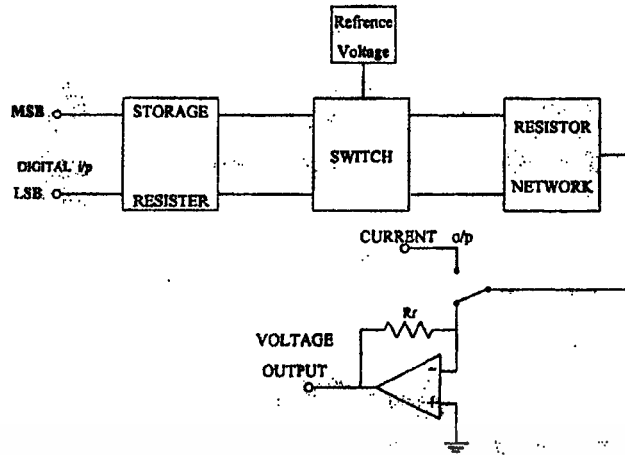
หลักการแปลงสัญญาณดิจิทัลเป็นสัญญาณแอนะล็อก คือมีวงจรที่ทำหน้าที่รับสัญญาณดิจิทัลซึ่งเป็นค่าระดับลอจิก 0 และลอจิก 1 สัญญาณที่ได้จากวงจรจะเป็นสัญญาณแอนะล็อกจะมีระดับแรงดันหรือกระแสตามสัญญาณดิจิทัลที่ต้องการแปลง แต่ส่วนมากมักจะนิยมให้เป็นระดับแรงดัน และระดับแรงดันสูงสุดจะขึ้นอยู่กับระดับแรงดันที่ใช้อ้างอิง และค่าแรงดันเหล่านี้ควรจะมีความคงที่ เนื่องจากค่าแรงดันอ้างอิงนี้เป็นค่าที่ป้อนให้ จะสัมพันธ์กับสัญญาณดิจิทัลของวงจร วงจรแปลงสัญญาณดิจิทัลเป็นสัญญาณแอนะล็อกมีการทำงานอยู่ 2 แบบ คือ วงจรแปลงสัญญาณดิจิทัลเป็นสัญญาณแอนะล็อกแบบ Binary weight และวงจรแปลงสัญญาณดิจิทัลเป็นสัญญาณแอนะล็อกแบบ R-2R Ladder ทั้งสองแบบจะให้ค่ากระแสออกมาทั้งคู่

จากรูปที่ 3.2 เป็นการแสดงการทำงานของวงจรแปลงสัญญาณดิจิทัลเป็นสัญญาณแอนะล็อกขนาด 3 บิต จะเห็นว่ารหัสดิจิทัลอินพุต 1 word จะแปลงเป็นสัญญาณแรงดันแอนะล็อกได้ 1 ค่า ซึ่งมีการจัดลักษณะของวงจรแปลงสัญญาณดิจิทัลเป็นสัญญาณแอนะล็อกได้ดังรูปที่ 3.3 ซึ่งเป็นผังการทำงาน หัวใจสำคัญของ



รูปที่ 3.2 การทำงานของวงจรแปลงสัญญาณดิจิทัลเป็นแอนะล็อกขนาด 3 บิต

วงจรแปลงสัญญาณดิจิทัลเป็นสัญญาณแอนะล็อกคือชุดสวิตช์ที่ควบคุมด้วยลอจิก ซึ่งมีจำนวน  $n$  ชุด และจะเท่ากับจำนวนบิตทางด้านอินพุตของวงจร สวิตช์เหล่านี้จะตัดต่อแรงดันอ้างอิงขนาดหนึ่งเท่ากับวงจรชุดความต้านทานค่าต่างๆ ที่ Weight ตามรหัสเลขฐานสอง ส่วนเอาต์พุตของบัฟเฟอร์จะทำหน้าที่เปลี่ยนกระแสที่ถูก weight โดยวงจรชุดความต้านทานให้เป็นแรงดันแอนะล็อกที่สัมพันธ์กัน ซึ่งจะอธิบายในหัวข้อต่อไป



รูปที่ 3.3 ผังการทำงานพื้นฐานของอุปกรณ์แปลงสัญญาณดิจิทัลเป็นแอนาลอก

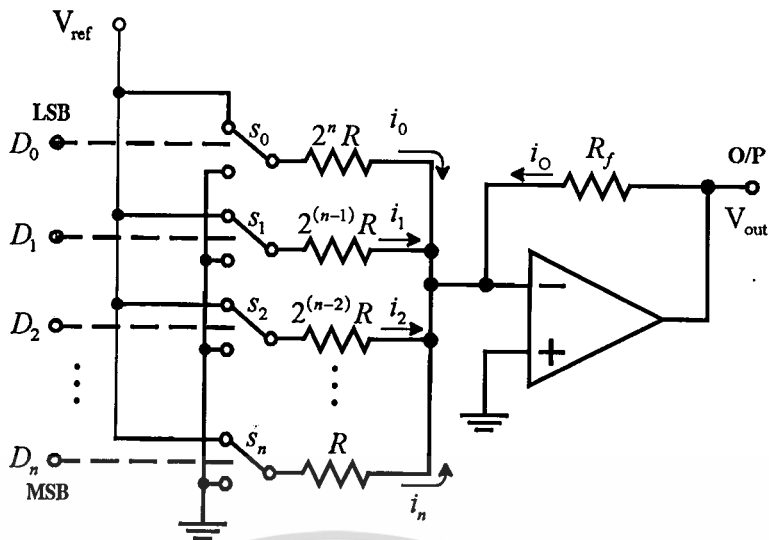
3.1.1.1 การแปลงสัญญาณดิจิทัลเป็นแอนาลอก แบบ Binary weight ladder การทำงานของวงจรแปลงสัญญาณดิจิทัลเป็นแอนาลอกแบบ Binary weight ladder มีหลักการดังแสดงในรูปที่ 3.4 จากวงจรจะเห็นว่า มีชุดตัวความต้านทาน (R) และ ชุดสวิตช์ซึ่งจะเป็นอิเล็กทรอนิกส์สวิตช์ ทำหน้าที่ต่อชุดตัวความต้านทานเข้ากับแรงดันอ้างอิงหรือต่อกราวด์ ตามสัญญาณดิจิทัลได้แก่ 1 และเป็น 0 ตามลำดับ โดยหลักการนี้ค่าความต้านทานที่ต่อเป็นลำดับจะมีค่าเป็น 2 เท่าขึ้นไปเรื่อย ๆ ตามจำนวนบิตของค่าดิจิทัลที่ใช้งาน เมื่อส่งค่าดิจิทัลสูงๆจรอิเล็กทรอนิกส์สวิตช์จะทำหน้าที่เชื่อมต่อวงจรด้วยสัญญาณกราวด์หรือแรงดันอ้างอิงทำให้เกิดกระแสไหลผ่านตัวต้านทานตามอัตราส่วนของชุดความต้านทานนั้น กระแสที่ได้ทั้งหมดนี้จะถูกนำมารวมกันแล้วขยายออกเป็นค่ากระแสรวม ค่ากระแสที่ได้จะมีค่าเป็นไปตามสมการที่ (3.1) ซึ่งเป็นผลรวมของกระแสที่ไหลในแต่ละบิต ( $i_0, i_1, i_2, \dots, i_n$ ) ค่าของตัวต้านทานที่ใช้จะมีค่าเป็น  $2^n R$  เมื่อ  $n+1$  เป็นค่าของจำนวนของรหัสทางดิจิทัลที่ใช้ควบคุมสวิตช์

$$I_o = V_{ref} \sum_{i=1}^n \frac{a_i}{2^{(i-1)} R} \quad (3.1)$$

- เมื่อ  $I_o$  คือ ค่ากระแสรวม
- $a_i$  คือ ค่าทางดิจิทัลที่บิตนั้นๆ (1 หรือ 0)
- R คือ ค่าความต้านทานตัวแรกที่ใช้ในวงจร

โดย

$$i_n = \frac{V_{ref}}{R} S_n \quad (3.2)$$



รูปที่ 3.4 วงจรแปลงสัญญาณดิจิทัลเป็นแอนาลอก แบบ Binary weight ladder

$$i_0 = \frac{V_{ref}}{2^n R} S_0 \tag{3.3}$$

$$i_1 = \frac{V_{ref}}{2^{(n-1)} R} S_1 \tag{3.4}$$

ดังนั้นสามารถหาความสัมพันธ์ของศักดาไฟฟ้าที่เอาท์พุทกับการทำงานของสวิตช์ ดังแสดงในสมการที่ (3.5) ซึ่งเป็นสมการของ Node current ที่ขา อินเวอร์ติงแอมป์ (inverting Amp.) เมื่อผลรวมที่ node จะมีค่าเท่ากับศูนย์

$$i_0 + i_1 + i_2 + i_3 = 0 \tag{3.5}$$

แทนค่ากระแสแต่ละค่าด้วยสมการ (3.2) จะได้สมการที่ (3.6)

$$\frac{V_{ref}}{R} S_n + \frac{V_{ref}}{2R} S_{(n-1)} + \dots + \frac{V_{ref}}{2^{(n-1)} R} S_1 + \frac{V_{ref}}{2^n R} S_0 + \frac{V_{out}}{R_f} = 0 \tag{3.6}$$

จะได้แรงดันที่เกิดจากกระแสที่เอาท์พุทของออปแอมป์ดังแสดงในสมการที่ (3.7)

$$V_{out} = -V_{ref} \frac{R_f}{R} \left( S + \frac{1}{2} S_{(n-1)} + \dots + \frac{1}{2^{(n-2)}} S_2 + \frac{1}{2^{(n-1)}} S_1 + \frac{1}{2^n} S_0 \right) \tag{3.7}$$

โดยที่ ถ้า  $S = 1$  หมายถึงสวิตช์ที่  $n$  ปิดหรือมีลอจิกหนึ่ง

เอกสารนี้เป็นเอกสารที่สงวนไว้สำหรับการใช้งานเพื่อการศึกษาเท่านั้น ไม่อนุญาตให้นำไปใช้ประโยชน์ด้านการค้า ไม่ว่าจะกรณีใดๆทั้งสิ้น อีกทั้งห้ามมิให้ตัดแปลงเนื้อหา และต้องอ้างอิงถึงเจ้าของเอกสารทุกครั้งที่มีการนำไปใช้

ถ้า  $S = 0$  หมายถึงสวิตช์ที่  $n$  เปิดหรือมีลอจิกศูนย์

จากความสัมพันธ์ระหว่างศักดาไฟฟ้าหรือแรงดันไฟฟ้าที่เอาท์พุทกับการทำงานของสวิตช์ จะเห็นได้ว่าระดับของแรงดันไฟฟ้าที่เอาท์พุทจะขึ้นอยู่กับการเปิด-ปิดของสวิตช์ หรืออาจกล่าวได้ว่าจะขึ้นอยู่กับของรหัสดิจิตอลทางด้านอินพุท

จากวงจรแปลงสัญญาณดิจิตอลเป็นแอนาลอกแบบนี้จะเห็นว่าปัญหาที่เกิดขึ้น คือเมื่อจำนวนบิตยิ่งสูงค่าความต้านทานที่ใช้ในตัวสุดท้ายจะมีค่าสูงมากซึ่งเมื่อต่อเข้ากับแหล่งจ่ายแรงดันอ้างอิงทำให้เกิดกระแสขึ้นตามกฎของโอห์มกระแสมีค่าน้อยมาก เมื่อนำไปต่อกับออปแอมป์ที่หน้าที่ขยายสัญญาณนั้น เมื่อค่ากระแสมีค่าน้อยมากการตอบสนองของออปแอมป์จึงต้องเป็นอุปกรณ์ที่มีคุณภาพสูงทำให้ราคาแพง และถ้าใช้ออปแอมป์ทั่วไปกระแสที่ได้นี้อาจจะมีค่าระดับเดียวกับสัญญาณรบกวนของออปแอมป์ ทำให้ค่าที่ได้มีความผิดพลาดได้

ในทำนองเดียวกันการใช้ค่าความต้านทานค่าสุดท้ายมีค่าไม่สูงมากนักจะทำให้ค่าความต้านทานตัวแรกมีค่าต่ำมากทำให้กระแสไหลมากเกินไปจึงไม่สามารถใช้กับออปแอมป์ได้

**3.1.1.2 วงจรแปลงสัญญาณดิจิตอลเป็นแอนาลอกแบบ R-2R Ladder** การทำงานของวงจรแปลงสัญญาณดิจิตอลเป็นแอนาลอกแบบ R-2R Ladder มีแนวความคิดคล้ายกับ วงจรแปลงสัญญาณดิจิตอลเป็นแอนาลอกแบบ Binary weight ladder แต่จะเป็นการแก้ปัญหาให้วงจรมีประสิทธิภาพดีขึ้น โดยสามารถแก้ไขได้ดังแสดงในรูปที่ 3.5 จากรูปจะเห็นว่าค่าความต้านทานที่ใช้ในวงจรนั้นจะมีค่าเพียง 2 ค่าเท่านั้น คือ R และ 2R ซึ่งสมมุติว่าที่โหลด ( $R_L$ ) มีค่ามากกว่า 2R มากๆ จนคิดว่าไม่มีผลต่อวงจร ladder ทางด้านเอาท์พุท และจะได้ค่าศักดาเป็นไปตามสมการที่ (3.8) จากรูปที่ 3.4 สมมุติให้รหัสดิจิตอลที่ควบคุมสวิตช์มีค่าเป็น "1" คือสวิตช์จะเลื่อนไปเชื่อมต่อกับแรงดันอ้างอิง ( $V_{ref}$ ) เช่นให้  $D_n$  มีค่าเป็น "1" บิตที่เหลือมีค่าเป็น "0" ทั้งหมดดังแสดงในรูปที่ 3.5

$$E_0 = V_{ref} \sum_{i=1}^n \frac{a_i}{2^i} \quad (3.8)$$

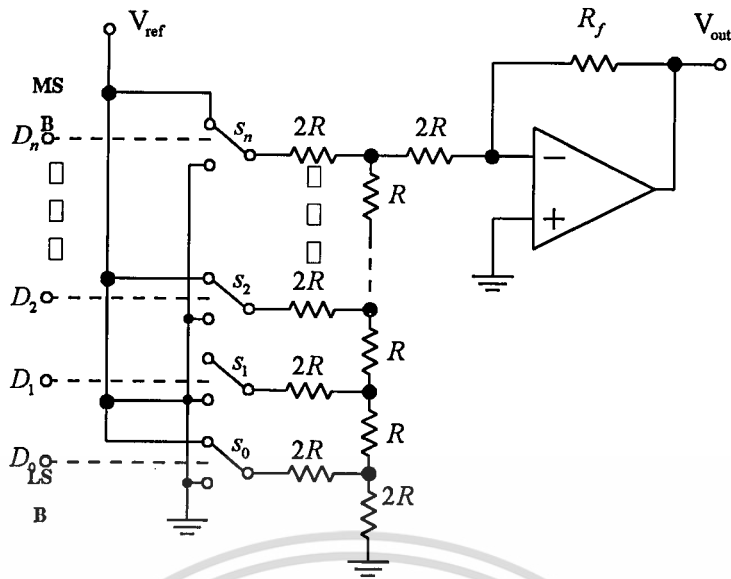
เมื่อ  $E_0$  คือ ค่าศักดาที่ออกมา

$V_{ref}$  คือ ค่าศักดาของแรงดันอ้างอิง

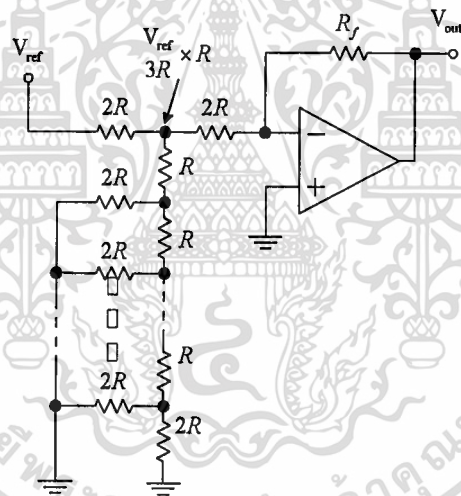
$a_i$  คือ เป็นค่าทางดิจิตอลที่บิต  $i$  ไต่ (1 หรือ 0)

จากรูปที่ 3.6 จะได้ค่าศักดาไฟฟ้าที่เอาท์พุท ( $V_{out}$ ) ตามสมการที่ (3.9) และ (3.10)

$$0 = \frac{V_{ref}}{3R} \times R + \frac{V_{out}}{R_f} \quad (3.9)$$



รูปที่ 3.5 วงจรแปลงสัญญาณดิจิทัลเป็นแอนะล็อกแบบ R-2R Ladder



รูปที่ 3.6 ให้  $D_n$  มีค่าเป็น "1" เท่านั้น

หรือ

$$V_{out} = -\frac{1}{3 \times 2R} \frac{R_f}{R} V_{ref} \quad (3.10)$$

ในทำนองเดียวกันเมื่อสวิตช์ที่เหลือมีค่าเป็น "1" สามารถหาแรงดันเอาต์พุตได้ดังสมการที่ (3.11) ถึง (3.13) และสมการที่ (3.14) เป็นผลรวมของแรงดันเอาต์พุต

เอกสารนี้เป็นเอกสารที่สงวนไว้สำหรับการใช้งานเพื่อการศึกษาเท่านั้น ไม่อนุญาตให้นำไปใช้ประโยชน์ด้านการค้า ไม่ว่าจะกรณีใดๆทั้งสิ้น อีกทั้งห้ามมิให้ดัดแปลงเนื้อหา และต้องอ้างอิงถึงเจ้าของเอกสารทุกครั้งที่มีการนำไปใช้

เมื่อ  $D_{(n-1)}$  เป็น "1" 
$$V_{out} = - \frac{1}{3 \times 4} \frac{R}{R_f} V_{ref} \quad (3.11)$$

เมื่อ  $D_{(n-2)}$  เป็น "1" 
$$V_{out} = - \frac{1}{3 \times 8} \frac{R}{R_f} V_{ref} \quad (3.12)$$

เมื่อ  $D_0$  เป็น "1" 
$$V_{out} = - \frac{1}{3 \times 2 \times (2^n)} \frac{R}{R_f} V_{ref} \quad (3.13)$$

ผลรวมที่เอาท์พุท

$$V_{out} = - \frac{1}{6} \frac{R}{R_f} V_{ref} \left( S_n + \frac{1}{2^{(n-1)}} + \frac{1}{4^{(n-2)}} + \dots + \frac{1}{2^{(n-1)}} S_1 + \frac{1}{2^n} S_0 \right) \quad (3.14)$$

หรือสามารถเขียนเป็นสมการผลรวมแรงดันเอาท์พุทได้ดังสมการที่ 3.15

$$V_{out} (fs) = \frac{V_{ref} (2^n - 1)}{2^n} \quad (3.15)$$

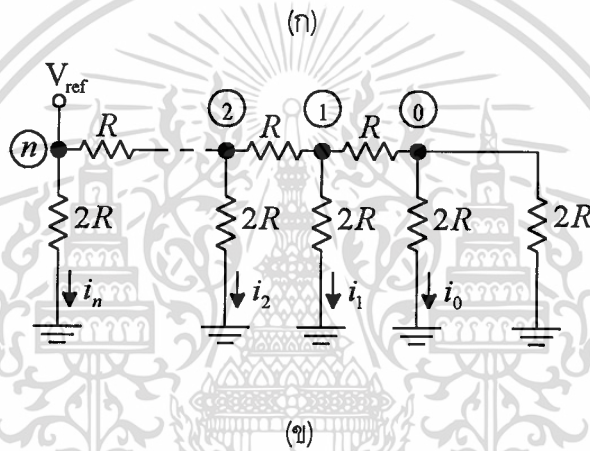
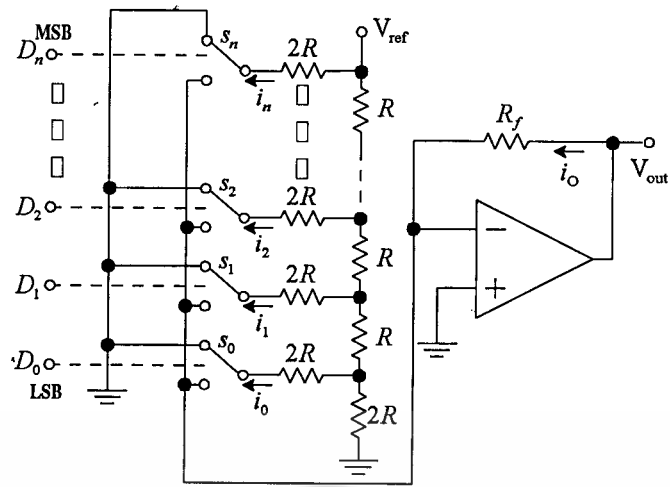
เมื่อ  $V_{out} (fs)$  เป็นค่าของศักดาสูงสุดหรือแรงดันสูงสุดที่ยอมให้ออกมาได้

$V_{ref}$  เป็นค่าของระดับศักดาหรือแรงดันอ้างอิง

$n$  เป็นจำนวนบิตที่ใช้งาน

### 3.1.1.3 วงจรแปลงสัญญาณดิจิทัลเป็นแอนาลอกแบบ Inverted R-2R Ladder ลักษณะ

การจัดวางวงจรคล้ายกับแบบ R-2R Ladder เพียงแต่สวิตช์จะทำหน้าที่เชื่อมต่อตัวความต้านทานกับกราวด์ (ground) ของแรงดันอ้างอิงและกราวด์เสมือน (virtual ground) ของ Summing Amplifier แทนที่จะเป็นแรงดันอ้างอิง วิธีการนี้นิยมใช้ในการทำวงจรแปลงสัญญาณดิจิทัลเป็นแอนาลอก เพราะแรงดันตกคร่อมสวิตช์จะมีค่าต่ำซึ่งสามารถสร้างวงจรได้ง่าย ดังแสดงตัวอย่างวงจรการทำงานในรูปที่ 3.7 จากรูปที่ 3.7 (ข) ซึ่งเป็นวงจรเสมือนและสามารถหาค่าศักดาไฟฟ้าที่จุดต่างๆเป็นดังนี้ ศักดาไฟฟ้าที่จุด  $n$  จะมีค่าเท่ากับ  $V_{ref}$  และจะได้กระแส  $i_n$  จากสมการที่ (3.16) และศักดาไฟฟ้าที่  $n-1$  จะได้  $V_{ref}/2$  และจะได้กระแส  $i_{(n-1)}$  ได้ในสมการที่ (3.17) และศักดาไฟฟ้าที่จุดที่ 1 มีค่าเป็น  $V_{ref}/2^{(n-1)}$  และค่ากระแสที่จุดนี้ ( $i_1$ ) เป็นไปตามสมการที่ (3.18) และสมการที่ (3.19) เป็นการหาค่ากระแสที่ตำแหน่ง 0



**รูปที่ 3.7** (ก) วงจรแปลงสัญญาณดิจิทัลเป็นแอนะล็อกแบบ Inverted R-2R Ladder (ค) วงจรเสมือน

ที่จุด n    ตักตไฟฟ้าเท่ากับ  $V_{ref}$  และกระแสจะได้  $i_n = \frac{V_{ref}}{2R}$     (3.16)

ที่จุด n-1    ตักตไฟฟ้าเท่ากับ  $V_{ref}/2$  และกระแสจะได้  $i_{(n-1)} = \frac{V_{ref}}{2 \times 2R}$     (3.17)

ที่จุด 1    ตักตไฟฟ้าเท่ากับ  $\frac{V_{ref}}{2^{(n-1)}}$  และกระแสจะได้  $i_1 = \frac{V_{ref}}{2 \times 2^{(n-1)}R}$     (3.18)

ที่จุด 0    ตักตไฟฟ้าเท่ากับ  $\frac{V_{ref}}{2^n}$  และกระแสจะได้  $i_0 = \frac{V_{ref}}{2 \times 2^n R}$     (3.19)

เอกสารนี้เป็นเอกสารที่สงวนไว้สำหรับการใช้งานเพื่อการศึกษาเท่านั้น ไม่อนุญาตให้นำไปใช้ประโยชน์ด้านการค้า ไม่ว่าจะกรณีใดๆทั้งสิ้น อีกทั้งห้ามมิให้ตัดแปลงเนื้อหา และต้องอ้างอิงถึงเจ้าของเอกสารทุกครั้งที่มีการนำไปใช้

จากสมการผลรวมของกระแสที่ไหลเข้าออปแอมป์เขียนเป็นสมการได้เป็นสมการที่ (3.20) และจากสมการที่ (3.20) เมื่อแทนกระแสเป็นแรงดันหรือศักดาเพื่อหาศักดาเอาท์พุท ดังนั้นจะได้สมการใหม่เป็นสมการที่ (3.21) ซึ่งเป็นสมการที่นิยมใช้คำนวณหาค่าแรงดันเอาท์พุท

$$i_0 S_0 + i_1 S_1 + \dots + i_n S_n + i_0 = 0 \quad (3.20)$$

$$V_{out} = -V_{ref} \frac{R_f}{2R} \left( S_n + \frac{1}{2} S_{(n-1)} + \dots + \frac{1}{2^{(n-1)}} S_2 + \frac{1}{2^{(n-1)}} S_1 + \frac{1}{2^n} S_0 \right) \quad (3.21)$$

**3.1.1.4 ค่าผิดพลาดของการแปลงสัญญาณดิจิทัลเป็นแอนาลอก (DAC Error)** จากลักษณะของวงจรแปลงสัญญาณดิจิทัลเป็นแอนาลอกที่มีค่าความละเอียดที่  $n$  บิต (หรือ  $n+1$  บิต สำหรับการวิเคราะห์การทำงานของวงจรแปลงสัญญาณดิจิทัลเป็นแอนาลอกแต่ละชนิด ค่าแอนาลอกที่วงจรแปลงสัญญาณดิจิทัลเป็นแอนาลอกจะสามารถให้ได้จะมีระดับที่เล็กที่สุดเป็นหรือเรียกว่าความละเอียดของ วงจรแปลงสัญญาณดิจิทัลเป็นแอนาลอก (resolution) โดยที่ค่าความละเอียดนี้จะแสดงได้หลายวิธีเช่น ค่า percent ของ Full scale (คิดจาก ค่าหน่วย Fraction คูณด้วย 100), ค่า ppm (part per million) หรือในหน่วยของ log-magnitude ดังสมการที่ (3.22) และแสดงค่าความละเอียดของแอนาลอกที่ได้จากวงจรแปลงสัญญาณดิจิทัลเป็นแอนาลอกในตารางที่ 3.1

$$dB = 20 \log(2^{-n}) \quad (3.22)$$

ค่าความผิดพลาดที่เอาท์พุทของ DAC มีรายละเอียดดังนี้

4. gain error เป็นค่าความแตกต่างระหว่างค่าอัตราขยายในเชิงอุดมคติกับค่าเอาท์พุทที่ได้มีระดับต่ำกว่า full scale สำหรับค่าศักดาไฟฟ้าอ้างอิงที่กำหนดให้แก่วงจรแปลงสัญญาณดิจิทัลเป็นแอนาลอก

**ตารางที่ 3.1** ค่าความละเอียดของ DAC

| จำนวนบิตข้อมูล | Fraction ( $1/2^n$ ) | $(1/2^n) \cdot 100$ | ppm   | dB     |
|----------------|----------------------|---------------------|-------|--------|
| 6              | 0.1562               | 1.56                | 15620 | -36.1  |
| 8              | 0.003906             | 0.39                | 3906  | -48.2  |
| 12             | 0.0002441            | 0.024               | 244   | -73.3  |
| 16             | 0.0000153            | 0.0015              | 15    | -96.3  |
| 18             | 0.0000038            | 0.00038             | 4     | -108.4 |

2. offset error เป็นค่าเออร์รอร์ทที่เกิดขึ้นในสภาวะที่วงจรแปลงสัญญาณดิจิทัลเป็นแอนะล็อกได้ค  
เลขฐานสองที่เป็น digital input มีค่าเป็น 0 มักจะแสดงเป็นหน่วย Fraction กับ LSB
3. nonlinearity error (หรือมักจะเรียกว่า linearity) เป็นค่าของเออร์รอร์ทของวงจรแปลง  
สัญญาณดิจิทัลเป็นแอนะล็อกที่ผิดพลาดไป โดยไม่มีลักษณะที่เป็นเส้นตรง

โดยทั่วไปการบอกค่าความแตกต่างระหว่างค่าเออร์รอร์ทจริงของวงจรแปลงสัญญาณดิจิทัลเป็นแอนะ  
ล็อกกับค่าเออร์รอร์ทในเชิงอุดมคติจะแสดงในหน่วยของ %FS การชดเชยความผิดพลาดสามารถกระทำได้โดย

1. การชดเชยค่า gain error ทำได้จากการป้อนค่า digital ให้ DAC มีค่าสูงสุดแล้วทำการปรับ  
ค่าอุปกรณ์ที่ DAC จนกว่าจะได้เออร์รอร์ทที่ full scale
2. การชดเชยค่า offset error จะทำได้โดยให้ค่าดิจิทัลที่เป็น 0 แก่วงจรแปลงสัญญาณดิจิทัล  
เป็นแอนะล็อกแล้วทำการปรับค่าของตัวอุปกรณ์ที่โอปแอมป์หรือที่ค่าแรงดันอ้างอิง
3. การชดเชย nonlinearity error ไม่สามารถทำการแก้ไขใดๆได้ เพราะเป็นผลจากส่วน  
ประกอบภายในของวงจรแปลงสัญญาณดิจิทัลเป็นแอนะล็อก

ความผิดพลาดสำหรับวงจรแปลงสัญญาณดิจิทัลเป็นแอนะล็อกที่วัดนั้นจะกระทำที่อุณหภูมิห้อง  
(25°C) แต่ในทางปฏิบัติอุปกรณ์จะมีย่านของอุณหภูมิที่ใช้งาน อุณหภูมิของอุปกรณ์จะขึ้นอยู่กับค่าปัจจัย  
หลายอย่างเช่น สภาพแวดล้อม หรือ power dissipation เป็นต้น ตัวอย่างการบอกค่าอุณหภูมิใช้ งานจะ  
บอกในลักษณะ

|                   |                 |
|-------------------|-----------------|
| Military range:   | -55°C to +125°C |
| Industrial range: | -25°C to +85°C  |
| Commercial range: | 0°C to 70°C     |

parameter ต่าง ๆ ของอุปกรณ์จะเปลี่ยนแปลงตามอุณหภูมิของตัวอุปกรณ์คือค่า "drift" ที่บอกแสดงใน  
หน่วย parst per miilon (ppm) ต่อองศา หรือ ppm/°C ค่าผิดพลาดที่แปรเปลี่ยนไปจะคิดจาก

$$\text{ความความผิดพลาดที่อุณหภูมิ } T = \text{ค่าความผิดพลาดที่อุณหภูมิห้อง (25°C)} + (\text{drift}) * T * 10^{-4}$$

**ตัวอย่าง** วงจรแปลงสัญญาณดิจิทัลเป็นแอนะล็อก 12 บิตมีข้อมูลที่เป็น Linearity = 0.012% ที่ 25 °C  
Drift = 5 ppm/°C Reference Drift = 1 ppm/°C (มักจะเป็น DAC ที่กำหนดค่าศักดาไฟฟ้าอ้างอิงใน  
ตัว IC) จะหาค่าความผิดพลาดที่อุณหภูมิ 100°C ได้จาก

$$\begin{aligned} \text{ค่าความเป็น Linearity ที่ } 100^{\circ}\text{C} &= 0.012 + (5 \text{ ppm}/^{\circ}\text{C} + 1 \text{ ppm}/^{\circ}\text{C})(100)(10^{-4}) \\ &= 0.072 \% \text{ หรือ } 0.072 \% \text{FS} \end{aligned}$$

เอกสารนี้เป็นเอกสารที่สงวนไว้สำหรับการใช้งานเพื่อการศึกษาเท่านั้น ไม่นิยมนำไปใช้ประโยชน์ด้านการค้า  
ไม่ว่ากรณีใดๆทั้งสิ้น อีกทั้งห้ามมิให้ดัดแปลงเนื้อหา และต้องอ้างอิงถึงเจ้าของเอกสารทุกครั้งที่มีการนำไปใช้

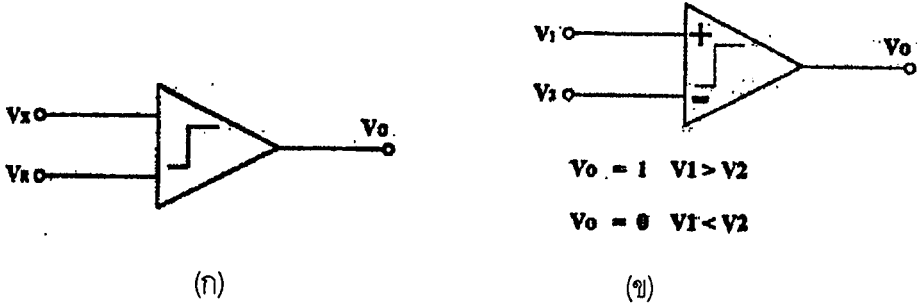
ดังนั้นการเลือกใช้งานวงจรแปลงสัญญาณดิจิทัลเป็นแอนะล็อก มักจะทำการพิจารณาถึง

1. ค่า resolution หรือค่าความละเอียดที่วงจรแปลงสัญญาณดิจิทัลเป็นแอนะล็อกจะสามารถให้ได้ จำนวนบิตที่มากขึ้นจะทำให้ได้ค่าเอาต์พุตจากวงจรแปลงสัญญาณดิจิทัลเป็นแอนะล็อก ที่ละเอียดขึ้นแต่ราคาก็จะสูงตามจำนวนบิตไปด้วย
2. ความเป็น linearity ของวงจรแปลงสัญญาณดิจิทัลเป็นแอนะล็อก
3. Settling time เป็นค่าเวลาที่วงจรแปลงสัญญาณดิจิทัลเป็นแอนะล็อกจะสามารถเปลี่ยนแปลงระดับศักดาไฟฟ้า LSB ที่ค่า digital input เปลี่ยนแปลงไปค่าใหม่
4. ค่าศักดาไฟฟ้าอ้างอิงมีวงจรแปลงสัญญาณดิจิทัลเป็นแอนะล็อกบางชนิดกำหนดค่าศักดาไฟฟ้าอ้างอิงจากภายในของวงจรแปลงสัญญาณดิจิทัลเป็นแอนะล็อกซึ่งจะต้องพิจารณาค่า drift ที่เกิดขึ้นเพราะสามารถทำให้ค่าเอาต์พุตมีการเบี่ยงเบนไปได้
5. ชนิดของเอาต์พุตที่ทำให้เกิดปัญหา loading effect ซึ่งทำให้ค่าเอาต์พุตของวงจรแปลงสัญญาณดิจิทัลเป็นแอนะล็อกเบี่ยงเบนไปได้
6. การ latched เนื่องจากวงจรแปลงสัญญาณดิจิทัลเป็นแอนะล็อกจะใช้ข้อมูลทาง digital เป็นค่ากำหนดระดับของเอาต์พุตวงจรแปลงสัญญาณดิจิทัลเป็นแอนะล็อกบางชนิดจะมีวงจรสำหรับ latched ข้อมูลไว้เพื่อความสะดวกในการออกแบบวงจรหรือนำไปประยุกต์ใช้งาน

### 3.1.2 การแปลงสัญญาณแอนะล็อกเป็นดิจิทัล (Analog to Digital Converter , ADC)

ในการแปลงสัญญาณจำเป็นต้องมีอุปกรณ์ในการแปลงหรือเรียกว่า วงจรแปลงสัญญาณซึ่งก็เป็นอุปกรณ์ที่ทำหน้าที่กลับทางกับอุปกรณ์แปลงสัญญาณดิจิทัลเป็นแอนะล็อกนั่นเองคือจะทำหน้าที่แปลงสัญญาณแอนะล็อกให้กลับไปเป็นสัญญาณดิจิทัลเพื่อส่งข้อมูลไปติดต่อกับระบบควบคุมที่เป็นดิจิทัล เทคนิคในการแปลงสัญญาณนั้นมีอยู่ด้วยกันหลายวิธี ซึ่งแต่ละวิธีต่างก็มีข้อดีและข้อเสียต่างกันออกไป ซึ่งขึ้นอยู่กับค่าพารามิเตอร์ (Parameter) ที่จะนำมาพิจารณาสำหรับแต่ละเทคนิค เช่น ราคา ความเร็ว และความเที่ยงตรง เป็นต้น

สำหรับทฤษฎีพื้นฐานที่ใช้ในแปลงสัญญาณแสดงในรูปที่ 3.8 ซึ่งเป็นวิธีการแปลงสัญญาณแอนะล็อกไปเป็นสัญญาณดิจิทัลอย่างง่าย ๆ คือ การสร้างแรงดันอ้างอิงที่เปลี่ยนค่าได้จนกระทั่งได้ค่าแรงดันอินพุตที่มีค่าผิดพลาดไม่เกิน Quantization error ของคอนเวอร์เตอร์ ในแนวความคิดแล้วลอจิกของวงจรแปลงสัญญาณแอนะล็อกเป็นสัญญาณดิจิทัลคือพยายามเลือกกลุ่มของสัมประสิทธิ์ไบนารี  $a_i$  เพื่อให้ผลต่างระหว่างแรงดันอินพุต  $V_x$  และค่าที่ Quantize ได้ครั้งสุดท้ายน้อยกว่า 0.5 LSB ดังสมการที่ (3.23) และสามารถแสดงหลักการแปลงสัญญาณแอนะล็อกเป็นสัญญาณดิจิทัลในรูปที่ 3.9

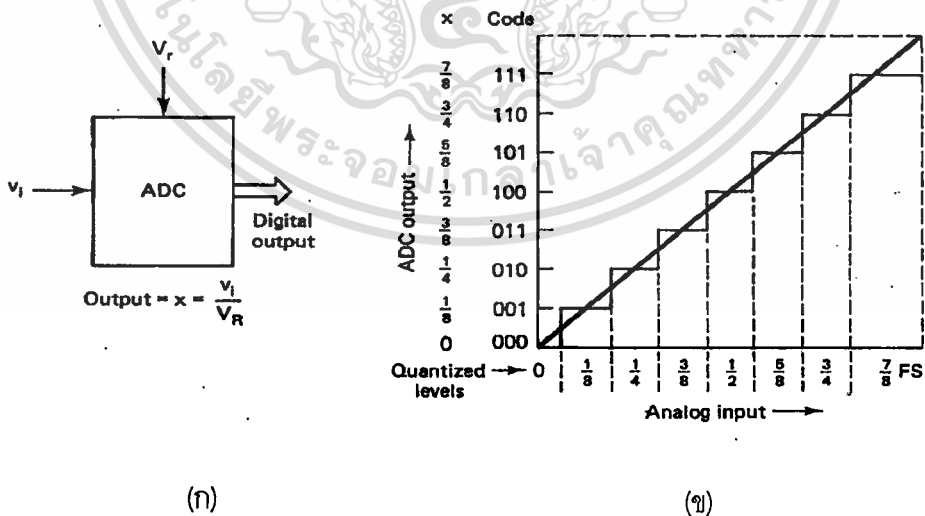


**รูปที่ 3.8** พื้นฐานการแปลงสัญญาณ

- (ก) หลักการพื้นฐานอย่างง่าย
- (ข) ทราานเฟอร์ฟังก์ชันของวงจรเปรียบเทียบ

$$\left( \frac{V_x - V_{FSR}}{\sum_{i=1}^n a_i 2^i} \right) < 0.5LSB \tag{3.23}$$

จากรูปที่ 3.9 (ก) สัญญาณเอาท์พุทที่ได้คือจำนวนอัตราส่วนของ  $V_i$  เมื่อเทียบกับแรงดันอ้างอิง ( $V_r$ ) ในการแปลงสัญญาณเป็นรหัสเลขฐานสองที่สอดคล้องกับแรงดันอ้างอิงนั้นๆต่อนั่นๆไป ซึ่งในทางอุดมคติแล้วการแปลงสัญญาณต่อเนื่องจะมีลักษณะเป็นเชิงเส้น (Linearity) เสมอ ดังแสดงการแปลงสัญญาณในรูปที่ 3.9 (ข) และสามารถเขียนเป็นสมการได้เป็นสมการที่ (3.24)



**รูปที่ 3.9** การแปลงสัญญาณแอนาลอกเป็นดิจิตอล

- (ก) โครงสร้างพื้นฐานของการแปลงสัญญาณแอนาลอกเป็นดิจิตอล
- (ข) การแปลงสัญญาณแอนาลอกเป็นดิจิตอลขนาด 3 บิตในทางอุดมคติ

เอกสารนี้เป็นเอกสารที่สงวนไว้สำหรับการใช้งานเพื่อการศึกษาเท่านั้น ไม่อนุญาตให้นำไปใช้ประโยชน์ด้านการค้า ไม่ว่าจะกรณีใดๆทั้งสิ้น อีกทั้งห้ามมิให้ดัดแปลงเนื้อหา และต้องอ้างอิงถึงเจ้าของเอกสารทุกครั้งที่มีการนำไปใช้

$$Q = \text{LSB} = \frac{\text{FS}}{2^n} \quad (3.24)$$

เมื่อ

Q คือ ความละเอียดของการแปลงสัญญาณ

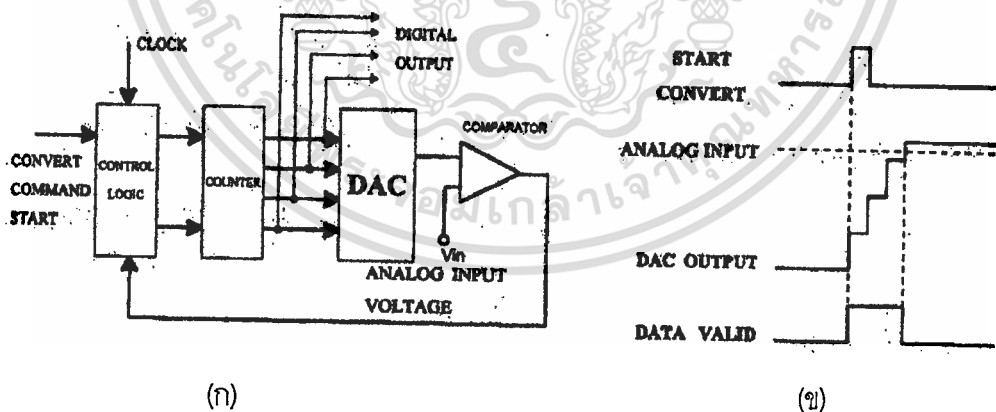
LSB คือ ค่าความห่างระหว่างสัญญาณแอนาลอกต่อ 1 ระดับแรงดันสัญญาณ

FS คือ ระดับอินพุทแอนาลอกเต็มสเกล (Full-scale analog input) ที่วงจรแปลงสัญญาณแอนาลอกเป็นสัญญาณดิจิทัลรองรับได้

สามารถแบ่งลักษณะหรือชนิดของการแปลงสัญญาณแอนาลอกเป็นดิจิทัลได้ตามลักษณะต่างๆ ได้ดังนี้

### 3.1.2.1 การแปลงสัญญาณแอนาลอกเป็นสัญญาณดิจิทัลแบบ Counter type การจัดวงจร

แปลงสัญญาณแอนาลอกเป็นดิจิทัลในลักษณะนี้เป็นแบบที่ใช้วงจรง่ายที่สุด ซึ่งแสดงการทำงานในรูปที่ 3.10 จาก Block diagram ในรูปที่ 3.10 (ก) จะเห็นว่าส่วนประกอบที่สำคัญ คือ ส่วนควบคุม ลอจิก (logic control) ซึ่งจะควบคุมการทำงานในการแปลงสัญญาณ นั่นคือเป็นการกำหนดให้ส่วนนับจำนวนพัลส์ (pulse counter) เพื่อกำหนดสัญญาณดิจิทัลให้กับวงจรแปลงสัญญาณดิจิทัลเป็นแอนาลอก ซึ่งจะทำหน้าที่รับค่าดิจิทัลจากวงจรนับมาสร้างเป็นสัญญาณแอนาลอกมาเปรียบเทียบกับสัญญาณแอนาลอกที่ต้องการแปลงสัญญาณนั้น สำหรับวงจรเปรียบเทียบจะเปรียบเทียบกับสัญญาณ 2 สัญญาณ เมื่อสัญญาณมีค่าเท่ากันที่เอาท์พุทของวงจรเปรียบเทียบจะมีค่าเป็น "0" เพื่อหยุดการนับจำนวนพัลส์ซึ่งก็คือค่าดิจิทัลที่ได้คือค่าที่เหมาะสมของสัญญาณแอนาลอกที่ต้องการแปลง



รูปที่ 3.10 การแปลงสัญญาณแอนาลอกเป็นดิจิทัลแบบ Counter type

(ก) ผังการทำงานของวงจรแปลงสัญญาณแอนาลอกเป็นดิจิทัล

(ข) ลำดับการทำงานของวงจรแปลงสัญญาณแอนาลอกเป็นดิจิทัล

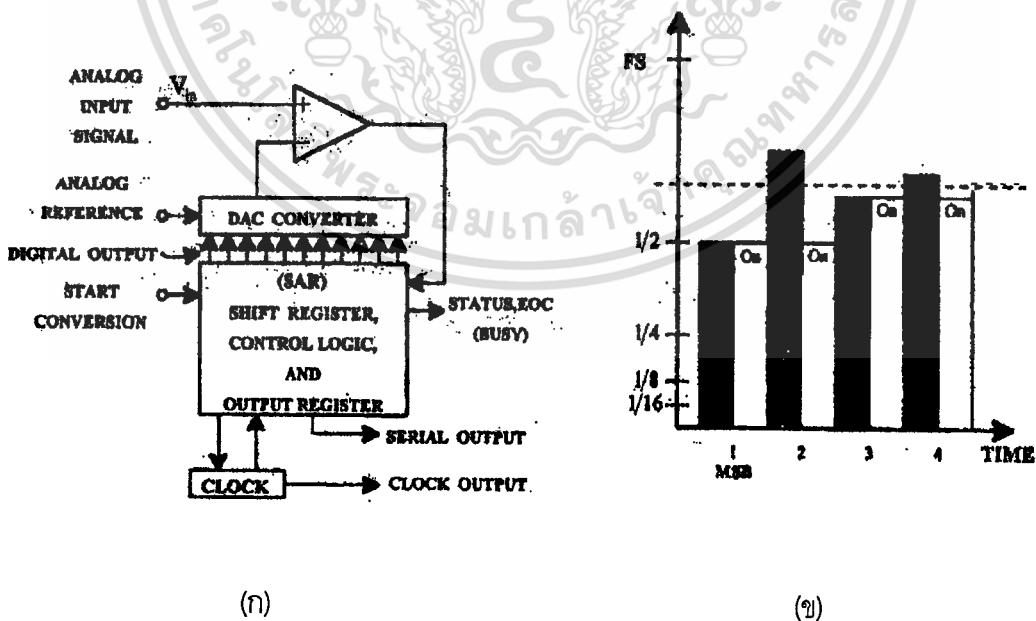
หลักการทำงานของวงจรคือ การเปรียบเทียบขนาดแรงดันที่เอาท์พุทของวงจรแปลงสัญญาณดิจิทัลเป็นแอนาลอกกับสัญญาณแอนาลอกที่เข้ามา การทำงานจะเริ่มโดยมีการส่งสัญญาณ Start ให้กับส่วนควบคุมลอจิกซึ่ง

เอกสารนี้เป็นเอกสารที่สงวนไว้สำหรับการใช้งานเพื่อการศึกษาเท่านั้น ไม่อนุญาตให้นำไปใช้ประโยชน์ด้านการค้า ไม่ว่าจะกรณีใดๆทั้งสิ้น อีกทั้งห้ามมิให้ตัดแปลงเนื้อหา และต้องอ้างอิงถึงเจ้าของเอกสารทุกครั้งที่มีการนำไปใช้

เป็นการทำกรรเซ็ทวงจรนับให้เป็น "ศูนย์" และเริ่มนับ ดังนั้นที่เอาท์พุทของวงจรแปลงสัญญาณดิจิตอลเป็นแอนาลอกจึงเป็นระดับแรงดันที่เป็นแบบขั้นบันไดจนกระทั่งสัญญาณนี้มีค่าแตกต่างกับสัญญาณอินพุทที่เป็นสัญญาณแอนาลอกไม่เกิน 1 LSB ที่เอาท์พุทของวงจรเปรียบเทียบกับจึงเปลี่ยนสถานะจาก "1" เป็น "0" ทำให้หยุดการแปลงสัญญาณหนึ่งครั้ง และรอการเริ่มต้นใหม่อีกครั้ง สำหรับข้อเสีย คือทำงานได้ช้าเพราะว่าการแปลงสัญญาณแต่ละครั้งวงจรนับจะถูกรีเซ็ทให้เป็นศูนย์ และการเริ่มต้นครั้งต่อไปจะเริ่มจากศูนย์เช่นกัน ซึ่งในการแปลงที่มีขนาด n บิตแล้วจะใช้จำนวนสัญญาณนาฬิกา เพื่อเปลี่ยนให้ค่าสูงสุดเต็มสเกล ข้อดี คือ สร้างได้ง่ายรวดเร็วราคาถูก แต่ความแม่นยำขึ้นอยู่กับวงจรแปลงสัญญาณดิจิตอลเป็นแอนาลอกที่ใช้

**3.1.2.2 การแปลงสัญญาณแอนาลอกเป็นดิจิตอลแบบ Successive Approximation** การ

ทำงานของวงจรชนิดนี้เป็นที่นิยมนำมาประยุกต์ใช้กับงานที่มีความต้องการแปลงสัญญาณที่ความเร็วสูงและปานกลาง การจัดวงจรจะคล้ายกับแบบ Counter type คือ มีการป้อนกลับจากเอาท์พุทของ วงจรเปรียบเทียบ ซึ่งสามารถแสดงการทำงานของระบบได้ในรูปที่ 3.11 โดยมีผังการทำงานในรูปที่ 3.11 (ก) การเปรียบเทียบสัญญาณอินพุทกับเอาท์พุทของวงจรแปลงสัญญาณดิจิตอลเป็นแอนาลอก เพื่อไปควบคุม Successive Approximation Register (SAR) ซึ่งเป็น IC MSI ที่ได้รับการออกแบบเป็นพิเศษเพื่อทำหน้าที่นี้โดยเฉพาะการทำงานของ SAR เป็นดังนี้ จากรูปที่ 3.11 (ข) แสดง Timing Diagram ของการทำงานของวงจรแปลงสัญญาณแอนาลอกเป็นดิจิตอลจะมีความสำคัญอยู่ที่ SAR ซึ่งจะเป็นตัวประมาณค่าดิจิตอลที่ใช้แทนค่าแอนาลอกของสัญญาณอินพุทมีลำดับการทำงานดังนี้



**รูปที่ 3.11** การแปลงสัญญาณแอนาลอกเป็นดิจิตอลแบบ Successive Approximation

(ก) ผังการทำงาน

(ข) Timing ของวิธีการแบบ Successive Approximation

เอกสารนี้เป็นเอกสารที่สงวนไว้สำหรับการใช้งานเพื่อการศึกษาเท่านั้น ไม่อนุญาตให้นำไปใช้ประโยชน์ด้านการค้า ไม่ว่ากรณีใดๆทั้งสิ้น อีกทั้งห้ามให้ตัดแปลงเนื้อหา และต้องอ้างอิงถึงเจ้าของเอกสารทุกครั้งที่มีการนำไปใช้

1. เมื่อมีสัญญาณ Start วงจรส่วน SAR จะทำการรีเซ็ตค่าของดิจิตอลที่จ่ายให้แก่ส่วนวงจรแปลงสัญญาณดิจิตอลเป็นแอนาล็อกและเริ่มการประมาณค่าสัญญาณแอนาล็อกที่ clock ลูกแรกหลังจากได้รับสัญญาณ start ด้วยการแทนบิตที่ป้อนให้แก่วงจรแปลงสัญญาณดิจิตอลเป็นแอนาล็อกที่ MSB มีค่าเป็นลอจิก "1" (บิตที่เหลือจะมีค่าเป็น "0") ถ้าค่าที่ได้จากแอนาล็อกที่ได้จากค่า ADC มีค่าสูงกว่าค่าแอนาล็อกของวงจรเปรียบเทียบจะให้ระดับคัทตาไฟฟ้าที่ทำให้การรีเซ็ตค่า MSB ให้มีค่าเป็น "0" และถ้าค่าของแอนาล็อกที่ได้จากวงจรแปลงสัญญาณดิจิตอลเป็นแอนาล็อกมีค่าต่ำกว่าค่าแอนาล็อกที่เป็นอินพุทของ SAR จะคงค่าบิตนั้นไว้ที่ระดับลอจิก "1" (พิจารณาจากรูป)

2. เมื่อ clock ลูกที่ 2 เข้ามายัง SAR จะทำการประมาณค่าบิตที่ MSB-1 ด้วยการแทนที่ระดับลอจิกที่ 1 ให้แกบิต MSB-1 แต่ถ้าเอาท์พุทที่ได้มีค่าสูงกว่าค่าอินพุท ซึ่งจะเหมือนในระดับแรก ดังนั้นที่ SAR จะคงบิต MSB-1 ไว้ที่ระดับ "1" ค้างไว้ แต่ทำการเปรียบเทียบครั้งต่อไปมีค่าน้อยกว่าจะทำการรีเซ็ตบิต MSB-1 ให้มีค่าเป็นระดับลอจิก "0"

3. การประมาณค่าบิตจะกระทำไปจนกว่าถึงการประมาณค่าบิตที่ LSB โดยมีลำดับการประมาณค่าจากบิตก่อนๆ

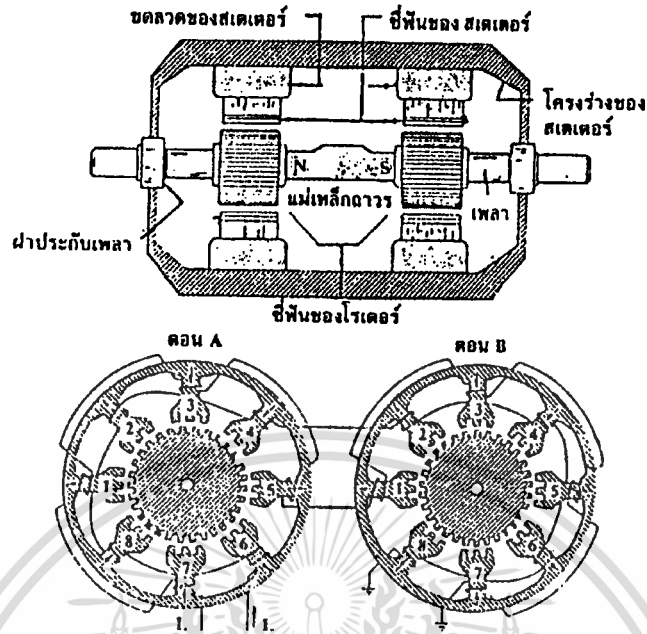
ข้อกำหนดประการหนึ่งสำหรับการแปลงสัญญาณ คือ สัญญาณแอนาล็อกอินพุทจะต้องคงที่ในช่วงเวลาที่ทำการเปลี่ยนแปลงสัญญาณ โดยเปลี่ยนได้ไม่เกิน 0.5 LSB ในช่วงสุดท้ายของการเปลี่ยนสัญญาณดิจิตอลเอาท์พุทที่ออกมาขนานกันทุกบิตแต่บางแบบจะให้เอาท์พุทออกมาในลักษณะอนุกรม

วงจรแปลงสัญญาณแอนาล็อกเป็นดิจิตอลแบบนี้สามารถทำงานได้สองโหมด คือ โหมดที่ทำงานอิสระ (Free run) และโหมดที่รอคำสั่ง Start Conversion จากภายนอก เวลาที่ใช้ในการเปลี่ยนแปลงสัญญาณใช้  $(n+1)$  พัลส์ของสัญญาณนาฬิกาที่พัลส์แรกจะใช้การรีเซ็ตรีจิสเตอร์ภายใน คุณภาพของระบบจะขึ้นอยู่กับ วงจรแปลงสัญญาณดิจิตอลเป็นแอนาล็อกและวงจรเปรียบเทียบ

## 3.2 อุปกรณ์ภายนอก

### 3.2.1 อุปกรณ์เคลื่อนที่เป็นสเตป หรือสเตปปีงมอเตอร์ชนิดไฮบริดจ์

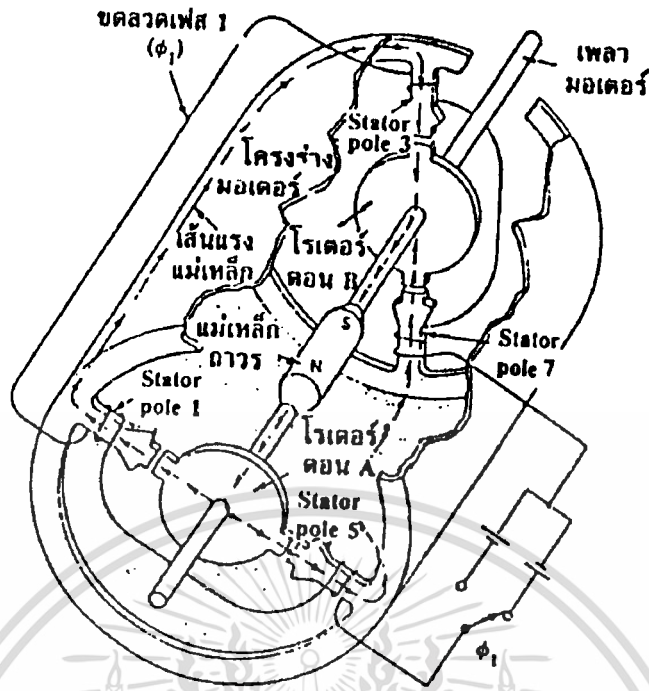
สเตปปีงมอเตอร์ชนิดนี้มีคุณลักษณะผสมของระหว่างสเตปปีงมอเตอร์ ชนิดแม่เหล็กถาวร และ ชนิดรีลัคแตนซ์แปรค่าได้ มีโครงสร้างในรูปที่ 3.16 แสดงถึงโครงสร้างของสเตปปีงมอเตอร์แบบไฮบริดจ์ ซึ่งประกอบไปด้วยแม่เหล็กถาวร 2 ตอนกับแกนแม่เหล็กอยู่ระหว่าง 2 ตอน แต่ละตอนประกอบด้วยซี่ฟันของโรเตอร์และโพลของสเตเตอร์ที่มีซี่ฟันชนกันและฟันด้วยขดลวด



รูปที่ 3.12 แสดงโครงสร้างของไฮบริดจ์สเตปปีงมอเตอร์

รายละเอียดของลักษณะโครงสร้างของไฮบริดจ์สเตปปีงมอเตอร์มีดังนี้

1. จำนวนซีฟันของโรเตอร์และสเตเตอร์ไม่เท่ากัน
2. ตอน A และตอน B มีโครงสร้างเหมือนกัน
4. ซีฟันของสเตเตอร์ทั้ง 2 ตอนจะอยู่ในแนวเดียวกันอย่างถูกต้อง
5. ส่วนซีฟันของโรเตอร์ทั้ง 2 ตอนจะมีตำแหน่งที่แตกต่างกัน  $(1/2)P_r$  (ในรูปที่ 3.12 กำหนดให้  $P_r = (360^\circ/30) = 12^\circ$  ดังนั้น ตำแหน่งซีฟันของโรเตอร์ทั้ง 2 ตอนจะต่างกัน  $6^\circ$ )
6. สเตเตอร์ของแต่ละตอนมี 8 โพลแบ่งออกเป็น 2 สเตเตอร์
7. เฟสที่ 1 พันขดลวดบนสเตเตอร์โพลหมายเลข 1, 3, 5 และ 7 ของทั้งตอน A และ B
8. เฟสที่ 2 พันขดลวดบนสเตเตอร์โพลหมายเลข 2, 4, 6 และ 8 ของทั้งตอน A และ B
9. แกนแม่เหล็กถาวรเหนี่ยวนำโรเตอร์ในตอน A ให้เป็นขั้วเหนือ และในตอน B เป็น ขั้วใต้ ทิศทางเดินของสนามแม่เหล็กของสเตเตอร์โพลจะขึ้นอยู่กับการไหลของกระแสเฟส อธิบายได้ดังในรูปที่ 3.13



รูปที่ 3.13 วงจรแม่เหล็กของสเตปป์มอเตอร์แบบไฮบริดจ์

จากรูปที่ 3.13 เป็นการทํางานของสเตปป์มอเตอร์แบบไฮบริดจ์ คือ เมื่อเฟส 1 ด้รับพลังงานจากกระแส  $I_1$  ( $\phi_1$ ) ในทิศทางตามลูกศร ซึ่งพื้นของโรเตอร์ตอน A จะอยู่ในแนวเดียวกับขั้วของสเตเตอร์ในโพลที่ 1 และ 5 ส่วนตอน B จะอยู่ในแนวเดียวกับขั้วของโพลที่ 3 และ 7 เพื่อให้เฟลาของมอเตอร์หมุนไปในทิศทาง CW เราต้องหยุดการป้อนกระแส  $I_1$  และป้อนกระแส  $I_2$  ให้กับเฟสที่ 2 ( $\phi_2$ ) ดังนั้นเราจะต้องป้อนกระแส  $I_2$  ในทิศทางที่ถูกต้อง คือ โพลที่ 4, 8 ในตอน A และโพลที่ 2, 6 ถูกเหนี่ยวนำเพื่อให้เกิดวงจรแม่เหล็กที่สมบูรณ์ในกรณีนี้  $I_2$  จะเป็นลบ จากรูปที่ 3.13 เป็นการลำดับการสวิตช์ (ให้กระแสไหล) ให้มอเตอร์หมุนไปในทิศทาง CW จำนวน 4 สเตป ซึ่งแสดงถึง ตำแหน่งของโรเตอร์และทิศทางการเป็นแม่เหล็กของสเตเตอร์โพลในแต่ละตอนด้วยการกำหนดทิศทางกระแสของกระแสเฟส สำหรับการหมุนในทิศทาง CW จะเป็นไปตามรูป เราสามารถกำหนดลำดับของกระแสดังนี้ คือ  $1^+, 2^-, 1^-$  และ  $1^+$  แต่ถ้าหากต้องการให้มอเตอร์หมุนไปในทิศทาง CCW ก็จะต้องเรียงลำดับการจ่ายกระแสตามนี้  $1^+, 2^+, 1^-$  และ  $1^+$

สัญญาณควบคุมสำหรับสเตปมอเตอร์จะเป็น Low power ตระกูล TTL แต่สเตปป์มอเตอร์ต้องการกระตุ้นด้วยแรงดัน 5 V และกระแส 3 A จึงจำเป็นต้องใช้วงจรควบคุมการเชื่อมต่อซึ่งได้กล่าวมาแล้วในหัวข้อการเชื่อมต่อ เพราะฉะนั้นวงจรขับจึงเป็นแบบพื้นฐานที่สามารถเชื่อมต่อกับวงจรจัดลำดับได้ ซึ่งจะแบ่งออกได้เป็น 2 ลักษณะคือ การขับแบบขั้วเดียว (Unipolar Drive) และการขับแบบสองขั้ว (Bipolar Drive)

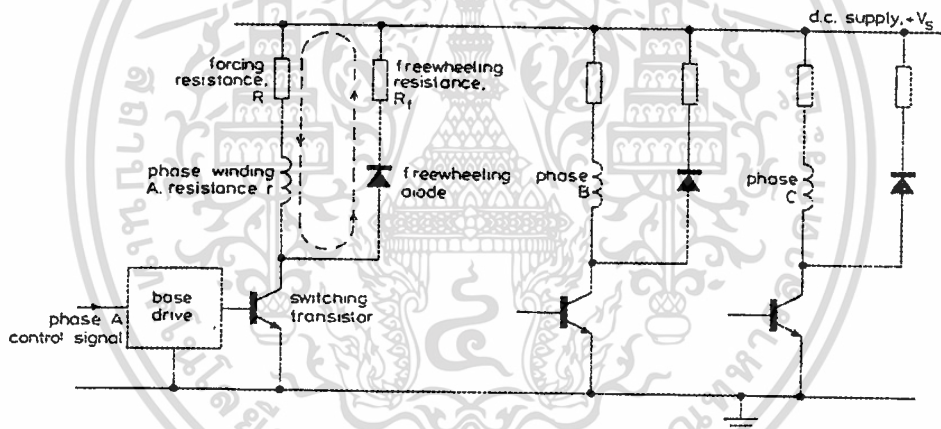
**3.2.1.1 วงจรขับแบบขั้วเดียว (Unipolar Drive Circuit) วงจรขับนี้เป็นการขับที่ง่ายที่สุด ซึ่งสามารถแสดงได้ตามรูปที่ 3.14 ซึ่งเป็นวงจรขับสำหรับสเตปมอเตอร์ชนิดแปรค่ารีลัคแตนซ์ได้ที 3 เฟส**

เอกสารนี้เป็นเอกสารที่สงวนลิขสิทธิ์สำหรับการใช้งานเพื่อการศึกษาเท่านั้น เมื่อผู้ดูเห็นหน้าจอนี้โปรดอย่ามีการค้าไม่ว่ากรณีใดๆทั้งสิ้น อีกทั้งห้ามมิให้ตัดแปลงเนื้อหา และต้องอ้างอิงถึงเจ้าของเอกสารทุกครั้งที่มีการนำไปใช้

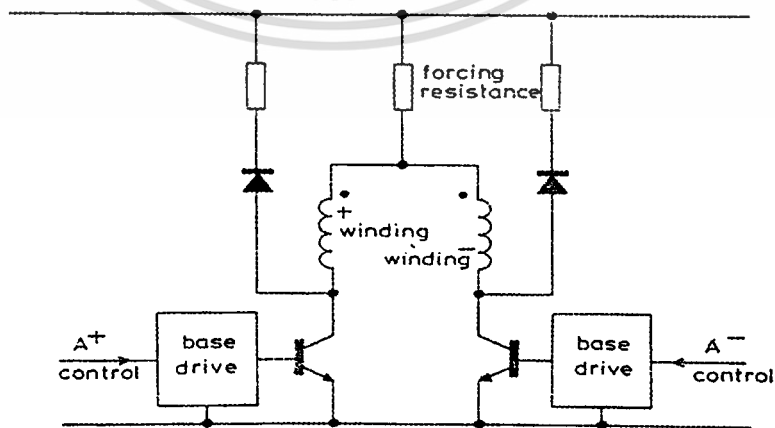
สำหรับเฟสที่ถูกกระตุ้นจะถูกแยกเป็นอิสระกับเฟสอื่นๆ ซึ่งสัญญาณการกระตุ้นเรียกว่า สัญญาณควบคุมเฟส (Phase Control Signal) จากรูปขดลวดถูกกระตุ้นได้จากการสวิตช์ปิดของทรานซิสเตอร์ในลักษณะอิ่มตัว (Saturated) แหล่งจ่ายไฟดีซีจะตกคร่อมขดลวดและ forcing resistance ซึ่งทำให้เกิดกระแสเต็มพิกัดที่ขดลวดต้องการเป็นไปตามสมการที่ (3.25) และสำหรับการพันแบบไบพอลาร์ แต่ใช้วงจรขับแบบโมโนโพลาร์ แสดงในรูปที่ 3.15

$$V_S = I(r+R) \quad (3.25)$$

- $V_S$  = แหล่งจ่ายไฟเลี้ยงมอเตอร์  
 $I$  = กระแสที่จ่ายให้กับขดลวดมอเตอร์  
 $r$  = ความต้านทานของขดลวดในแต่ละเฟส  
 $R$  = ความต้านทานของตัวต้านทานที่นำมาต่ออนุกรม



รูปที่ 3.14 วงจรขับแบบพัลส์เดียว

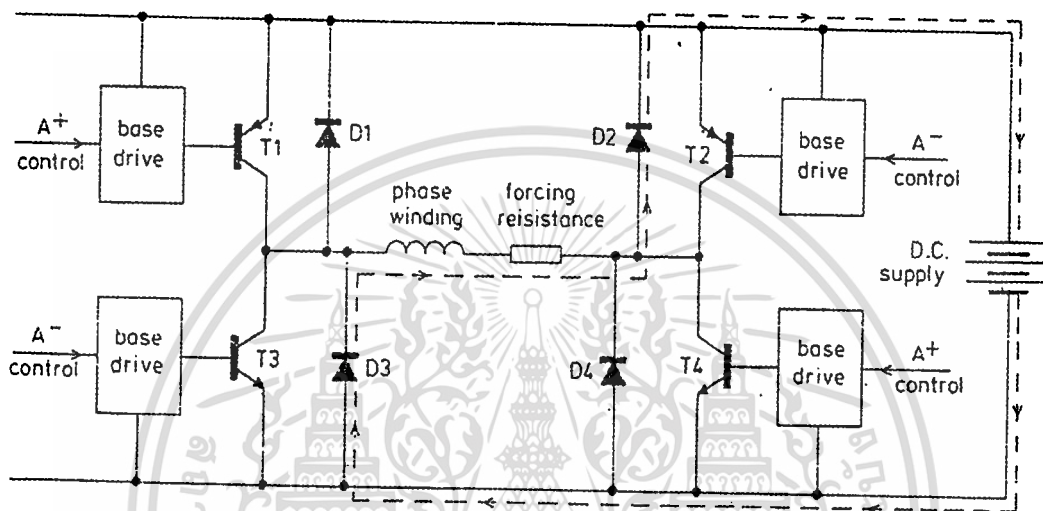


รูปที่ 3.15 วงจรขับสำหรับสเต็ปมอเตอร์ที่พันขดลวดแบบไบพอลาร์และใช้การขับแบบโมโนโพลาร์

เอกสารนี้เป็นเอกสารทสงานวิชาสำหรับวิชาการเพื่อการศึกษาเท่านั้น มิใช่ผู้ดูแลเนื้อหาเป็นเชิงวิชาการด้านการค้า

ไม่ว่ากรณีใดๆทั้งสิ้น อีกทั้งห้ามมิให้ตัดแปลงเนื้อหา และต้องอ้างอิงถึงเจ้าของเอกสารทุกครั้งที่มีการนำไปใช้

**3.2.1.2 วงจรขับแบบสองขั้ว (Bipolar Drive Circuit)** การขับในลักษณะของหนึ่งเฟสแต่ใช้ทรานซิสเตอร์ 4 ตัว เพื่อบังคับทิศทางกระแสไหลของกระแสให้เข้าขดลวดของสเตปป์มอเตอร์ ซึ่งสามารถเลือกได้จากการให้ทรานซิสเตอร์ทำงานเป็นคู่ แสดงได้ในรูปที่ 3.16 จากรูปต้องป้อนพัลส์แบบบวกให้กับขาเบสของทรานซิสเตอร์ชนิด เอ็นพีเอ็น (NPN) ที่ต้องการให้ทำงานหรือนำกระแส และป้อนสัญญาณพัลส์แบบลบให้ทรานซิสเตอร์ชนิด พีเอ็นพี (PNP) ทั้งสองตัวต้องนำกระแสพร้อมกันตามทิศทางกระแสที่ใช้เส้นประแสดงทิศทาง



รูปที่ 3.16 วงจรขับแบบสองขั้ว

### 3.2.2 การกระตุ้นขดลวดให้โรเตอร์เคลื่อนที่ในลักษณะต่างๆ

#### 3.2.2.1 การกระตุ้นให้ขดลวดทำงานสเตปละหนึ่งเฟส (Full step one phase excitation)

ลำดับการทำงานในโหมดปกติด้วยการกระตุ้นแบบหนึ่งเฟส (one phase excitation) จากตารางที่ 3.2 เป็นการแสดงลำดับการกระตุ้นในแบบหนึ่งเฟสสำหรับสเตปป์มอเตอร์ที่มี 3 เฟส และ 4 เฟส ในเส้นแรงเงาในตารางแสดงถึงเฟสที่ถูกกระตุ้น เมื่อมอเตอร์เริ่มหมุนลำดับของการกระตุ้นของเฟสต่าง ๆ เป็นดังนี้คือจากเฟส 1 ไปเฟส 2 และเฟส 3 เป็นลักษณะ CW ถ้าต้องการให้หมุนในทางกลับกันก็ต้องกระตุ้นจากเฟส 3 ไปเฟส 2 และเฟส 1 การทำงานในลักษณะนี้บางครั้งจะถูกเรียกว่า เป็นการขับแบบทีละเฟสในโหมดหนึ่งสเตปหรือเต็มสเตป

#### 3.2.2.2 ลำดับการทำงานในโหมดปกติกระตุ้นแบบสองเฟส (two phase excitation mode)

การทำงานของมอเตอร์ในลักษณะนี้เรียกว่า การทำงานทีละสองเฟส ซึ่งมีลำดับการกระตุ้นดังแสดงในตารางที่ 3.3 ซึ่งเป็นความสัมพันธ์กันระหว่างตัวโรเตอร์และสเตเตอร์ในการเกิดตำแหน่งที่สมดุลย์กัน จากตารางที่ 3.3 เป็นลำดับการกระตุ้นที่ใช้สำหรับสเตปป์มอเตอร์ชนิด 3 และ 4 เฟส การทำงานคือ เมื่อเรากระตุ้นเฟสที่ 1 และ 2 ด้วยพัลส์ที่ 1 ตำแหน่งแกนจะอยู่ในสภาวะสมดุลและเมื่อพัลส์ที่ 2 เข้ามาจะไปกระตุ้นเอกสารนี้เป็นเอกสารที่สงวนไว้สำหรับการใช้งานเพื่อการศึกษาเท่านั้น ไม่นอนุญาตให้นำไปใช้ประโยชน์ด้านการค้า ไม่ว่าจะกรณีใดๆทั้งสิ้น อีกทั้งห้ามมิให้ตัดแปลงเนื้อหา และต้องอ้างอิงถึงเจ้าของเอกสารทุกครั้งที่มีการนำไปใช้

ให้เฟสที่ 3 ทำงานและเฟสที่ 1 หยุด ในขณะที่เฟสที่ 2 ยังคงทำงานค้างอยู่ นั่นคือจะมีอยู่ 2 เฟสที่ทำงานพร้อมกัน จะทำให้โรเตอร์เคลื่อนที่ไปครึ่งละหนึ่งสเตป ซึ่งการเกิดลักษณะนี้เป็นการกระตุ้นในโหมตหนึ่งสเตป

### ตารางที่ 3.2 แสดงลำดับการขับในโหมตการทำงานแบบปกติด้วยการกระตุ้นหนึ่งเฟส

(ก) สำหรับสเตปป์มอเตอร์ชนิด 3 เฟส

(ข) สำหรับสเตปป์มอเตอร์ชนิด 4 เฟส

| ลำดับจำนวนพัลส์ | เริ่มต้น | 1  | 2  | 3  | 4  | 5  | 6  | 7  | 8  | 9  |
|-----------------|----------|----|----|----|----|----|----|----|----|----|
| ขดลวดเฟสที่ 1   | on       | on |    |    | on |    |    | on |    |    |
| ขดลวดเฟสที่ 2   |          |    | on |    |    | on |    |    | on |    |
| ขดลวดเฟสที่ 3   |          |    |    | on |    |    | on |    |    | on |

(ก)

| ลำดับจำนวนพัลส์ | เริ่มต้น | 1  | 2  | 3  | 4  | 5  | 6  | 7  | 8  |
|-----------------|----------|----|----|----|----|----|----|----|----|
| ขดลวดเฟสที่ 1   | on       | on |    |    |    | on |    |    |    |
| ขดลวดเฟสที่ 2   |          |    | on |    |    |    | on |    |    |
| ขดลวดเฟสที่ 3   |          |    |    | on |    |    |    | on |    |
| ขดลวดเฟสที่ 4   |          |    |    |    | on |    |    |    | on |

(ข)

#### 3.2.2.3 ลำดับการทำงานในโหมตการเคลื่อนที่ครึ่งสเตป (half step excitation)

การกระตุ้นในลักษณะนี้จะเป็นการรวมเอาการขับแบบกระตุ้นให้นำกระแสครึ่งละเฟสและสองเฟสมารวมกัน นั่นคือจะทำให้การเคลื่อนที่ของโรเตอร์เปลี่ยนแปลงไปครึ่ง ครึ่งสเตปปกติที่โครงสร้างของมอเตอร์นั้นๆ ออกแบบไว้ เช่น ถ้าสมมุติว่าเป็นสเตปป์มอเตอร์ชนิดไฮบริดจ์ ที่มีขนาดมุมสเตปละๆ 1.8 องศา เมื่อนำมาขับแบบครึ่งสเตปจะทำให้ได้ความละเอียดของมุมสเตปมากขึ้นหนึ่งเท่าตัวได้ ดังแสดงลำดับการกระตุ้นให้มีการเคลื่อนที่แบบต่อเนื่องในตารางที่ 3.4 ซึ่งเป็นสเตปป์มอเตอร์ชนิด 4 เฟส

การกระตุ้นให้ขดลวดของสเตปป์มอเตอร์นำกระแสแตกต่างกันออกไปซึ่งแล้วแต่การนำไปใช้งาน เช่น การคำนึงถึงกระแสที่ขดลวดต้องการ แรงดันที่ตกคร่อมในแต่ละเฟสซึ่งหมายถึงการสร้าง Power supply เพื่อเป็นตัวจ่ายกำลังงานให้กับขดลวดของสเตปป์มอเตอร์ ความละเอียดของมุมสเตปในการเคลื่อนที่แต่ละสเตป และแรงขับให้เกิดการเคลื่อนที่ที่ผู้ใช้ต้องการ เช่น การสเตปป์มอเตอร์ใช้แรงขับเพื่อตั้งกระดามขาหรือออกจาก เครื่องถ่ายเอกสาร หรือเครื่องตรวจข้อสอบ เป็นต้น ซึ่งนำไปสู่การเลือกขนาดมอเตอร์ด้วย

เอกสารนี้เป็นเอกสารทสวงนวิชาหรับการเขางานเพอการศกษาเท่านั้น เมื่ออยู่ดูเห็นหน้าใช้เซอริะเฮชนด้านการค้า

ไม่ว่ากรณีใดๆทั้งสิ้น อีกทั้งห้ามมิให้ดัดแปลงเนื้อหา และต้องอ้างอิงถึงเจ้าของเอกสารทุกครั้งที่มีการนำไปใช้

### ตารางที่ 3.3 แสดงลำดับการทำงานในโหมดปกติด้วยการกระตุ้นแบบสองเฟส

(ก) สำหรับสเตปป์มอเตอร์ชนิด 3 เฟส

(ข) สำหรับสเตปป์มอเตอร์ชนิด 4 เฟส

| ลำดับจำนวนพัลส์ | เริ่มต้น | 1  | 2  | 3  | 4  | 5  | 6  | 7  | 8  | 9  |
|-----------------|----------|----|----|----|----|----|----|----|----|----|
| ขดลวดเฟสที่ 1   | on       | on |    | on | on |    | on | on |    | on |
| ขดลวดเฟสที่ 2   |          | on | on |    | on | on |    | on | on |    |
| ขดลวดเฟสที่ 3   |          |    | on | on |    | on | on |    | on | on |

(ก)

| ลำดับจำนวนพัลส์ | เริ่มต้น | 1  | 2  | 3  | 4  | 5  | 6  | 7  | 8  | 9  |
|-----------------|----------|----|----|----|----|----|----|----|----|----|
| ขดลวดเฟสที่ 1   | on       | on |    |    | on | on |    |    | on | on |
| ขดลวดเฟสที่ 2   |          | on | on |    |    | on | on |    |    | on |
| ขดลวดเฟสที่ 3   |          |    | on | on |    |    | on | on |    |    |
| ขดลวดเฟสที่ 4   |          |    |    | on | on |    |    | on | on |    |

(ข)

### ตารางที่ 3.4 แสดงลำดับการกระตุ้นในโหมดครึ่งสเตป

| ลำดับจำนวนพัลส์ | เริ่มต้น | 1  | 2  | 3  | 4  | 5  | 6  | 7  | 8  | 9  |
|-----------------|----------|----|----|----|----|----|----|----|----|----|
| ขดลวดเฟสที่ 1   | on       | on |    |    |    |    |    | on | on | on |
| ขดลวดเฟสที่ 2   |          | on | on | on |    |    |    |    |    | on |
| ขดลวดเฟสที่ 3   |          |    |    | on | on | on |    |    |    |    |
| ขดลวดเฟสที่ 4   |          |    |    |    |    | on | on | on |    |    |

#### 3.2.3 มอเตอร์กระแสตรง (Direct Current motor)

มอเตอร์กระแสตรง (Direct Current Motor) ที่ใช้งานกันอยู่โดยทั่วไปมี 2 ประเภทใหญ่ๆ ด้วยกัน คือ แบบที่ไม่มีแปรงถ่าน (Brushless DC Motor) และแบบที่มีแปรงถ่าน การแยกประเภทของดีซีมอเตอร์ ซึ่งเป็นการแบ่งตามวิธีการสร้างสนามแม่เหล็กกระตุ้น และการออกแบบโครงสร้างภายในของอาร์มาเจอร์ สำหรับดีซีมอเตอร์ที่มีการแยกกระตุ้นสนามแม่เหล็กแบ่งได้ดังนี้

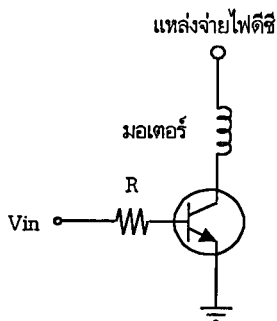
เอกสารนี้เป็นเอกสารที่สงวนไว้สำหรับการใช้งานเพื่อการศึกษาเท่านั้น ไม่อนุญาตให้นำไปใช้ประโยชน์ด้านการค้า ไม่ว่าจะกรณีใดๆทั้งสิ้น อีกทั้งห้ามมิให้ตัดแปลงเนื้อหา และต้องอ้างอิงถึงเจ้าของเอกสารทุกครั้งที่มีการนำไปใช้

1. มอเตอร์กระแสตรงแบบปรับเส้นแรงแม่เหล็กกระตุ้นได้ สามารถแบ่งตามโครงสร้างได้เป็น 2 ชนิด คือ แบบขอลวดแม่เหล็กต่ออนุกรมกับขดลวดอาร์มาเจอร์ ดีซีมอเตอร์นี้จะใช้งานสภาวะเฉพาะเมื่อต้องการแรงบิดสูง ที่ความเร็วต่ำ และแบบขอลวดแม่เหล็กกระตุ้นแยกกระตุ้น จะใช้งานได้ดีที่แรงบิดต่ำที่ความเร็วสูง
2. มอเตอร์กระแสตรงแบบเส้นแรงแม่เหล็กกระตุ้นคงที่ ส่วนใหญ่ปัจจุบันพบเห็นกันอยู่ทั่วไป ซึ่งมอเตอร์ชนิดนี้จะให้อัตราส่วนระหว่างกระแสอาร์มาเจอร์และแรงบิดคงที่ และไม่มีกำลังสูญเสียในฟิลล์กระตุ้น มีขนาดเล็กแต่มีประสิทธิภาพสูง
3. มอเตอร์กระแสตรงแบบอาร์มาเจอร์เป็นแกนเหล็ก มีโครงสร้างแบบโมเมนต์ของแรงเฉื่อยสูงที่สุด และมีค่าอินดักแตนซ์ของโรเตอร์สูงสุดด้วย ดังนั้นมอเตอร์กระแสตรงชนิดนี้จึงมีปริมาณการทำความร้อนได้สูง และทนการเกิดโอเวอร์โวลตได้ในระยะนานๆ โดยไม่เกิดความเสียหายต่อมอเตอร์
4. มอเตอร์กระแสตรงแบบอาร์มาเจอร์ที่มีขดลวดพันอยู่บนพื้นผิว มอเตอร์ชนิดนี้ไม่มีสล๊อตทำให้ได้อินดักแตนซ์ของโรเตอร์ต่ำกว่าแกนเหล็ก ข้อเสียคือทำให้ขนาดของมอเตอร์ใหญ่ขึ้นและราคาแพงกว่าแบบแกนเหล็ก
5. มอเตอร์กระแสตรงแบบอาร์มาเจอร์เป็นขดลวดหมุน ได้รับการออกแบบเพื่อให้มีโมเมนต์ของแรงเฉื่อยน้อยและรูปลักษณะโครงสร้างภายนอกที่เหมาะสม คือ โครงสร้างภายนอกและโครงสร้างของแม่เหล็ก แบบมีช่องว่างอากาศระหว่างแม่เหล็กมากกว่า มอเตอร์หัวข้อที่ 3 และ 4 การออกแบบจึงทำให้โครงสร้างแม่เหล็กให้ใหญ่ขึ้น เพื่อให้ช่องว่างของอากาศระหว่างเส้นแรงแม่เหล็กเท่ากันกับมอเตอร์ แบบดังกล่าว ดังนั้นราคามอเตอร์แบบนี้จึงแพง ข้อเสียคือโรเตอร์มีความทนทานต่อความร้อนต่ำ หากเกิดโอเวอร์โวลตขึ้นอาจทำให้เสียหายได้ง่าย

### 3.2.3.1 การขับมอเตอร์กระแสตรง (DC Motor)

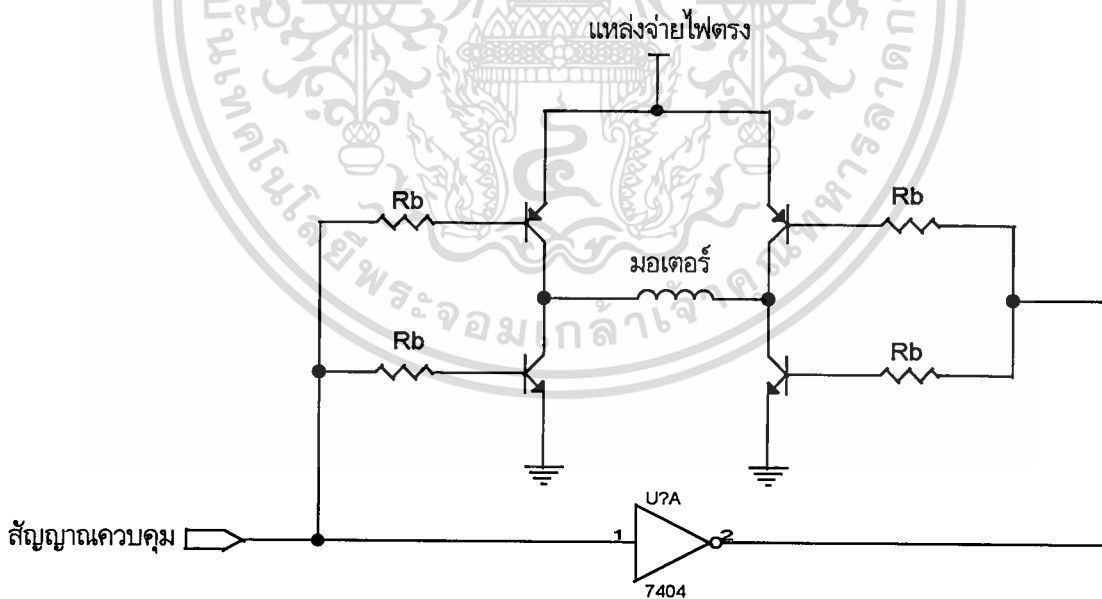
การขับดีซีมอเตอร์ สามารถสร้างวงจรขับได้จากอุปกรณ์อิเล็กทรอนิกส์กำลัง ที่ใช้งานโดยทั่วไปมี 2 ประเภทด้วยกันคือ การขับแบบเชิงเส้น (Linear Amplify Driver) ซึ่งมักจะเรียกว่า Linear Drive และการขับแบบพัลส์วidthมอด (Pulse Width Modulation Amplify Driver) ซึ่งมักจะเรียกว่า PWM ทั้งสองแบบมีหลักการทำงานดังนี้

1. การขับแบบเชิงเส้น เป็นตัวควบคุมแรงดันไฟฟ้าหรือกระแสของมอเตอร์ โดยบังคับขนาดของแรงดันไฟฟ้าที่จ่ายให้กับมอเตอร์ ดังนั้นมักจะเป็นตัวลดแรงดันไฟฟ้ามากกว่า ซึ่งเท่ากับผลต่างของแหล่งจ่ายแรงดันไฟฟ้าและแรงดันที่มอเตอร์ใช้งานจริงในขณะที่มีกระแสเหมาะสมไหลผ่าน กำลังสูญเสียในเอาต์พุทของทรานซิสเตอร์จะมีมาก โดยเฉพาะขณะที่มอเตอร์เริ่มหมุนและหมุนที่ความเร็วต่ำขณะที่ใช้แรงบิดสูง ขณะนั้นแรงดันไฟฟ้าย้อนกลับของมอเตอร์ต่ำทำให้กระแสสูง สามารถแสดงวงจรได้ในรูปที่ 3.21



รูปที่ 3.17 วงจรขับแบบเชิงเส้นอย่างง่าย

2. การขับแบบพัลส์วิดท์มอด (Pulse Width Modulation) ซึ่งการควบคุมดีซีมอเตอร์ วงจรขยายสัญญาณมีหน้าที่ควบคุมแรงดันและกระแส ดังนั้นจากหัวข้อที่ 1 เราทราบถึงข้อเสียของการขับแบบเชิงเส้นแล้วทำให้เกิดการสูญเสียพลังงานที่เอาท์พุทของทรานซิสเตอร์มาก การขับแบบพัลส์วิดท์มอดจึงเป็นการลดการสูญเสียนี้ โดยการปรับกระแสให้กับมอเตอร์ด้วยการเปลี่ยนแปลง Duty Cycle ของแรงดันไฟฟ้าควบคุมซึ่งจะทำให้แรงดันไฟฟ้าที่ให้แก่มอเตอร์เปลี่ยนแปลงตามสัญญาณควบคุมและสามารถควบคุมความเร็วต่างๆ และให้แรงบิดสูงได้โดยเกิดการสูญเสียน้อย แสดงวงจรได้ในรูปที่ 3.22



รูปที่ 3.18 วงจรขับแบบพัลส์วิดท์มอดอย่างง่าย

เอกสารนี้เป็นเอกสารที่สงวนไว้สำหรับการใช้งานเพื่อการศึกษาเท่านั้น ไม่อนุญาตให้นำไปใช้ประโยชน์ด้านการค้า ไม่ว่าจะกรณีใดๆทั้งสิ้น อีกทั้งห้ามมิให้ตัดแปลงเนื้อหา และต้องอ้างอิงถึงเจ้าของเอกสารทุกครั้งที่มีการนำไปใช้

## บทที่ 4

### การออกแบบเครื่องตรวจข้อสอบ

ในการออกแบบเครื่องตรวจข้อสอบแบ่งออกได้เป็นสองส่วนใหญ่ๆได้แก่ ส่วนแรกเป็นการออกแบบวงจรควบคุมการทำงานของเครื่องตรวจข้อสอบรวมทั้งโปรแกรมการทำงาน และส่วนที่สองเป็นการออกแบบเชิงกลของเครื่องตรวจข้อสอบซึ่งเป็นส่วนของการลำเลียงกระดาษผ่านหัวอ่านการฝนดินสอด้วยแสงอินฟราเรด

#### 4.1 การออกแบบวงจรควบคุมการทำงานของเครื่องตรวจข้อสอบ

จากแบบของกระดาษคำตอบที่ใช้กับเครื่องตรวจข้อสอบดังแสดงในรูปที่ 4.1

| รหัสประจำตัว |   |   |   |   |   |   |   | มหาวิทยาลัยรามคำแหง |           |           | แถว |
|--------------|---|---|---|---|---|---|---|---------------------|-----------|-----------|-----|
| 1            | 2 | 3 | 4 | 5 | 6 | 7 | 8 | ชื่อ-สกุล           | สถานที่   | สูง       |     |
|              |   |   |   |   |   |   |   | คณะวิชา             | วันที่    | เวลา      |     |
| 0            | 0 | 0 | 0 | 0 | 0 | 0 | 0 | 18 020200           | 38 020200 | 00 020200 |     |
| 0            | 0 | 0 | 0 | 0 | 0 | 0 | 0 | 19 020200           | 40 020200 | 01 020200 |     |
| 0            | 0 | 0 | 0 | 0 | 0 | 0 | 0 | 20 020200           | 41 020200 | 02 020200 |     |
| 0            | 0 | 0 | 0 | 0 | 0 | 0 | 0 | 21 020200           | 42 020200 | 03 020200 |     |
| 1            | 0 | 0 | 0 | 0 | 0 | 0 | 0 | 22 020200           | 43 020200 | 04 020200 |     |
| 2            | 0 | 0 | 0 | 0 | 0 | 0 | 0 | 23 020200           | 44 020200 | 05 020200 |     |
| 3            | 0 | 0 | 0 | 0 | 0 | 0 | 0 | 24 020200           | 45 020200 | 06 020200 |     |
| 4            | 0 | 0 | 0 | 0 | 0 | 0 | 0 | 25 020200           | 46 020200 | 07 020200 |     |
| 5            | 0 | 0 | 0 | 0 | 0 | 0 | 0 | 26 020200           | 47 020200 | 08 020200 |     |
| 6            | 0 | 0 | 0 | 0 | 0 | 0 | 0 | 27 020200           | 48 020200 | 09 020200 |     |
| 7            | 0 | 0 | 0 | 0 | 0 | 0 | 0 | 28 020200           | 49 020200 | 10 020200 |     |
| 8            | 0 | 0 | 0 | 0 | 0 | 0 | 0 | 29 020200           | 50 020200 | 11 020200 |     |
| 9            | 0 | 0 | 0 | 0 | 0 | 0 | 0 | 30 020200           | 51 020200 | 12 020200 |     |
| 10           | 0 | 0 | 0 | 0 | 0 | 0 | 0 | 31 020200           | 52 020200 | 13 020200 |     |
| 11           | 0 | 0 | 0 | 0 | 0 | 0 | 0 | 32 020200           | 53 020200 | 14 020200 |     |
| 12           | 0 | 0 | 0 | 0 | 0 | 0 | 0 | 33 020200           | 54 020200 | 15 020200 |     |
| 13           | 0 | 0 | 0 | 0 | 0 | 0 | 0 | 34 020200           | 55 020200 | 16 020200 |     |
| 14           | 0 | 0 | 0 | 0 | 0 | 0 | 0 | 35 020200           | 56 020200 | 17 020200 |     |
| 15           | 0 | 0 | 0 | 0 | 0 | 0 | 0 | 36 020200           | 57 020200 | 18 020200 |     |
| 16           | 0 | 0 | 0 | 0 | 0 | 0 | 0 | 37 020200           | 58 020200 | 19 020200 |     |
| 17           | 0 | 0 | 0 | 0 | 0 | 0 | 0 | 38 020200           | 59 020200 | 00 020200 |     |

NCB Trans-Optic OB-17887-321-182

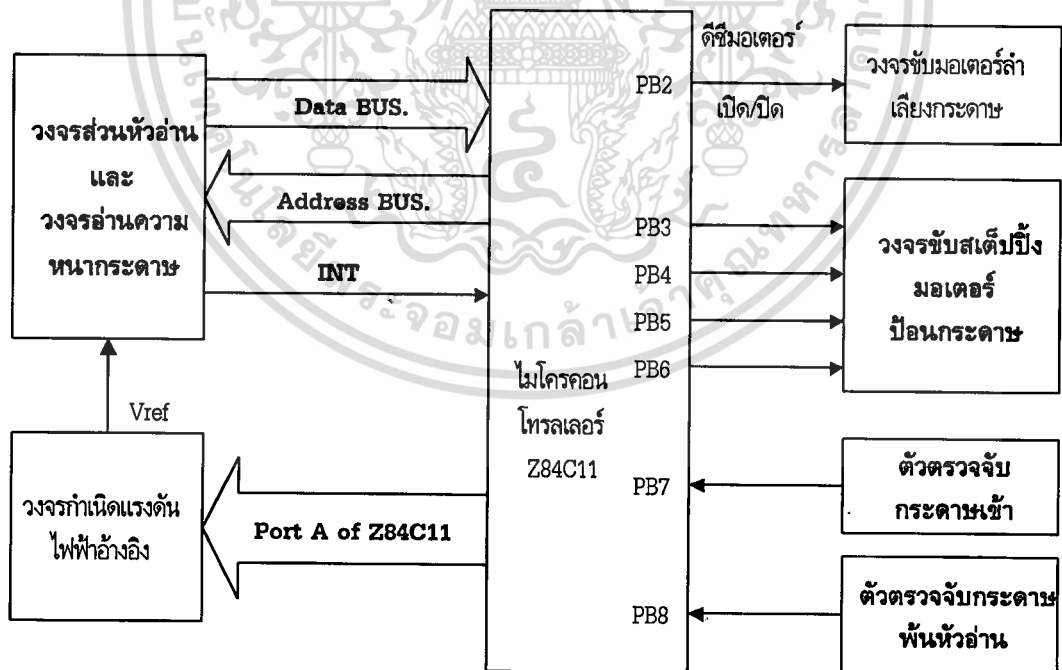
รูปที่ 4.1 กระดาษคำตอบที่ใช้กับเครื่องตรวจข้อสอบ

ส่วนประกอบของกระดาษคำตอบมีดังนี้

เอกสารนี้เป็นเอกสารที่สงวนไว้สำหรับการใช้งานเพื่อการศึกษาเท่านั้น ไม่อนุญาตให้นำไปใช้ประโยชน์ด้านการค้า ไม่ว่ากรณีใดๆทั้งสิ้น อีกทั้งห้ามมิให้ตัดแปลงเนื้อหา และต้องอ้างอิงถึงเจ้าของเอกสารทุกครั้งที่มีการนำไปใช้

1. แถบคำสั่งสำหรับใช้อ้างอิง (Timing Mark) จะอยู่ที่ขอบของกระดาษด้านใดด้านหนึ่งจากรูปที่ 4.1 จะอยู่ด้านซ้ายมือจะใช้สำหรับเป็นตำแหน่งอ้างอิงให้กับหัวอ่านของเครื่องตรวจข้อสอบในการอ่านคำตอบ
2. แถบบอกแบบของกระดาษคำตอบ มักจะอยู่ในตำแหน่งของแถบคำสั่งอ้างอิงแรกเสมอจากรูปที่ 4.1 จะอยู่ที่ตำแหน่งมุมล่างด้านซ้ายมีถัดจากแถบคำสั่งอ้างอิงจะใช้สำหรับให้เครื่องตรวจข้อสอบเลือกแบบกระดาษคำตอบที่เหมาะสมในกรณีที่มีฐานข้อมูลของแบบกระดาษคำตอบในเครื่องตรวจข้อสอบมีมากกว่าหนึ่งแบบ
3. ตำแหน่งสำหรับเลือกคำตอบ จะเป็นรูปวงกลมว่างให้ผู้ใช้งานดินสอภายในวงกลมนี้ระยะระหว่างวงกลมดังกล่าวจะมีระยะห่างเท่ากับ 166 mils. (1/1000 นิ้ว)

จากแบบของกระดาษคำตอบดังกล่าวจะเห็นว่าหน้าที่จะออกแบบหัวอ่านของเครื่องตรวจข้อสอบจะต้องมีแนวของหัวอ่านตามแถบคำสั่งอ้างอิงซึ่งจะอยู่ในแนวด้านกว้างของกระดาษคำตอบจำนวนของตัวรับแสงอินฟราเรดจะเท่ากับจำนวนวงกลมตามแนวของแถบคำสั่งอ้างอิงซึ่งหัวอ่านที่จะออกแบบในวิทยานิพนธ์นี้จะใช้จำนวนของตัวรับแสงอินฟราเรดทั้งหมด 29 ตัว ซึ่งจะทำให้เครื่องตรวจข้อสอบตรวจแบบของกระดาษคำตอบที่นิยมใช้กันอยู่ได้ สำหรับวงจรควบคุมการทำงานของเครื่องตรวจข้อสอบที่จะออกแบบนั้นสามารถแสดงเป็นบล็อกไดอะแกรมดังแสดงในรูปที่ 4.2



รูปที่ 4.2 ผังของวงจรควบคุมการทำงานของเครื่องตรวจข้อสอบ

เอกสารนี้เป็นเอกสารที่สงวนไว้สำหรับการใช้งานเพื่อการศึกษาเท่านั้น ไม่อนุญาตให้นำไปใช้ประโยชน์ด้านการค้า ไม่ว่ากรณีใดๆทั้งสิ้น อีกทั้งห้ามมิให้ตัดแปลงเนื้อหา และต้องอ้างอิงถึงเจ้าของเอกสารทุกครั้งที่มีการนำไปใช้

## วงจรถ่ายงานหลักมีดังนี้

1. ไมโครคอนโทรลเลอร์ (Z84C11)
2. วงจรของตัวตรวจจับตำแหน่งของกระดาษคำตอบและตรวจจับตำแหน่งแถบดำอ้างอิง
3. วงจรของหัวอ่านและวงจรตรวจวัดความหนาของกระดาษคำตอบ
4. วงจรขั้วตีซีมอเตอร์ สำหรับขับเคลื่อนกระดาษคำตอบให้เคลื่อนที่ผ่านหัวอ่าน
5. วงจรขั้วสแตมป์มอเตอร์ เพื่อดึงกระดาษคำตอบให้ผ่านหัวผ่านครึ่งละ 1 แผ่น

### 4.1.1 ไมโครคอนโทรลเลอร์ (Z84C11)

ในการสร้างเครื่องต้นแบบเครื่องตรวจข้อสอบด้วยแสงอินฟราเรดแบบทะลุผ่านจะใช้ไมโครคอนโทรลเลอร์เบอร์ Z84C11 เนื่องจากมีส่วนสำหรับการใช้งานภายในของ Z84C11 เหมาะสมประกอบด้วย

1. Z84C00 เป็นไมโครโพรเซสเซอร์เบอร์ Z80 ที่มีโครงสร้างภายในแบบ CMOS ทำงานที่ความถี่ 10 MHz.
2. Z84C30 เป็น Timer Counter ของ Z80 ที่มีโครงสร้างภายในแบบ CMOS ทำงานที่ความถี่ 10 MHz.
3. มี CGC (Clock Generator Control Circuit) เป็นตัวกำเนิดฐานเวลาให้กับ Z84C11
4. มีวงจร Watch Dog Timer
5. มี Power On Reset ซึ่งทำการรีเซ็ตไมโครโพรเซสเซอร์เมื่อแหล่งจ่ายไฟฟ้าต่ำกว่า 2.2 โวลต์
6. มีพอร์ตขนานขนาด 8 บิตจำนวน 5 พอร์ต

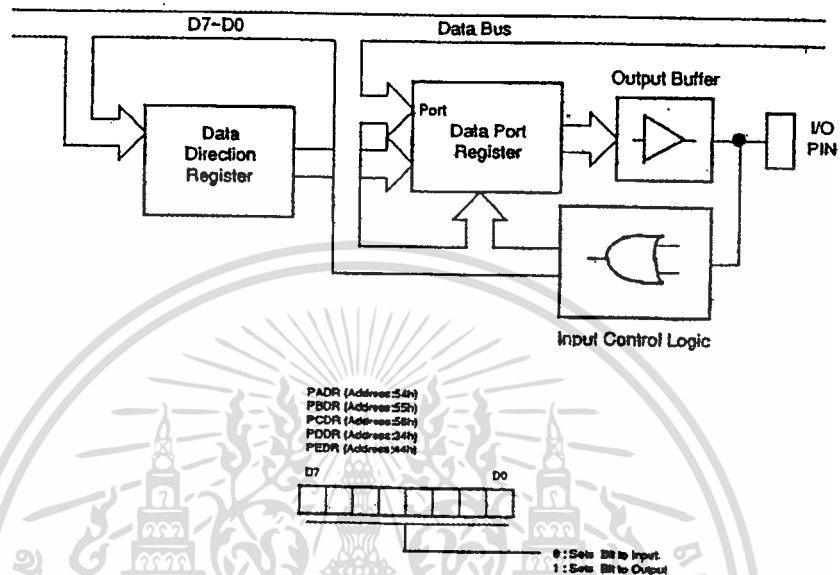
จากความสามารถของไมโครคอนโทรลเลอร์ Z84C11 ทำให้นำมาใช้ควบคุมการทำงานของเครื่องตรวจข้อสอบได้โดยที่จะใช้อุปกรณ์ต่อรวมน้อยทำให้วงจรมีเสถียรภาพมาก โดยจะใช้ไมโครคอนโทรลเลอร์ที่เป็นแผ่นวงจรพิมพ์สำเร็จรูปที่มีจำหน่ายรุ่น CP-Z84C11 PLUS มีส่วนประกอบของแผ่นวงจรพิมพ์ดังนี้

1. หน่วยความจำที่สามารถใช้ได้ถึง 64 กิโลไบต์โดยแบ่งเป็นหน่วยความจำของ EPROM ขนาด 32 กิโลไบต์และหน่วยความจำชนิด RAM จำนวน 32 กิโลไบต์และมีแบตเตอรี่สำหรับสำรองข้อมูลของ RAM ขนาด 3.6 โวลต์
2. มีคอนเน็คเตอร์สำหรับต่อออกของพอร์ตขนานทั้ง 5 ของ Z84C11 โดยมีตำแหน่งของพอร์ตดังนี้ พอร์ต A ข้อมูลอยู่ที่ตำแหน่ง 50H และ พอร์ต A ควบคุมอยู่ที่ตำแหน่ง 54H พอร์ต B ข้อมูลอยู่ที่ตำแหน่ง 51H และ พอร์ต B ควบคุมอยู่ที่ตำแหน่ง 55H พอร์ต C ข้อมูลอยู่ที่ตำแหน่ง 52H และ พอร์ต C ควบคุมอยู่ที่ตำแหน่ง 56H พอร์ต D ข้อมูลอยู่ที่ตำแหน่ง 30H และ พอร์ต D ควบคุมอยู่ที่ตำแหน่ง 34H พอร์ต E ข้อมูลอยู่ที่ตำแหน่ง 40H และ พอร์ต E ควบคุมอยู่ที่ตำแหน่ง 44H ซึ่งพอร์ตของ Z84C11 สามารถโปรแกรมให้เป็นพอร์ตอินพุทหรือพอร์ตเอาท์พุทได้อย่างอิสระบิตต่อบิตโดยกำหนดได้ที่ตำแหน่งควบคุมของแต่ละพอร์ต ถ้าบิตใดในตำแหน่ง

เอกสารนี้เป็นเอกสารที่สงวนไว้สำหรับการใช้งานเพื่อการศึกษาเท่านั้น ไม่นอนุญาตให้นำไปใช้ประโยชน์ด้านการค้า

ไม่ว่ากรณีใดๆทั้งสิ้น อีกทั้งห้ามมิให้ตัดแปลงเนื้อหา และต้องอ้างอิงถึงเจ้าของเอกสารทุกครั้งที่มีการนำไปใช้

พอร์ตควบคุมมีค่าลอจิกเป็น “1” พอร์ตข้อมูลในบิตนั้นจะทำหน้าที่เป็นบิตเอาต์พุตซึ่งมีค่าเริ่มต้นของพอร์ตข้อมูลเป็นลอจิก “0” และกำหนดให้พอร์ตควบคุมแต่ละบิตมีค่าลอจิกเป็น “0” จะทำให้พอร์ตข้อมูลในบิตตำแหน่งนั้นจะทำหน้าที่เป็นพอร์ตอินพุตในรูปที่ 4.3 แสดงโครงสร้างของพอร์ตดังกล่าว

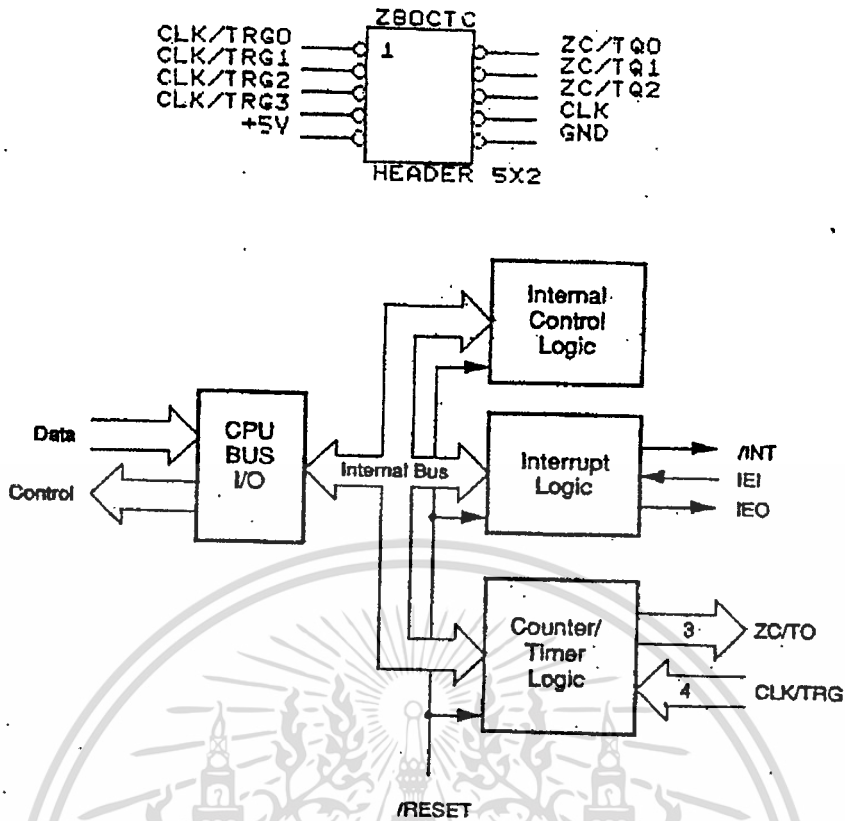


รูปที่ 4.3 โครงสร้างของพอร์ตภายใน Z84C11

- มีคอนเนตเตอร์สำหรับต่อขยายสัญญาณบัสของ Z80 โดยมีตำแหน่งเช่นเดียวกับขาของ Z80
- มีคอนเนตเตอร์สำหรับต่อสัญญาณออกของ CTC ของ Z84C11 ที่มีจำนวนสี่ช่องสัญญาณ มีตำแหน่งดังนี้
  - ช่องสัญญาณ 0 อยู่ที่ตำแหน่ง 10H
  - ช่องสัญญาณ 1 อยู่ที่ตำแหน่ง 11H
  - ช่องสัญญาณ 2 อยู่ที่ตำแหน่ง 12H
  - ช่องสัญญาณ 3 อยู่ที่ตำแหน่ง 13H

ในรูปที่ 4.4 แสดงโครงสร้างภายในของ CTC

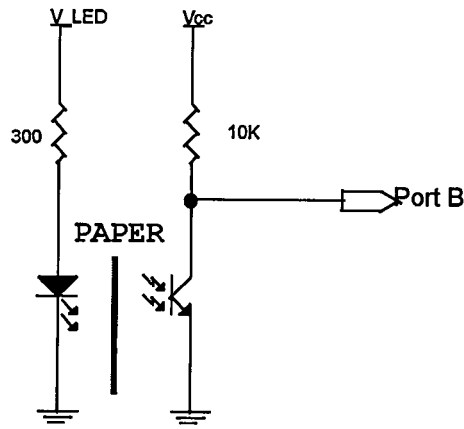
- มีคอนเนตเตอร์สำหรับต่อสัญญาณการส่งข้อมูลแบบ RS-232 โดยจะต่อเข้ากับบิต 6 และบิต 5 ของพอร์ต E สำหรับเชื่อมต่อกับคอมพิวเตอร์ในระบบ RS-232
- มีคอนเนตเตอร์สำหรับต่อกับอุปกรณ์แสดงผลแบบ LCD ทั้งแบบชนิดตัวอักษรและแบบ Graphic โดยมีตำแหน่งการใช้งานดังนี้ การสร้างสัญญาณ WR ให้กับ LCD อยู่ที่ตำแหน่ง 80H, การเขียนข้อมูลให้กับ LCD อยู่ที่ตำแหน่ง 82H, การอ่านสถานะของ LCD อยู่ที่ตำแหน่ง 84H



รูปที่ 4.4 โครงสร้างภายในของ CTC ใน Z84C11

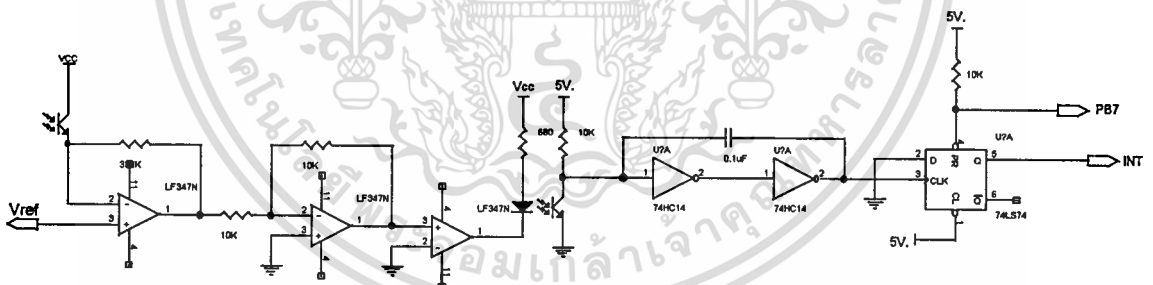
#### 4.1.2 วงจรตัวตรวจจับตำแหน่งของกระดาษคำตอบและตรวจจับตำแหน่งแถบอ้างอิง

สำหรับการตรวจจับตำแหน่งของกระดาษเป็นจุดแรกเพื่อทำการวัดความหนาของกระดาษใช้สำหรับสร้างสัญญาณอ้างอิงให้กับหัวอ่าน เมื่อได้ค่าความหนาของกระดาษ สเตปมอเตอร์จะดึงกระดาษให้เคลื่อนที่ผ่านหัวอ่านเพื่อเก็บข้อมูล หลังจากนั้นกระดาษจะเคลื่อนที่ผ่านจุดตรวจจับแถบอ้างอิงเพื่อป้องกันการผิดพลาดของข้อมูลที่หัวอ่านวัดได้ ถ้าหากเกิดการผิดพลาด ณ ตำแหน่งนี้เครื่องตรวจสอบจะฟ้องถึงข้อมูลของกระดาษคำตอบแผ่นนี้ผิดพลาดและหยุดการตรวจชั่วคราวพร้อมกับแสดงหน้าจอให้ผู้ใช้อุปกรณ์ตรวจสอบนำกระดาษคำตอบแผ่นนี้ออกจากเครื่อง และทำการตรวจกระดาษแผ่นต่อไปสามารถอธิบายได้ดังนี้ การวางตำแหน่งที่เหมาะสมในการติดตั้งตัวตรวจจับตำแหน่งได้แก่ตำแหน่งที่กระดาษคำตอบเริ่มผ่านเข้าลูกยางดึงกระดาษชุดแรกเพื่อที่จะอ่านความหนาของกระดาษคำตอบก่อนที่จะผ่านเข้าสู่หัวอ่านของเครื่องตรวจสอบและอีกตำแหน่งได้แก่ตำแหน่งหลังจากผ่านหัวอ่านแล้วใช้สำหรับตรวจสอบความผิดพลาดของหัวอ่านโดยถ้ากระดาษได้ผ่านหัวอ่านแล้วแต่ลำดับการอ่านของหัวอ่านยังไม่สิ้นสุดแสดงว่าได้เกิดความผิดพลาดของหัวอ่านแล้วซึ่งวงจรที่ใช้ตรวจสอบเป็นวงจรตรวจสอบด้วยการตัดผ่านแสงดังแสดงไว้ในรูปที่ 4.5



รูปที่ 4.5 วงจรตรวจจับตำแหน่งของกระดาษคำตอบ

จากรูปที่ 4.5 การทำงานของวงจรเป็นดังนี้เมื่อมีกระดาษคำตอบอยู่ระหว่างตัวตรวจจับจะให้สถานะลอจิกเป็น "1" และขณะที่ไม่มีกระดาษคำตอบอยู่จะให้สถานะลอจิกเป็น "0" ทำให้โปรแกรมควบคุมของเครื่องตรวจข้อสอบสามารถทราบสถานะของกระดาษคำตอบได้ สำหรับการตรวจจับแถบดำอ้างอิงของกระดาษคำตอบนั้น ตัวตรวจจับจะเป็นส่วนหนึ่งของหัวอ่านของเครื่องตรวจข้อสอบโดยสัญญาณที่ได้จากวงจรตรวจจับตำแหน่งแถบดำอ้างอิงจะทำให้เกิดสัญญาณอินเทอร์รัพท์ให้แก่ไมโครคอนโทรลเลอร์ Z84C11 เพื่อเข้าสู่ขั้นตอนของการอ่านข้อมูลจากตำแหน่งที่มีการฝนดินสอ ในรูปที่ 4.6 แสดง วงจรตรวจจับแถบดำอ้างอิงของกระดาษคำตอบ



รูปที่ 4.6 วงจรตรวจจับแถบอ้างอิงของกระดาษคำตอบ

จากวงจรในรูปที่ 4.6 กระแสไฟฟ้าที่ได้จากตัวรับแสงอินฟราเรดจะถูกแปลงเป็นสัญญาณแรงดันไฟฟ้าด้วย ออปแอมป์ตัวแรกโดยจะใช้แรงดันไฟฟ้าอ้างอิงที่ได้จากความหนาของกระดาษและแรงดันไฟฟ้าที่ได้เป็นแรงดันไฟฟ้าลบจากนั้นจะผ่านวงจรอินเวอร์ตติ้งแอมป์ที่มีกำลังขยายเท่ากับหนึ่งเพื่อกลับแรงดัน สัญญาณที่ได้จะเข้าสู่วงจรเปรียบเทียบเพื่อที่จะได้เป็นสัญญาณที่ได้จากแถบดำอ้างอิงที่ถูกต้องโดยจะแยกระบบกราวด์ของวงจรแอนาลอกกับวงจรดิจิตอลออกจากกันด้วยอุปกรณ์เชื่อมต่อทางแสงเข้าวงจรลดเพื่อลดสัญญาณกระเพื่อมที่อาจเกิดขึ้นได้เข้าสู่วงจร D ฟลิปฟลอปเพื่อกำเนิดสัญญาณอินเทอร์รัพท์ให้แก่ไมโครคอนโทรลเลอร์ Z84C11 จากนั้นไมโครคอนโทรลเลอร์จะหน่วงเวลาด้วยโปรแกรมเพื่อที่จะอ่านข้อมูลของหัวอ่านได้ที่ตำแหน่งเอกสารนี้เป็นเอกสารที่สงวนไว้สำหรับการใช้งานเพื่อการศึกษาเท่านั้น ไม่อนุญาตให้นำไปใช้ประโยชน์ด้านการค้า ไม่ว่าจะกรณีใดๆทั้งสิ้น อีกทั้งห้ามมิให้ตัดแปลงเนื้อหา และต้องอ้างอิงถึงเจ้าของเอกสารทุกครั้งที่มีการนำไปใช้

กึ่งกลางของการผันดินสอ โดยสามารถคำนวณได้จากความเร็วของการลำเลียงกระดาษคำตอบของเครื่องตรวจข้อสอบซึ่งความเร็วของเครื่องตรวจข้อสอบที่จะสร้างนี้กำหนดไว้ที่ 1000 แผ่นต่อชั่วโมง ดังนั้นเวลาโดยประมาณที่ใช้ไปสำหรับกระดาษคำตอบหนึ่งแผ่นจะเท่ากับ 3.6 วินาที และจากแบบของกระดาษคำตอบที่ใช้มีความยาวเท่ากับ 216 มิลลิเมตรและความกว้างของแถบดำอ้างอิงมีค่าเท่ากับ 1.5 มิลลิเมตรจะสามารถคำนวณได้ดังนี้

เวลาหน่วยของไมโครคอนโทรลเลอร์ = เวลาของความกว้างของแถบดำอ้างอิงเลื่อนไป / 2

เวลาของความกว้างแถบดำ = (เวลาของกระดาษคำตอบใช้ X ความกว้างของแถบดำอ้างอิง) / ความยาวของกระดาษ

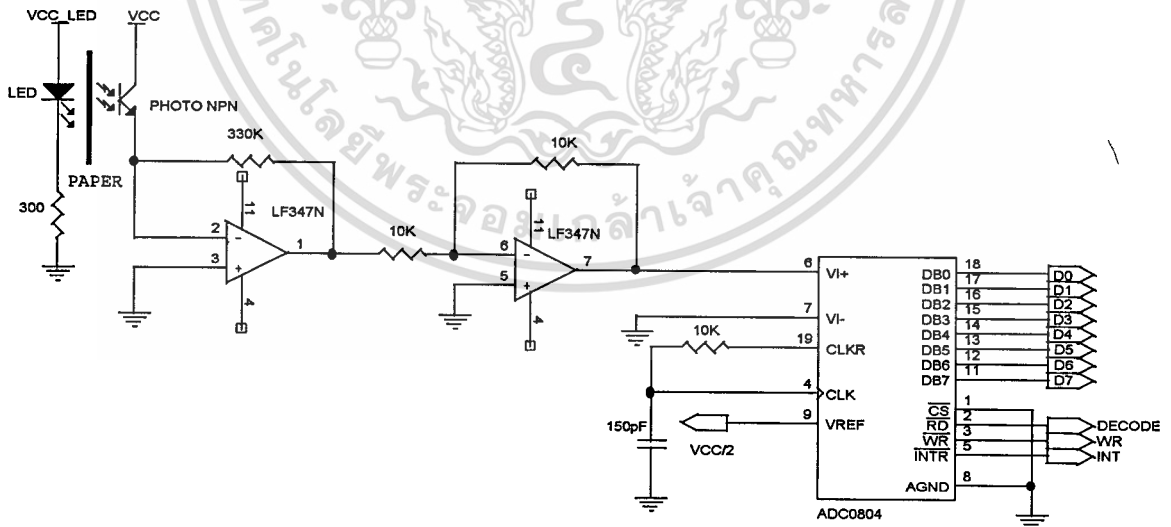
คำตอบ

$$= (3.6 \times 1.5) / 216 = 0.025 \text{ วินาที}$$

$$\text{ดังนั้นเวลาหน่วย} = 0.025 / 2 = 12.5 \text{ มิลลิวินาที}$$

#### 4.1.3 วงจรหัวอ่านและวงจรตรวจวัดความหนาของกระดาษคำตอบ

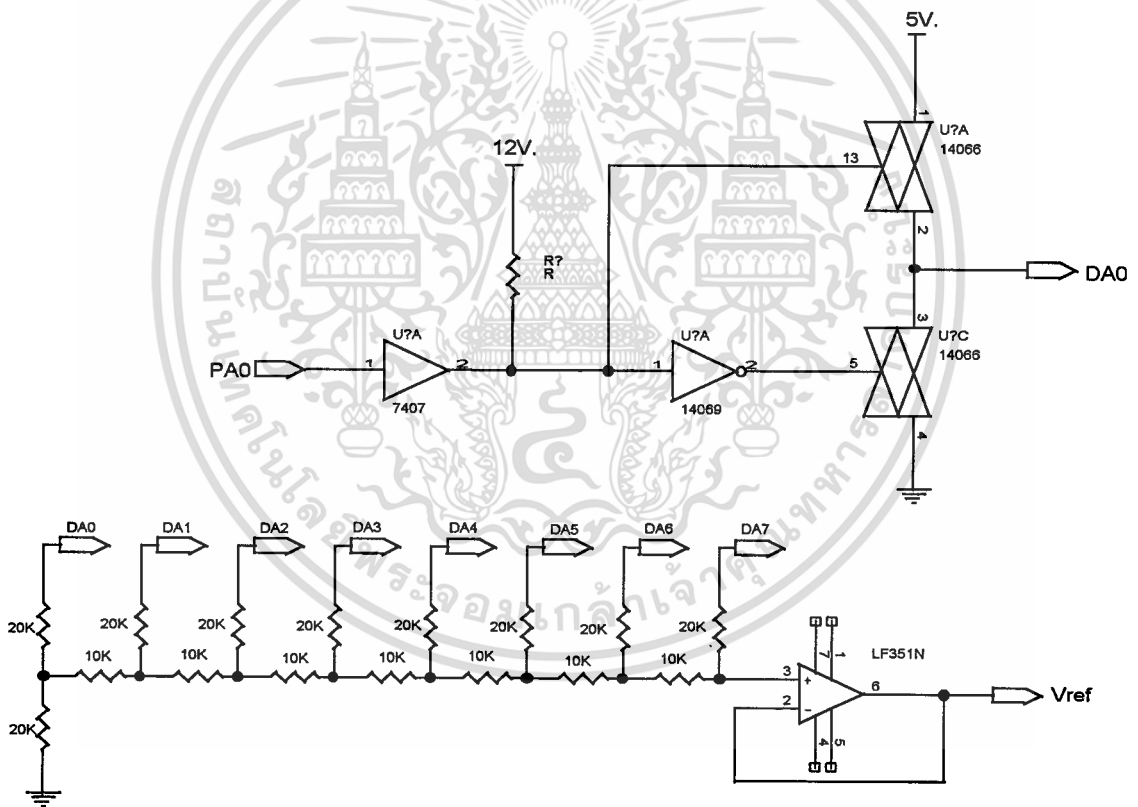
จากหลักการใช้แสงอินฟราเรดส่องทะลุผ่านกระดาษคำตอบจะเห็นว่าความหนาของกระดาษคำตอบจะมีผลต่อค่าที่อ่านได้จากหัวอ่านโดยเฉพาะถ้ากระดาษคำตอบมีความหนามากจะทำให้เกิดความผิดพลาดของหัวอ่านได้ ดังนั้นจึงจำเป็นต้องนำความหนาของกระดาษในรูปของแรงดันไฟฟ้านำมาชดเชยขณะหัวอ่านทำงาน โดยก่อนที่หัวอ่านจะทำงานจึงต้องมีวงจรสำหรับตรวจวัดความหนาของกระดาษในรูปของแรงดันไฟฟ้าดังแสดงในรูปที่ 4.7



รูปที่ 4.7 วงจรตรวจวัดความหนาของกระดาษคำตอบ

จากวงจรในรูปที่ 4.7 มีแหล่งกำเนิดแสงอินฟราเรดโดยใช้ LED ชนิดให้แสงอินฟราเรดทำงานที่กระแสไฟฟ้าคงที่เพื่อที่จะให้ได้ความเข้มของแสงอินฟราเรดคงที่ เมื่อกระดาษคำตอบที่ไม่มีการผันดินสอผ่านเอกสารนี้เป็นเอกสารที่ส่งวนไรสำหรับการใช้งานเพื่อการศึกษาเท่านั้น เมื่ออยู่ใต้เห็นใบเขียวระยั้งชนิดนี้การคำนวณว่ากรณีใดทั้งสิ้น อีกทั้งห้ามมิให้ตัดแปลงเนื้อหา และต้องอ้างอิงถึงเจ้าของเอกสารทุกครั้งที่มีการนำไปใช้

แสงอินฟราเรดจะทำให้ปริมาณแสงที่ตัวรับแสงอินฟราเรดลดลงเนื่องจากความเข้มของแสงอินฟราเรดบางส่วน จะถูกดูดกลืนไปกับกระดาศำตอบเมื่อปรับแรงดันไฟฟ้าให้เหมาะสมกับอุปกรณ์แปลงสัญญาณแอนาลอกเป็น ดิจิตอลเบอร์ ADC0804 ที่ให้ทำงานที่แรงดันไฟฟ้าอ้างอิงที่  $V_{cc}/2$  ซึ่งเป็นการวัดแรงดันไฟฟ้าที่เกิดขึ้นจริงที่ ได้จากตัวรับแสงอินฟราเรดซึ่งหมายความว่าที่กระดาศำตอบเปล่านั้นจะมีแสงอินฟราเรดผ่านมากที่สุดและจะลด ลงตามความเข้มของการฝนดินสอ ดังนั้นจึงสามารถใช้แรงดันไฟฟ้าที่เกิดขึ้นขณะกระดาศำตอบเปล่านั้นสำหรับกำหนด แรงดันไฟฟ้าอ้างอิงให้กับส่วนของวงจรหัวอ่าน จากค่าดิจิตอลที่ได้จึงนำไปผ่านวงจรแปลงสัญญาณดิจิตอล เป็นแอนาลอกดังแสดงในรูปที่ 4.8 เพื่อสร้างแรงดันไฟฟ้าอ้างอิง ซึ่งใช้วงจร R-LADDER ขนาด 8 บิตโดย ควบคุมผ่านทางพอร์ต A ของไมโครคอนโทรลเลอร์ Z84C11 เข้าสู่วงจรแอนาลอกสวิตช์เพื่อกำเนิดแรงดันไฟ ฟ้าอ้างอิงเข้าแต่ละจุดของวงจร R-LADDER ในวงจรรูปที่ 4.8 แสดงวงจรในส่วนของแอนาลอกสวิตช์เพียง หนึ่งบิตเท่านั้น ซึ่งแรงดันไฟฟ้าอ้างอิงที่ให้กับในส่วนของหัวอ่านนี้มีผลต่อความแม่นยำของหัวอ่านอย่างมากจึง ต้องใช้วงจรกำเนิดแรงดันไฟฟ้าอ้างอิงที่กล่าวมา



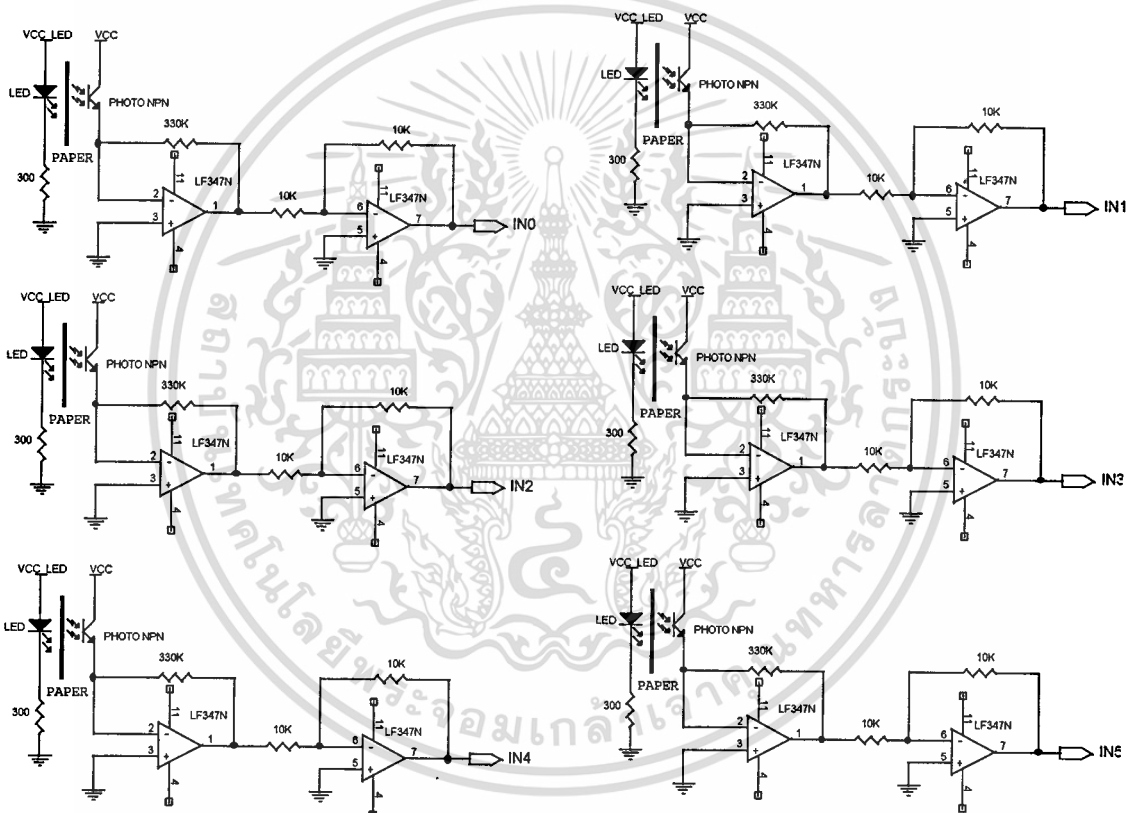
รูปที่ 4.8 วงจรแปลงสัญญาณดิจิตอลเป็นสัญญาณแอนาลอกแบบ R-LADDER

สำหรับวงจรในส่วนของหัวอ่านประกอบวงจรทำงานสามส่วนได้แก่ ส่วนแปลงกระแสไฟฟ้าจากตัวรับ แสงอินฟราเรดให้เป็นแรงดันไฟฟ้า, ส่วนวงจรเลือกอ่านของอุปกรณ์แปลงสัญญาณแอนาลอกเป็นดิจิตอลและ ส่วนแปลงสัญญาณแอนาลอกเป็นดิจิตอลดังแสดงในรูปที่ 4.9, รูปที่ 4.10, รูปที่ 4.11 ตามลำดับ วงจรแปลง กระแสไฟฟ้าที่ได้จากตัวรับแสงอินฟราเรดเป็นแรงดันไฟฟ้าจะใช้อุปกรณ์ออปแอมป์เบอร์ LF347N ซึ่งเป็น

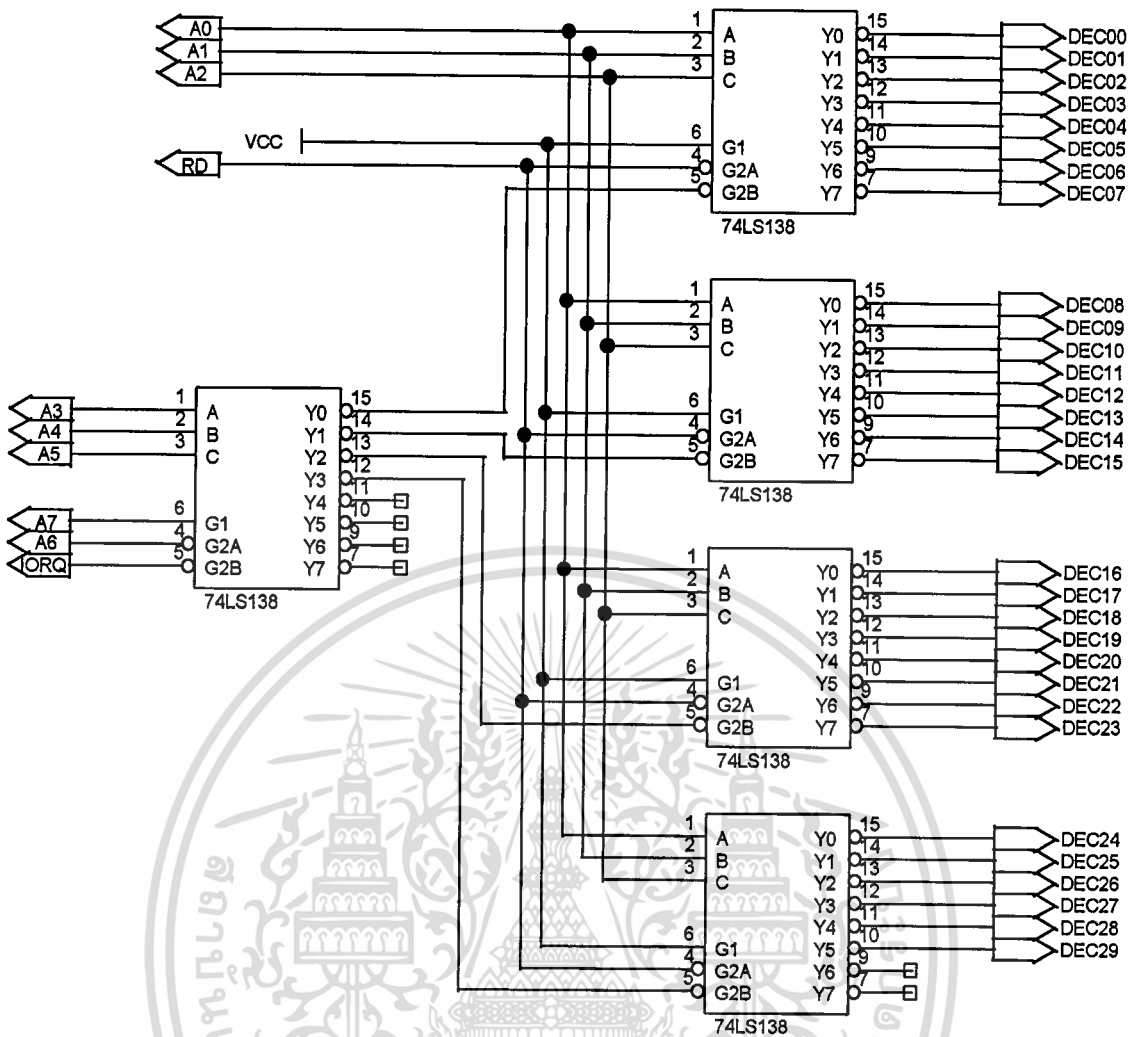
เอกสารนี้เป็นเอกสารที่สงวนไว้สำหรับการใช้งานเพื่อการศึกษาเท่านั้น เมื่อผู้ใดเห็นไปใช้ประโยชน์ในการค้า ไม่ว่ากรณีใดๆทั้งสิ้น อีกทั้งห้ามมิให้ดัดแปลงเนื้อหา และต้องอ้างอิงถึงเจ้าของเอกสารทุกครั้งที่มีการนำไปใช้

ออปแอมป์ที่มีสัญญาณรบกวนต่ำและเป็น ออปแอมป์ที่มีส่วนอินพุทเป็น FET ทำให้มีค่าความต้านทานขาเข้าสูงซึ่งสามารถทำงานกับสัญญาณขนาดเล็กที่มาจากตัวรับแสงอินฟราเรดได้อีกทั้งในหนึ่งตัวมีออปแอมป์สี่ตัวในรูปที่ 4.9 แสดงวงจรเพียง 6 ชุดเท่านั้นขณะที่วงจรทั้งหมดของหัวอ่านมีทั้งหมด 30 ชุด สำหรับวงจรในรูปที่ 4.10 เป็นวงจรเลือกอ่านอุปกรณ์แปลงสัญญาณแอนาลอกเป็นดิจิตอลโดยใช้ไอซีเบอร์ 74LS138 จำนวน 5 ตัวสำหรับสร้างสัญญาณเลือกอ่านอุปกรณ์แปลงสัญญาณแอนาลอกเป็นดิจิตอล

สำหรับวงจรในรูปที่ 4.11 จะเป็นวงจรแปลงสัญญาณแอนาลอกเป็นดิจิตอลทั่วไปจะต่างกันเพียงในส่วนของแรงดันไฟฟ้าอ้างอิงที่ให้กับอุปกรณ์แปลงสัญญาณแอนาลอกเป็นดิจิตอลสามารถเปลี่ยนแปลงได้ตามวงจรสร้างแรงดันไฟฟ้าอ้างอิง ซึ่งอุปกรณ์แปลงสัญญาณแอนาลอกเป็นดิจิตอลจะทำงานพร้อมกันโดยการควบคุมจากไมโครคอนโทรลเลอร์ Z84C11 และจะใช้เวลาในการแปลงสัญญาณประมาณ 100 ไมโครวินาที

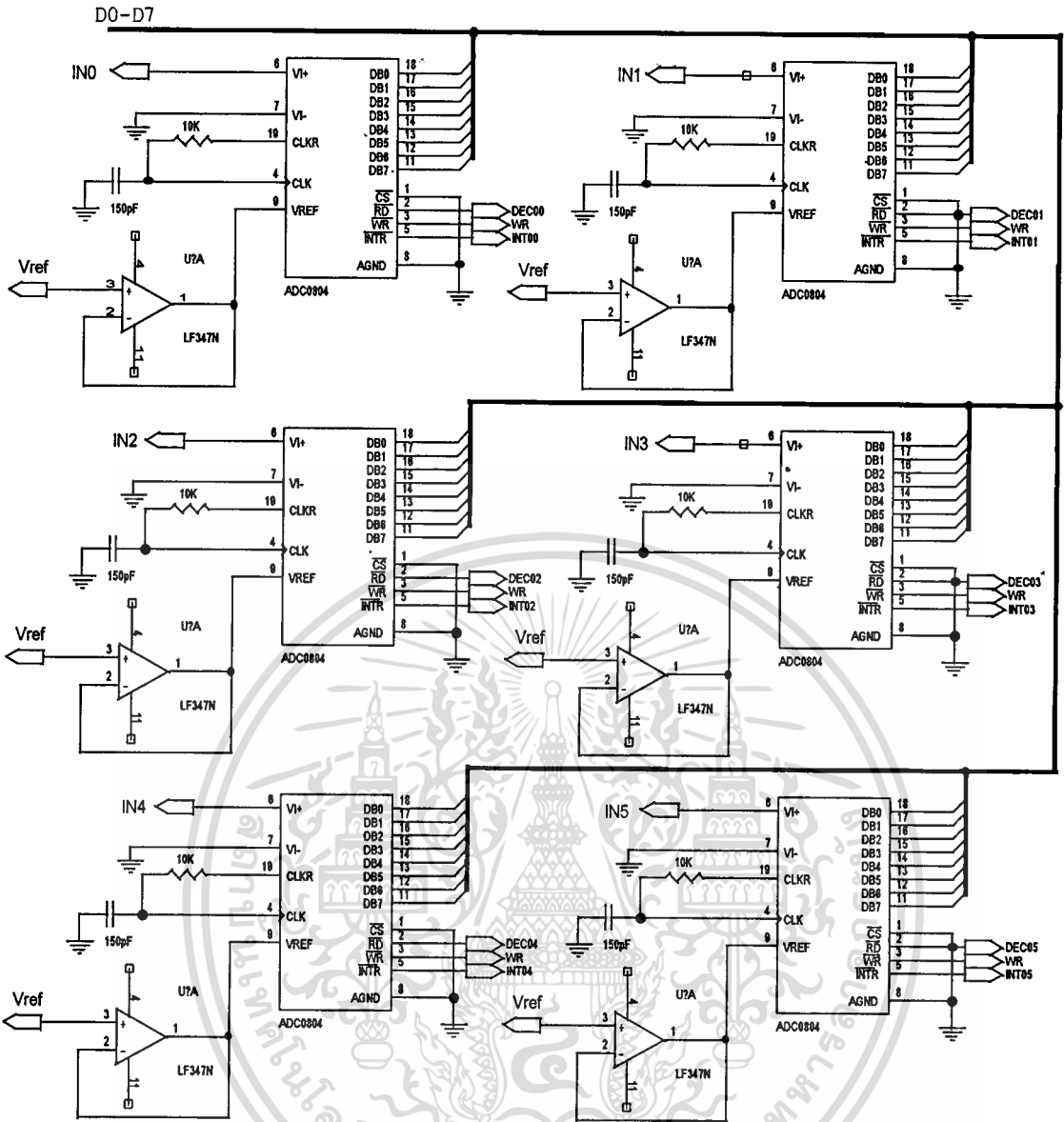


รูปที่ 4.9 วงจรส่วนแปลงกระแสไฟฟ้าที่ได้จากตัวรับแสงอินฟราเรดเป็นแรงดันไฟฟ้า



รูปที่ 4.10 วงจรเลือกอ่านอุปกรณ์แปลงสัญญาณแอนาลอกเป็นดิจิทัล

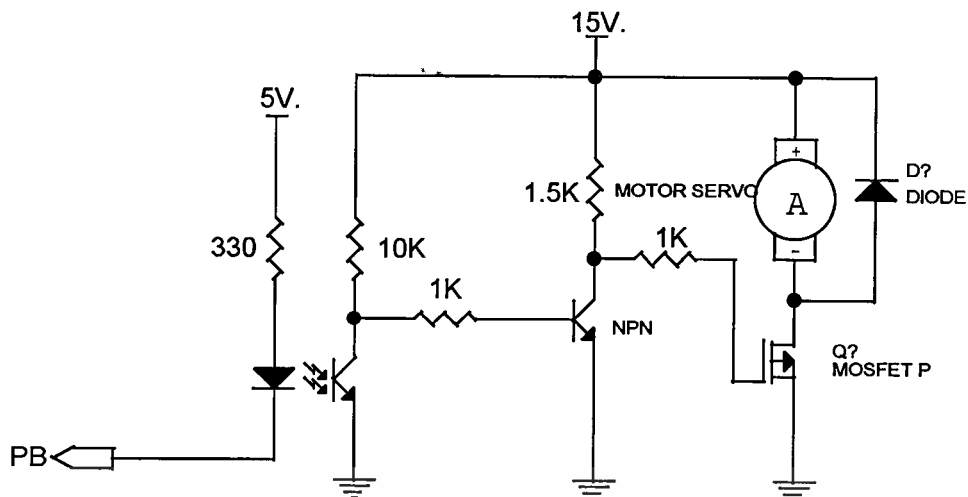
เอกสารนี้เป็นเอกสารที่สงวนไว้สำหรับการใช้งานเพื่อการศึกษาเท่านั้น ไม่อนุญาตให้นำไปใช้ประโยชน์ด้านการค้า  
ไม่ว่ากรณีใดๆทั้งสิ้น อีกทั้งห้ามมีให้ตัดแปลงเนื้อหา และต้องอ้างอิงถึงเจ้าของเอกสารทุกครั้งที่มีการนำไปใช้



รูปที่ 4.11 วงจรแปลงสัญญาณแอนะล็อกเป็นดิจิทัล

#### 4.1.4 วงจรขับมอเตอร์กระแสตรง สำหรับดึงกระดาษผ่านหัวอ่าน

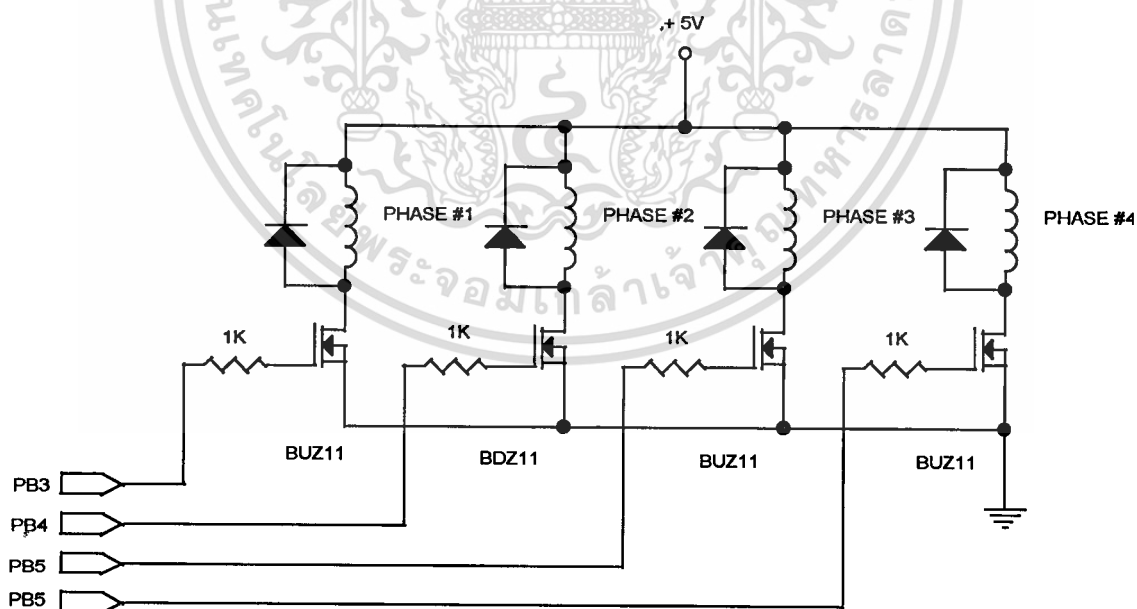
จากรูปที่ 4.12 เป็นวงจรขับดีซีมอเตอร์แบบเปิดปิด (on-off) โดยจะใช้ Opto-Isolator แยก แหล่งจ่ายไฟฟ้าของมอเตอร์ออกจากวงจรควบคุมซึ่งมาจากพอร์ต B ของไมโครคอนโทรลเลอร์โดยเมื่อลอจิกเป็น ศูนย์จะทำให้มอเตอร์หมุนและลอจิกหนึ่งมอเตอร์จะหยุดหมุนสำหรับดีซีมอเตอร์ที่ใช้จะใช้กระแสไฟฟ้าเพียงประมาณ 120 mA. เท่านั้น



รูปที่ 4.12 วงจรขับมอเตอร์กระแสตรงสำหรับขับกระดาษให้เคลื่อนที่ผ่านหัวอ่าน

#### 4.1.5 วงจรขับสเต็ปมอเตอร์สำหรับป้อนกระดาษเข้าครั้งละ 1 แผ่น

สำหรับการป้อนกระดาษเข้าจะใช้สเต็ปมอเตอร์ชนิดไฮบริดจ์ชนิดสี่เฟส เนื่องจากให้แรงบิดสูง และมีขนาดเล็กติดตั้งง่าย มีโครงสร้างการพันขดลวดแบบไบโพลาร์ (Bipolar Wiring) คือมีสายต่อร่วมกันระหว่างเฟสที่ 1 กับเฟสที่ 2 และเฟสที่ 3 กับเฟสที่ 4 ดังนั้นจึงสามารถใช้วงจรขับแบบไบโพลาร์ (Bipolar Drive) ได้ ดังแสดงในรูปที่ 4.13 ซึ่งเป็นวงจรขับทั้ง 4 เฟส การทำงานเป็นการกระตุ้นแบบ 2 เฟส ในโหมด Full-Step หรือการเคลื่อนที่แบบสเต็ปปกติ



รูปที่ 4.13 วงจรขับสเต็ปมอเตอร์สำหรับดึงกระดาษให้ตรวจครั้งละ 1 แผ่น

เอกสารนี้เป็นเอกสารที่สงวนไว้สำหรับการใช้งานเพื่อการศึกษาเท่านั้น ไม่อนุญาตให้นำไปใช้ประโยชน์ด้านการค้า ไม่ว่าจะกรณีใดๆทั้งสิ้น อีกทั้งห้ามมิให้ดัดแปลงเนื้อหา และต้องอ้างอิงถึงเจ้าของเอกสารทุกครั้งที่มีการนำไปใช้

## 4.2 โปรแกรมควบคุมเครื่องตรวจสอบ

ในการออกแบบโปรแกรมสำหรับควบคุมการทำงานของเครื่องตรวจสอบจะมีตัวแปรสำหรับการทำงานหลายตัวเพื่อส่งผ่านการทำงานระหว่างโปรแกรมย่อยต่าง ๆ ซึ่งตัวแปรที่ใช้ในการทำงานมีดังนี้

ตัวแปร STATUS เป็นตัวแปรควบคุมการแสดงผลหลักและเลือกการทำงานโดยมีค่าดังนี้

มีค่าเท่ากับ 00H เป็นการเลือกการทำงานในหน้าที่เลือกแบบกระดาษซึ่งมีสองแบบ

มีค่าเท่ากับ 01H เป็นการเลือกการทำงานในหน้าที่อ่านกระดาษคำตอบเฉลี่ย

มีค่าเท่ากับ 02H เป็นการเลือกการทำงานในหน้าที่ตรวจข้อสอบ

ตัวแปร SUBSTA เป็นตัวแปรควบคุมการแสดงผลรองมีค่าดังนี้

มีค่าเท่ากับ 00H ไม่มีการแสดงผลรอง

มีค่าเท่ากับ 01H มีการแสดงผลรอง

ตัวแปร READY เป็นตัวแปรแสดงการผ่านการอ่านกระดาษคำตอบเฉลี่ยหรือยัง

มีค่าเท่ากับ 00H ยังไม่ผ่านการอ่านกระดาษคำตอบเฉลี่ย

มีค่าเท่ากับ OFFH ผ่านการอ่านกระดาษคำตอบเฉลี่ยแล้ว

ตัวแปร MEMPA1 เป็นตำแหน่งของหน่วยความจำสำหรับเก็บค่าตำแหน่งหน่วยความจำเริ่มต้นที่เก็บค่าของ A to D ที่อ่านได้ของกระดาษคำตอบหน้าแรก

ตัวแปร MEMPA2 เป็นตำแหน่งของหน่วยความจำสำหรับเก็บค่าตำแหน่งหน่วยความจำเริ่มต้นที่เก็บค่าของ A to D ที่อ่านได้ของกระดาษคำตอบหน้าที่สอง

ตัวแปร ANSW เป็นตำแหน่งเริ่มต้นของหน่วยความจำสำหรับเก็บคำตอบเฉลี่ยที่ผ่านการจัดเรียงข้อแล้ว

ตัวแปร QUATI เป็นตำแหน่งเริ่มต้นของหน่วยความจำสำหรับเก็บคำตอบที่ผ่านการจัดเรียงข้อแล้ว

ตัวแปร CODE เป็นตำแหน่งเริ่มต้นของหน่วยความจำสำหรับเก็บรหัสของผู้สอบที่จัดเรียงแล้ว

ตัวแปร ANSW เป็นตำแหน่งเริ่มต้นของหน่วยความจำสำหรับเก็บคำตอบเฉลี่ยที่ผ่านการจัดเรียงข้อแล้ว

ตัวแปร QUATI เป็นตำแหน่งเริ่มต้นของหน่วยความจำสำหรับเก็บคำตอบที่ผ่านการจัดเรียงข้อแล้ว

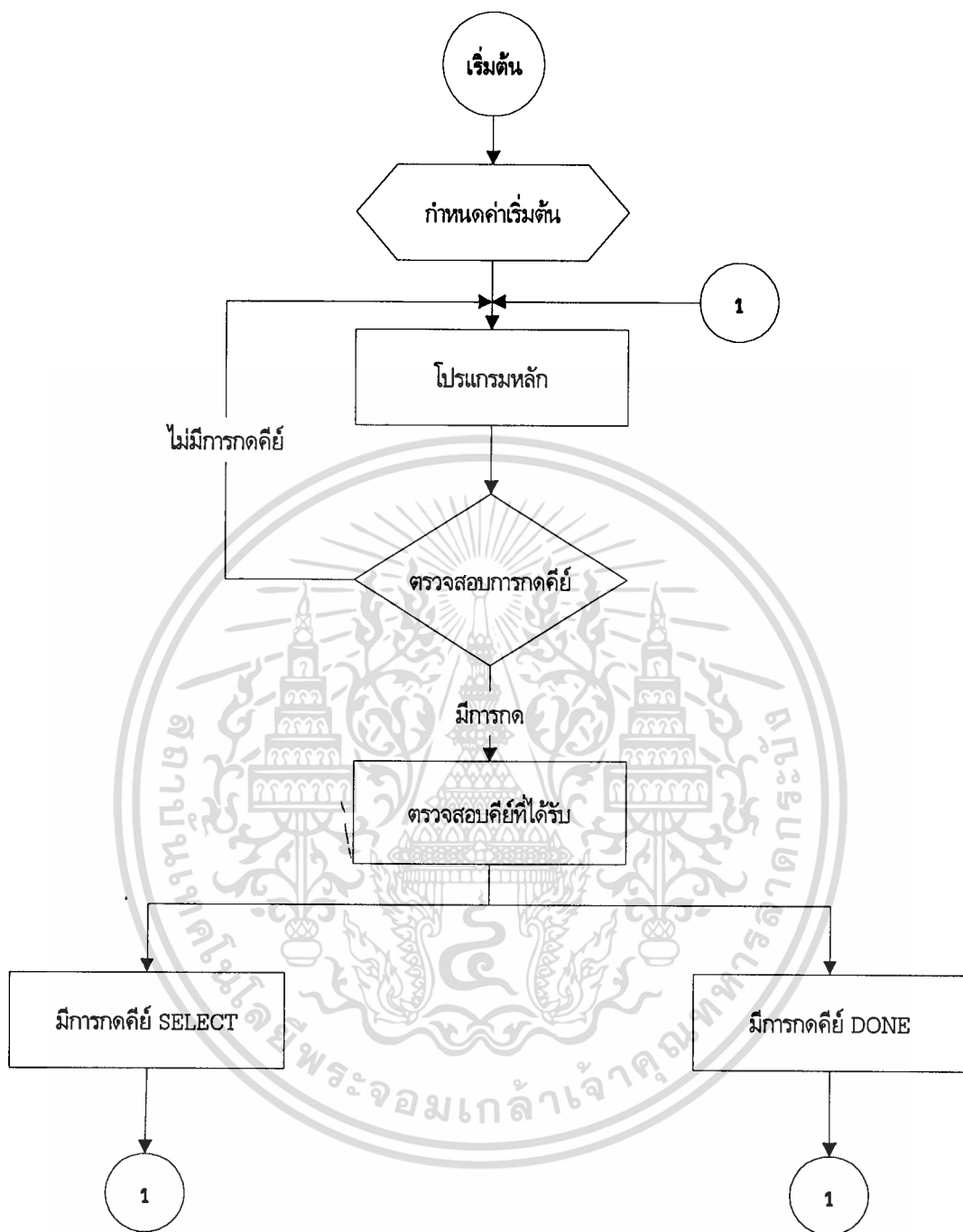
แล้ว

ตัวแปร CODE เป็นตำแหน่งเริ่มต้นของหน่วยความจำสำหรับเก็บรหัสของผู้สอบที่จัดเรียงแล้ว

ตัวแปรแถบอ้างอิงสำหรับเก็บการนับแถบอ้างอิงของกระดาษคำตอบซึ่งแบบกระดาษที่ใช้จะมี

แถบอ้างอิงทั้งหมด 49 แถบ

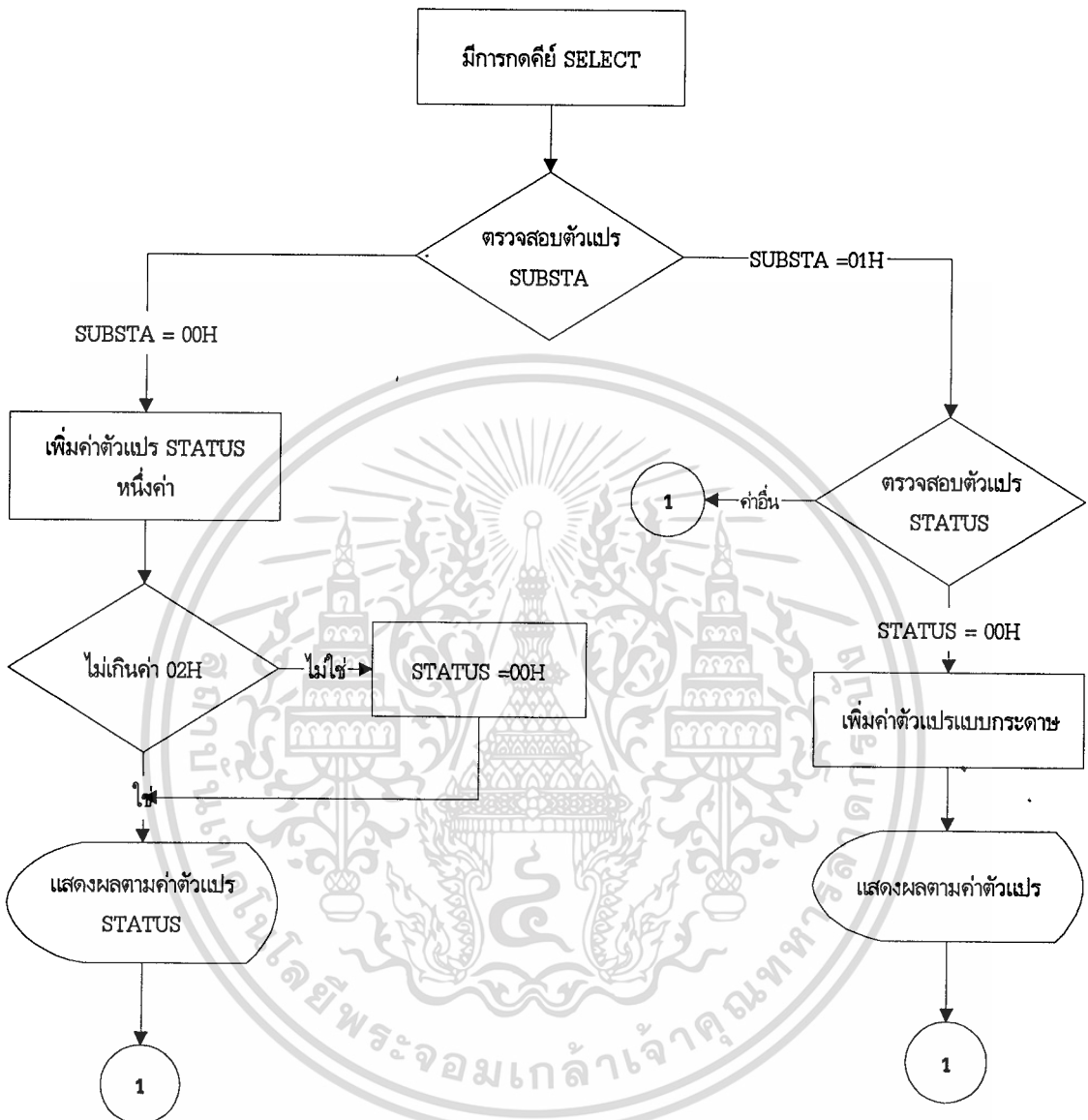
สำหรับการทำงานของโปรแกรมควบคุมสามารถแสดงเป็นโฟลว์ชาร์ทในรูปที่ 4.14 แสดงการทำงานรวมทั้งหมดของโปรแกรมควบคุมโดยเมื่อไมโครคอนโทรลเลอร์เริ่มทำงานจะกำหนดค่าเริ่มต้นของตัวแปรต่าง ๆ จากนั้นโปรแกรมหลักจะทำงานโดยจะตรวจสอบการกดคีย์ที่เข้ามาแล้วทำงานโปรแกรมตามคีย์ที่กดเข้ามาโดยแบ่งเป็นสองคีย์ได้แก่คีย์ SELECT จะทำหน้าที่สำหรับเลือกการทำงานทั้งการทำงานหลักและการทำงานรองสำหรับคีย์ DONE จะใช้สำหรับตอบรับการเลือกที่ได้จากคีย์ SELECT แล้ว ภายหลังทำงานเสร็จสิ้นจะกลับมายังส่วนของโปรแกรมหลัก



**รูปที่ 4.14** การทำงานทั้งหมดของโปรแกรมควบคุม

ในรูปที่ 4.15 แสดงการทำงานของโปรแกรมเมื่อมีการกดคีย์ SELECT ในส่วนนี้จะตรวจสอบตัวแปร SUBSTA เพื่อเลือกการทำงานหลักหรือการทำงานรอง โดยที่ถ้ามีค่าเท่ากับ 00H จะเป็นการทำงานหลักโดยการเพิ่มค่าตัวแปร STATUS ที่ละหนึ่งค่าและไม่เกินค่า 02H จากนั้นจะแสดงผลการเลือกที่ได้ออกที่ตัวแสดงผล LCD ตามค่าตัวแปร STATUS นั้นแล้วกลับสู่โปรแกรมหลัก ถ้ามีค่าเท่ากับ 01H จะเข้าสู่การทำงานรอง

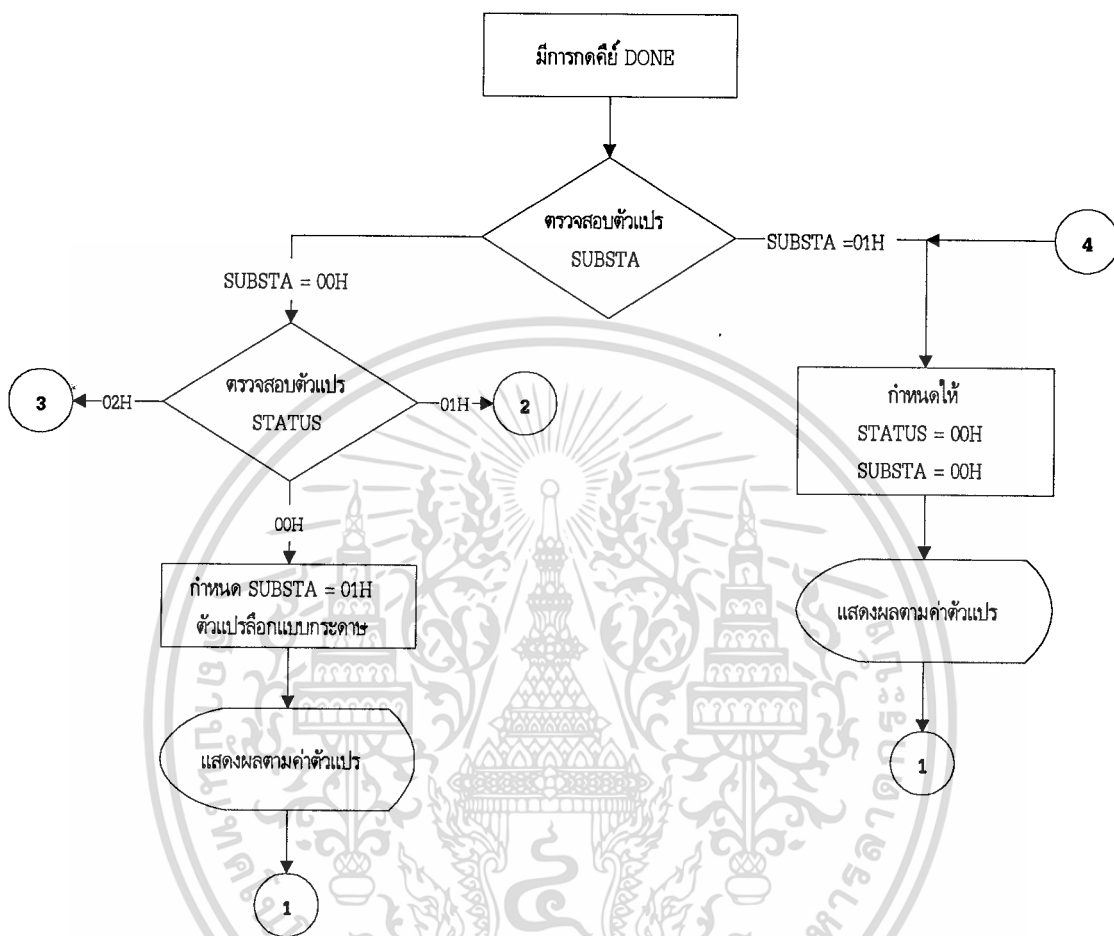
ซึ่งมีเฉพาะการทำงานหลักของการเลือกแบบกระดาษคำตอบเท่านั้นจากนั้นจะแสดงผลแล้วจึงกลับสู่โปรแกรมหลัก



รูปที่ 4.15 การทำงานเมื่อมีการกดคีย์ SELECT

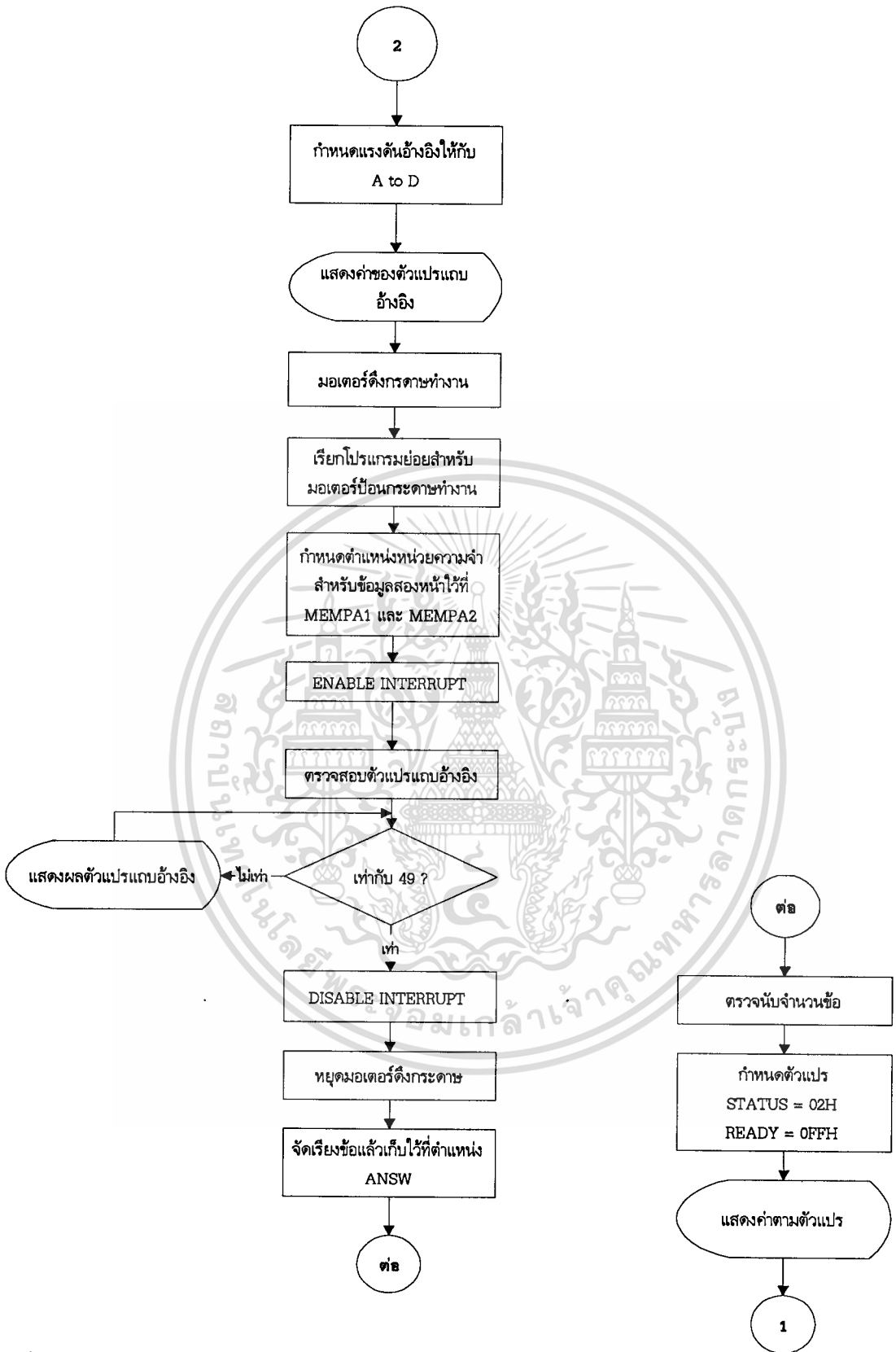
ในรูปที่ 4.16 แสดงการทำงานของโปรแกรมเมื่อมีการกดคีย์ DONE โดยจะทำการตรวจสอบตัวแปร SUBSTA เช่นเดียวกับในกรณีของการกดคีย์ SELECT เมื่อค่าตัวแปร SUBSTA มีค่าเท่ากับ 00H จะเป็นการตอบสนองการทำงานหลักโดยจะตรวจสอบตัวแปร STATUS ซึ่งถ้ามีค่าเท่ากับ 00H จะเข้าสู่การทำงานของโปรแกรมในการเลือกแบบกระดาษและจะกำหนดให้ตัวแปร SUBSTA มีค่าเท่ากับ 01H ถ้าตัวแปร STATUS มีค่าเท่ากับ 01H จะทำงานโปรแกรมในส่วนของการอ่านกระดาษคำตอบเฉยตามหมายเลขโปรแกรม 2 ถ้าตัวแปร STATUS มีค่าเท่ากับ 02H จะทำงานโปรแกรมในส่วนของการตรวจสอบข้อสอบตามหมายเหตุ เอกสารนี้เป็นเอกสารที่สงวนไว้สำหรับการใช้งานเพื่อการศึกษาเท่านั้น ไม่อนุญาตให้นำไปใช้ประโยชน์ด้านการค้า ไม่ว่าจะกรณีใดๆทั้งสิ้น อีกทั้งห้ามมิให้ดัดแปลงเนื้อหา และต้องอ้างอิงถึงเจ้าของเอกสารทุกครั้งที่มีการนำไปใช้

เลขโปรแกรม 3 ถ้าค่าตัวแปร SUBSTA มีค่าเท่ากับ 01H จะเป็นการตอบรับการเลือกแบบการดาษและจะกำหนดให้ตัวแปร STATUS และ SUBSTA มีค่าเท่ากับ 00H แล้วแสดงผลที่ LCD ตามค่าตัวแปรนั้น จากนั้นจะกลับสู่โปรแกรมหลัก



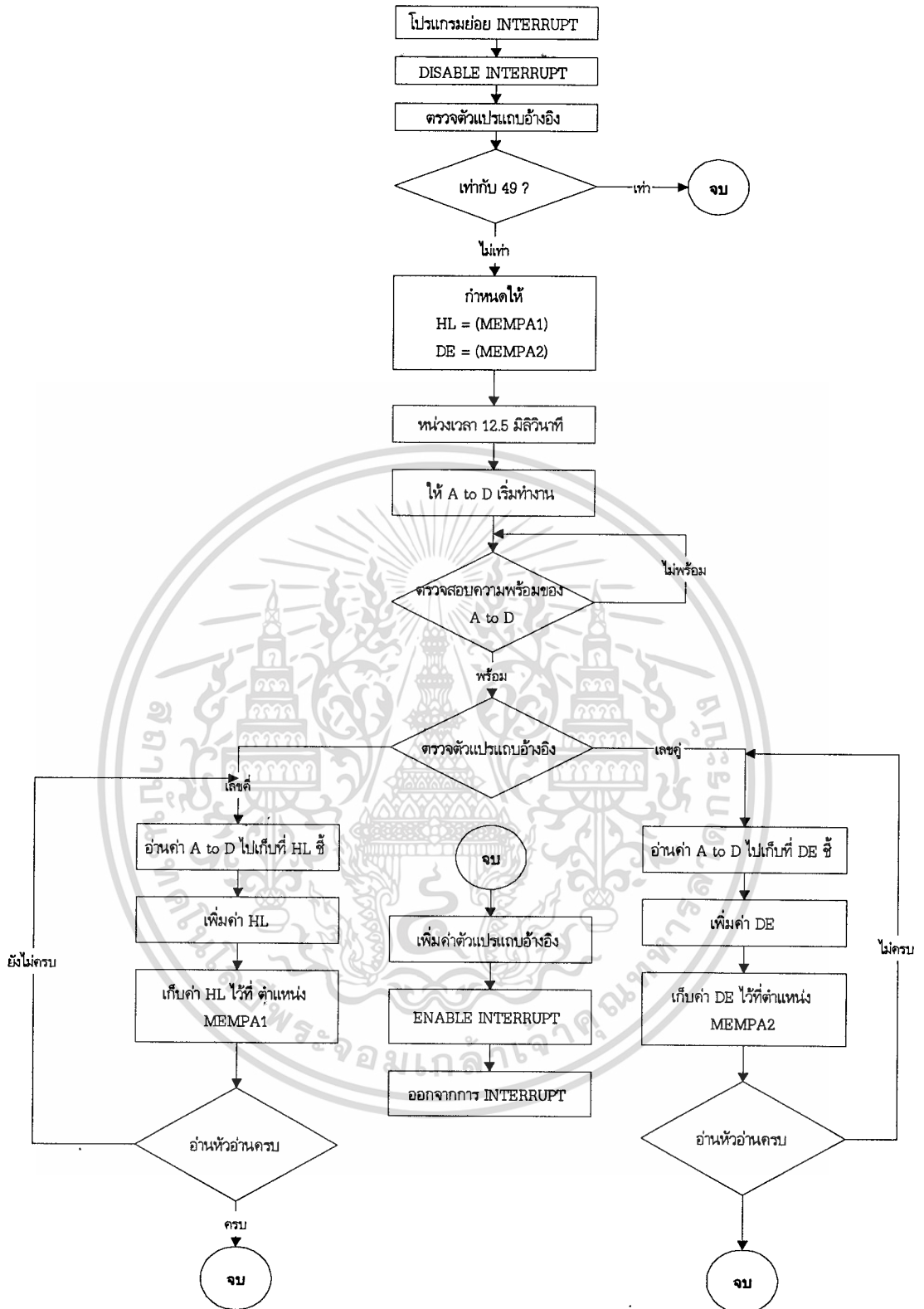
รูปที่ 4.16 การทำงานของโปรแกรมเมื่อมีการกดคีย์ DONE

ในรูปที่ 4.17 แสดงการทำงานของโปรแกรมเมื่อเข้าสู่ในส่วนอ่านกระดาษคำตอบเฉลยจะเริ่มต้นโดยการกำหนดแรงดันอ้างอิงให้กับอุปกรณ์แปลงสัญญาณแอนะล็อกเป็นดิจิตอลในส่วนของวงจรหัวอ่านตามแบบกระดาษที่เลือกไว้แล้วกำหนดให้ตัวแปรแถบอ้างอิงมีค่าเท่ากับศูนย์และแสดงผลออกที่ LCD จากนั้นให้มอเตอร์สำหรับดึงกระดาษผ่านหัวอ่านทำงานแล้วเรียกโปรแกรมที่ใช้สำหรับควบคุมมอเตอร์ป้อนกระดาษเข้าทำงานซึ่งในส่วนโปรแกรมนี้จะตรวจสอบตัวตรวจจับกระดาษเข้าในเวลาเดียวกันเมื่อกระดาษได้เข้าแล้วโปรแกรมสำหรับมอเตอร์ป้อนกระดาษเข้าจะหยุดทำงาน จากนั้น

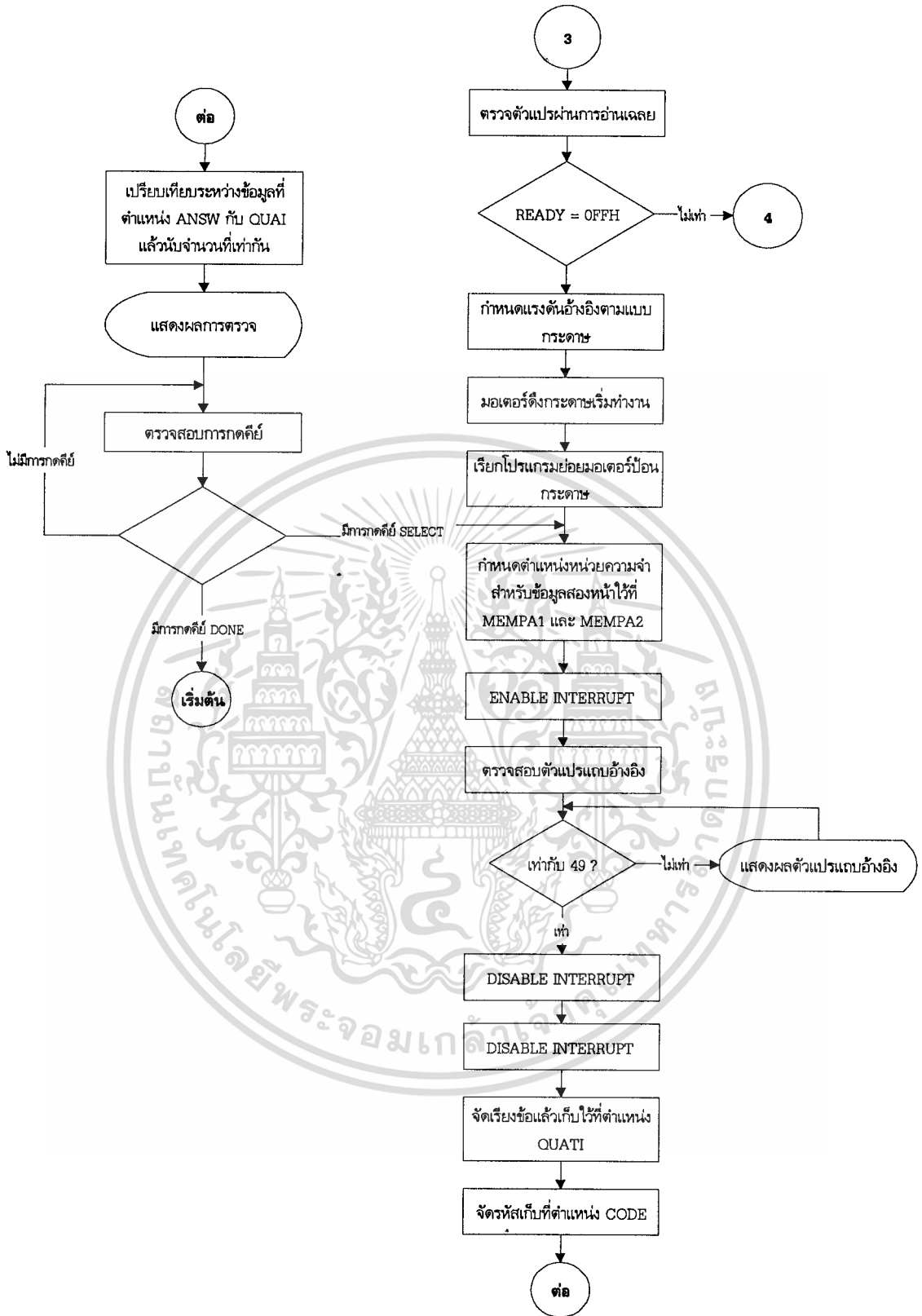


รูปที่ 4.17 การทำงานของโปรแกรมอ่านกระดาษคำตอบเฉลย

จะนำค่าตำแหน่งหน่วยความจำเริ่มต้นสำหรับเก็บข้อมูลที่อ่านได้จากอุปกรณ์แปลงสัญญาณแอนาล็อกเป็นดิจิทัลของหัวอ่านหน้าที่หนึ่งและสองของกระดาษคำตอบไว้ที่ MEMPA1 และ MEMPA2 ตามลำดับแล้วจึงให้ไมโครคอนโทรลเลอร์ตอบรับการอินเตอร์รัพท์ได้ (ซึ่งโปรแกรมย่อยที่ตอบรับการอินเตอร์รัพท์จะทำหน้าที่อ่านข้อมูลจากอุปกรณ์แปลงสัญญาณแอนาล็อกเป็นดิจิทัล) จากนั้นจะตรวจสอบตัวแปรแถบอ้างอิงมีค่าเท่ากับ 49 หรือยังถ้ายังจะแสดงค่าของตัวแปรแถบอ้างอิงนั้นและเมื่อเท่ากับ 49 จะให้ไมโครคอนโทรลเลอร์ไม่ตอบสนองการอินเตอร์รัพท์และหยุดมอเตอร์ดึงกระดาษแล้วจัดเรียงข้อมูลที่ได้อ่านให้ได้ตามลำดับข้อของกระดาษคำตอบและตรวจนับจำนวนข้อที่ใช้ในกระดาษคำตอบนี้ โดยนำข้อมูลที่เรียงเสร็จแล้วไปเก็บตามลำดับโดยเริ่มต้นที่ตำแหน่งหน่วยความจำที่ ANSW แล้วจึงกำหนดตัวแปร STATUS เท่ากับ 02H และตัวแปร READY เท่ากับ OFFH เป็นการแสดงว่าได้ผ่านการอ่านกระดาษคำตอบเฉลยแล้วแล้วไปยังโปรแกรมหลัก ในรูปที่ 4.18 แสดงการทำงานของส่วนโปรแกรมย่อยสำหรับตอบรับการอินเตอร์รัพท์เมื่อเข้าสู่โปรแกรมจะให้ไมโครคอนโทรลเลอร์ไม่ตอบรับการอินเตอร์รัพท์เพื่อป้องกันการอินเตอร์รัพท์ซ้อนแล้วจึงตรวจสอบค่าของตัวแปรแถบอ้างอิงมีค่าเท่ากับ 49 หรือไม่ ถ้าเท่าจะออกจากการอินเตอร์รัพท์ ถ้าไม่เท่าจะกำหนดให้รีจิสเตอร์ HL และ DE ของไมโครคอนโทรลเลอร์มีค่าเท่ากับค่าที่อยู่ในหน่วยความจำตำแหน่ง MEMPA1 และ MEMPA2 ตามลำดับ ซึ่งค่ารีจิสเตอร์ที่ได้นี้จะใช้ในการชี้ตำแหน่งหน่วยความจำที่จะเก็บข้อมูลที่อ่านได้ แล้วช่วงเวลาประมาณ 12.5 มิลลิวินาทีเพื่อให้ได้ตำแหน่งประมาณกึ่งกลางของแถบอ้างอิง จากนั้นกระตุ้นให้อุปกรณ์แปลงสัญญาณแอนาล็อกเป็นดิจิทัลทำงานรอจนกว่าการทำงานของอุปกรณ์แปลงสัญญาณแอนาล็อกเป็นดิจิทัลเสร็จสิ้นแล้วจึงเข้าขั้นตอนการอ่านโดยการตรวจสอบตัวแปรแถบอ้างอิงว่าเป็นค่าของเลขคู่หรือเลขคี่นั้นหมายถึงหน้าของกระดาษคำตอบนั่นเองโดยจะแยกเก็บด้วยการใช้รีจิสเตอร์ HL หรือ DE เป็นตัวชี้ตำแหน่งหน่วยความจำนั้นในขณะที่อ่านกระดาษคำตอบค่าของรีจิสเตอร์ HL หรือ DE จะเพิ่มขึ้นหนึ่งค่าเสมอและเก็บค่านั้นไว้ที่ตำแหน่งหน่วยความจำ MEMPA1 และ MEMPA2 ตามลำดับ ก่อนที่จะออกจากการทำงานของโปรแกรมย่อยการตอบรับการอินเตอร์รัพท์จะเพิ่มค่าของตัวแปรแถบอ้างอิงขึ้นหนึ่งค่าและให้ไมโครคอนโทรลเลอร์ตอบรับการอินเตอร์รัพท์ได้ ในรูปที่ 4.19 แสดงการทำงานของโปรแกรมสำหรับการตรวจสอบข้อสอบโดยการทำงานจะคล้ายกับการทำงานของโปรแกรมอ่านกระดาษคำตอบเฉลยจะต่างกันตรงที่ก่อนเข้าทำงานจะตรวจตัวแปร READY ก่อนว่าได้ผ่านการอ่านกระดาษคำตอบเฉลยแล้วหรือยัง ถ้ายังจะไปยังส่วนหมายเลข 4 ของการทำงานโปรแกรมการกวดิย DONE และการเก็บคำตอบที่อ่านได้จะไว้ที่ตำแหน่งหน่วยความจำเริ่มต้นที่ QUATI แล้วจัดเรียงรหัสของผู้สอบเก็บที่ตำแหน่งหน่วยความจำ CODE จากนั้นจะเปรียบเทียบข้อมูลระหว่างที่เก็บไว้ในตำแหน่งเริ่มต้นที่ ANSW กับตำแหน่งเริ่มต้นที่ QUATI ตามจำนวนข้อที่ได้เก็บไว้แล้วนับจำนวนข้อที่ตรงกันซึ่งจำนวนข้อที่ทำถูกนั่นเองโดยเก็บผลที่ได้ไว้ที่หน่วยความจำเริ่มต้น POINT นำผลของคะแนนและรหัสที่ได้แสดงผลที่ LCD จากนั้นตรวจสอบการกวดิยว่าจะทำการตรวจต่อหรือจะให้หยุด



รูปที่ 4.18 การทำงานของโปรแกรมย่อยตอบรับการอินเทอร์รัพท์



รูปที่ 4.19 การทำงานของโปรแกรมตรวจสอบ

เอกสารนี้เป็นเอกสารที่สงวนไว้สำหรับการใช้งานเพื่อการศึกษาเท่านั้น ไม่อนุญาตให้นำไปใช้ประโยชน์ด้านการค้า ไม่ว่าจะกรณีใดๆทั้งสิ้น อีกทั้งห้ามมิให้ดัดแปลงเนื้อหา และต้องอ้างอิงถึงเจ้าของเอกสารทุกครั้งที่มีการนำไปใช้

### 4.3 การออกแบบเชิงกลของเครื่องตรวจข้อสอบ

ในส่วนเชิงกลของเครื่องตรวจข้อสอบได้แก่ส่วนในการดึงกระดาษเข้าตรวจโดยลักษณะการดึงกระดาษเข้าสามารถทำได้สองวิธีได้แก่การดึงกระดาษเข้าในแนวนอนและการดึงกระดาษเข้าในแนวตั้งจากการศึกษาและทดสอบจะพบข้อเสียดังนี้

การดึงกระดาษเข้าในแนวนอนจะมีข้อดีในการสร้างได้ง่ายแต่มีข้อเสียที่การบังคับให้กระดาษเคลื่อนตัวชิดขอบได้

ยากจะทำให้เกิดความผิดพลาดได้ง่ายหรือทำให้กระดาษคำตอบยับหรือเสียหายง่าย

สำหรับการดึงกระดาษคำตอบในแนวตั้งจะมีข้อดีในการให้กระดาษคำตอบเลื่อนชิดขอบได้ง่ายเพราะอาศัยแรงโน้มถ่วงของกระดาษเองแต่จะมีข้อเสียที่การสร้างยากกว่า

จากการดึงกระดาษที่กล่าวมานั้นสำหรับในวิทยานิพนธ์นี้จะเลือกแบบการดึงกระดาษคำตอบในแนวตั้งเนื่องจากในการสร้างไม่ต้องคำนึงถึงส่วนเชิงกลที่จะต้องคอยบังคับกระดาษมากนักเพียงแต่การสร้างจะต้องให้ลูกยางที่ทำหน้าที่ดึงกระดาษนั้นจะต้องตั้งได้ฉากเท่านั้น และการดึงกระดาษเข้าแนวตั้งยังสามารถประยุกต์ใช้กับแบบกระดาษคำตอบที่กว้างกว่าในอนาคตได้ง่ายกว่าการดึงกระดาษในแนวนอนเนื่องจากการดึงกระดาษเข้าในแนวนอนจะมีโอกาสที่จะผิดพลาดมากขึ้นถ้าความกว้างมากขึ้นเพราะหากเกิดการเอียงเพียงเล็กน้อยปลายด้านตรงข้ามที่ชิดกับขอบจะห่างออกจากแนวที่จะเป็นมาก สำหรับการสร้างเครื่องตรวจข้อสอบในวิทยานิพนธ์นี้จะใช้โครงสร้างเป็นพลาสติกเนื่องจากสามารถทำได้ง่ายและราคาถูกเพื่อเป็นแนวทางในการสร้างเครื่องตรวจข้อสอบจริงโดยโครงสร้างดังกล่าวได้แสดงไว้ในส่วนภาคผนวก ก.

โดยมีระบบในการขับเคลื่อนด้วยเฟืองพลาสติกที่ต่อเนื่องจากตัวแรกจนตัวสุดท้าย สำหรับในส่วนของลูกยางที่ทำหน้าที่ดึงกระดาษนั้นประยุกต์จากท่อยางซิลิโคนสวมเข้ากับแกนโลหะเนื่องจากท่อยางซิลิโคนจะมีความเหนียวในการดึงกระดาษมากและมีความนิ่มไม่แข็งกระด้างการสึกของยางมีน้อย

## บทที่ 5

# ผลการทดสอบเครื่องตรวจสอบ

### 5.1 ผลการทดสอบการทำงานของหัวอ่าน

ในการทดสอบส่วนของหัวอ่านจะทำการทดสอบเป็นสองลักษณะได้แก่การทดสอบหัวอ่านเพียงตัวเดียวที่ระยะห่างระหว่างตัวกำเนิดแสงกับตัวรับแสงที่ประมาณ 1.5 มิลลิเมตร และการทดสอบหัวอ่านทั้ง 29 จุดหัวอ่านที่ติดตั้งกับเครื่องตรวจสอบที่สร้างขึ้นโดยใช้มาตรฐานความเข้มของระดับเกรย์ที่กำหนดจากโปรแกรม VISIO แล้วพิมพ์ออกที่เครื่องพิมพ์เลเซอร์โดยความเข้มที่ใช้ในการทดสอบเริ่มตั้งแต่กระดาษเปล่า (กระดาษมีความหนาที่ 80 แกรม) หรือความเข้มของคาร์บอนมีค่าเท่ากับ 0%, 10%, 30%, 50%, 70% และ 90% โดยตัวอย่างของระดับเกรย์ที่ได้จากโปรแกรม VISIO แสดงในรูปที่ 5.1



รูปที่ 5.1 ระดับเกรย์ที่ใช้ในการทดสอบหัวอ่าน

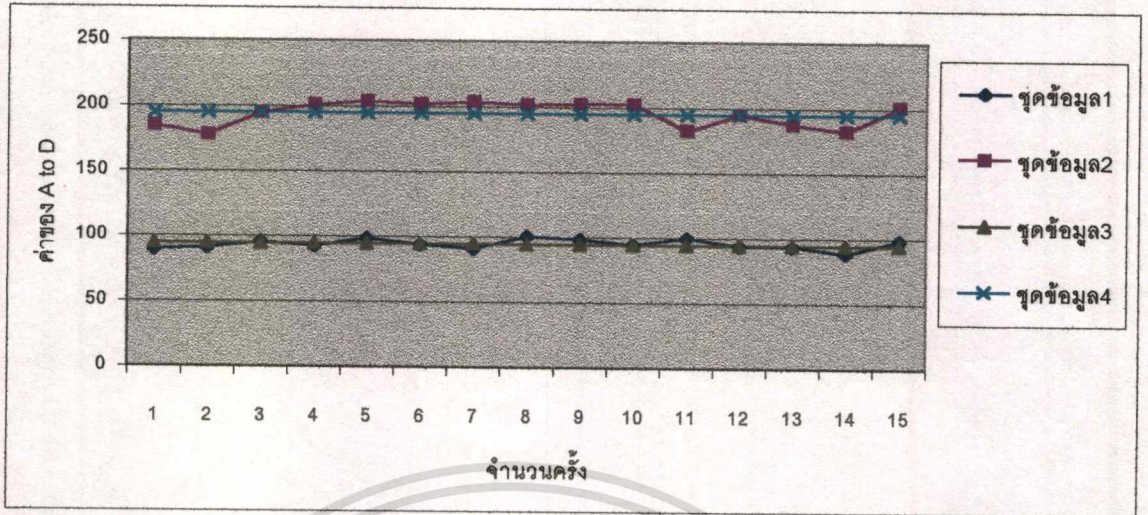
สำหรับการทดสอบที่หัวอ่านตัวเดียวทดสอบที่ความเข้มแต่ละค่าจำนวน 15 ครั้งเพื่อดูผลการทำงานของวงจรส่วนหัวอ่านโดยได้ผลดังนี้ เมื่อทดสอบการทำงานของหัวอ่านที่กระดาษเปล่าโดยเปรียบเทียบระหว่างที่ให้แรงดันอ้างอิงที่  $V_{cc}/2$  กับแรงดันอ้างอิงที่ได้จากความหนาของกระดาษสามารถเขียนเป็นกราฟได้ดังแสดงในรูปที่ 5.2 จากกราฟในรูปที่ 5.2 มีรายละเอียดดังนี้

ข้อมูลชุดที่ 1 เป็นข้อมูลที่ขณะแรงดันอ้างอิงเท่ากับ  $V_{cc}/2$

ข้อมูลชุดที่ 2 เป็นข้อมูลที่ขณะแรงดันอ้างอิงที่ได้จากความหนาของกระดาษ

ข้อมูลชุดที่ 3 เป็นค่าเฉลี่ยของข้อมูลจาก A to D ที่แรงดันอ้างอิงเท่ากับ  $V_{cc}/2$  ซึ่งมีค่าเท่ากับ 95

ข้อมูลชุดที่ 4 เป็นค่าเฉลี่ยของข้อมูลที่แรงดันอ้างอิงที่ได้จากความหนาของกระดาษซึ่งมีค่าเท่ากับ 195.133



รูปที่ 5.2 กราฟเปรียบเทียบระหว่างการใช้แรงดันอ้างอิงที่  $V_{cc}/2$  กับใช้ความหนากระดาษเป็นแรงดันอ้างอิงที่กระดาษเปล่า

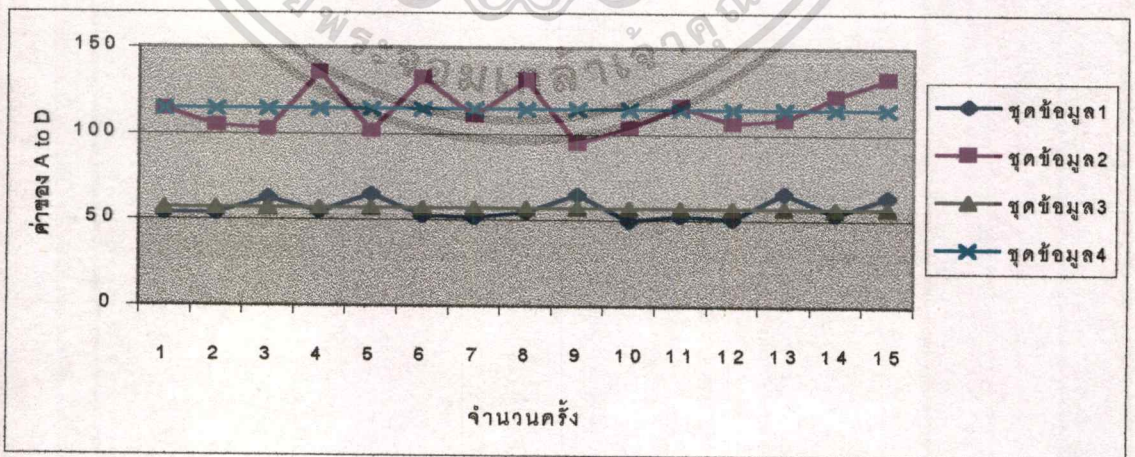
การทดสอบหัวอ่านขณะที่ความเข้มของระดับเกรย์ที่ 10 % สามารถแสดงเป็นกราฟได้ ดังแสดงในรูปที่ 5.3 จากกราฟในรูปที่ 5.3 มีรายละเอียดดังนี้

ข้อมูลชุดที่ 1 เป็นข้อมูลที่ขณะแรงดันอ้างอิงเท่ากับ  $V_{cc}/2$

ข้อมูลชุดที่ 2 เป็นข้อมูลที่ขณะแรงดันอ้างอิงที่ได้จากความหนาของกระดาษ

ข้อมูลชุดที่ 3 เป็นค่าเฉลี่ยของข้อมูลจาก A to D ที่แรงดันอ้างอิงเท่ากับ  $V_{cc}/2$  ซึ่งมีค่าเท่ากับ 56.933

ข้อมูลชุดที่ 4 เป็นค่าเฉลี่ยของข้อมูลจาก A to D ที่แรงดันอ้างอิงจากความหนาของกระดาษซึ่งมีค่าเท่ากับ 115



รูปที่ 5.3 กราฟเปรียบเทียบระหว่างการใช้แรงดันอ้างอิงที่  $V_{cc}/2$  กับใช้ความหนากระดาษเป็นแรงดันอ้างอิงที่ระดับเกรย์ 10%

เอกสารนี้เป็นเอกสารที่สงวนไว้สำหรับการใช้งานเพื่อการศึกษาเท่านั้น ไม่อนุญาตให้นำไปใช้ประโยชน์ด้านการค้า ไม่ว่าจะกรณีใดๆทั้งสิ้น อีกทั้งห้ามมิให้ตัดแปลงเนื้อหา และต้องอ้างอิงถึงเจ้าของเอกสารทุกครั้งที่มีการนำไปใช้

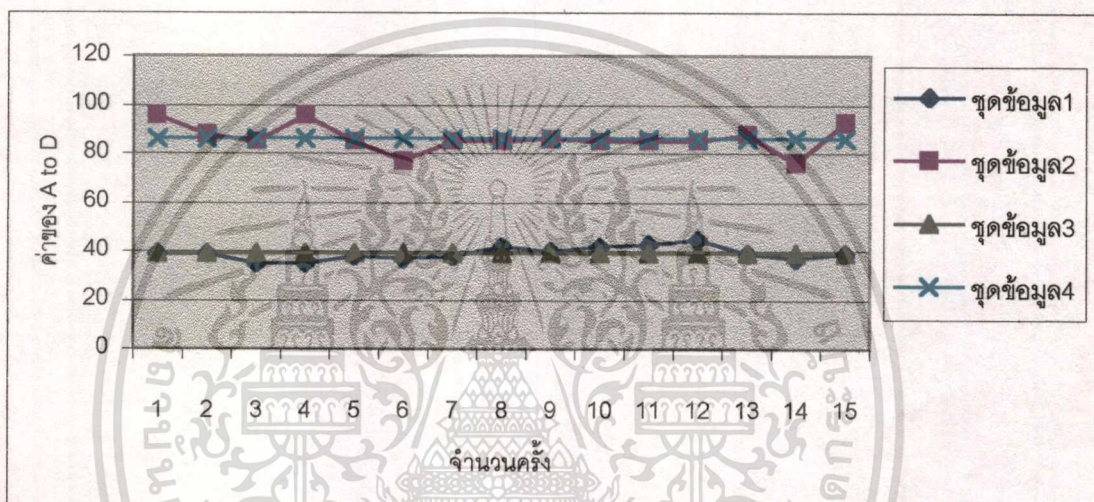
การทดสอบหัวอ่านขณะที่ความเข้มของระดับเกรย์ที่ 30 % สามารถแสดงเป็นกราฟได้ดังแสดงในรูปที่ 5.4 จากกราฟในรูปที่ 5.4 มีรายละเอียดดังนี้

ข้อมูลชุดที่ 1 เป็นข้อมูลที่ขณะแรงดันอ้างอิงเท่ากับ  $V_{cc}/2$

ข้อมูลชุดที่ 2 เป็นข้อมูลที่ขณะแรงดันอ้างอิงที่ได้จากความหนาของกระดาษ

ข้อมูลชุดที่ 3 เป็นค่าเฉลี่ยของข้อมูลจาก A to D ที่แรงดันอ้างอิงเท่ากับ  $V_{cc}/2$  ซึ่งมีค่าเท่ากับ 39.2

ข้อมูลชุดที่ 4 เป็นค่าเฉลี่ยของข้อมูลจาก A to D ที่แรงดันอ้างอิงที่ได้จากความหนาของกระดาษซึ่งมีค่าเท่ากับ 86.333



**รูปที่ 5.4** กราฟเปรียบเทียบระหว่างการให้แรงดันอ้างอิงที่  $V_{cc}/2$  กับใช้ความหนากระดาษเป็นแรงดันอ้างอิงที่ระดับเกรย์ 30%

การทดสอบหัวอ่านขณะที่ความเข้มของระดับเกรย์ที่ 50 % สามารถแสดงเป็นกราฟได้ดังแสดงในรูปที่ 5.5 จากกราฟในรูปที่ 5.5 มีรายละเอียดดังนี้

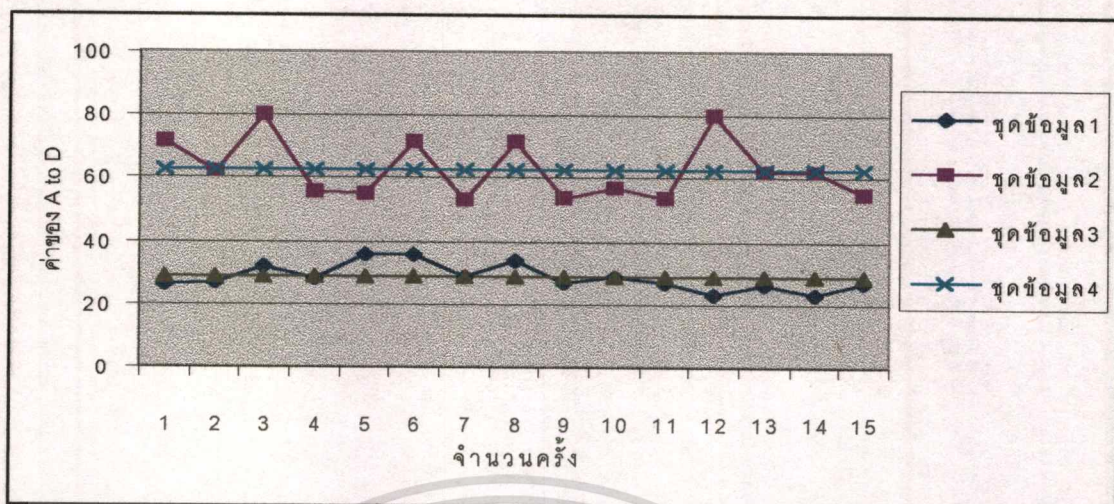
ข้อมูลชุดที่ 1 เป็นข้อมูลที่ขณะแรงดันอ้างอิงเท่ากับ  $V_{cc}/2$

ข้อมูลชุดที่ 2 เป็นข้อมูลที่ขณะแรงดันอ้างอิงที่ได้จากความหนาของกระดาษ

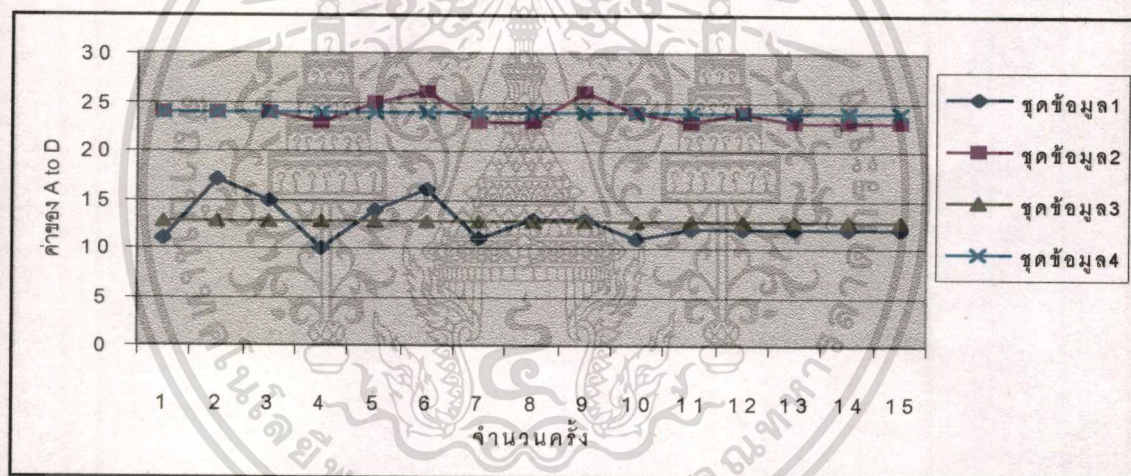
ข้อมูลชุดที่ 3 เป็นค่าเฉลี่ยของข้อมูลจาก A to D ที่แรงดันอ้างอิงเท่ากับ  $V_{cc}/2$  ซึ่งมีค่าเท่ากับ 28.667

ข้อมูลชุดที่ 4 เป็นค่าเฉลี่ยของข้อมูลจาก A to D ที่แรงดันอ้างอิงที่ได้จากความหนาของกระดาษซึ่งมีค่าเท่ากับ

63.066



รูปที่ 5.5 กราฟเปรียบเทียบระหว่างการใช้แรงดันอ้างอิงที่  $V_{cc}/2$  กับใช้ความหนาของกระดาดเป็นแรงดันอ้างอิงที่ระดับเกอรัย 50%



รูปที่ 5.6 กราฟเปรียบเทียบระหว่างใช้แรงดันอ้างอิงที่  $V_{cc}/2$  กับใช้ความหนาของกระดาดเป็นแรงดันอ้างอิงที่ระดับเกอรัย 70%

การทดสอบหัวอ่านขณะที่ความเข้มของระดับเกอรัยที่ 70 % สามารถแสดงเป็นกราฟได้ดังแสดงในรูปที่ 5.6 จากกราฟในรูปที่ 5.6 มีรายละเอียดดังนี้

ข้อมูลชุดที่ 1 เป็นข้อมูลที่ขณะแรงดันอ้างอิงเท่ากับ  $V_{cc}/2$

ข้อมูลชุดที่ 2 เป็นข้อมูลที่ขณะแรงดันอ้างอิงที่ได้จากความหนาของกระดาด

ข้อมูลชุดที่ 3 เป็นค่าเฉลี่ยของข้อมูลจาก A to D ที่แรงดันอ้างอิงเท่ากับ  $V_{cc}/2$  ซึ่งมีค่าเท่ากับ 12.733

ข้อมูลชุดที่ 4 เป็นค่าเฉลี่ยของข้อมูลจาก A to D ที่แรงดันอ้างอิงที่ได้จากความหนาของกระดาดซึ่งมีค่าเท่ากับ

23.866

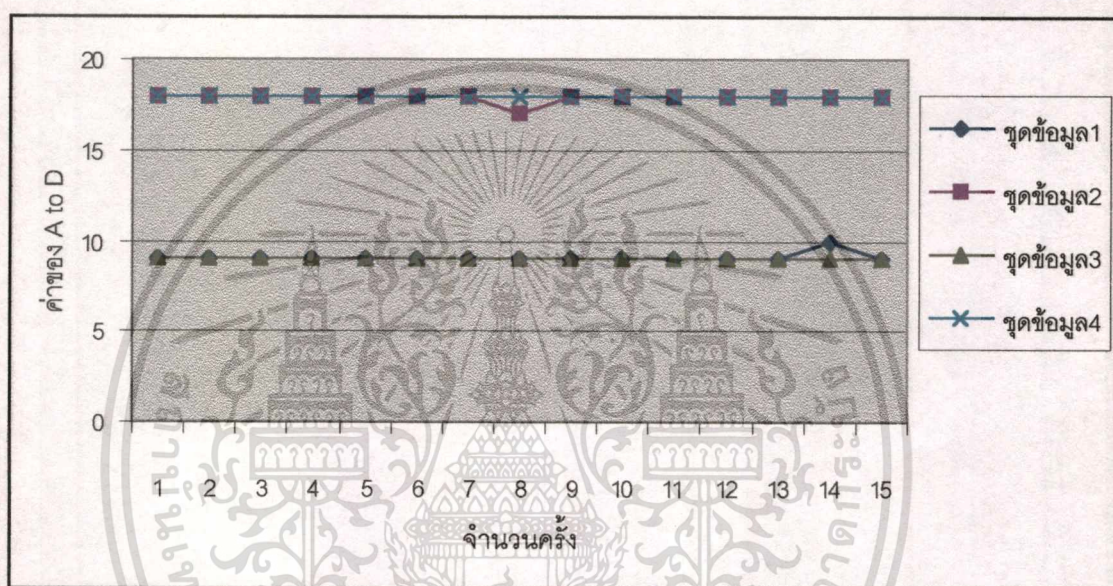
การทดสอบหัวอ่านขณะที่ความเข้มของระดับเกรย์ที่ 90 % สามารถแสดงเป็นกราฟได้ดังแสดงในรูปที่ 5.7 จากกราฟในรูปที่ 5.7 มีรายละเอียดดังนี้

ข้อมูลชุดที่ 1 เป็นข้อมูลที่ขณะแรงดันอ้างอิงเท่ากับ  $V_{cc}/2$

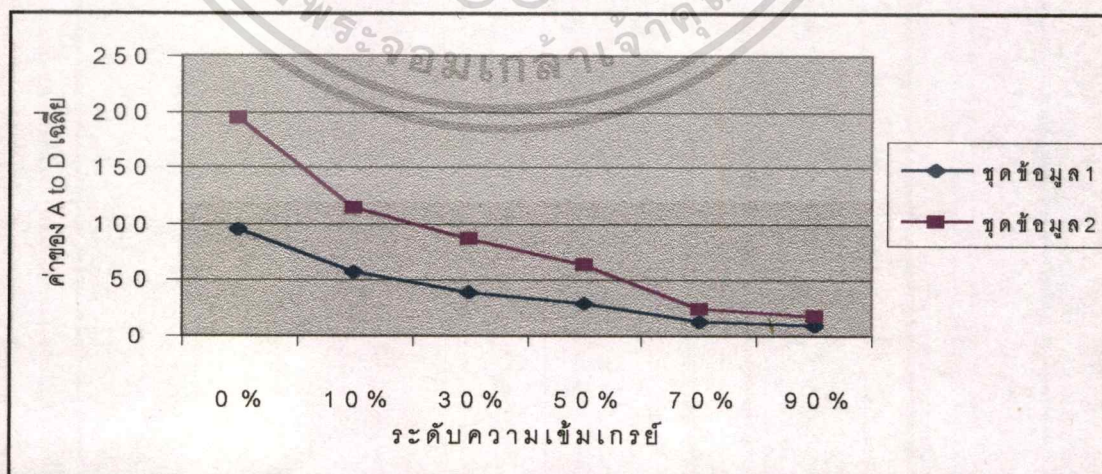
ข้อมูลชุดที่ 2 เป็นข้อมูลที่ขณะแรงดันอ้างอิงที่ได้จากความหนาของกระดาษ

ข้อมูลชุดที่ 3 เป็นค่าเฉลี่ยของข้อมูลจาก A to D ที่แรงดันอ้างอิงเท่ากับ  $V_{cc}/2$  ซึ่งมีค่าเท่ากับ 9.066

ข้อมูลชุดที่ 4 เป็นค่าเฉลี่ยของข้อมูลจาก A to D ที่แรงดันอ้างอิงที่ได้จากความหนาของกระดาษซึ่งมีค่าเท่ากับ 17.933



รูปที่ 5.7 กราฟเปรียบเทียบระหว่างใช้แรงดันอ้างอิงที่  $V_{cc}/2$  กับใช้ความหนากระดาษเป็นแรงดันอ้างอิงที่ระดับเกรย์ 90%

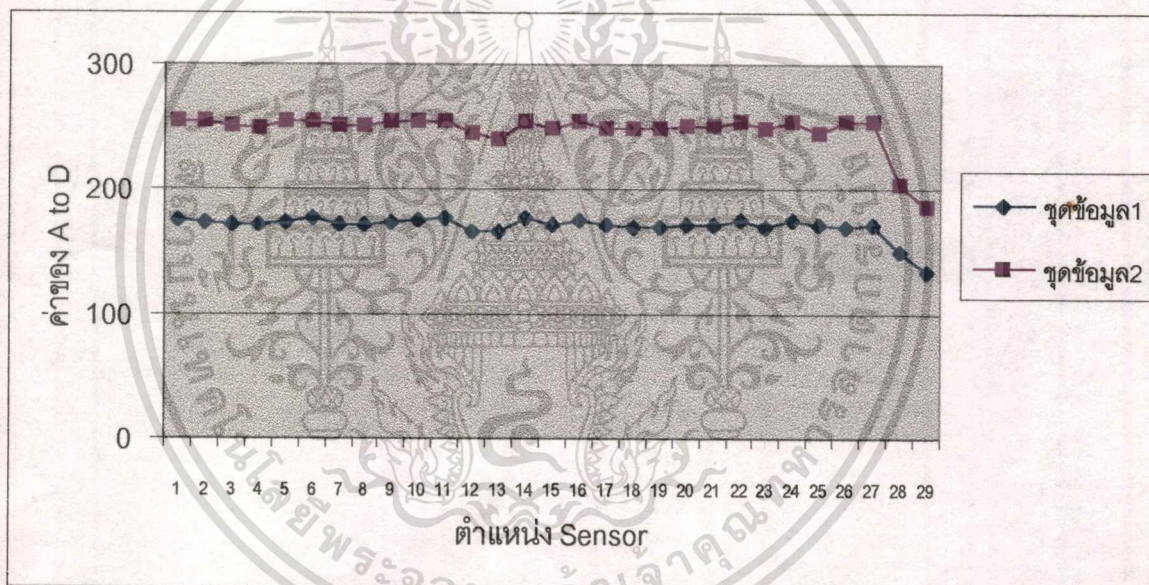


รูปที่ 5.8 ความสัมพันธ์ระหว่างความเข้มของระดับเกรย์กับข้อมูลค่าเฉลี่ยจากหัวอ่านเพียงจุดเดียว

เอกสารนี้เป็นเอกสารที่สงวนไว้สำหรับการใช้งานเพื่อการศึกษาเท่านั้น ไม่อนุญาตให้นำไปใช้ประโยชน์ด้านการค้า ไม่ว่าจะกรณีใดๆทั้งสิ้น อีกทั้งห้ามมิให้ดัดแปลงเนื้อหา และต้องอ้างอิงถึงเจ้าของเอกสารทุกครั้งที่มีการนำไปใช้

เมื่อนำค่าเฉลี่ยที่ได้ทั้งหมดมาสร้างกราฟความสัมพันธ์ระหว่างระดับความเข้มแรงแกับค่าของ A to D จะได้ดังแสดงในรูปที่ 5.8 โดยที่ข้อมูลชุดที่ 1 เป็นข้อมูลขณะที่ใช้แรงดันอ้างอิงเท่ากับ  $V_{cc}/2$  และข้อมูลชุดที่ 2 เป็นข้อมูลขณะใช้แรงดันอ้างอิงจากความหนาของกระดาษ

สำหรับการทดสอบหัวอ่านทั้ง 29 จุดจะเป็นการทดสอบขณะที่ติดตั้งที่เครื่องตรวจข้อสอบตามมาตรฐานระดับเกรดจากโปรแกรม VISIO ที่ได้กล่าวมาแล้วโดยผลการทดสอบดังแสดงในตารางที่ 5.1 เมื่อ  $V_{cc}/2$  หมายถึงแรงดันอ้างอิงที่ใช้และขยายหมายถึงการกำหนดแรงดันอ้างอิงตามความหนากระดาษเมื่อนำมาสร้างกราฟความสัมพันธ์ระหว่างตำแหน่งจุดของหัวอ่านกับค่าที่อ่านได้จาก A to D ขณะที่ใช้แรงดันอ้างอิงเป็น  $V_{cc}/2$  กับแรงดันอ้างอิงที่ได้จากความหนาของกระดาษค่าตอบซึ่งแสดงในรูปที่ 5.9 ถึงรูปที่ 5.14 โดยที่ข้อมูลชุดที่ 1 และข้อมูลชุดที่ 2 ที่แสดงในกราฟหมายถึงข้อมูลขณะแรงดันอ้างอิงเป็น  $V_{cc}/2$  กับแรงดันอ้างอิงตามความหนากระดาษค่าตอบตามลำดับ

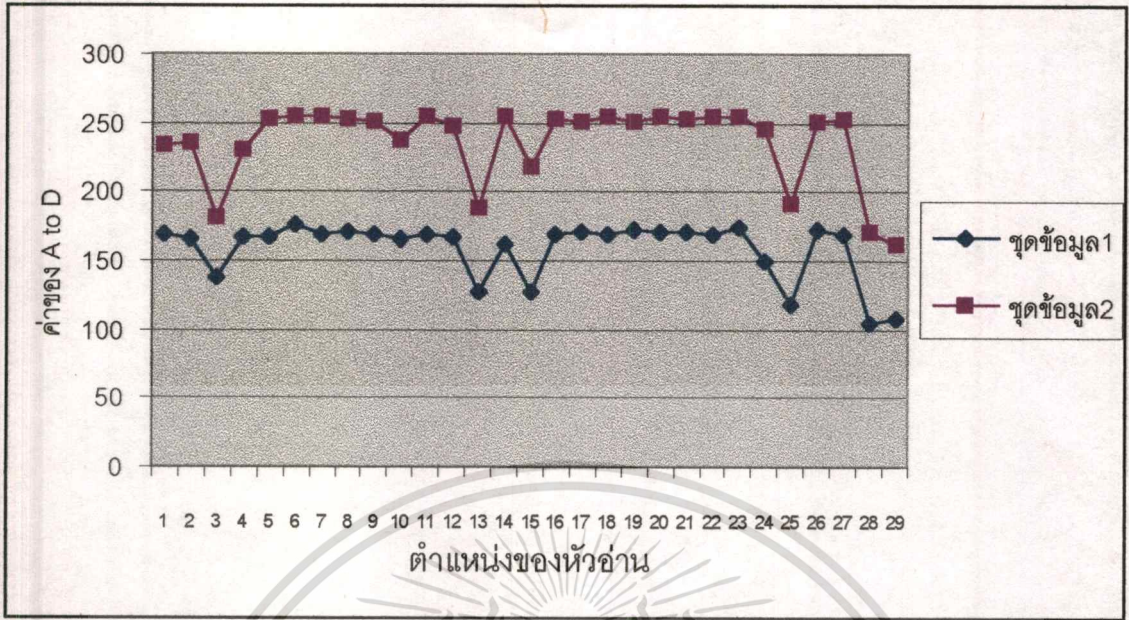


รูปที่ 5.9 ความสัมพันธ์ของหัวอ่านแต่ละจุดกับค่า A to D ที่อ่านได้เมื่อใช้กระดาษเปล่า

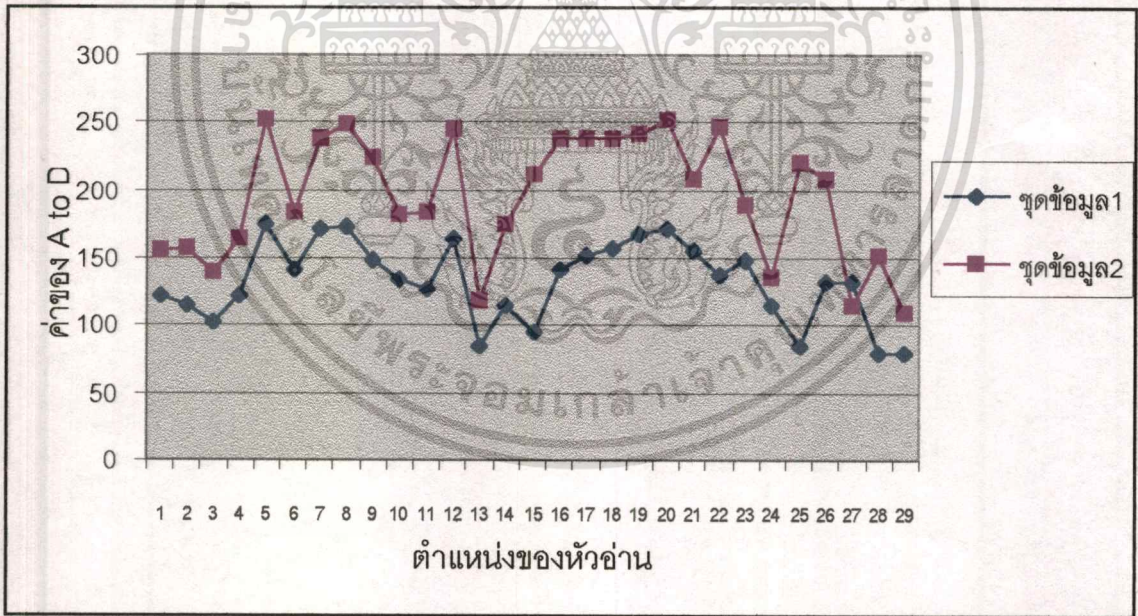
ตารางที่ 5.1 ผลของการอ่านข้อมูลจากหัวอ่านทั้งหมดที่ระดับเกรย์ต่าง ๆ

| ตำแหน่งของ<br>หัวอ่าน | ระดับเกรย์ที่ใช้ในการทดสอบ |      |       |      |       |      |       |      |       |      |       |      |
|-----------------------|----------------------------|------|-------|------|-------|------|-------|------|-------|------|-------|------|
|                       | 0%                         |      | 10%   |      | 30%   |      | 50%   |      | 70%   |      | 90%   |      |
|                       | Vcc/2                      | ขยาย | Vcc/2 | ขยาย | Vcc/2 | ขยาย | Vcc/2 | ขยาย | Vcc/2 | ขยาย | Vcc/2 | ขยาย |
| 1                     | 176                        | 255  | 170   | 233  | 122   | 155  | 100   | 107  | 90    | 63   | 22    | 31   |
| 2                     | 174                        | 255  | 165   | 236  | 115   | 157  | 93    | 104  | 94    | 72   | 15    | 21   |
| 3                     | 171                        | 252  | 137   | 182  | 102   | 140  | 73    | 83   | 75    | 47   | 18    | 32   |
| 4                     | 171                        | 249  | 268   | 230  | 122   | 165  | 86    | 100  | 82    | 68   | 18    | 34   |
| 5                     | 173                        | 254  | 168   | 253  | 175   | 253  | 137   | 156  | 126   | 104  | 32    | 45   |
| 6                     | 178                        | 255  | 176   | 255  | 142   | 183  | 87    | 109  | 82    | 73   | 21    | 21   |
| 7                     | 172                        | 251  | 170   | 255  | 172   | 239  | 112   | 135  | 108   | 88   | 25    | 31   |
| 8                     | 172                        | 251  | 171   | 253  | 173   | 248  | 113   | 151  | 115   | 96   | 25    | 37   |
| 9                     | 174                        | 255  | 170   | 252  | 148   | 225  | 91    | 127  | 93    | 76   | 24    | 43   |
| 10                    | 175                        | 255  | 166   | 237  | 135   | 181  | 72    | 98   | 82    | 64   | 25    | 27   |
| 11                    | 177                        | 255  | 169   | 254  | 127   | 183  | 77    | 113  | 91    | 68   | 24    | 43   |
| 12                    | 167                        | 245  | 168   | 247  | 164   | 245  | 106   | 181  | 124   | 94   | 29    | 42   |
| 13                    | 167                        | 240  | 128   | 188  | 85    | 118  | 68    | 90   | 60    | 50   | 18    | 36   |
| 14                    | 178                        | 255  | 162   | 254  | 115   | 174  | 72    | 116  | 86    | 66   | 20    | 29   |
| 15                    | 172                        | 249  | 128   | 218  | 95    | 212  | 53    | 88   | 67    | 56   | 17    | 32   |
| 16                    | 175                        | 255  | 170   | 253  | 142   | 238  | 80    | 128  | 92    | 76   | 15    | 31   |
| 17                    | 171                        | 249  | 171   | 251  | 151   | 239  | 86    | 147  | 104   | 89   | 22    | 38   |
| 18                    | 169                        | 249  | 170   | 254  | 157   | 239  | 89    | 153  | 106   | 95   | 23    | 39   |
| 19                    | 170                        | 250  | 172   | 251  | 168   | 242  | 86    | 167  | 112   | 111  | 23    | 42   |
| 20                    | 171                        | 251  | 171   | 254  | 172   | 252  | 105   | 161  | 108   | 112  | 25    | 45   |
| 21                    | 172                        | 251  | 171   | 253  | 156   | 209  | 96    | 151  | 105   | 103  | 25    | 39   |
| 22                    | 175                        | 255  | 170   | 254  | 137   | 247  | 83    | 109  | 84    | 71   | 17    | 33   |
| 23                    | 169                        | 249  | 174   | 255  | 149   | 189  | 105   | 143  | 100   | 112  | 25    | 42   |
| 24                    | 175                        | 25   | 150   | 246  | 114   | 136  | 70    | 111  | 76    | 62   | 13    | 36   |
| 25                    | 171                        | 246  | 118   | 191  | 84    | 221  | 56    | 83   | 56    | 48   | 13    | 22   |
| 26                    | 170                        | 251  | 172   | 252  | 133   | 209  | 92    | 147  | 88    | 92   | 22    | 45   |
| 27                    | 172                        | 254  | 170   | 253  | 132   | 114  | 95    | 129  | 76    | 79   | 15    | 27   |
| 28                    | 150                        | 205  | 105   | 171  | 79    | 151  | 63    | 86   | 39    | 47   | 18    | 13   |
| 29                    | 134                        | 187  | 108   | 162  | 79    | 110  | 59    | 69   | 48    | 50   | 13    | 18   |

เอกสารนี้เป็นเอกสารที่สงวนไว้สำหรับการใช้งานเพื่อการศึกษาเท่านั้น ไม่อนุญาตให้นำไปใช้ประโยชน์ด้านการค้า  
ไม่ว่ากรณีใดๆทั้งสิ้น อีกทั้งห้ามมิให้ดัดแปลงเนื้อหา และต้องอ้างอิงถึงเจ้าของเอกสารทุกครั้งที่มีการนำไปใช้

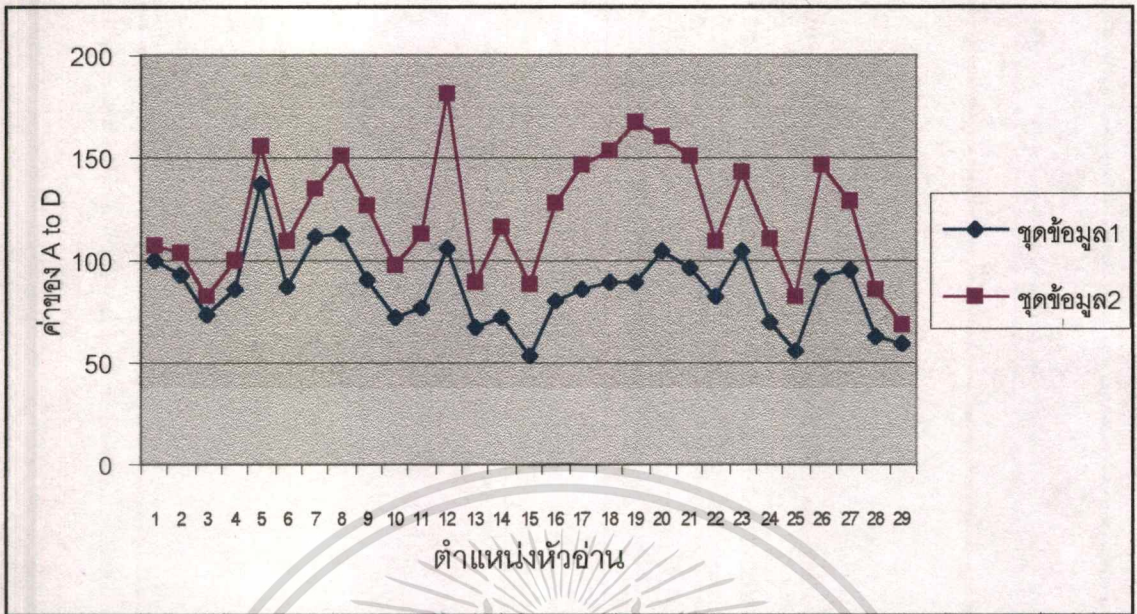


รูปที่ 5.10 ความสัมพันธ์ของหัวอ่านแต่ละจุดกับค่า A to D ที่อ่านได้ที่ระดับเกรย์ 10%



รูปที่ 5.11 ความสัมพันธ์ของหัวอ่านแต่ละจุดกับค่า A to D ที่อ่านได้ที่ระดับเกรย์ 30%

เอกสารนี้เป็นเอกสารที่สงวนไว้สำหรับการใช้งานเพื่อการศึกษาเท่านั้น ไม่อนุญาตให้นำไปใช้ประโยชน์ด้านการค้า ไม่ว่าจะกรณีใดๆทั้งสิ้น อีกทั้งห้ามมิให้ตัดแปลงเนื้อหา และต้องอ้างอิงถึงเจ้าของเอกสารทุกครั้งที่มีการนำไปใช้

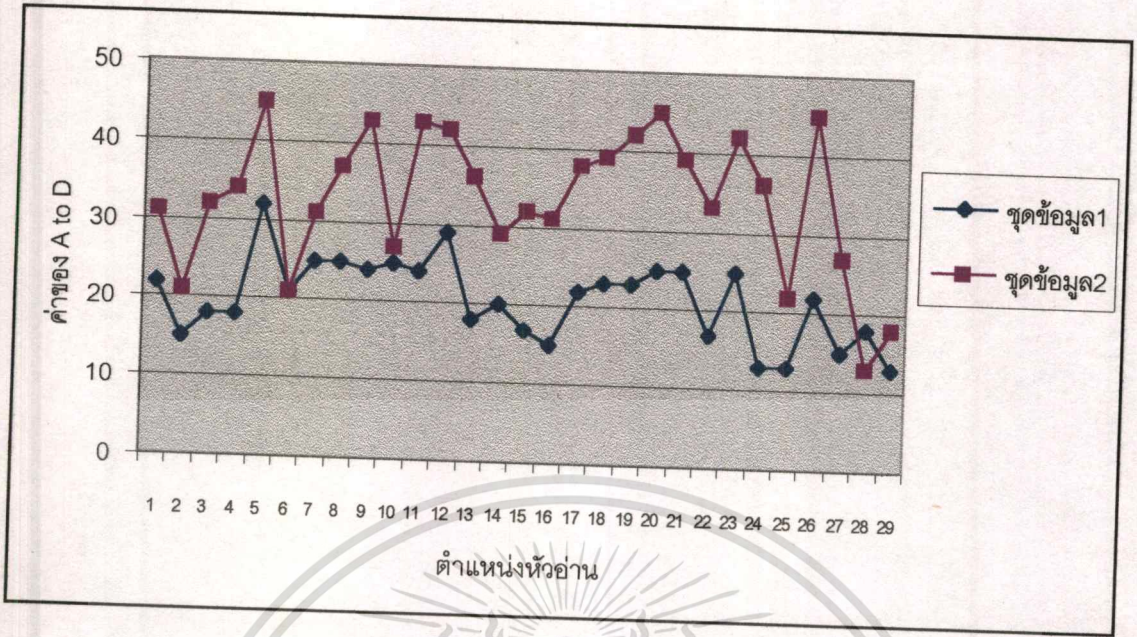


รูปที่ 5.12 ความสัมพันธ์ของหัวอ่านแต่ละจุดกับค่า A to D ที่อ่านได้ที่ระดับเกรด 50%



รูปที่ 5.13 ความสัมพันธ์ของหัวอ่านแต่ละจุดกับค่า A to D ที่อ่านได้ที่ระดับเกรด 70%

เอกสารนี้เป็นเอกสารที่สงวนไว้สำหรับการใช้งานเพื่อการศึกษาเท่านั้น ไม่อนุญาตให้นำไปใช้ประโยชน์ด้านการค้า ไม่ว่าจะกรณีใดๆทั้งสิ้น อีกทั้งห้ามมิให้ดัดแปลงเนื้อหา และต้องอ้างอิงถึงเจ้าของเอกสารทุกครั้งที่มีการนำไปใช้

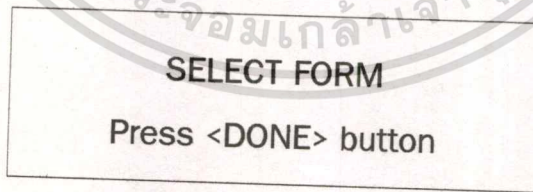


รูปที่ 5.14 ความสัมพันธ์ของหัวอ่านแต่ละจุดกับค่า A to D ที่อ่านได้ที่ระดับเกียรย์ 90%

5.2 ผลการทดสอบโปรแกรมควบคุม

การทดสอบการทำงานของโปรแกรมสามารถทำได้โดยการจำลองสถานะการทำงานแล้วจึงตรวจสอบจากการแสดงผลที่ LCD ซึ่งการแสดงผลจะเป็นลักษณะเหมือนการแสดงผลแบบเมนูเพียงแต่มีข้อจำกัดที่ LCD ที่แสดงผลได้เพียงสองบรรทัดเท่านั้นโดยสามารถแบ่งการแสดงผลออกเป็นเมนูหลักและเมนูย่อยดังนี้ เมนูหลักที่แสดงผลบน LCD แบ่งออกเป็นสามเมนูหลักได้แก่

เมนูหลักการเลือกแบบกระดาษคำตอบซึ่งมีสองแบบ โดยจะแสดงผลในรูปที่ 5.15



รูปที่ 5.15 การแสดงผลเมื่อเมนูเลือกแบบกระดาษทำงาน

ภายใต้เมนูนี้เมื่อกดคีย์ DONE จะเข้าสู่เมนูย่อยเพื่อเลือกแบบกระดาษซึ่งจะแสดงดังรูปที่ 5.16 ซึ่งจะแสดงแบบกระดาษคำตอบที่ 1 หากต้องการเปลี่ยนให้กดคีย์ SELECT จะเปลี่ยนเป็นแบบที่ 2 หากต้องการเลือกเพียงกดคีย์ DONE เป็นการสิ้นสุดการเลือกแบบกระดาษคำตอบ

เอกสารนี้เป็นเอกสารที่สงวนไว้สำหรับการใช้งานเพื่อการศึกษาเท่านั้น ไม่อนุญาตให้นำไปใช้ประโยชน์ด้านการค้า ไม่ว่ากรณีใดๆทั้งสิ้น อีกทั้งห้ามมิให้ตัดแปลงเนื้อหา และต้องอ้างอิงถึงเจ้าของเอกสารทุกครั้งที่มีการนำไปใช้

SELECT FORM  
FORM NUMBER : 1

**รูปที่ 5.16** เมื่อเข้าสู่เมนูย่อยของการเลือกแบบกระดาษ

เมนูหลักสำหรับการอ่านกระดาษคำตอบเฉลยจะปรากฏขึ้นเมื่อกดคีย์ SELECT โดยจะแสดงดังรูปที่ 5.17 ซึ่งเมื่อกดคีย์ DONE จะเข้าสู่การอ่านกระดาษคำตอบเฉลยโดยจะแสดงดังรูปที่ 5.18

READ MODE  
Press <DONE> button

**รูปที่ 5.17** เมนูหลักของการอ่านกระดาษคำตอบเฉลย

READ MODE  
TIME MARK : 00

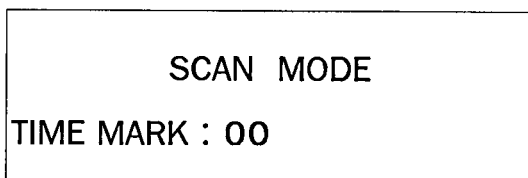
**รูปที่ 5.18** การแสดงผลขณะอ่านกระดาษคำตอบเฉลย

โดยที่ตำแหน่ง TIME MARK จะแสดงตำแหน่งของแถบอ้างอิงที่ได้อ่านข้อมูลแล้ว เมื่อการอ่านสิ้นสุดลงจะเข้าสู่เมนูหลักของการตรวจข้อสอบทันทีโดยแสดงผลดังรูปที่ 5.19 นอกจากนี้ยังสามารถใช้การกดคีย์ SELECT เพื่อ

SCAN MODE  
Press <DONE> button

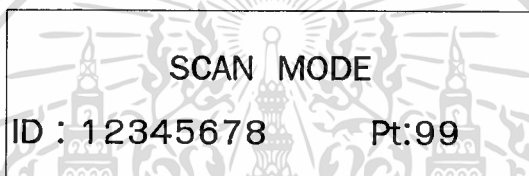
**รูปที่ 5.19** การแสดงผลเมื่อเมนูหลักการตรวจข้อสอบ

เข้าสู่การทำงานของการตรวจสอบแต่ถ้าไม่ได้ผ่านการอ่านกระดาษคำตอบเลยจะไม่สามารถเข้าทำงานได้เมื่อต้องการให้เริ่มตรวจสอบให้กดคีย์ DONE จะแสดงผลดังรูปที่ 5.20 เมื่ออ่านสิ้นสุดผลการตรวจจะแสดงใน



**รูปที่ 5.20** การแสดงผลขณะตรวจข้อสอบ

รูปที่ 5.21 โดยจะแสดงรหัสและคะแนนที่ได้ ขณะนี้เครื่องจะรอการกดคีย์เพื่อตรวจต่อหรือหยุด ถ้าเลือกที่จะ



**รูปที่ 5.21** การแสดงผลของคะแนนที่ตรวจได้

หยุดคำตอบเลยที่ใช้จะถูกยกเลิกถือเป็นการสิ้นสุดการตรวจข้อสอบนั้น

## บทที่ 6

# สรุปผลงานวิจัยและแนวทางพัฒนาต่อ

### 6.1 สรุปผลการทำงานของเครื่องตรวจสอบ

จากผลการทดสอบการทำงานของเครื่องตรวจสอบสามารถแยกได้สองส่วนได้แก่ส่วนทางด้านวงจรไฟฟ้ากับส่วนของการขับเคลื่อนกระดาศำตอบโดยสรุปผลได้ดังนี้ ในส่วนของวงจรไฟฟ้าโดยเฉพาะส่วนของวงจรหัวอ่านที่สร้างขึ้น การจับความเข้มของการฝนดินสอโดยการใช้ระดับเกรย์ที่ได้จากโปรแกรม VISIO โดยการทดสอบซ้ำ 15 ครั้งจะเห็นว่า การตรวจจับจะได้ค่าที่แน่นอนเมื่อความเข้มของระดับเกรย์มากกว่า 50% ซึ่งเป็นเนื่องจากสัญญาณรบกวนที่เกิดขึ้นอีกทั้งปัญหาของการติดตั้งตัวรับและตัวส่งแสงอินฟราเรดที่ไม่ตรงกัน อย่างแท้จริงทำให้หัวอ่านแต่ละจุดมีความแตกต่างกันบ้าง สำหรับโปรแกรมควบคุมการทำงานสามารถทำงานได้อย่างถูกต้องตามลำดับที่ได้กำหนดไว้ สำหรับในส่วนของการขับเคลื่อนกระดาศำตอบนั้นสามารถทำงานได้ในระดับที่คาดการณ์ไว้จะมีปัญหาบ้างอันเนื่องมาจากโครงสร้างที่เป็นพลาสติกเพราะขณะที่กระดาศำตอบเคลื่อนผ่านพลาสติกทำให้เกิดประจุไฟฟ้าสถิตขึ้นที่พลาสติกซึ่งทำให้ขณะที่กระดาศำตอบวิ่งผ่านเกิดการดูดติดกับพลาสติกขึ้นในบางเวลา สำหรับข้อดีข้อเสียของการขับเคลื่อนที่สร้างขึ้นได้แก่

#### ข้อดี

1. โครงสร้างที่ใช้พลาสติกสามารถทำให้อ่าง่าย ราคาถูก ติดตั้งและแก้ไขเพิ่มเติมง่ายและสะดวกเหมาะสำหรับทำเครื่องต้นแบบ
2. แนวการเคลื่อนกระดาศำตอบทางแนวตั้ง สามารถควบคุมขอบกระดาศำตอบเคลื่อนที่ในแนวตรงได้ง่ายและมีความแน่นหนาว่าการวางกระดาศำตอบตามแนวนอน เนื่องจากแรงโน้มถ่วงของโลกทำให้กระดาศำตอบสามารถเคลื่อนชิดขอบได้ดี
3. การขับเคลื่อนด้วยเฟือง สามารถสร้างได้ง่ายและควบคุมแรงบิดได้ง่ายกว่าระบบสายพาน

#### ข้อเสีย

1. โครงสร้างที่ทำจากพลาสติกไม่มีความแข็งแรงทำให้เกิดการผิดพลาดจากตำแหน่งที่ต้องการ
2. ขณะที่กระดาศำตอบเคลื่อนที่ผ่านโครงสร้างที่เป็นพลาสติกทำให้เกิดไฟฟ้าสถิต ทำให้เกิดการสะดุดของการกระดาศำตอบได้
3. การลำเรียงกระดาศำตอบด้วยมอเตอร์กระแสตรง ควบคุมตำแหน่งการหยุดกระดาศำตอบยาก

### 6.2 แนวทางการพัฒนาต่อ

1. การพัฒนาหัวอ่านโดยใช้วงจรและตัวตรวจจับเดิมให้สามารถตรวจจกระดาศำตอบแบบสะท้อนได้
2. การพัฒนาโปรแกรมสำหรับการตรวจสอบเช่นการตัดเกรดบนเครื่องคอมพิวเตอร์
3. ตัวลำเรียงกระดาศำตอบใช้เป็นสเตปป์มอเตอร์ เพื่อสามารถควบคุมตำแหน่งที่แน่นอนได้

เอกสารนี้เป็นเอกสารที่สงวนไว้สำหรับการใช้งานเพื่อการศึกษาเท่านั้น ไม่อนุญาตให้นำไปใช้ประโยชน์ด้านการค้า  
ไม่ว่ากรณีใดๆทั้งสิ้น อีกทั้งห้ามมิให้ตัดแปลงเนื้อหา และต้องอ้างอิงถึงเจ้าของเอกสารทุกครั้งที่มีการนำไปใช้

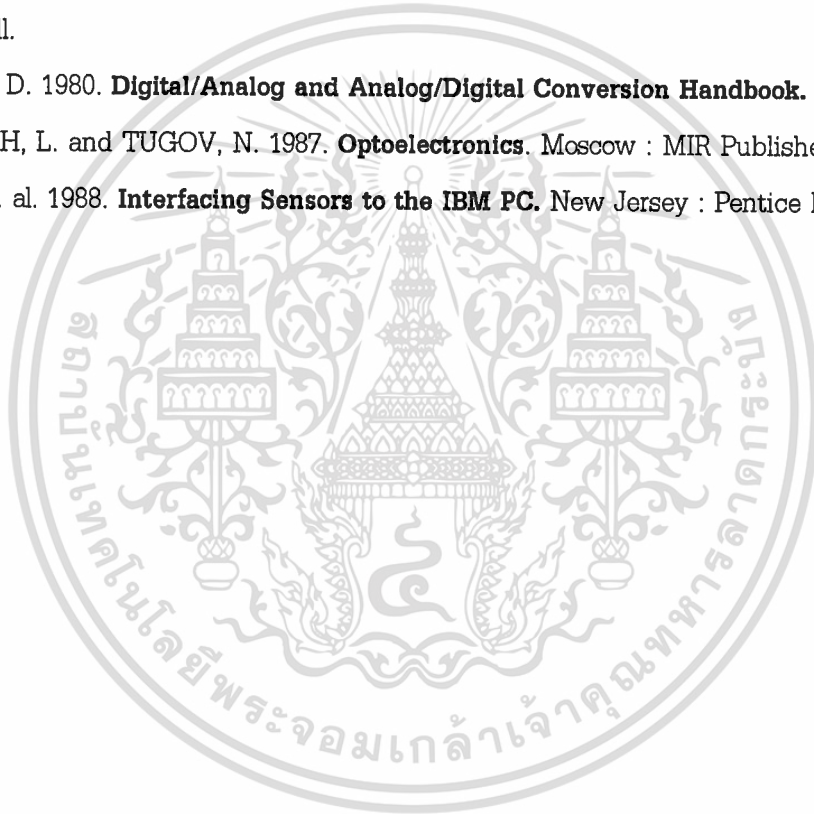
4. โครงสร้างของเครื่องตรวจข้อสอบควรทำด้วยโลหะ เช่น อลูมิเนียม หรือสแตนเลส
5. สามารถกำหนดรูปแบบกระดาษคำตอบของผู้ใช้ตามต้องการได้
6. เขียนโปรแกรมเพิ่มเติมสำหรับการประยุกต์ใช้งานด้านอื่น ๆ เช่น เก็บข้อมูลแบบสอบถามทั่วไป
7. พัฒนาหัวอ่านให้สามารถใช้กับรหัสแถบ หรือสามารถอ่านลายมือเขียนได้โดยตรง
8. ในส่วนของวงจรหัวอ่านควรใช้อุปกรณ์แปลงสัญญาณแอนะล็อกเป็นดิจิทัลที่ทำงานแบบมัลติเพล็กซ์หลายอินพุทเพื่อลดจำนวนอุปกรณ์



เอกสารนี้เป็นเอกสารที่สงวนไว้สำหรับการใช้งานเพื่อการศึกษาเท่านั้น ไม่อนุญาตให้นำไปใช้ประโยชน์ด้านการค้า  
ไม่ว่ากรณีใดๆทั้งสิ้น อีกทั้งห้ามมิให้ตัดแปลงเนื้อหา และต้องอ้างอิงถึงเจ้าของเอกสารทุกครั้งที่มีการนำไปใช้

## บรรณานุกรม

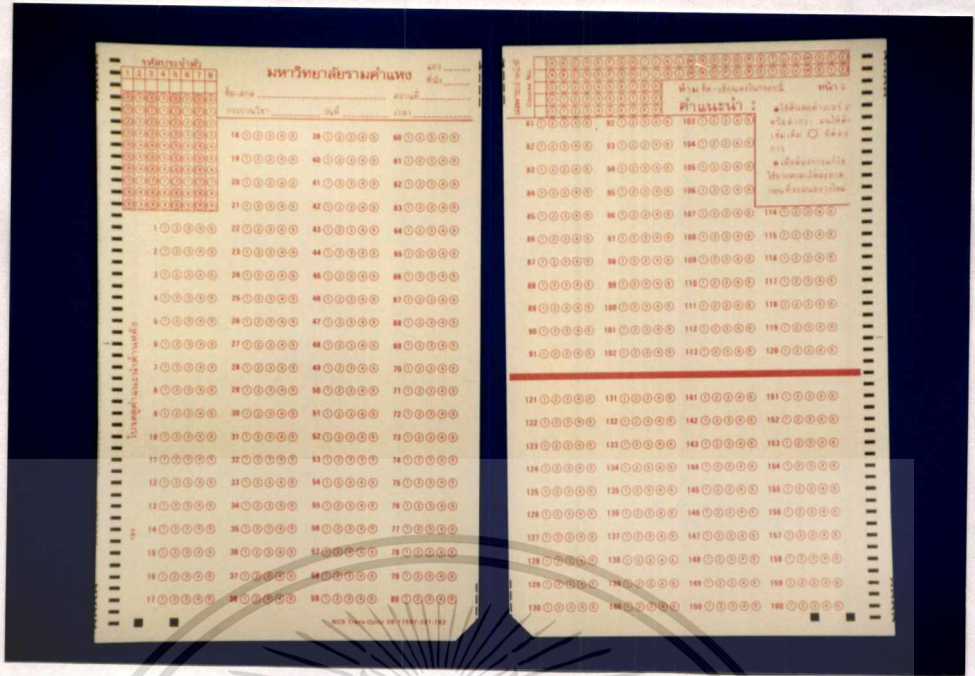
- คณะวิศวกรรมศาสตร์. "สเตปป์มอเตอร์". **วิศวกรรมลาดกระบัง**. เดือนเมษายน 2532 , ฉบับที่ 4.  
 ผ.ศ โยธิน เปรมปราณีรัตน์, 2526. **การวิเคราะห์และออกแบบระบบการควบคุมมอเตอร์**. แผนกตำราและ  
 เอกสารการพิมพ์ คณะวิศวกรรมศาสตร์ สถาบันเทคโนโลยีพระจอมเกล้าเจ้าคุณทหารลาดกระบัง.
- Chappell, A. 1978. **Optoelectronics : Theory and Practice**. New York : McGraw-Hill.
- Sporck, C.E. 1984. **Data Conversion/Acquistion Databook**. California : National  
 Semiconductor Corporation.
- Sheingold, D,H. 1986. **Analog - Digital Conversion Handbook**. 3th ed. New Jersey : Pentice  
 hall.
- Dumortier, D. 1980. **Digital/Analog and Analog/Digital Conversion Handbook**. Motorola Inc.
- SHARUPICH, L. and TUGOV, N. 1987. **Optoelectronics**. Moscow : MIR Publishers.
- Willis J. et. al. 1988. **Interfacing Sensors to the IBM PC**. New Jersey : Pentice hall.



เอกสารนี้เป็นเอกสารที่สงวนไว้สำหรับการใช้งานเพื่อการศึกษาเท่านั้น ไม่อนุญาตให้นำไปใช้ประโยชน์ด้านการค้า  
 ไม่ว่าจะกรณีใดๆทั้งสิ้น อีกทั้งห้ามมิให้ตัดแปลงเนื้อหา และต้องอ้างอิงถึงเจ้าของเอกสารทุกครั้งที่มีการนำไปใช้



เอกสารนี้เป็นเอกสารที่สงวนไว้สำหรับการใช้งานเพื่อการศึกษาเท่านั้น ไม่อนุญาตให้นำไปใช้ประโยชน์ด้านการค้า  
ไม่ว่ากรณีใดๆทั้งสิ้น อีกทั้งห้ามมิให้ตัดแปลงเนื้อหา และต้องอ้างอิงถึงเจ้าของเอกสารทุกครั้งที่มีการนำไปใช้

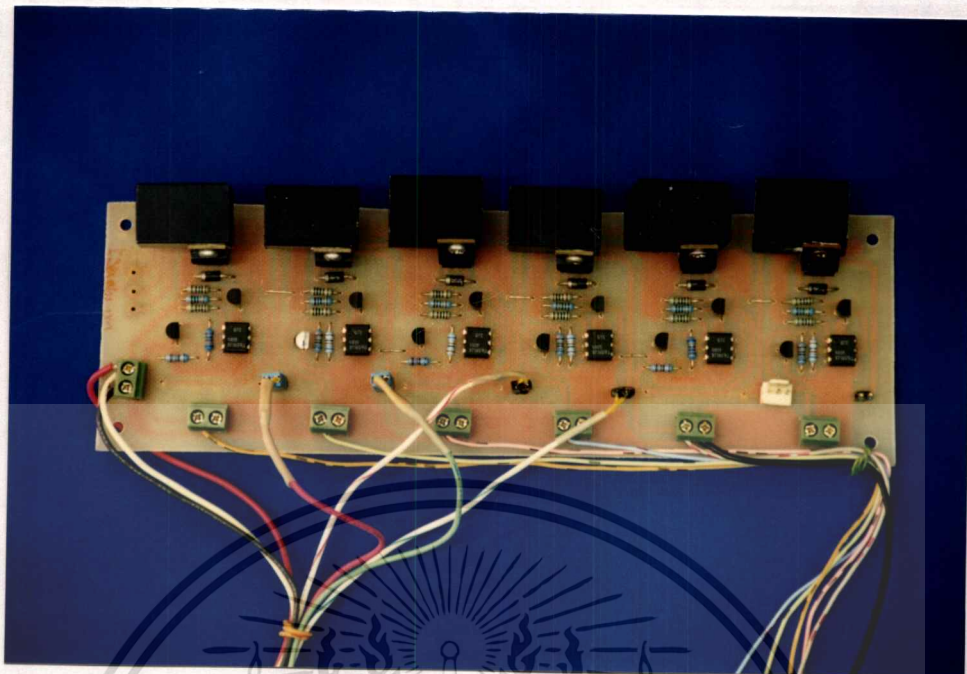


รูปที่ 1ก รูปแบบกระดาษคำตอบที่ใช้ในการทดสอบ

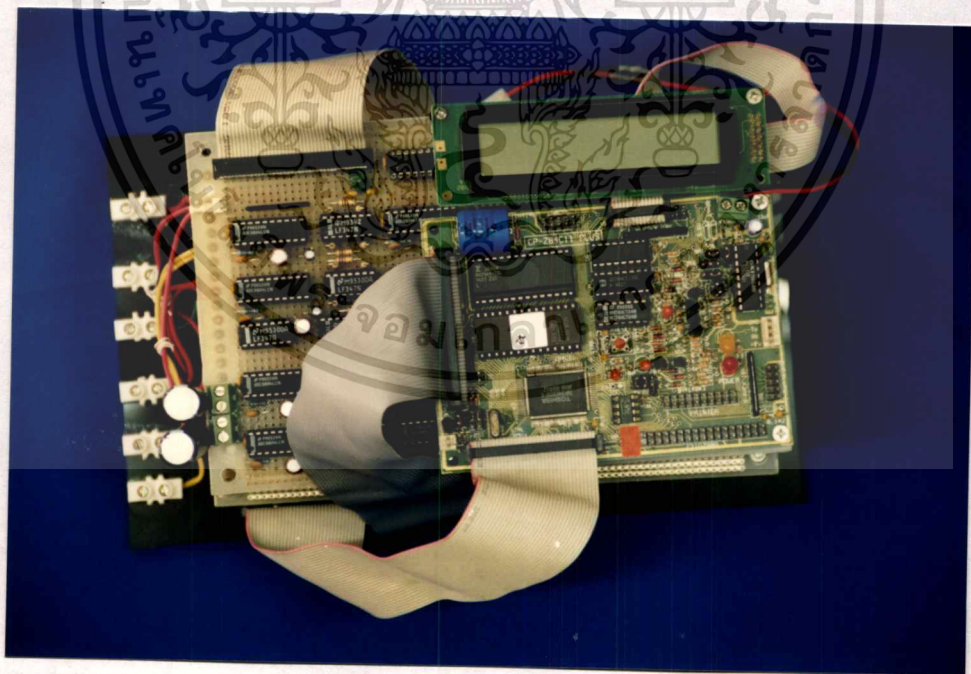


รูปที่ 2ก รูปแสดงตัวตรวจวัดความเข้มของดินสอบนกระดาษคำตอบ

เอกสารนี้เป็นเอกสารที่สงวนไว้สำหรับการใช้งานเพื่อการศึกษาเท่านั้น ไม่อนุญาตให้นำไปใช้ประโยชน์ด้านการค้า  
ไม่ว่ากรณีใดๆทั้งสิ้น อีกทั้งห้ามมิให้ดัดแปลงเนื้อหา และต้องอ้างอิงถึงเจ้าของเอกสารทุกครั้งที่มีการนำไปใช้

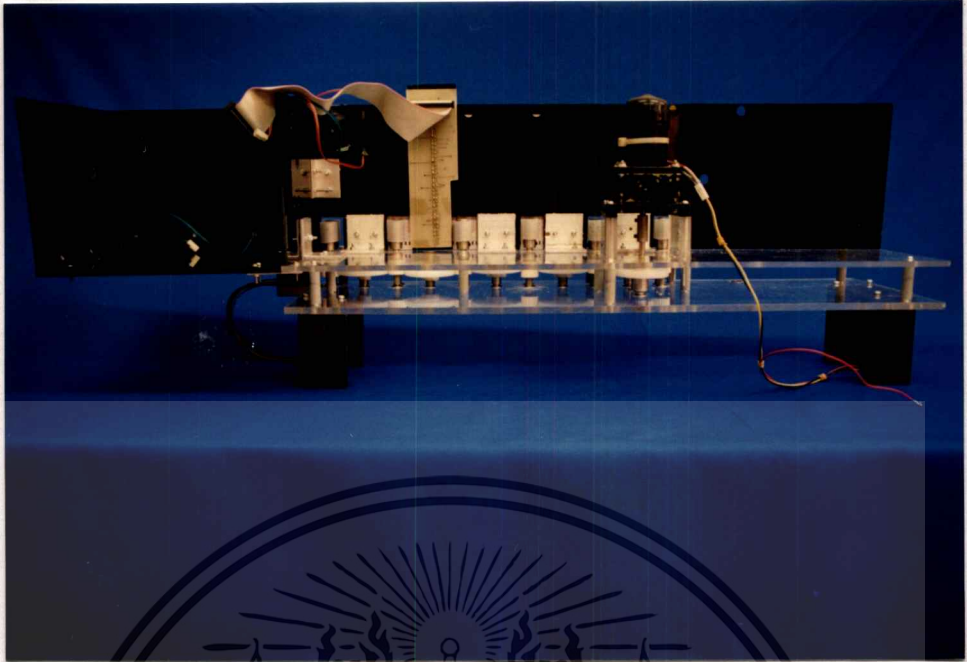


รูปที่ 3ก วงจรขับสเตปปีงมอเตอร์และวงจรขับดีซีมอเตอร์

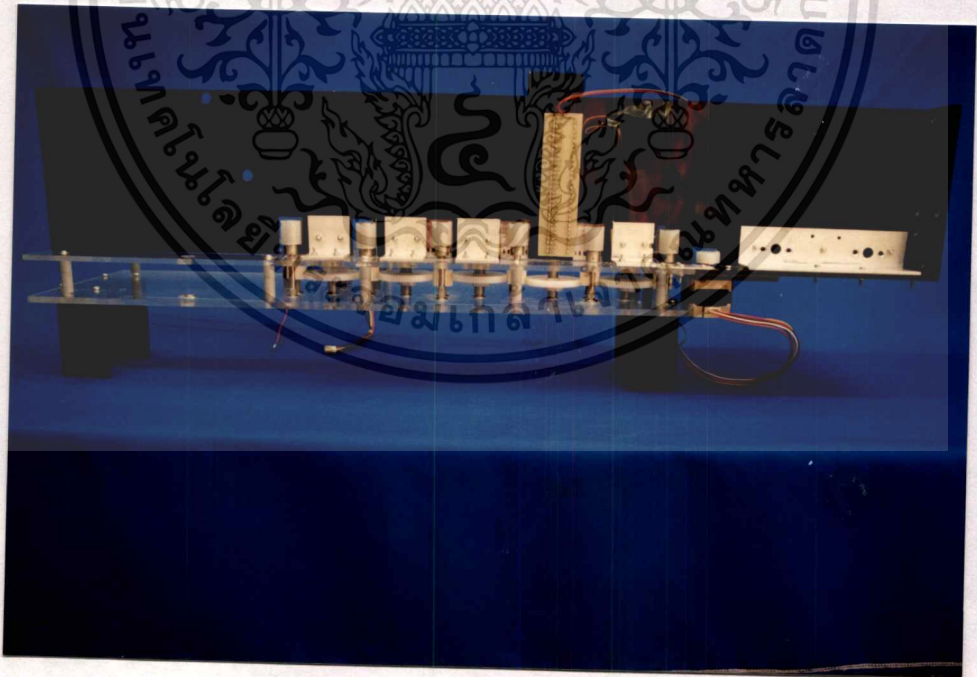


รูปที่ 4ก วงจรควบคุมการทำงานของเครื่องตรวจสอบ

เอกสารนี้เป็นเอกสารที่สงวนไว้สำหรับการใช้งานเพื่อการศึกษาเท่านั้น ไม่นอนุญาตให้นำไปใช้ประโยชน์ด้านการค้า  
ไม่ว่ากรณีใดๆทั้งสิ้น อีกทั้งห้ามมิให้ตัดแปลงเนื้อหา และต้องอ้างอิงถึงเจ้าของเอกสารทุกครั้งที่มีการนำไปใช้



รูปที่ 5ก ตัวเครื่องตรวจสอบข้อสอบด้านหน้า



รูปที่ 6ก ตัวเครื่องตรวจสอบข้อสอบด้านหลัง

เอกสารนี้เป็นเอกสารที่สงวนไว้สำหรับการใช้งานเพื่อการศึกษาเท่านั้น ไม่อนุญาตให้นำไปใช้ประโยชน์ด้านการค้า  
ไม่ว่ากรณีใดๆทั้งสิ้น อีกทั้งห้ามมิให้ดัดแปลงเนื้อหา และต้องอ้างอิงถึงเจ้าของเอกสารทุกครั้งที่มีการนำไปใช้



เอกสารนี้เป็นเอกสารที่สงวนไว้สำหรับการใช้งานเพื่อการศึกษาเท่านั้น ไม่อนุญาตให้นำไปใช้ประโยชน์ด้านการค้า  
ไม่ว่ากรณีใดๆทั้งสิ้น อีกทั้งห้ามมิให้ตัดแปลงเนื้อหา และต้องอ้างอิงถึงเจ้าของเอกสารทุกครั้งที่มีการนำไปใช้

```

0000          CPU    "Z80.TBL"
0000          HOF    "INT8"
;
; I/O CONTROL REGISTER ADDRESS
;
0050 =        PORTA:    EQU    50H
0051 =        PORTB:    EQU    51H
0052 =        PORTC:    EQU    52H
0030 =        PORTD:    EQU    30H
0040 =        PORTE:    EQU    40H
;
0054 =        ACON:     EQU    54H
0055 =        BCON:     EQU    55H
0056 =        CCON:     EQU    56H
0034 =        DCON:     EQU    34H
0044 =        ECON:     EQU    44H
0080 =        ATOD:     EQU    80H
00FF =        OFFADC:   EQU    0FFH
0000 =        INPUT:    EQU    00H
00FF =        OUTPUT:   EQU    0FFH
001F =        INOUT:    EQU    1FH
00FD =        HEADAD:   EQU    0FDH
00FE =        PAADC:    EQU    0FEH
0055 =        PAPER1:   EQU    55H
;
; I/O LCD PORT
;
0060 =        PDCON:    EQU    60H
0062 =        PDATA:    EQU    62H
0064 =        PFLAG:    EQU    64H
9F93 =        RST38:    EQU    9F93H
0000 =        ONELINE:  EQU    00H      ;FIRST LINE OF LCD DISPLAY
0040 =        TWOLINE:  EQU    40H      ;SECOND LINE OF LCD DISPLAY
A000 =        PAGE1:    EQU    0A000H   ;BUFFER FOR DATA FROM FIRST PAGE
A300 =        PAGE2:    EQU    0A300H   ;BUFFER FOR DATA FROM SECOND
; PAGE
A600 =        ANSW:     EQU    0A600H   ;BUFFER FOR ANSWER SHEET
A700 =        QUATI:    EQU    0A700H   ;BUFFER FOR CORRECT SHEET
A800 =        CODE:     EQU    0A800H   ;BUFFER FOR STUDENT CODE
A900 =        CODBUF:   EQU    0A900H
A80A =        POINT:    EQU    CODE+10  ;BUFFER FOR POINT
FF00 =        STATUS:   EQU    0FF00H
FF01 =        FORM:     EQU    STATUS+1
FF02 =        SUBSTA:   EQU    FORM+1
FF03 =        TMARK:    EQU    SUBSTA+1
FF04 =        MEMBUF:   EQU    TMARK+1
FF06 =        BUMODE:   EQU    MEMBUF+2
FF07 =        MEMPA1:   EQU    BUMODE+1
FF09 =        MEMPA2:   EQU    MEMPA1+2
FF0B =        READY:   EQU    MEMPA2+2
FF0C =        PERROR:   EQU    READY+1
FF0D =        DUM:      EQU    PERROR+1
;
8000          ORG      8000H
8000 ED56     START:   IM          1
8002 F3       DI

```

เอกสารนี้เป็นเอกสารที่สงวนไว้สำหรับการใช้งานเพื่อการศึกษาเท่านั้น ไม่อนุญาตให้นำไปใช้ประโยชน์ด้านการค้า  
ไม่ว่ากรณีใดๆทั้งสิ้น อีกทั้งห้ามมิให้ตัดแปลงเนื้อหา และต้องอ้างอิงถึงเจ้าของเอกสารทุกครั้งที่มีการนำไปใช้

|             |      |            |
|-------------|------|------------|
| 8003 3100F0 | LD   | SP,0F000H  |
| 8006 AF     | XOR  | A          |
| 8007 3200FF | LD   | (STATUS),A |
| 800A 3201FF | LD   | (FORM),A   |
| 800D 3202FF | LD   | (SUBSTA),A |
| 8010 3206FF | LD   | (BUMODE),A |
| 8013 320BFF | LD   | (READY),A  |
| 8016 3EFF   | LD   | A,OUTPUT   |
| 8018 D354   | OUT  | (ACON),A   |
| 801A D355   | OUT  | (BCON),A   |
| 801C 3E00   | LD   | A,INPUT    |
| 801E D356   | OUT  | (CCON),A   |
| 8020 3E1F   | LD   | A,INOUT    |
| 8022 D334   | OUT  | (DCON),A   |
| 8024 AF     | XOR  | A          |
| 8025 D330   | OUT  | (PORTD),A  |
| 8027 3EFF   | LD   | A,OFFADC   |
| 8029 D351   | OUT  | (PORTB),A  |
| 802B CDAA86 | CALL | INITLCD    |
| 802E 3E00   | LD   | A,ONELINE  |
| 8030 CD9086 | CALL | GOTO       |
| 8033 21F986 | LD   | HL,TABLE   |
| 8036 CD9F86 | CALL | SHOW       |
| 8039 06FF   | LD   | B,0FFH     |
| 803B CDD186 | CALL | DELAY1     |
| 803E 10FB   | DJNZ | STR        |
| 8040 3E00   | LD   | A,ONELINE  |
| 8042 CD9086 | CALL | GOTO       |
| 8045 217187 | LD   | HL,SFORM   |
| 8048 CD9F86 | CALL | SHOW       |
| 804B 3E40   | LD   | A,TWOLINE  |
| 804D CD9086 | CALL | GOTO       |
| 8050 213587 | LD   | HL,PRESS   |
| 8053 CD9F86 | CALL | SHOW       |
| 8056 21EF82 | LD   | HL,INTR    |
| 8059 22939F | LD   | (RST38),HL |
| 805C CDD886 | CALL | KEYPAD     |
| 805F AF     | XOR  | A          |
| 8060 B9     | CP   | C          |
| 8061 28F9   | JR   | Z,MAIN     |
| 8063 79     | LD   | A,C        |
| 8064 FE01   | CP   | 01H        |
| 8066 2807   | JR   | Z,SELECT   |
| 8068 FE02   | CP   | 02H        |
| 806A CA1F81 | JP   | Z,DONE     |
| 806D 18ED   | JR   | MAIN       |
| 806F 3A02FF | LD   | A,(SUBSTA) |
| 8072 FE01   | CP   | 01H        |
| 8074 CAA280 | JP   | Z,SUBSEL   |
| 8077 3A00FF | LD   | A,(STATUS) |
| 807A 3C     | INC  | A          |
| 807B 3200FF | LD   | (STATUS),A |
| 807E FE04   | CP   | 04H        |
| 8080 2001   | JR   | NZ,SEL     |
| 8082 AF     | XOR  | A          |
| 8083 3200FF | LD   | (STATUS),A |

เอกสารนี้เป็นเอกสารที่สงวนไว้สำหรับการใช้งานเพื่อการศึกษาเท่านั้น ไม่อนุญาตให้นำไปใช้ประโยชน์ด้านการค้า

ไม่ว่ากรณีใดๆทั้งสิ้น อีกทั้งห้ามมิให้ตัดแปลงเนื้อหา และต้องอ้างอิงถึงเจ้าของเอกสารทุกครั้งที่มีการนำไปใช้

|             |          |      |            |
|-------------|----------|------|------------|
| 8086 FE00   |          | CP   | 00H        |
| 8088 CA0981 |          | JP   | Z,SELFORM  |
| 808B FE01   |          | CP   | 01H        |
| 808D CA1481 |          | JP   | Z,ANSWER   |
| 8090 FE02   |          | CP   | 02H        |
| 8092 286A   |          | JR   | Z,SCAN     |
| 8094 3E00   | FUNC:    | LD   | A,ONELINE  |
| 8096 CD9086 |          | CALL | GOTO       |
| 8099 212187 |          | LD   | HL,SET     |
| 809C CD9F86 | SEL1:    | CALL | SHOW       |
| 809F C35C80 |          | JP   | MAIN       |
| 80A2 3A00FF | SUBSEL:  | LD   | A,(STATUS) |
| 80A5 FE00   |          | CP   | 00H        |
| 80A7 2807   |          | JR   | Z,SUBFORM  |
| 80A9 FE03   |          | CP   | 03H        |
| 80AB 2824   |          | JR   | Z,SUBSET   |
| 80AD C35C80 |          | JP   | MAIN       |
| 80B0 3A01FF | SUBFORM: | LD   | A,(FORM)   |
| 80B3 3C     |          | INC  | A          |
| 80B4 3201FF |          | LD   | (FORM),A   |
| 80B7 FE02   |          | CP   | 02H        |
| 80B9 2004   |          | JR   | NZ,SUBF1   |
| 80BB AF     |          | XOR  | A          |
| 80BC 3201FF |          | LD   | (FORM),A   |
| 80BF 3E4D   | SUBF1:   | LD   | A,4DH      |
| 80C1 CD9086 |          | CALL | GOTO       |
| 80C4 3A01FF |          | LD   | A,(FORM)   |
| 80C7 F630   |          | OR   | 30H        |
| 80C9 D362   |          | OUT  | (PDATA),A  |
| 80CB CD9886 |          | CALL | CHECK      |
| 80CE C35C80 |          | JP   | MAIN       |
| 80D1 3A06FF | SUBSET:  | LD   | A,(BUMODE) |
| 80D4 3C     |          | INC  | A          |
| 80D5 3206FF |          | LD   | (BUMODE),A |
| 80D8 FE02   |          | CP   | 02H        |
| 80DA 2004   |          | JR   | NZ,SUBS1   |
| 80DC AF     |          | XOR  | A          |
| 80DD 3206FF |          | LD   | (BUMODE),A |
| 80E0 3E46   | SUBS1:   | LD   | A,46H      |
| 80E2 CD9086 |          | CALL | GOTO       |
| 80E5 3A06FF |          | LD   | A,(BUMODE) |
| 80E8 FE01   |          | CP   | 01H        |
| 80EA 280B   |          | JR   | Z,SUBS2    |
| 80EC 21C187 |          | LD   | HL,STAND   |
| 80EF 060D   |          | LD   | B,13       |
| 80F1 CDA186 | SUBS11:  | CALL | TEST11     |
| 80F4 C35C80 |          | JP   | MAIN       |
| 80F7 21CE87 | SUBS2:   | LD   | HL,COMPU   |
| 80FA 060D   |          | LD   | B,13       |
| 80FC 18F3   |          | JR   | SUBS11     |
| 80FE 3E00   | SCAN:    | LD   | A,ONELINE  |
| 8100 CD9086 |          | CALL | GOTO       |
| 8103 214987 |          | LD   | HL,BEGIN   |
| 8106 C39C80 |          | JP   | SEL1       |
| 8109 3E00   | SELFORM: | LD   | A,ONELINE  |
| 810B CD9086 |          | CALL | GOTO       |

|             |          |      |            |
|-------------|----------|------|------------|
| 810E 217187 |          | LD   | HL,SFORM   |
| 8111 C39C80 |          | JP   | SEL1       |
| 8114 3E00   | ANSWER:  | LD   | A,ONELINE  |
| 8116 CD9086 |          | CALL | GOTO       |
| 8119 210D87 |          | LD   | HL,GET     |
| 811C C39C80 |          | JP   | SEL1       |
| 811F 3A02FF | DONE:    | LD   | A,(SUBSTA) |
| 8122 FE01   |          | CP   | 01H        |
| 8124 CA5E83 |          | JP   | Z,SUBDO    |
| 8127 3A00FF |          | LD   | A,(STATUS) |
| 812A FE00   |          | CP   | 00H        |
| 812C CA6B81 |          | JP   | Z,FORMSEL  |
| 812F FE01   |          | CP   | 01H        |
| 8131 CA8D81 |          | JP   | Z,GETPOI   |
| 8134 FE02   |          | CP   | 02H        |
| 8136 CA2C82 |          | JP   | Z,BSCAN    |
| 8139 3E01   | FUNSET:  | LD   | A,01H      |
| 813B 3202FF |          | LD   | (SUBSTA),A |
| 813E 3E40   |          | LD   | A,TWOLINE  |
| 8140 CD9086 |          | CALL | GOTO       |
| 8143 21AD87 |          | LD   | HL,SEMODE  |
| 8146 CD9F86 |          | CALL | SHOW       |
| 8149 3E46   |          | LD   | A,46H      |
| 814B CD9086 |          | CALL | GOTO       |
| 814E 3A06FF |          | LD   | A,(BUMODE) |
| 8151 FE00   |          | CP   | 00H        |
| 8153 200B   |          | JR   | NZ,COMODE  |
| 8155 21C187 | SELF:    | LD   | HL,STAND   |
| 8158 060D   |          | LD   | B,13       |
| 815A CDA186 |          | CALL | TEST11     |
| 815D C35C80 |          | JP   | MAIN       |
| 8160 060D   | COMODE:  | LD   | B,13       |
| 8162 21CE87 |          | LD   | HL,COMPU   |
| 8165 CDA186 |          | CALL | TEST11     |
| 8168 C35C80 |          | JP   | MAIN       |
| 816B 3E01   | FORMSEL: | LD   | A,01H      |
| 816D 3202FF |          | LD   | (SUBSTA),A |
| 8170 3E40   |          | LD   | A,TWOLINE  |
| 8172 CD9086 |          | CALL | GOTO       |
| 8175 21DB87 |          | LD   | HL,SEFORM  |
| 8178 CD9F86 |          | CALL | SHOW       |
| 817B 3E4D   |          | LD   | A,4DH      |
| 817D CD9086 |          | CALL | GOTO       |
| 8180 3A01FF |          | LD   | A,(FORM)   |
| 8183 F630   |          | OR   | 30H        |
| 8185 D362   |          | OUT  | (PDATA),A  |
| 8187 CD9886 |          | CALL | CHECK      |
| 818A C35C80 |          | JP   | MAIN       |
| 818D 3E55   | GETPOI:  | LD   | A,PAPER1   |
| 818F D350   |          | OUT  | (PORTA),A  |
| 8191 AF     |          | XOR  | A          |
| 8192 3203FF |          | LD   | (TMARK),A  |
| 8195 3E40   |          | LD   | A,TWOLINE  |
| 8197 CD9086 |          | CALL | GOTO       |
| 819A 218587 |          | LD   | HL,WHREAD  |
| 819D CD9F86 |          | CALL | SHOW       |

เอกสารนี้เป็นเอกสารที่สงวนไว้สำหรับการใช้งานเพื่อการศึกษาเท่านั้น ไม่อนุญาตให้นำไปใช้ประโยชน์ด้านการค้า  
ไม่ว่ากรณีใดๆทั้งสิ้น อีกทั้งห้ามมิให้ตัดแปลงเนื้อหา และต้องอ้างอิงถึงเจ้าของเอกสารทุกครั้งที่มีการนำไปใช้

|             |        |             |
|-------------|--------|-------------|
| 81A0 2100A0 | LD     | HL,PAGE1    |
| 81A3 2207FF | LD     | (MEMPA1),HL |
| 81A6 2100A3 | LD     | HL,PAGE2    |
| 81A9 2209FF | LD     | (MEMPA2),HL |
| 81AC DB30   | IN     | A,(PORTD)   |
| 81AE CBE7   | SET    | 4,A         |
| 81B0 D330   | OUT    | (PORTD),A   |
| 81B2 CD6186 | CALL   | MOTOR       |
| 81B5 DB51   | IN     | A,(PORTB)   |
| 81B7 CBFF   | SET    | 7,A         |
| 81B9 D351   | OUT    | (PORTB),A   |
| 81BB FB     | EI     |             |
| 81BC 3E4C   | LD     | A,4CH       |
| 81BE CD9086 | CALL   | GOTO        |
| 81C1 3A03FF | LD     | A,(TMARK)   |
| 81C4 FE49   | CP     | 49H         |
| 81C6 CAE881 | JP     | Z,ENDR      |
| 81C9 0F     | RRCA   |             |
| 81CA 0F     | RRCA   |             |
| 81CB 0F     | RRCA   |             |
| 81CC 0F     | RRCA   |             |
| 81CD E60F   | AND    | 0FH         |
| 81CF F630   | OR     | 30H         |
| 81D1 D362   | OUT    | (PDATA),A   |
| 81D3 CD9886 | CALL   | CHECK       |
| 81D6 3A03FF | LD     | A,(TMARK)   |
| 81D9 E60F   | AND    | 0FH         |
| 81DB F630   | OR     | 0H          |
| 81DD D362   | OUT    | (PDATA),A   |
| 81DF CD9886 | CALL   | CHECK       |
| 81E2 C3BC81 | JP     | GETPO1      |
| 81E5 0C     | COUN:  | INC         |
| 81E6 1816   |        | JR          |
| 81E8 F3     | ENDR:  | DI          |
| 81E9 DB51   |        | IN          |
| 81EB CBBF   |        | RES         |
| 81ED D351   |        | OUT         |
| 81EF CD8583 |        | CALL        |
| 81F2 2100A6 |        | LD          |
| 81F5 06A0   |        | LD          |
| 81F7 0E00   |        | LD          |
| 81F9 7E     | COUNT: | LD          |
| 81FA FE00   |        | CP          |
| 81FC 20E7   |        | JR          |
| 81FE 23     | COUN1: | INC         |
| 81FF 10F8   |        | DJNZ        |
| 8201 79     |        | LD          |
| 8202 320DFF |        | LD          |
| 8205 AF     |        | XOR         |
| 8206 3203FF |        | LD          |
| 8209 3E02   |        | LD          |
| 820B 3200FF |        | LD          |
| 820E 3EFF   |        | LD          |
| 8210 320BFF |        | LD          |
| 8213 3E00   |        | LD          |
| 8215 CD9086 |        | CALL        |

|             |         |      |             |
|-------------|---------|------|-------------|
| 8218 214987 |         | LD   | HL,BEGIN    |
| 821B CD9F86 |         | CALL | SHOW        |
| 821E 3E40   |         | LD   | A,TWOLINE   |
| 8220 CD9086 |         | CALL | GOTO        |
| 8223 213587 |         | LD   | HL,PRESS    |
| 8226 CD9F86 |         | CALL | SHOW        |
| 8229 C35C80 |         | JP   | MAIN        |
| 822C 3A0BFF | BSCAN:  | LD   | A,(READY)   |
| 822F FE00   |         | CP   | 00H         |
| 8231 CA5E83 |         | JP   | Z,SUBDO     |
| 8234 3E55   |         | LD   | A,PAPER1    |
| 8236 D350   |         | OUT  | (PORTA),A   |
| 8238 DB30   |         | IN   | A,(PORTD)   |
| 823A CBE7   |         | SET  | 4,A         |
| 823C D330   |         | OUT  | (PORTD),A   |
| 823E AF     | BSCA21: | XOR  | A           |
| 823F 3203FF |         | LD   | (TMARK),A   |
| 8242 3E40   |         | LD   | A,TWOLINE   |
| 8244 CD9086 |         | CALL | GOTO        |
| 8247 218587 |         | LD   | HL,WHREAD   |
| 824A CD9F86 |         | CALL | SHOW        |
| 824D 2100A0 |         | LD   | HL,PAGE1    |
| 8250 2207FF |         | LD   | (MEMPA1),HL |
| 8253 2100A3 |         | LD   | HL,PAGE2    |
| 8256 2209FF |         | LD   | (MEMPA2),HL |
| 8259 CD6186 |         | CALL | MOTOR       |
| 825C DB51   |         | IN   | A,(PORTB)   |
| 825E CBFF   |         | SET  | 7,A         |
| 8260 D351   |         | OUT  | (PORTB),A   |
| 8262 FB     |         | EI   |             |
| 8263 3E4C   | BSCAN1: | LD   | A,4CH       |
| 8265 CD9086 |         | CALL | GOTO        |
| 8268 3A03FF |         | LD   | A,(TMARK)   |
| 826B FE49   |         | CP   | 49H         |
| 826D CA8C82 |         | JP   | Z,ENDS      |
| 8270 0F     |         | RRCA |             |
| 8271 0F     |         | RRCA |             |
| 8272 0F     |         | RRCA |             |
| 8273 0F     |         | RRCA |             |
| 8274 E60F   |         | AND  | 0FH         |
| 8276 F630   |         | OR   | 30H         |
| 8278 D362   |         | OUT  | (PDATA),A   |
| 827A CD9886 |         | CALL | CHECK       |
| 827D 3A03FF |         | LD   | A,(TMARK)   |
| 8280 E60F   |         | AND  | 0FH         |
| 8282 F630   |         | OR   | 30H         |
| 8284 D362   |         | OUT  | (PDATA),A   |
| 8286 CD9886 |         | CALL | CHECK       |
| 8289 C36382 |         | JP   | BSCAN1      |
| 828C F3     | ENDS:   | DI   |             |
| 828D DB51   |         | IN   | A,(PORTB)   |
| 828F CBBF   |         | RES  | 7,A         |
| 8291 D351   |         | OUT  | (PORTB),A   |
| 8293 CD8583 |         | CALL | REFORM      |
| 8296 CDDF84 |         | CALL | GETID       |
| 8299 CD0486 |         | CALL | ERROR       |

เอกสารนี้เป็นเอกสารที่สงวนไว้สำหรับการใช้งานเพื่อการศึกษาเท่านั้น ไม่อนุญาตให้นำไปใช้ประโยชน์ด้านการค้า  
ไม่ว่ากรณีใดๆทั้งสิ้น อีกทั้งห้ามมิให้ดัดแปลงเนื้อหา และต้องอ้างอิงถึงเจ้าของเอกสารทุกครั้งที่มีการนำไปใช้

|               |         |      |             |
|---------------|---------|------|-------------|
| 829C 3A0CFF   |         | LD   | A,(PERROR)  |
| 829F FEFF     |         | CP   | 0FFH        |
| 82A1 283E     |         | JR   | Z,ENDSS     |
| 82A3 CDE585   |         | CALL | GETPT       |
| 82A6 3E40     | ENDS1:  | LD   | A,TWOLINE   |
| 82A8 CD9086   |         | CALL | GOTO        |
| 82AB 219987   |         | LD   | HL,STDID    |
| 82AE CD9F86   |         | CALL | SHOW        |
| 82B1 3E43     |         | LD   | A,43H       |
| 82B3 CD9086   |         | CALL | GOTO        |
| 82B6 060A     |         | LD   | B,10        |
| 82B8 2100A8   |         | LD   | HL,CODE     |
| 82BB CDA186   |         | CALL | TEST11      |
| 82BE 3E51     |         | LD   | A,51H       |
| 82C0 CD9086   |         | CALL | GOTO        |
| 82C3 210AA8   |         | LD   | HL,POINT    |
| 82C6 0603     |         | LD   | B,3         |
| 82C8 CDA186   |         | CALL | TEST11      |
| 82CB 3A06FF   |         | LD   | A,(BUMODE)  |
| 82CE FE01     |         | CP   | 01H         |
| 82D0 CA8D86   |         | JP   | Z,SERIAL    |
| 82D3 DB30     | P:      | IN   | A,(PORTD)   |
| 82D5 CB77     |         | BIT  | 6,A         |
| 82D7 CA0080   |         | JP   | Z,START     |
| 82DA CB7F     |         | BIT  | 7,A         |
| 82DC 20F5     |         | JR   | NZ,P        |
| 82DE C33E82   |         | JP   | BSCA21      |
| 82E1 210AA8   | ENDSS:  | LD   | HL,POINT    |
| 82E4 3E3F     |         | LD   | A,3FH       |
| 82E6 0603     |         | LD   | B,03H       |
| 82E8 77       | ENDSS1: | LD   | (HL),A      |
| 82E9 23       |         | INC  | HL          |
| 82EA 10FC     |         | DJNZ | ENDSS1      |
| 82EC C3A682   |         | JP   | ENDS1       |
| 82EF F3       | INTR:   | DI   |             |
| 82F0 08       |         | EX   | AF,AF'      |
| 82F1 D9       |         | EXX  |             |
| 82F2 DB51     |         | IN   | A,(PORTB)   |
| 82F4 CBBF     |         | RES  | 7,A         |
| 82F6 D351     |         | OUT  | (PORTB),A   |
| 82F8 3A03FF   |         | LD   | A,(TMARK)   |
| 82FB FE49     |         | CP   | 49H         |
| 82FD CA4483   |         | JP   | Z,BACK1     |
| 8300 2A07FF   |         | LD   | HL,(MEMPA1) |
| 8303 ED5B09FF |         | LD   | DE,(MEMPA2) |
| 8307 3EFD     |         | LD   | A,HEADAD    |
| 8309 DB51     |         | IN   | A,(PORTB)   |
| 830B CB8F     |         | RES  | 1,A         |
| 830D D351     |         | OUT  | (PORTB),A   |
| 830F 00       |         | NOP  |             |
| 8310 00       |         | NOP  |             |
| 8311 00       |         | NOP  |             |
| 8312 DB51     |         | IN   | A,(PORTB)   |
| 8314 CBCF     |         | SET  | 1,A         |
| 8316 D351     |         | OUT  | (PORTB),A   |
| 8318 DB52     | OD:     | IN   | A,(PORTC)   |

|               |         |      |             |
|---------------|---------|------|-------------|
| 831A CB47     |         | BIT  | 0,A         |
| 831C 20FA     |         | JR   | NZ,OD       |
| 831E 3A03FF   |         | LD   | A,(TMARK)   |
| 8321 CB47     |         | BIT  | 0,A         |
| 8323 CA4F83   |         | JP   | Z,EVEN      |
| 8326 EB       | ODD:    | EX   | DE,HL       |
| 8327 061D     |         | LD   | B,29        |
| 8329 0E80     |         | LD   | C,ATOD      |
| 832B ED78     | AGAIN:  | IN   | A,(C)       |
| 832D 2F       |         | CPL  |             |
| 832E 77       |         | LD   | (HL),A      |
| 832F 23       |         | INC  | HL          |
| 8330 0C       |         | INC  | C           |
| 8331 10F8     |         | DJNZ | AGAIN       |
| 8333 EB       |         | EX   | DE,HL       |
| 8334 2207FF   | BACK:   | LD   | (MEMPA1),HL |
| 8337 ED5309FF |         | LD   | (MEMPA2),DE |
| 833B 3A03FF   |         | LD   | A,(TMARK)   |
| 833E C601     |         | ADD  | A,01        |
| 8340 27       |         | DAA  |             |
| 8341 3203FF   |         | LD   | (TMARK),A   |
| 8344 DB51     | BACK1:  | IN   | A,(PORTB)   |
| 8346 CBFF     |         | SET  | 7,A         |
| 8348 D351     |         | OUT  | (PORTB),A   |
| 834A 08       |         | EX   | AF,AF'      |
| 834B D9       |         | EXX  |             |
| 834C FB       |         | EI   |             |
| 834D ED4D     |         | RETI |             |
| 834F 061D     | EVEN:   | LD   | B,29        |
| 8351 0E80     |         | LD   | C,ATOD      |
| 8353 ED78     | GAIN:   | IN   | A,(C)       |
| 8355 2F       |         | CPL  |             |
| 8356 77       |         | LD   | (HL),A      |
| 8357 23       |         | INC  | HL          |
| 8358 0C       |         | INC  | C           |
| 8359 10F8     |         | DJNZ | GAIN        |
| 835B C33483   |         | JP   | BACK        |
| 835E AF       | SUBDO:  | XOR  | A           |
| 835F 3202FF   |         | LD   | (SUBSTA),A  |
| 8362 3200FF   |         | LD   | (STATUS),A  |
| 8365 3E01     |         | LD   | A,01H       |
| 8367 D360     |         | OUT  | (PDCON),A   |
| 8369 CD9886   |         | CALL | CHECK       |
| 836C 3E00     |         | LD   | A,ONELINE   |
| 836E CD9086   |         | CALL | GOTO        |
| 8371 217187   |         | LD   | HL,SFORM    |
| 8374 CD9F86   |         | CALL | SHOW        |
| 8377 3E40     |         | LD   | A,TWOLINE   |
| 8379 CD9086   |         | CALL | GOTO        |
| 837C 213587   |         | LD   | HL,PRESS    |
| 837F CD9F86   |         | CALL | SHOW        |
| 8382 C35C80   |         | JP   | MAIN        |
| 8385 0603     | REFORM: | LD   | B,03H       |
| 8387 0ED5     |         | LD   | C,0D5H      |
| 8389 2100A0   |         | LD   | HL,PAGE1    |
| 838C CDC684   |         | CALL | CHANG       |

เอกสารนี้เป็นเอกสารที่สงวนไว้สำหรับการใช้งานเพื่อการศึกษาเท่านั้น ไม่อนุญาตให้นำไปใช้ประโยชน์ด้านการค้า  
ไม่ว่ากรณีใดๆทั้งสิ้น อีกทั้งห้ามมิให้ตัดแปลงเนื้อหา และต้องอ้างอิงถึงเจ้าของเอกสารทุกครั้งที่มีการนำไปใช้

|               |      |             |
|---------------|------|-------------|
| 838F 0603     | LD   | B,03H       |
| 8391 0EB8     | LD   | C,0B8H      |
| 8393 2100A3   | LD   | HL,PAGE2    |
| 8396 CDC684   | CALL | CHANG       |
| 8399 DD2100A6 | LD   | IX,ANSW     |
| 839D 3A00FF   | LD   | A,(STATUS)  |
| 83A0 FE01     | CP   | 01H         |
| 83A2 2804     | JR   | Z,REFO1     |
| 83A4 DD2100A7 | LD   | IX,QUATI    |
| 83A8 2100A0   | LD   | HL,PAGE1    |
| 83AB 0607     | LD   | B,07H       |
| 83AD CDD884   | CALL | CALADD      |
| 83B0 110300   | LD   | DE,0003H    |
| 83B3 19       | ADD  | HL,DE       |
| 83B4 2207FF   | LD   | (MEMPA1),HL |
| 83B7 0611     | LD   | B,17        |
| 83B9 CD7F84   | CALL | REFO2       |
| 83BC 2100A0   | LD   | HL,PAGE1    |
| 83BF 0603     | LD   | B,03H       |
| 83C1 CDD884   | CALL | CALADD      |
| 83C4 2204FF   | LD   | (MEMBUF),HL |
| 83C7 110A00   | LD   | DE,000AH    |
| 83CA 19       | ADD  | HL,DE       |
| 83CB 2207FF   | LD   | (MEMPA1),HL |
| 83CE 0615     | LD   | B,21        |
| 83D0 CD7F84   | CALL | REFO2       |
| 83D3 2A04FF   | LD   | HL,(MEMBUF) |
| 83D6 111100   | LD   | DE,0011H    |
| 83D9 19       | ADD  | HL,DE       |
| 83DA 2207FF   | LD   | (MEMPA1),HL |
| 83DD 0615     | LD   | B,21        |
| 83DF CD7F84   | CALL | REFO2       |
| 83E2 2A04FF   | LD   | HL,(MEMBUF) |
| 83E5 111800   | LD   | DE,0018H    |
| 83E8 19       | ADD  | HL,DE       |
| 83E9 2207FF   | LD   | (MEMPA1),HL |
| 83EC 0615     | LD   | B,21        |
| 83EE CD7F84   | CALL | REFO2       |
| 83F1 2100A3   | LD   | HL,PAGE2    |
| 83F4 0602     | LD   | B,02H       |
| 83F6 CDD884   | CALL | CALADD      |
| 83F9 2204FF   | LD   | (MEMBUF),HL |
| 83FC 111700   | LD   | DE,0017H    |
| 83FF 19       | ADD  | HL,DE       |
| 8400 2209FF   | LD   | (MEMPA2),HL |
| 8403 060B     | LD   | B,11        |
| 8405 CD9D84   | CALL | REFO5       |
| 8408 2A04FF   | LD   | HL,(MEMBUF) |
| 840B 111000   | LD   | DE,0010H    |
| 840E 19       | ADD  | HL,DE       |
| 840F 2209FF   | LD   | (MEMPA2),HL |
| 8412 060B     | LD   | B,11        |
| 8414 CD9D84   | CALL | REFO5       |
| 8417 2A04FF   | LD   | HL,(MEMBUF) |
| 841A 110900   | LD   | DE,0009H    |
| 841D 19       | ADD  | HL,DE       |

REFO1:

|             |      |             |
|-------------|------|-------------|
| 841E 2209FF | LD   | (MEMPA2),HL |
| 8421 060B   | LD   | B,11        |
| 8423 CD9D84 | CALL | REFO5       |
| 8426 2100A3 | LD   | HL,PAGE2    |
| 8429 0606   | LD   | B,06H       |
| 842B CDD884 | CALL | CALADD      |
| 842E 110200 | LQ   | DE,0002H    |
| 8431 19     | ADD  | HL,DE       |
| 8432 2209FF | LD   | (MEMPA2),HL |
| 8435 0607   | LD   | B,07H       |
| 8437 CD9D84 | CALL | REFO5       |
| 843A 2100A3 | LD   | HL,PAGE2    |
| 843D 060E   | LD   | B,14        |
| 843F CDD884 | CALL | CALADD      |
| 8442 2204FF | LD   | (MEMBUF),HL |
| 8445 111700 | LD   | DE,0017H    |
| 8448 19     | ADD  | HL,DE       |
| 8449 2209FF | LD   | (MEMPA2),HL |
| 844C 060A   | LD   | B,10        |
| 844E CD9D84 | CALL | REFO5       |
| 8451 2A04FF | LD   | HL,(MEMBUF) |
| 8454 111000 | LD   | DE,0010H    |
| 8457 19     | ADD  | HL,DE       |
| 8458 2209FF | LD   | (MEMPA2),HL |
| 845B 060A   | LD   | B,10        |
| 845D CD9D84 | CALL | REFO5       |
| 8460 2A04FF | LD   | HL,(MEMBUF) |
| 8463 110900 | LD   | DE,0009H    |
| 8466 19     | ADD  | HL,DE       |
| 8467 2209FF | LD   | (MEMPA2),HL |
| 846A 060A   | LD   | B,10        |
| 846C CD9D84 | CALL | REFO5       |
| 846F 2A04FF | LD   | HL,(MEMBUF) |
| 8472 110200 | LD   | DE,0002H    |
| 8475 19     | ADD  | HL,DE       |
| 8476 2209FF | LD   | (MEMPA2),HL |
| 8479 060A   | LD   | B,10        |
| 847B CD9D84 | CALL | REFO5       |
| 847E C9     | RET  |             |
| 847F 0E05   | LD   | C,05H       |
| 8481 AF     | XOR  | A           |
| 8482 56     | LD   | D,(HL)      |
| 8483 CB1A   | RR   | D           |
| 8485 CB17   | RL   | A           |
| 8487 23     | INC  | HL          |
| 8488 0D     | DEC  | C           |
| 8489 20F7   | JR   | NZ,REFO3    |
| 848B DD7700 | LD   | (IX+0),A    |
| 848E DD23   | INC  | IX          |
| 8490 2A07FF | LD   | HL,(MEMPA1) |
| 8493 111D00 | LD   | DE,001DH    |
| 8496 19     | ADD  | HL,DE       |
| 8497 2207FF | LD   | (MEMPA1),HL |
| 849A 10E3   | DJNZ | REFO2       |
| 849C C9     | RET  |             |
| 849D 0E05   | LD   | C,05H       |

เอกสารนี้เป็นเอกสารที่สงวนไว้สำหรับการใช้งานเพื่อการศึกษาเท่านั้น ไม่อนุญาตให้นำไปใช้ประโยชน์ด้านการค้า

ไม่ว่ากรณีใดๆทั้งสิ้น อีกทั้งห้ามมิให้ตัดแปลงเนื้อหา และต้องอ้างอิงถึงเจ้าของเอกสารทุกครั้งที่มีการนำไปใช้

|             |         |      |                |
|-------------|---------|------|----------------|
| 849F AF     |         | XOR  | A              |
| 84A0 56     | REF06:  | LD   | D,(HL)         |
| 84A1 CB1A   |         | RR   | D              |
| 84A3 CB17   |         | RL   | A              |
| 84A5 23     |         | INC  | HL             |
| 84A6 0D     |         | DEC  | C              |
| 84A7 20F7   |         | JR   | NZ,REF06       |
| 84A9 0E05   |         | LD   | C,05H          |
| 84AB 57     |         | LD   | D,A            |
| 84AC AF     |         | XOR  | A              |
| 84AD CB1A   | REF07:  | RR   | D              |
| 84AF CB17   |         | RL   | A              |
| 84B1 0D     |         | DEC  | C              |
| 84B2 20F9   |         | JR   | NZ,REF07       |
| 84B4 DD7700 |         | LD   | (IX+0),A       |
| 84B7 DD23   |         | INC  | IX             |
| 84B9 2A09FF |         | LD   | HL,(MEMPA2)    |
| 84BC 111D00 |         | LD   | DE,001DH       |
| 84BF 19     |         | ADD  | HL,DE          |
| 84C0 2209FF |         | LD   | (MEMPA2),HL    |
| 84C3 10D8   |         | DJNZ | REF05          |
| 84C5 C9     |         | RET  |                |
| 84C6 1600   | CHANG:  | LD   | D,00H          |
| 84C8 7E     |         | LD   | A,(HL)         |
| 84C9 FE1F   |         | CP   | 1FH            |
| 84CB DAD084 |         | JP   | C,REF2         |
| 84CE 1601   |         | LD   | D,01H          |
| 84D0 72     | REF2:   | LD   | (HL),D         |
| 84D1 23     |         | INC  | HL             |
| 84D2 0D     |         | DEC  | C              |
| 84D3 20F1   |         | JR   | NZ,CHANG       |
| 84D5 10EF   |         | DJNZ | CHANG          |
| 84D7 C9     |         | RET  |                |
| 84D8 111D00 | CALADD: | LD   | DE,001DH       |
| 84DB 19     |         | ADD  | HL,DE          |
| 84DC 10FA   |         | DJNZ | CALADD         |
| 84DE C9     |         | RET  |                |
| 84DF 2100A3 | GETID:  | LD   | HL,PAGE2       |
| 84E2 111D00 |         | LD   | DE,001DH       |
| 84E5 19     |         | ADD  | HL,DE          |
| 84E6 2209FF |         | LD   | (MEMPA2),HL    |
| 84E9 2100A0 |         | LD   | HL,PAGE1       |
| 84EC 19     |         | ADD  | HL,DE          |
| 84ED 19     |         | ADD  | HL,DE          |
| 84EE 2207FF |         | LD   | (MEMPA1),HL    |
| 84F1 2A09FF |         | LD   | HL,(MEMPA2) ;1 |
| 84F4 1100A9 |         | LD   | DE,CODBUF      |
| 84F7 010800 |         | LD   | BC,0008H       |
| 84FA EDB0   |         | LDIR |                |
| 84FC 2A09FF |         | LD   | HL,(MEMPA2)    |
| 84FF 011D00 |         | LD   | BC,001DH       |
| 8502 09     |         | ADD  | HL,BC          |
| 8503 2209FF |         | LD   | (MEMPA2),HL    |
| 8506 2A07FF |         | LD   | HL,(MEMPA1) ;2 |
| 8509 010800 |         | LD   | BC,0008H       |

เอกสารนี้เป็นเอกสารที่สงวนไว้สำหรับการใช้งานเพื่อการศึกษาเท่านั้น ไม่อนุญาตให้นำไปใช้ประโยชน์ด้านการค้า  
ไม่ว่ากรณีใดๆทั้งสิ้น อีกทั้งห้ามมิให้ดัดแปลงเนื้อหา และต้องอ้างอิงถึงเจ้าของเอกสารทุกครั้งที่มีการนำไปใช้

|             |      |                 |
|-------------|------|-----------------|
| 850C EDB0   | LDIR |                 |
| 850E 2A07FF | LD   | HL,(MEMPA1)     |
| 8511 011D00 | LD   | BC,001DH        |
| 8514 09     | ADD  | HL,BC           |
| 8515 2207FF | LD   | (MEMPA1),HL     |
| 8518 2A09FF | LD   | HL,(MEMPA2) ;3  |
| 851B 010800 | LD   | BC,0008H        |
| 851E EDB0   | LDIR |                 |
| 8520 2A09FF | LD   | HL,(MEMPA2)     |
| 8523 011D00 | LD   | BC,001DH        |
| 8526 09     | ADD  | HL,BC           |
| 8527 2209FF | LD   | (MEMPA2),HL     |
| 852A 2A07FF | LD   | HL,(MEMPA1) ;4  |
| 852D 010800 | LD   | BC,0008H        |
| 8530 EDB0   | LDIR |                 |
| 8532 2A07FF | LD   | HL,(MEMPA1)     |
| 8535 011D00 | LD   | BC,001DH        |
| 8538 09     | ADD  | HL,BC           |
| 8539 2207FF | LD   | (MEMPA1),HL     |
| 853C 2A09FF | LD   | HL,(MEMPA2) ;5  |
| 853F 010800 | LD   | BC,0008H        |
| 8542 EDB0   | LDIR |                 |
| 8544 2A09FF | LD   | HL,(MEMPA2)     |
| 8547 011D00 | LD   | BC,001DH        |
| 854A 09     | ADD  | HL,BC           |
| 854B 2209FF | LD   | (MEMPA2),HL     |
| 854E 2A07FF | LD   | HL,(MEMPA1) ;6  |
| 8551 010800 | LD   | BC,0008H        |
| 8554 EDB0   | LDIR |                 |
| 8556 2A07FF | LD   | HL,(MEMPA1)     |
| 8559 011D00 | LD   | BC,001DH        |
| 855C 09     | ADD  | HL,BC           |
| 855D 2207FF | LD   | (MEMPA1),HL     |
| 8560 2A09FF | LD   | HL,(MEMPA2) ;7  |
| 8563 010800 | LD   | BC,0008H        |
| 8566 EDB0   | LDIR |                 |
| 8568 2A09FF | LD   | HL,(MEMPA2)     |
| 856B 011D00 | LD   | BC,001DH        |
| 856E 09     | ADD  | HL,BC           |
| 856F 2209FF | LD   | (MEMPA2),HL     |
| 8572 2A07FF | LD   | HL,(MEMPA1) ;8  |
| 8575 010800 | LD   | BC,0008H        |
| 8578 EDB0   | LDIR |                 |
| 857A 2A07FF | LD   | HL,(MEMPA1)     |
| 857D 011D00 | LD   | BC,001DH        |
| 8580 09     | ADD  | HL,BC           |
| 8581 2207FF | LD   | (MEMPA1),HL     |
| 8584 2A09FF | LD   | HL,(MEMPA2) ;9  |
| 8587 010800 | LD   | BC,0008H        |
| 858A EDB0   | LDIR |                 |
| 858C 2A09FF | LD   | HL,(MEMPA2)     |
| 858F 011D00 | LD   | BC,001DH        |
| 8592 09     | ADD  | HL,BC           |
| 8593 2209FF | LD   | (MEMPA2),HL     |
| 8596 2A07FF | LD   | HL,(MEMPA1) ;10 |
| 8599 010800 | LD   | BC,0008H        |

เอกสารนี้เป็นเอกสารที่สงวนไว้สำหรับการใช้งานเพื่อการศึกษาเท่านั้น ไม่อนุญาตให้นำไปใช้ประโยชน์ด้านการค้า  
ไม่ว่ากรณีใดๆทั้งสิ้น อีกทั้งห้ามมิให้ตัดแปลงเนื้อหา และต้องอ้างอิงถึงเจ้าของเอกสารทุกครั้งที่มีการนำไปใช้

|               |         |      |             |
|---------------|---------|------|-------------|
| 859C EDB0     |         | LDIR |             |
| 859E 2A07FF   |         | LD   | HL,(MEMPA1) |
| 85A1 011D00   |         | LD   | BC,001DH    |
| 85A4 09       |         | ADD  | HL,BC       |
| 85A5 2207FF   |         | LD   | (MEMPA1),HL |
| 85A8 060A     |         | LD   | B,10        |
| 85AA 3E20     |         | LD   | A,20H       |
| 85AC 2100A8   |         | LD   | HL,CODE     |
| 85AF 77       | LOP:    | LD   | (HL),A      |
| 85B0 23       |         | INC  | HL          |
| 85B1 10FC     |         | DJNZ | LOP         |
| 85B3 2100A9   |         | LD   | HL,CODBUF   |
| 85B6 0610     |         | LD   | B,10H       |
| 85B8 1600     |         | LD   | D,00H       |
| 85BA 0E08     | LOOP1:  | LD   | C,08        |
| 85BC DD2100A8 |         | LD   | IX,CODE     |
| 85C0 7E       | LOOP2:  | LD   | A,(HL)      |
| 85C1 FE01     |         | CP   | 01H         |
| 85C3 280A     |         | JR   | Z,KEEPID    |
| 85C5 DD23     | LOOP3:  | INC  | IX          |
| 85C7 23       |         | INC  | HL          |
| 85C8 0D       |         | DEC  | C           |
| 85C9 20F5     |         | JR   | NZ,LOOP2    |
| 85CB 14       |         | INC  | D           |
| 85CC 10EC     |         | DJNZ | LOOP1       |
| 85CE C9       |         | RET  |             |
| 85CF DD7E00   | KEEPID: | LD   | A,(IX+0)    |
| 85D2 FE20     |         | CP   | 20H         |
| 85D4 2008     |         | JR   | NZ,UNKEEP   |
| 85D6 3E30     |         | LD   | A,30H       |
| 85D8 B2       |         | OR   | D           |
| 85D9 DD7700   |         | LD   | (IX+0),A    |
| 85DC 18E7     |         | JR   | LOOP3       |
| 85DE 3E3F     | UNKEEP: | LD   | A,3FH       |
| 85E0 DD7700   |         | LD   | (IX+0),A    |
| 85E3 18E0     |         | JR   | LOOP3       |
| 85E5 3E30     | GETPT:  | LD   | A,30H       |
| 85E7 320AA8   |         | LD   | (POINT),A   |
| 85EA 320BA8   |         | LD   | (POINT+1),A |
| 85ED 320CA8   |         | LD   | (POINT+2),A |
| 85F0 2100A6   |         | LD   | HL,ANSW     |
| 85F3 1100A7   |         | LD   | DE,QUATI    |
| 85F6 3A0DFF   |         | LD   | A,(DUM)     |
| 85F9 47       |         | LD   | B,A         |
| 85FA 1A       | GETP1:  | LD   | A,(DE)      |
| 85FB BE       |         | CP   | (HL)        |
| 85FC CA2B86   |         | JP   | Z,GETCOU    |
| 85FF 23       | GETP2:  | INC  | HL          |
| 8600 13       |         | INC  | DE          |
| 8601 10F7     |         | DJNZ | GETP1       |
| 8603 C9       |         | RET  |             |
| 8604 3E30     | ERROR:  | LD   | A,30H       |
| 8606 320CFF   |         | LD   | (PERROR),A  |
| 8609 2100A7   |         | LD   | HL,QUATI    |
| 860C 06A0     |         | LD   | B,160       |

เอกสารนี้เป็นเอกสารที่สงวนไว้สำหรับการใช้งานเพื่อการศึกษาเท่านั้น ไม่อนุญาตให้นำไปใช้ประโยชน์ด้านการค้า  
ไม่ว่ากรณีใดๆทั้งสิ้น อีกทั้งห้ามมิให้ดัดแปลงเนื้อหา และต้องอ้างอิงถึงเจ้าของเอกสารทุกครั้งที่มีการนำไปใช้

|             |         |      |             |
|-------------|---------|------|-------------|
| 860E 7E     | ERR0:   | LD   | A,(HL)      |
| 860F 0E08   |         | LD   | C,08H       |
| 8611 1600   |         | LD   | D,00H       |
| 8613 1F     | ERR1:   | RRA  |             |
| 8614 3001   |         | JR   | NC,ERR2     |
| 8616 14     |         | INC  | D           |
| 8617 0D     | ERR2:   | DEC  | C           |
| 8618 20F9   |         | JR   | NZ,ERR1     |
| 861A 7A     |         | LD   | A,D         |
| 861B B7     |         | OR   | A           |
| 861C 2809   |         | JR   | Z,ERR3      |
| 861E FE01   |         | CP   | 01H         |
| 8620 2805   |         | JR   | Z,ERR3      |
| 8622 3EFF   |         | LD   | A,0FFH      |
| 8624 320CFF |         | LD   | (PERROR),A  |
| 8627 23     | ERR3:   | INC  | HL          |
| 8628 10E4   |         | DJNZ | ERR0        |
| 862A C9     |         | RET  |             |
| 862B 3A0CA8 | GETCOU: | LD   | A,(POINT+2) |
| 862E 3C     |         | INC  | A           |
| 862F 320CA8 |         | LD   | (POINT+2),A |
| 8632 FE3A   |         | CP   | 3AH         |
| 8634 C2FF85 |         | JP   | NZ,GETP2    |
| 8637 E6F0   |         | AND  | 0F0H        |
| 8639 320CA8 |         | LD   | (POINT+2),A |
| 863C 3A0BA8 |         | LD   | A,(POINT+1) |
| 863F 3C     |         | INC  | A           |
| 8640 320BA8 |         | LD   | (POINT+1),A |
| 8643 FE3A   |         | CP   | 3AH         |
| 8645 C2FF85 |         | JP   | NZ,GETP2    |
| 8648 E6F0   |         | AND  | 0F0H        |
| 864A 320BA8 |         | LD   | (POINT+1),A |
| 864D 3A0AA8 |         | LD   | A,(POINT)   |
| 8650 3C     |         | INC  | A           |
| 8651 320AA8 |         | LD   | (POINT),A   |
| 8654 FE3A   |         | CP   | 3AH         |
| 8656 C2FF85 |         | JP   | NZ,GETP2    |
| 8659 E6F0   |         | AND  | 0F0H        |
| 865B 320AA8 |         | LD   | (POINT),A   |
| 865E C3FF85 |         | JP   | GETP2       |
| 8661 0604   | MOTOR:  | LD   | B,04H       |
| 8663 21EF87 |         | LD   | HL,STEP1    |
| 8666 DB30   | MOTOR1: | IN   | A,(PORTD)   |
| 8668 E6F0   |         | AND  | 0F0H        |
| 866A B6     |         | OR   | (HL)        |
| 866B D330   |         | OUT  | (PORTD),A   |
| 866D CD8186 |         | CALL | MDELAY      |
| 8670 23     |         | INC  | HL          |
| 8671 10F3   |         | DJNZ | MOTOR1      |
| 8673 DB52   |         | IN   | A,(PORTC)   |
| 8675 CB57   |         | BIT  | 2,A         |
| 8677 C26186 |         | JP   | NZ,MOTOR    |
| 867A DB30   |         | IN   | A,(PORTD)   |
| 867C E6F0   |         | AND  | 0F0H        |
| 867E D330   |         | OUT  | (PORTD),A   |
| 8680 C9     |         | RET  |             |

เอกสารนี้เป็นเอกสารที่สงวนไว้สำหรับการใช้งานเพื่อการศึกษาเท่านั้น ไม่อนุญาตให้นำไปใช้ประโยชน์ด้านการค้า  
ไม่ว่ากรณีใดๆทั้งสิ้น อีกทั้งห้ามมิให้ดัดแปลงเนื้อหา และต้องอ้างอิงถึงเจ้าของเอกสารทุกครั้งที่มีการนำไปใช้

|             |                     |      |             |                         |
|-------------|---------------------|------|-------------|-------------------------|
| 8681 C5     | MDELAY:             | PUSH | BC          |                         |
| 8682 0628   |                     | LD   | B,28H       |                         |
| 8684 0E80   | MDELO:              | LD   | C,80H       |                         |
| 8686 0D     | MDEL:               | DEC  | C           |                         |
| 8687 20FD   |                     | JR   | NZ,MDEL     |                         |
| 8689 10F9   |                     | DJNZ | MDELO       |                         |
| 868B C1     |                     | POP  | BC          |                         |
| 868C C9     |                     | RET  |             |                         |
| 868D C30080 | SERIAL:             | JP   | START       |                         |
| 8690 CBFF   | GOTO:               | SET  | 7,A         |                         |
| 8692 D360   |                     | OUT  | (PDCON),A   |                         |
| 8694 CD9886 |                     | CALL | CHECK       |                         |
| 8697 C9     |                     | RET  |             |                         |
| ;           |                     |      |             |                         |
| 8698 DB64   | CHECK:              | IN   | A,(PFLAG)   |                         |
| 869A CB7F   |                     | BIT  | 7,A         |                         |
| 869C 20FA   |                     | JR   | NZ,CHECK    |                         |
| 869E C9     |                     | RET  |             |                         |
| ;           |                     |      |             |                         |
| 869F 0614   | SHOW:               | LD   | B,20        |                         |
| 86A1 7E     | TEST11:             | LD   | A,(HL)      |                         |
| 86A2 57     |                     | LD   | D,A         |                         |
| 86A3 CDCA86 |                     | CALL | WRBYTE      |                         |
| 86A6 23     |                     | INC  | HL          |                         |
| 86A7 10F8   |                     | DJNZ | TEST11      |                         |
| 86A9 C9     |                     | RET  |             |                         |
| ;           |                     |      |             |                         |
| *****       |                     |      |             |                         |
| ;           | INITIAL LCD *       |      |             |                         |
| *****       |                     |      |             |                         |
| ;           |                     |      |             |                         |
| 86AA 3E38   | INITLCD:            | LD   | A,00111000B | ;function set 38H       |
|             |                     |      |             | ;DL=1 8 bit,N=1 1/16    |
|             |                     |      |             | ;duty,F=0 5x7           |
| 86AC D360   |                     | OUT  | (PDCON),A   |                         |
| 86AE CDD186 |                     | CALL | DELAY1      |                         |
| 86B1 CDD186 |                     | CALL | DELAY1      | ;DELAY > 4.1 ms         |
| 86B4 3E0C   |                     | LD   | A,00001100B | ;display on/off control |
|             |                     |      |             | ;D=1 off,C=1 cursor     |
|             |                     |      |             | ;on,B=1 blink           |
| 86B6 D360   |                     | OUT  | (PDCON),A   |                         |
| 86B8 CDD186 |                     | CALL | DELAY1      |                         |
| 86BB 3E06   |                     | LD   | A,00000110B | ;entry mode set         |
|             |                     |      |             | ;I/D=1 increment,S=0    |
|             |                     |      |             | ;right                  |
| 86BD D360   |                     | OUT  | (PDCON),A   |                         |
| 86BF CDD186 |                     | CALL | DELAY1      |                         |
| 86C2 3E01   |                     | LD   | A,00000001B | ;clear all display      |
| 86C4 D360   |                     | OUT  | (PDCON),A   |                         |
| 86C6 CDD186 |                     | CALL | DELAY1      |                         |
| 86C9 C9     |                     | RET  |             |                         |
| ;           |                     |      |             |                         |
| *****       | WRITE BYTE SUB **** |      |             |                         |
| ;           |                     |      |             |                         |
| 86CA 7A     | WRBYTE:             | LD   | A,D         |                         |
| 86CB D362   |                     | OUT  | (PDATA),A   |                         |

| 86CD CD9886            | CALL          | CHECK                  |
|------------------------|---------------|------------------------|
| 86D0 C9                | RET           |                        |
| ;***** READY SUB ***** |               |                        |
| 86D1 C5                | DELAY1: PUSH  | BC                     |
| 86D2 0680              | LD            | B,80H                  |
| 86D4 10FE              | DELAY12: DJNZ | DELAY12                |
| 86D6 C1                | POP           | BC                     |
| 86D7 C9                | RET           |                        |
| 86D8 0610              | KEYPAD: LD    | B,10H                  |
| 86DA DB30              | KEY1: IN      | A,(PORTD)              |
| 86DC E6C0              | AND           | 0C0H                   |
| 86DE FEC0              | CP            | 0C0H                   |
| 86E0 20F6              | JR            | NZ,KEYPAD              |
| 86E2 10F6              | DJNZ          | KEY1                   |
| 86E4 0E00              | KEY11: LD     | C,00H                  |
| 86E6 DB30              | IN            | A,(PORTD)              |
| 86E8 E6C0              | AND           | 0C0H                   |
| 86EA FEC0              | CP            | 0C0H                   |
| 86EC 28F6              | JR            | Z,KEY11                |
| 86EE 07                | RLCA          |                        |
| 86EF 3802              | JR            | C,KEY2                 |
| 86F1 0E01              | LD            | C,01H                  |
| 86F3 07                | KEY2: RLCA    |                        |
| 86F4 3802              | JR            | C,KEY3                 |
| 86F6 0E02              | LD            | C,02H                  |
| 86F8 C9                | KEY3: RET     |                        |
| ;                      |               |                        |
| 86F9 2043415242TABLE:  | DFB           | " CARBON CHECKER 1.0 " |
| 870D 2020202020GET:    | DFB           | " READ MODE "          |
| 8721 2020202046SET:    | DFB           | " FUNCTION SET "       |
| 8735 2050726573PRESS:  | DFB           | " Press <DONE> button" |
| 8749 2020202020BEGIN:  | DFB           | " SCAN MODE "          |
| 875D 20204C6F61LOAD:   | DFB           | " Load paper Again "   |
| 8771 2020202053SFORM:  | DFB           | " SELECT FORM "        |
| 8785 54494D4520WHREAD: | DFB           | "TIME MARK : "         |
| 8799 49443A2020STDID:  | DFB           | "ID: Pt: "             |
| 87AD 4D4F44453ASEMODE: | DFB           | "MODE: "               |
| 87C1 5354414E44STAND:  | DFB           | "STAND-ALONE "         |
| 87CE 4C494E4B20COMPU:  | DFB           | "LINK COMPUTER"        |
| 87DB 464F524D20SEFORM: | DFB           | "FORM NUMBER: "        |
| 87EF 03060C09 STEP1:   | DFB           | 03H,06H,0CH,09H        |
| 0000                   | END           |                        |

เอกสารนี้เป็นเอกสารที่สงวนไว้สำหรับการใช้งานเพื่อการศึกษาเท่านั้น ไม่อนุญาตให้นำไปใช้ประโยชน์ด้านการค้า  
ไม่ว่ากรณีใดๆทั้งสิ้น อีกทั้งห้ามมิให้ตัดแปลงเนื้อหา และต้องอ้างอิงถึงเจ้าของเอกสารทุกครั้งที่มีการนำไปใช้



เอกสารนี้เป็นเอกสารที่สงวนไว้สำหรับการใช้งานเพื่อการศึกษาเท่านั้น ไม่อนุญาตให้นำไปใช้ประโยชน์ด้านการค้า  
ไม่ว่ากรณีใดๆทั้งสิ้น อีกทั้งห้ามมิให้ตัดแปลงเนื้อหา และต้องอ้างอิงถึงเจ้าของเอกสารทุกครั้งที่มีการนำไปใช้

# การสร้างหัวอ่านสำหรับเครื่องตรวจสอบแบบฝนด้วยดินสอ

## Carbon Detectors for Carbon's Mark Checker

พรชัยศ ศรีปัญญาพงศ์ สุเชิธร เกียรติสุนทร

คณะวิศวกรรมศาสตร์ สถาบันเทคโนโลยีพระจอมเกล้าเจ้าคุณทหารลาดกระบัง

โยธิน เปรมปราณีรัชต์

ศูนย์เทคโนโลยีอิเล็กทรอนิกส์และคอมพิวเตอร์แห่งชาติ

ทิมพ์พิชญ์สร ศรีปัญญาพงศ์

คณะวิศวกรรมศาสตร์ มหาวิทยาลัยเทคโนโลยีมหานคร

### บทคัดย่อ

บทความนี้นำเสนอการสร้างหัวอ่านสำหรับเครื่องตรวจสอบข้อสอบแบบฝนด้วยดินสอ โดยการส่องแสงอินฟราเรดทะลุผ่านกระดาษคำตอบ โดยที่แสงอินฟราเรดนี้จะถูกดูดกลืนด้วยคาร์บอนที่เป็นส่วนประกอบของไส้ดินสอและความเข้มของแสงอินฟราเรดที่ทะลุผ่านกระดาษคำตอบจะแปรผกผันกับความเข้มของการฝนดินสอ ดังนั้นจึงสามารถใช้การตรวจวัดปริมาณความเข้มของแสงอินฟราเรดที่ทะลุผ่านเพื่อตรวจสอบตำแหน่งและความเข้มของการฝนดินสอได้ โดยที่จะนำเอาค่าความหนาของกระดาษคำตอบนั้นเป็นค่าชดเชยผลที่อ่านได้ซึ่งจะทำให้ช่วงความเข้มของการฝนดินสอที่อ่านได้ง่ายต่อการตัดสินใจของโปรแกรมควบคุมการทำงานเป็นผลให้เกิดความถูกต้องของการตรวจข้อสอบได้อย่างแม่นยำ จากการพัฒนาหัวอ่านสำหรับเครื่องตรวจข้อสอบนี้จะนำไปสู่การสร้างเครื่องตรวจข้อสอบขึ้นใช้เองภายในประเทศได้ซึ่งจะทำให้มีราคาถูกลงโดยที่มีประสิทธิภาพการทำงานเท่าเทียมกับเครื่องตรวจข้อสอบที่นำเข้าจากต่างประเทศ

### Abstract

This paper presents a development of carbon detectors for carbon's mark checker. These detectors are based on the principle of infrared absorption by carbon. The amount of infrared passing through the answer sheet is inversely proportional to the darkness of carbon. Therefore, the carbon's mark by measuring the density of infrared can be carried out the paper thickness to compensate for the data from the detectors, it increases the accuracy of the carbon's mark checker and using the carbon's mark checker is cheaper than from importing.

### 1. บทนำ

จากคุณสมบัติของแสงอินฟราเรดที่สามารถทะลุผ่านวัสดุบางอย่างเช่นกระดาษได้ซึ่งปริมาณความเข้มของแสงอินฟราเรดบางส่วนอาจถูกดูดกลืนมากขึ้นกับความหนาของกระดาษที่แสงอินฟราเรดผ่านแต่จะถูกดูด

อินฟราเรดที่ผ่านคาร์บอนจะแปรผกผันกับความเข้มของคาร์บอนหรือความเข้มของการฝนดินสอนั่นเอง จึงทำให้สามารถใช้แสงอินฟราเรดสำหรับการสร้างหัวอ่านของเครื่องตรวจข้อสอบแบบฝนด้วยดินสอได้ จากการที่แสงอินฟราเรดสามารถทะลุผ่านการค้ำคำตอบได้ทำให้หัว

กระดาษคำตอบที่มีตำแหน่งของการเลือกคำตอบทั้งสองหน้าไม่ตรงกัน ด้วยเหตุนี้ทำให้ความเร็วของการอ่านของหัวอ่านเร็วขึ้นและราคาในส่วนของหัวอ่านนี้จะต่ำอีกทั้งทำให้การใช้อุปกรณ์ที่เกี่ยวข้องกับหัวอ่านลดลงเมื่อเทียบกับการใช้หลักการสะท้อนของแสงอินฟราเรด เป็นผลให้ราคาโดยรวมของเครื่องตรวจข้อสอบลดลง

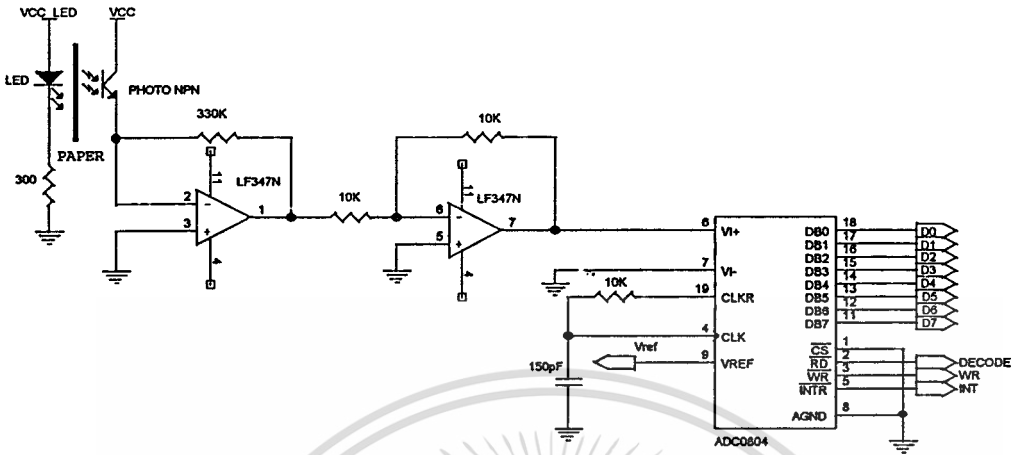
## 2. หลักการเบื้องต้น

จากการใช้แสงอินฟราเรดสำหรับหัวอ่านของเครื่องตรวจข้อสอบในลักษณะของการให้แสงอินฟราเรดทะลุผ่านกระดาษคำตอบนั้นจะมีส่วนประกอบสองส่วนได้แก่แหล่งกำเนิดแสงอินฟราเรดและตัวรับแสงอินฟราเรด โดยใช้อุปกรณ์สารกึ่งตัวนำได้แก่ LED ชนิดที่ให้แสงอินฟราเรดและ Photo-Transistor ทำหน้าที่เป็นตัวรับซึ่งจะเปลี่ยนความเข้มของแสงอินฟราเรดเป็นกระแสไฟฟ้าตามความเข้มของแสงอินฟราเรดนั้น โดยที่จะให้แหล่งกำเนิดแสงอินฟราเรดทำงานที่กระแสคงที่เพื่อที่จะได้ความเข้มของแสงอินฟราเรดที่ผ่านแต่ละตำแหน่งของตัวเลือกคำตอบในกระดาษคำตอบมีค่าเท่ากับหรือใกล้เคียงกันโดยวางตำแหน่งตรงข้ามกับตัวรับแสงอินฟราเรดในระยะห่างเท่ากัน สำหรับในส่วนของตัวรับแสงอินฟราเรดนั้นจะมีส่วนของวงจรเปลี่ยนกระแสไฟฟ้าให้เป็นแรงดันไฟฟ้าเพื่อสะดวกในการเปลี่ยนเป็นค่าดิจิทัลเพื่อการดำเนินงานของโปรแกรมควบคุมต่อไป สำหรับหลักการที่ใช้ในการชดเชยความหนาของกระดาษนั้นจะทำได้โดยการอ่านค่าความเข้มของแสงอินฟราเรดผ่านกระดาษที่ไม่มีการฝนดินสอเป็นค่าดิจิทัลจากวงจรแปลงสัญญาณแอนนาลอกเป็นดิจิทัลที่มีแรงดันอ้างอิงปกติเพื่อหาค่าความเข้มสูงสุดของแสงอินฟราเรดที่ผ่านกระดาษคำตอบแล้วซึ่งจะทำก่อนที่กระดาษคำตอบจะผ่านหัวอ่านที่สร้างขึ้น โดยค่าที่ได้นี้จะนำไปสร้างสัญญาณอ้างอิง(โดยผ่านอุปกรณ์แปลงสัญญาณจากดิจิทัลเป็นสัญญาณแอนนาลอก) ให้กับอุปกรณ์แปลงสัญญาณแอนนาลอกเป็นดิจิทัลในส่วนของหัวอ่านเพื่อในช่วงการทำงานของอุปกรณ์แปลงสัญญาณแอนนาลอกเป็นดิจิทัลตามปริมาณความเข้มของแสงอินฟราเรดที่ผ่านกระดาษคำตอบแล้วซึ่งจะทำให้ข้อมูลที่อ่านได้จากหัวอ่าน

มีความแตกต่างกันเพียงพอที่จะทำให้โปรแกรมควบคุมการทำงานสามารถตัดสินใจได้ถูกต้องและแม่นยำ เพื่อความเข้าใจในหลักการการชดเชยความหนากระดาษที่กล่าวมา จะยกตัวอย่างดังนี้ ถ้าให้แรงดันอ้างอิงของอุปกรณ์แปลงสัญญาณแอนนาลอกเป็นดิจิทัลในส่วนของหัวอ่านเป็นค่าปกติ ( $V_{cc}/2$ ) แล้วสมมุติให้สามารถอ่านค่าความหนาของกระดาษเปล่าได้เท่ากับ 128 นั้นแสดงว่าช่วงการตัดสินใจของโปรแกรมควบคุมอยู่ที่ 0 ถึง 128 เท่านั้น เพราะขณะที่แสงอินฟราเรดผ่านกระดาษเปล่าจะเป็นค่าสูงสุดที่จะอ่านได้ ทำให้ช่วงการตัดสินใจจะแคบ แต่ถ้ามีการนำเอาค่าความหนาของกระดาษเปล่าที่ได้นำไปสร้างสัญญาณอ้างอิง (128) ผ่านอุปกรณ์แปลงสัญญาณดิจิทัลเป็นแอนนาลอกแล้วจะทำให้อุปกรณ์แปลงสัญญาณแอนนาลอกเป็นดิจิทัลในส่วนของหัวอ่านจะอ่านค่าความหนาของกระดาษเปล่ามีค่าเป็น 255 ตามความสามารถของอุปกรณ์ ทำให้ช่วงการตัดสินใจของโปรแกรมควบคุมการทำงานมีค่าเท่ากับ 0 ถึง 255 ทำให้หัวอ่านมีความถูกต้องมากขึ้น

## 3. การออกแบบวงจร

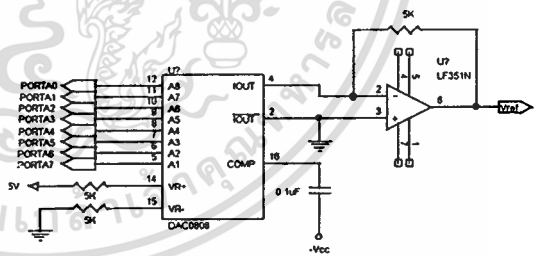
ในการออกแบบวงจรหัวอ่านของเครื่องตรวจข้อสอบจะต้องคำนึงถึงแบบของกระดาษคำตอบเพื่อที่จะกำหนดจำนวนจุดของหัวอ่านและระยะห่างระหว่างจุดหัวอ่านแต่ละจุด สำหรับบทความนี้จะออกแบบหัวอ่านของเครื่องตรวจข้อสอบตามแบบกระดาษคำตอบที่มีจำนวนจุดเลือกฝนดินสอในแนวนอนของกระดาษคำตอบ 30 จุดและระยะห่างระหว่างจุดที่ 166 mils. ซึ่งมีระยะแคบ ดังนั้นจะต้องเลือกอุปกรณ์ของแสงอินฟราเรดที่วางลงได้ในระยะดังกล่าวได้ โดยจะเลือกอุปกรณ์แสงอินฟราเรดที่มีเส้นผ่าศูนย์กลางที่ 4 mm. สำหรับวงจรตรวจวัดความหนาของกระดาษและวงจรของหัวอ่านจะมีลักษณะของวงจรคล้ายกันซึ่งจะเป็นวงจรดังแสดงในรูปที่ 1



รูปที่ 1 แสดงวงจรส่วนแปลงสัญญาณที่ได้จากตัวรับแสงอินฟราเรดเป็นดิจิทัล

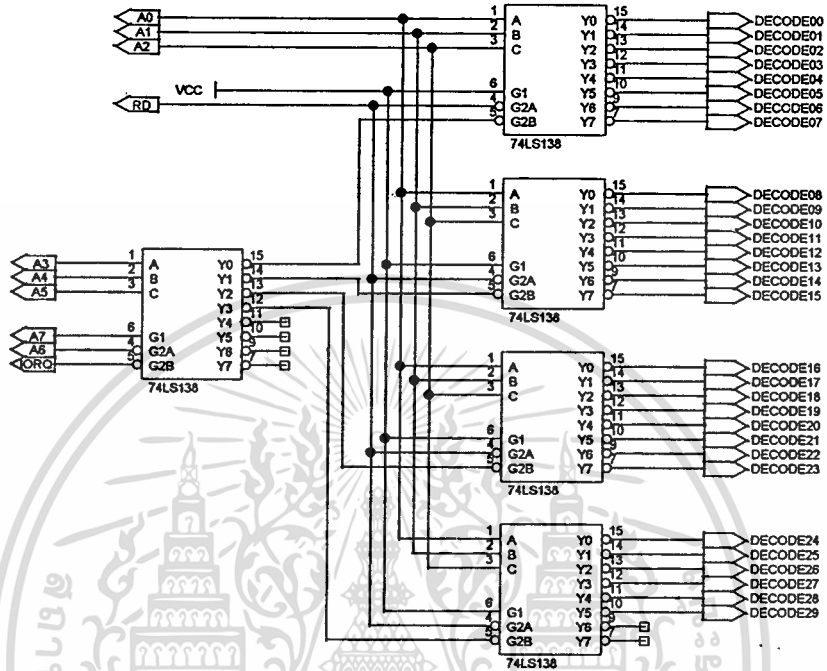
จากวงจรในรูปที่ 1 แสดงส่วนของวงจรที่ใช้สำหรับแปลงสัญญาณที่ได้จากตัวรับอินฟราเรดให้เป็นดิจิทัลโดยมีการทำงานดังนี้ เมื่อ Photo Transistor ได้รับแสงอินฟราเรดจากตัวส่งจะเข้าสู่วงจรแปลงกระแสไฟฟ้าให้เป็นแรงดันไฟฟ้าโดยใช้ Op-Amp. เบอร์ LF347N ซึ่งเป็น Op-Amp. ที่มีโครงสร้างเป็น FET และมีสัญญาณรบกวนต่ำซึ่งวงจรแปลงกระแสไฟฟ้าเป็นแรงดันไฟฟ้าจะให้เอาท์พุทออกมาเป็นแรงดันไฟฟ้าที่ลบลบจึงต้องผ่านวงจรอินเวอร์ตเอ็มพีที่มีกำลังขยายเป็นหนึ่งก่อนเข้าสู่อุปกรณ์แปลงสัญญาณแอนนาลอกเป็นดิจิทัลเบอร์ ADC0804 มีขนาดเอาท์พุท 8 บิตโดยที่อุปกรณ์นี้สามารถใช้กับแรงดันไฟฟ้าอ้างอิงได้หลายระดับ สำหรับวงจรตรวจวัดความหนากระดาษและวงจรส่วนหัวอ่านจะต่างกันที่แรงดันไฟฟ้าอ้างอิงที่ให้กับ ADC0804 โดยที่ในส่วนของวงจรตรวจวัดความหนากระดาษจะใช้แรงดันไฟฟ้าอ้างอิงที่  $V_{cc}/2$  ตามการใช้งานปกติของ ADC0804 เพื่อวัดค่าแรงดันไฟฟ้าจริงที่เกิดขึ้นจากตัวรับแสงอินฟราเรดโดยที่ค่าแรงดันที่ได้จะนำไปเป็นตัวกำหนดค่าแรงดันอ้างอิงให้กับ ADC0804 ที่ทำหน้าที่ในการอ่านค่าจากหัวอ่าน ดังนั้นค่าที่อ่านได้จากวงจรส่วนหัวอ่านจะเป็นค่าอ้างอิงที่เทียบกับความหนาของกระดาษไม่ใช่ค่าจริงที่เกิดขึ้นที่ตัวรับแสงอินฟราเรดเพื่อจุดประสงค์ของการเปรียบเทียบค่าในการตัดสินใจของโปรแกรมควบคุมการทำงานสามารถทำได้อย่างแม่นยำในการแยกความ

แตกต่างของความเข้มการผันผวน ในรูปที่ 2 แสดงวงจรสร้างแรงดันอ้างอิงให้กับวงจรส่วนของหัวอ่านซึ่งประกอบด้วยอุปกรณ์แปลงสัญญาณดิจิทัลเป็นแอนนาลอกเบอร์ DAC0808 ที่มีขนาด 8 บิต และ LF351N โดยการควบคุมผ่านพอร์ต A ของไมโครคอนโทรลเลอร์เบอร์ Z84C11



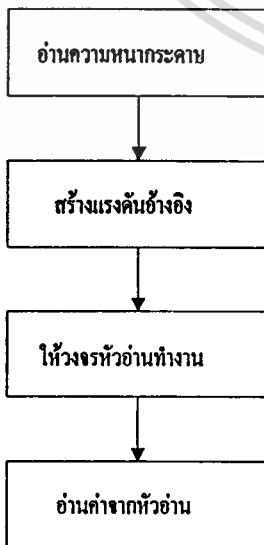
รูปที่ 2 วงจรสร้างแรงดันอ้างอิงของส่วนหัวอ่าน

เนื่องจากหัวอ่านที่สร้างขึ้นสามารถอ่านจุดเลือกได้ 30 จุด ดังนั้นจึงมีวงจรสำหรับหัวอ่านที่ได้กล่าวไว้แล้วทั้งหมด 30 ชุดโดยมีวงจรสำหรับเลือกชุดการทำงาน (Decoder circuit) ดังแสดงในรูปที่ 3 โดยใช้ไอซีเบอร์ 74LS138 ซึ่งเป็นอุปกรณ์เลือกการทำงานแบบ 3 เป็น 8 ทั้งหมด 5 ตัวและกำหนดตำแหน่งไว้ที่ 0X80 ถึง 0X9B ของการอ้างตำแหน่งพอร์ทของไมโครคอนโทรลเลอร์เบอร์ Z84C11 สำหรับไมโครคอนโทรลเลอร์ Z84C11 จะเป็นแผ่นวงจรสำเร็จรูปจึงไม่ได้แสดงไว้ในส่วนนี้



รูปที่ 3 แสดงวงจรเลือกการทำงานของชุดหัวอ่าน

จากการทำงานของวงจรที่กล่าวมาแล้วจะต้องมีโปรแกรมทำงานในการควบคุมและอ่านค่าที่ได้จากตัวรับแสงอินฟราเรด โดยมีลำดับการทำงานดังแสดงในรูปที่ 4



รูปที่ 4 แสดงลำดับการทำงานของหัวอ่าน

โปรแกรมจะเริ่มทำงาน โดยการอ่านค่าความหนาของกระดาษในตำแหน่งที่ไม่มีกระดาษสอดจากตัวรับแสงอินฟราเรดที่วางในตำแหน่งเฉพาะก่อนถึงตำแหน่งที่เป็นของหัวอ่าน จากค่าที่อ่านได้ของความหนากระดาษจะนำมาหารสองเพื่อสำหรับสร้างแรงดันไฟฟ้าอ้างอิงโดยส่งผ่านที่พอร์ท A ของ Z84C11 จากนั้นให้อุปกรณ์แปลงสัญญาณแอนนาลอกเป็นดิจิตอลในส่วนของวงจรหัวอ่านทำงาน หลังจากที่ยังมีส่วนหัวอ่านทำงานแล้วจึงเริ่มอ่านค่าจากอุปกรณ์แปลงสัญญาณแอนนาลอกเป็นดิจิตอลในส่วนของวงจรหัวอ่านซึ่งเป็นค่าอ้างอิงความเข้มของการแผ่ดินในแต่ละตำแหน่ง

4. ผลการทดลอง

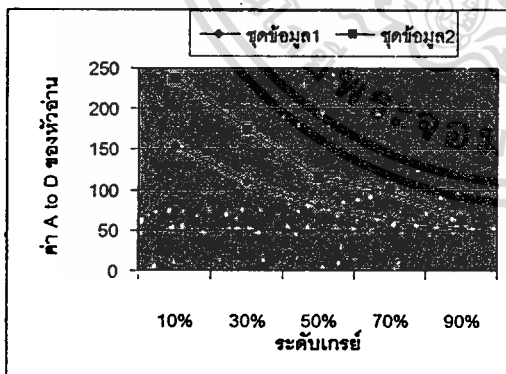
จากวงจรที่กล่าวมาแล้วซึ่งแสดงวงจรใช้งานจริงในรูปที่ 6 นำไปทดลองโดยใช้ระดับความเข้มของระดับ Gray ที่พิมพ์จากเครื่องพิมพ์เลเซอร์ซึ่งแบ่งระดับ Gray เป็น 10%, 30%, 50%, 70% และ 90% ตามลำดับ โดย

จะทำการทดลองในสองเงื่อนไขได้แก่เงื่อนไขแรกจะให้แรงดันไฟฟ้าอ้างอิงที่ให้กับวงจรในส่วนหัวอ่านเป็นลักษณะการใช้งานของอุปกรณ์แปลงสัญญาณแอนนาลอกเป็นดิจิทัลแบบปกติและเงื่อนไขที่สองเป็นแบบชดเชยความหนากระดาศที่บทความนี้นำมาใช้ซึ่งได้ผลการทดลองดังตารางที่ 1

| ระดับ | 10% | 30% | 50% | 70% | 90% |
|-------|-----|-----|-----|-----|-----|
| ปกติ  | 155 | 110 | 79  | 63  | 51  |
| ชดเชย | 238 | 174 | 116 | 97  | 64  |

ตารางที่ 1 ผลการทดลอง

จากตารางที่ 1 แนวตั้งจะเป็นค่าของระดับ Gray ที่ใช้ทดลองซึ่งแยกเป็นการใช้งานอุปกรณ์แปลงสัญญาณแอนนาลอกเป็นดิจิทัลแบบปกติและการชดเชยความหนากระดาศที่ใช้ในบทความนี้และในแนวนอนเป็นค่าของอุปกรณ์แปลงสัญญาณแอนนาลอกเป็นดิจิทัลที่อ่านได้เพื่อให้เห็นผลการทดลองที่ชัดเจนขึ้นจะนำมาเขียนเป็นกราฟเปรียบเทียบกันดังรูปที่ 5



รูปที่ 5 กราฟแสดงผลเปรียบเทียบ

จากรูปที่ 5 ชุดข้อมูลที่ 1 จะเป็นของการใช้งานอุปกรณ์แปลงสัญญาณแอนนาลอกแบบปกติส่วนข้อมูลชุดที่ 2 เป็นการชดเชยความหนาของกระดาศในบทความนี้จะเห็นว่าจากวิธีที่ใช้ในบทความนี้จะทำให้ได้ข้อมูลที่มีค่าสูงขึ้นและช่วงของข้อมูลหนึ่งไปยังอีกข้อมูลหนึ่งจะมีช่วง

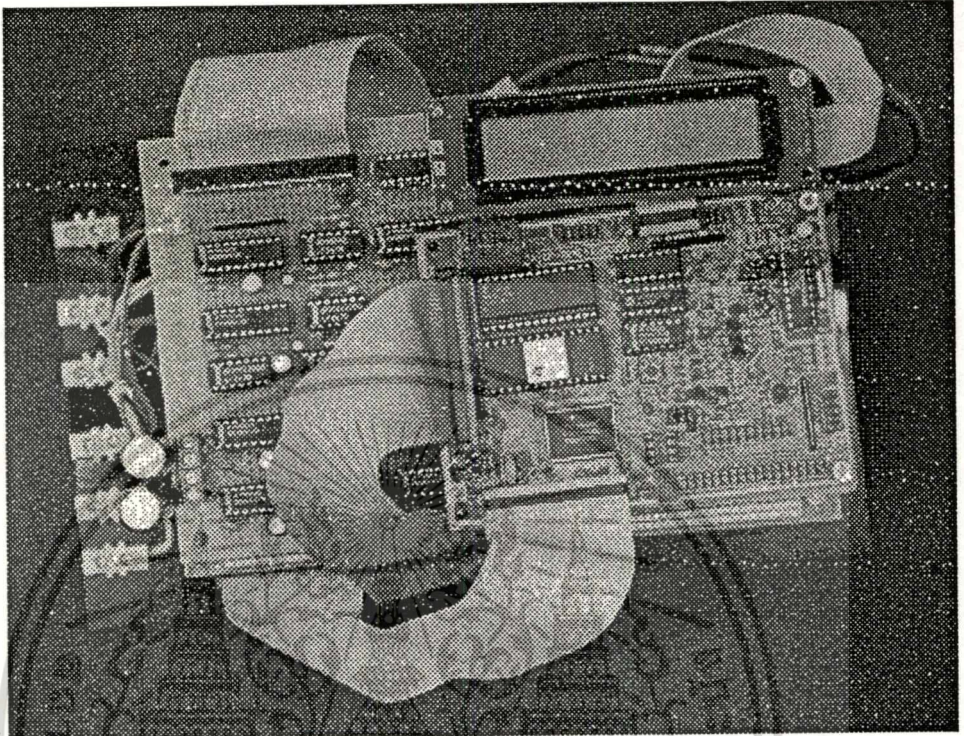
กว้างขึ้นกว่าในกรณีของการใช้งานอุปกรณ์แปลงสัญญาณแอนนาลอกเป็นดิจิทัลแบบปกติ สำหรับผลการทดลองนี้ใช้กระดาศที่มีความหนา 80 แกรมซึ่งจะบางกว่ากระดาศที่ใช้สำหรับเป็นกระดาศค่าตอบ

### 5. บทสรุป

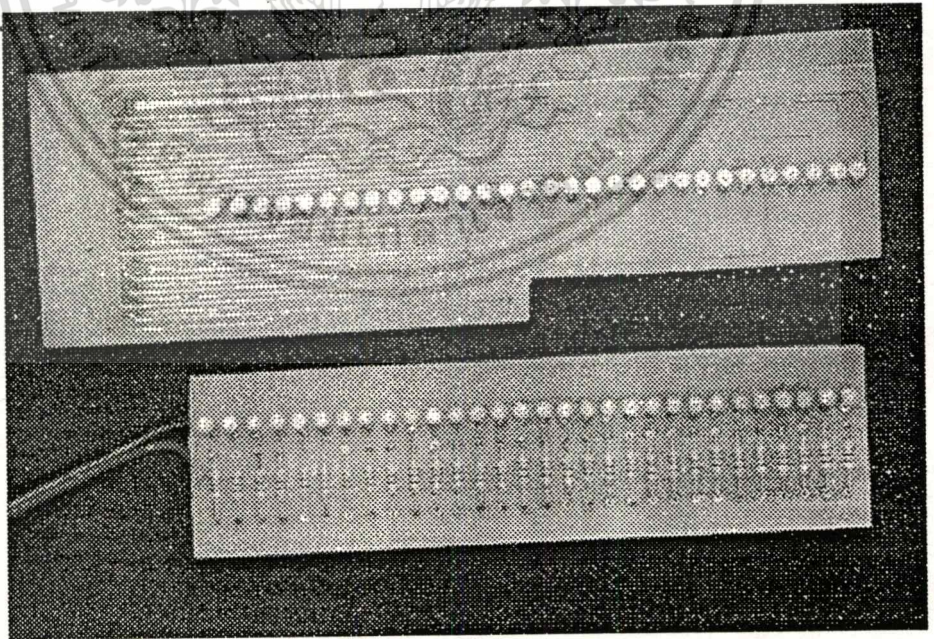
การสร้างหัวอ่านสำหรับเครื่องตรวจสอบแบบผันด้วยดินสอ โดยใช้หลักการของแสงอินฟราเรดทะลุผ่านกระดาษและหลักการชดเชยความหนาของกระดาษด้วยวิธีการปรับแรงดันไฟฟ้าอ้างอิงของส่วนวงจรหัวอ่านให้ไปทำตามความหนาของกระดาษค่าตอบนั้นสามารถทำงานได้อย่างถูกต้องและแม่นยำทำให้ข้อมูลที่อ่านได้ง่ายต่อการตัดสินใจของโปรแกรมควบคุมการทำงานอีกทั้งทำให้ราคาของส่วนหัวอ่านสำหรับเครื่องตรวจสอบถูกลงซึ่งจะนำไปสู่การสร้างเครื่องตรวจสอบแบบผันด้วยดินสอขึ้นภายในประเทศ

### 6. เอกสารอ้างอิง

- [1] L.Sharupich, N.Tugov, "Opto-Electronics", 1987, pp.57-90.
- [2] B. Norris, "Digital-Integrated-Circuit, Operational Amplifier, and Optoelectronic Circuit Design", ISBD 0-07063753-9, pp.175-200.
- [3] National semiconductor, "Data Conversion /Acquisition Databook", pp.512-543.
- [4] A.R. Luxmoore, "Optical Transducers and Techniques in Engineering Measurement", Applied Science Publishers, London and New York, 1983.
- [5] A. Chappell, "Optoelectronics Theory and Practice", McGraw-Hill Book Company, 1978.



(ก)



(ข)

รูปที่ 6 แสดงวงจรที่ใช้งานจริง (ก) วงจรควบคุมการทำงาน (ข) ส่วนหัวอ่าน

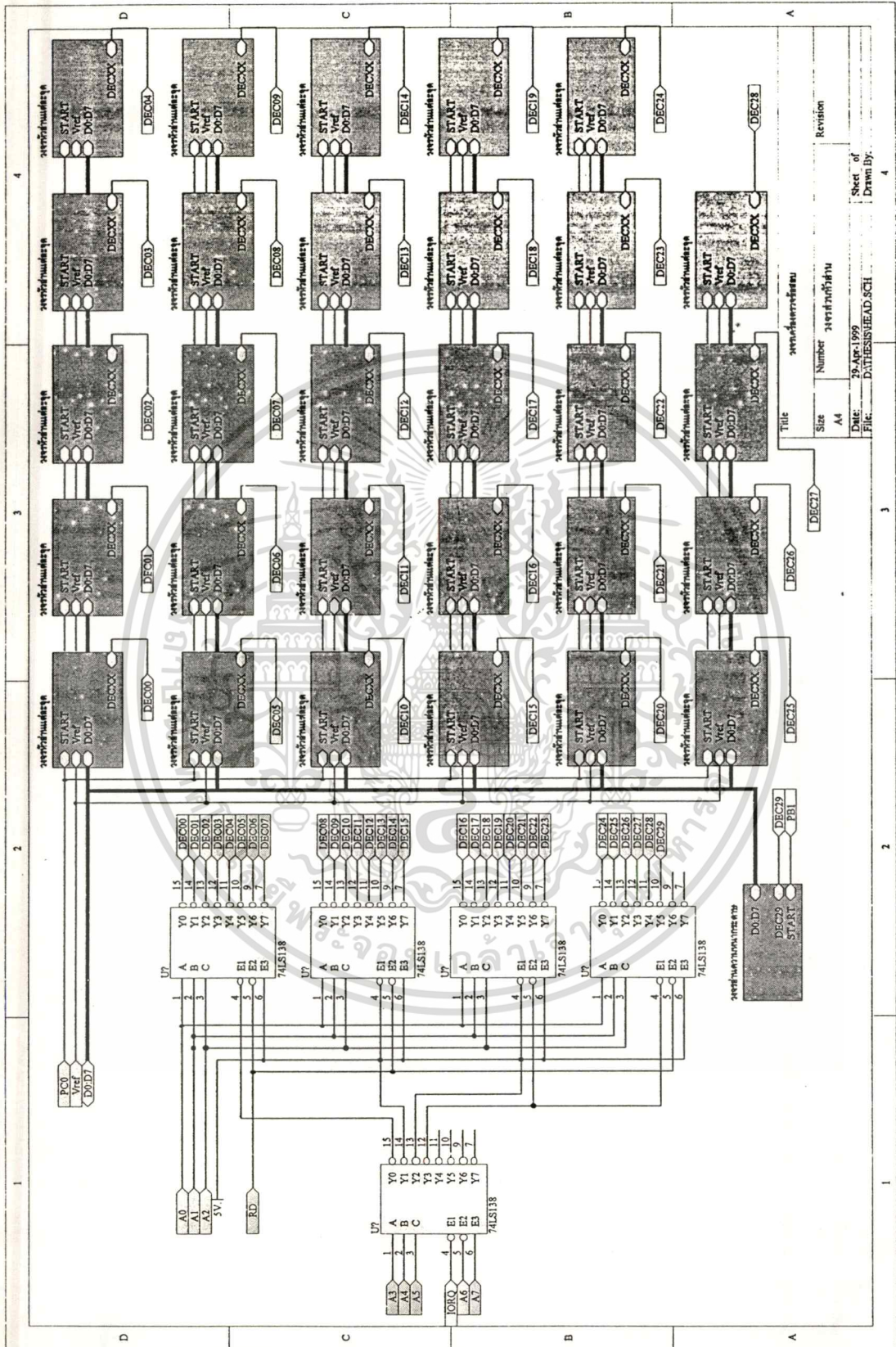
เอกสารนี้เป็นเอกสารที่สงวนไว้สำหรับการใช้งานเพื่อการศึกษาเท่านั้น ไม่อนุญาตให้นำไปใช้ประโยชน์ด้านการค้า ไม่ว่าจะกรณีใดๆทั้งสิ้น อีกทั้งห้ามมิให้ดัดแปลงเนื้อหา และต้องอ้างอิงถึงเจ้าของเอกสารทุกครั้งที่มีการนำไปใช้



เอกสารนี้เป็นเอกสารที่สงวนไว้สำหรับการใช้งานเพื่อการศึกษาเท่านั้น ไม่อนุญาตให้นำไปใช้ประโยชน์ด้านการค้า  
ไม่ว่ากรณีใดๆทั้งสิ้น อีกทั้งห้ามมิให้ตัดแปลงเนื้อหา และต้องอ้างอิงถึงเจ้าของเอกสารทุกครั้งที่มีการนำไปใช้

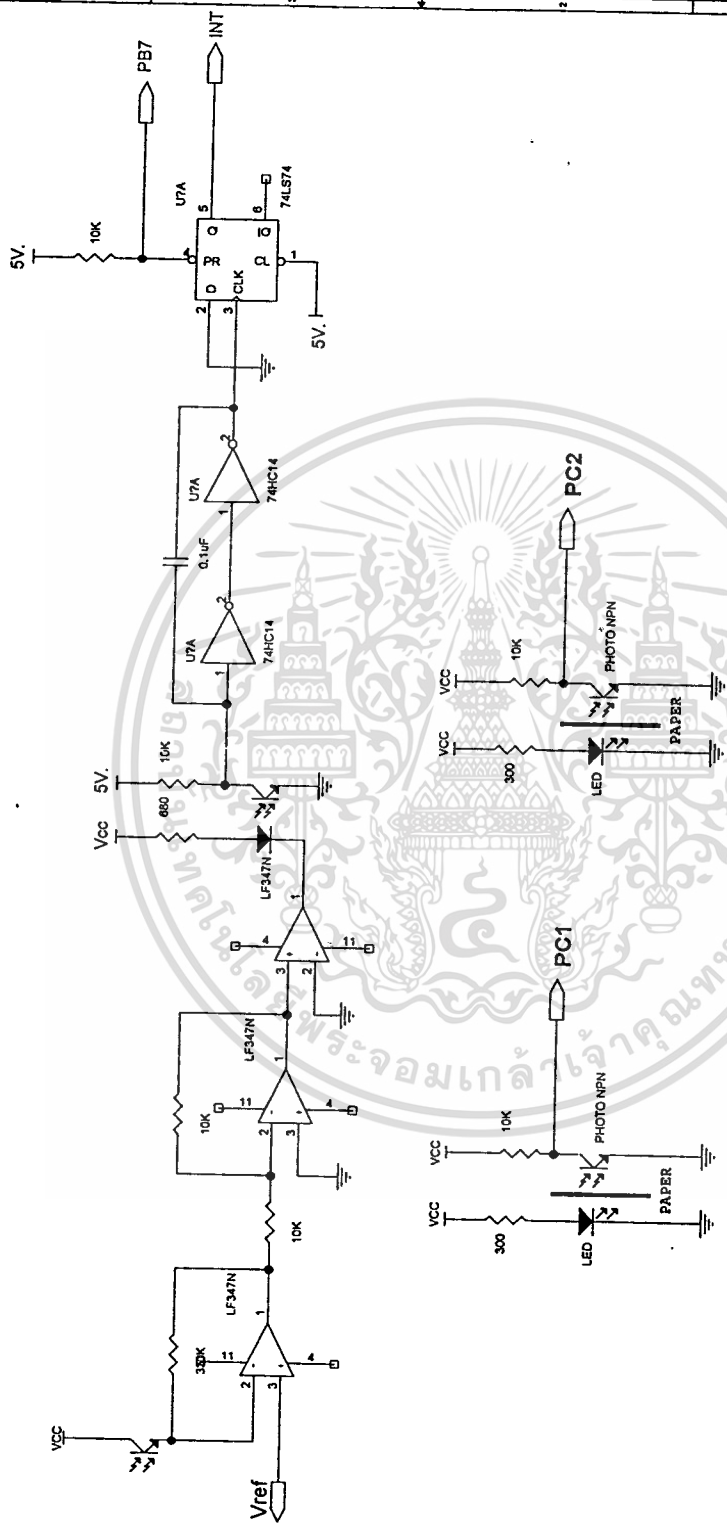






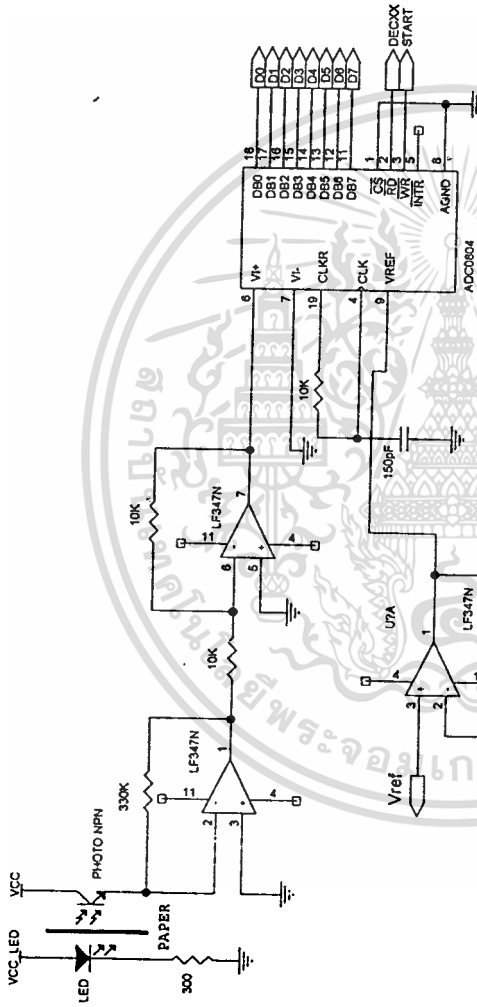
Title:   
 Number:   
 Size: A4   
 Date: 29 Aug 1999   
 File: D:\THESS\HEAD.SCH

Revision:   
 Sheet of:   
 Drawn By:



|                 |                                  |
|-----------------|----------------------------------|
| Title           | วงจรถ่ายวงจรข้อสอบ               |
| Size            | A4                               |
| Document Number | 249บรรดสอบแบบอิงและตำแหน่งกระดาษ |
| Date            |                                  |
| Sheet           | 1 of 1                           |

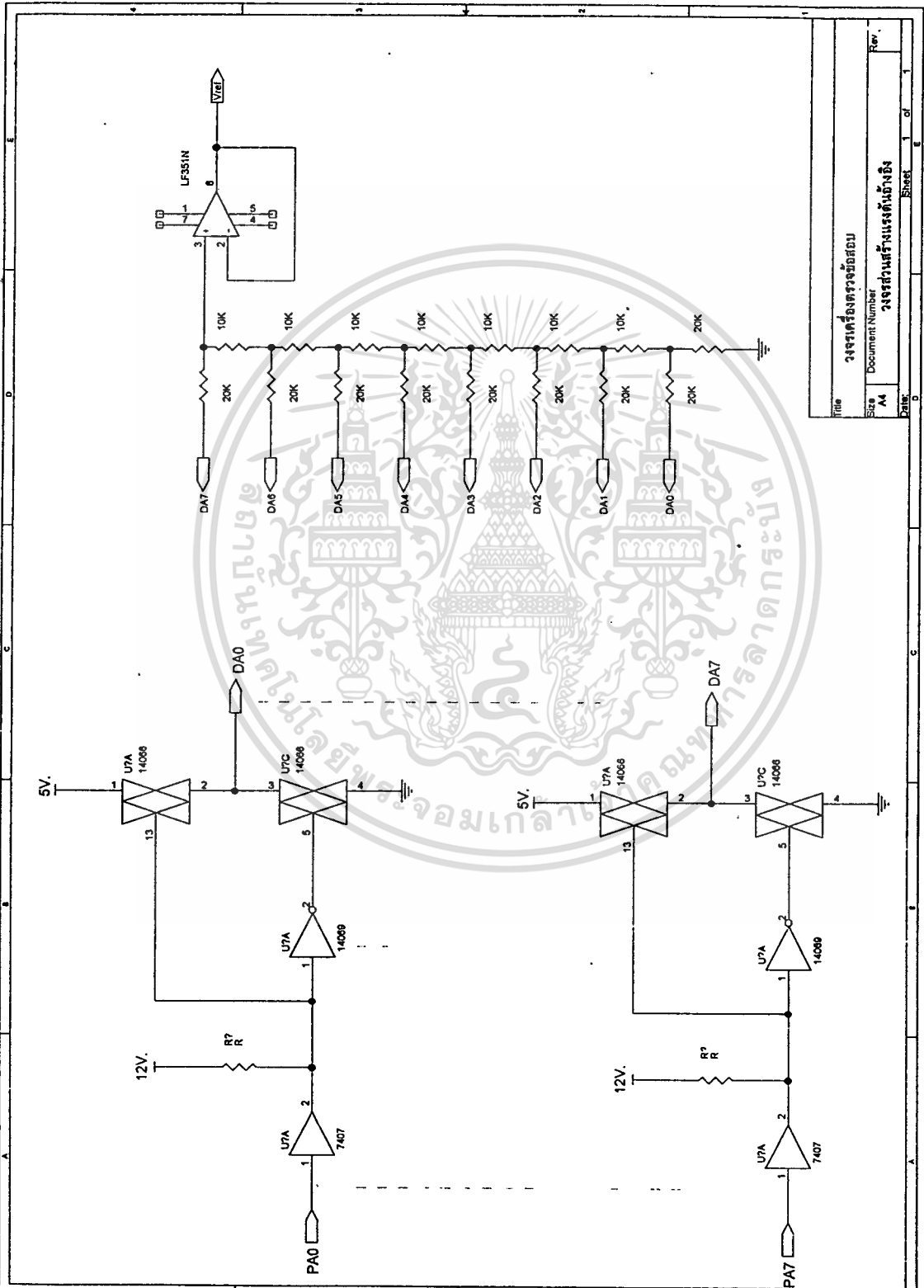
เอกสารนี้เป็นเอกสารที่สงวนไว้สำหรับการใช้งานเพื่อการศึกษาเท่านั้น ไม่อนุญาตให้นำไปใช้ประโยชน์ด้านการค้า  
ไม่ว่ากรณีใดๆทั้งสิ้น อีกทั้งห้ามมิให้ดัดแปลงเนื้อหา และต้องอ้างอิงถึงเจ้าของเอกสารทุกครั้งที่มีการนำไปใช้



|        |                        |
|--------|------------------------|
| Title  | วงจรถ่ายเอกสารด้วย ADC |
| Size   | A4                     |
| Page   | 1 of 1                 |
| Doc No | วงจรถ่ายเอกสารด้วย ADC |
| Rev    | Rev                    |

เอกสารนี้เป็นเอกสารที่สงวนไว้สำหรับการใช้งานเพื่อการศึกษาเท่านั้น ไม่อนุญาตให้นำไปใช้ประโยชน์ด้านการค้า  
 ไปว่ากรณีใดทั้งสิ้น อีกทั้งห้ามมิให้ดัดแปลงเนื้อหา และต้องอ้างอิงถึงเจ้าของเอกสารทุกครั้งที่มีการนำไปใช้

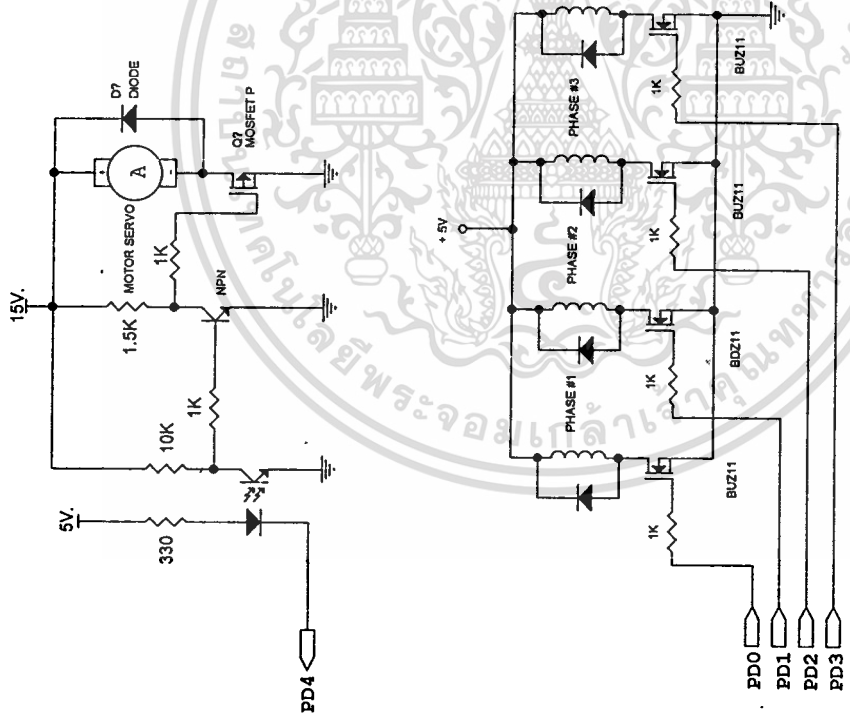




|                 |        |   |
|-----------------|--------|---|
| Title           |        | วงจรเครื่องตรวจข้อสอบ                     |
| Size            |        | A4  |
| Document Number |        | วงจรมหาวิทยาลัยเทคโนโลยีพระจอมเกล้าธนบุรี |
| Page            | 1 of 1 | Rev.                                      |

วงจรรับมอเตอร์กระแสตรง

วงจรขับสี่เฟสมอเตอร์



|      |                    |
|------|--------------------|
| File | วงจรเครื่องตรวจจับ |
| Size | Document Number    |
| AM   | วงจรรับมอเตอร์     |
| Page | Sheet 1 of 1       |
| Rev  |                    |

## ประวัติผู้เขียน

นายพรชัยศ ศรีปัญญาพงศ์ เกิดเมื่อวันที่ 26 พฤษภาคม 2502 ที่กรุงเทพมหานคร สำเร็จการศึกษา วิศวกรรมศาสตรบัณฑิต (ไฟฟ้า) จากสถาบันเทคโนโลยีพระจอมเกล้าเจ้าคุณทหารลาดกระบัง ปีการศึกษา 2527 เข้ารับราชการในตำแหน่งเจ้าหน้าที่ระบบงานคอมพิวเตอร์ 3 สังกัดสำนักวิจัยและบริการคอมพิวเตอร์ สถาบันเทคโนโลยีพระจอมเกล้าเจ้าคุณทหารลาดกระบังตั้งแต่ปี พ.ศ. 2528 และปัจจุบันดำรงตำแหน่งเจ้าหน้าที่วิจัย 6 สังกัดคณะวิศวกรรมศาสตร์ สถาบันเทคโนโลยีพระจอมเกล้าเจ้าคุณทหารลาดกระบัง

